

Gheorghe DUMITRAȘCU

Bogdan HORBANIUC

***OPTIMIZAREA
EXERGOECONOMICĂ¹***

¹ **Mențiune:** Această carte a fost elaborată în cadrul grantului CEEX nr. 281/2006 intitulat „Noi tipuri de camere de ardere policarburante cu funcționare în regim pulsatoriu” – PULSOCAM.

CUPRINS

PREFAȚĂ – scurt istoric	7
1. INTRODUCERE	11
2. O SCURTĂ PREZENTARE A METODEI FENOMENOLOGICE	12
3. TERMINOLOGIE DE BAZĂ	17
4. TIPURI DE ENERGII, CAUZE DE IREVERSIBILITATE	25
Tipuri de energii	31
Cauze de ireversibilitate	31
5. ELEMENTE DE TERMODINAMICĂ	35
5.1. SISTEME TERMODINAMICE MACROSCOPICE ÎNCHISE, STI	35
Principiul unu al termodinamicii, PIT	36
Principiul doi al termodinamicii, PDT	37
Principiul de conservare a masei, PCM	39
Principiul de conservare al impulsului, PCI	39
5.2. SISTEME TERMODINAMICE MACROSCOPICE DESCHISE, STD	39
Principiul unu al termodinamicii, PIT	40
<i>Entalpia ca parametru de stare</i>	41
<i>Lucrul mecanic tehnic specific reversibil</i>	43
Principiul de conservare a masei, PCM	43
Principiul de conservare al impulsului, PCI	43
Principiul doi al termodinamicii, PDT	44
5.3. METODA FENOMENOLOGICĂ PENTRU CURGEREA FLUIDELOR	44
Principiul de conservare a masei, PCM	45
Principiul de conservare al impulsului, PCI	47
Principiul unu pentru fluide în curgere, PIT	50
Principiul doi pentru fluide în curgere, PDT	54
6. IREVERSIBILITATEA–DISTRUGEREA EXERGIEI sau GENERAREA DE ENTROPIE	56
Teorema Gouy – Stodola	57
Disponibilitatea energetică (availability) sau lucrul mecanic disponibil (available work)	63
Exergia sau „lucrul mecanic disponibil extrem”	66

Exergia căldurii consumate ciclic de sistemele termodinamice	68
Exergia căldurii pentru procese neadiabatic	71
Exergia fizică a fluidelor în curgere prin sisteme termodinamice	73
Structura exergiei fizice a fluidelor în curgere prin STD	75
Exergia fizică în procesele nestaționare din STI	78
Exergia din procese de ardere	79
Căldura de ardere sau puterea calorică (heating value), Q_{HV}	79
Temperatura adiabatică de ardere	88
Lucrul mecanic disponibil maxim pentru un proces de ardere versus exergia căldurii dezvoltate prin ardere	89
<i>Lucrul mecanic disponibil maxim al arderii reversibile sau exergia chimică a arderii</i>	89
<i>Exergia căldurii dezvoltate prin ardere</i>	94
Randamentul exergetic – criteriul de performanță caracteristic principiului doi al termodinamicii (PDT)	96
Pierderi de exergie – generarea de entropie pe cauze de ireversibilitate	98
<i>Arderea reală ca modalitate de simulare a sursei calde</i>	99
<i>Frecarea ce apare la curgerea fluidelor vâscoase</i>	102
<i>Curgerea vâscoasă prin detentoare și prin compresoare</i>	102
• <i>Pierderi de exergie într-un detentor adiabatic</i>	105
• <i>Pierderi de exergie într-un compresor</i>	109
<i>Curgerea vâscoasă în general</i>	114
<i>Generarea de entropie prin laminare</i>	116
<i>Pierderi de exergie în transferul real al căldurii, la diferențe finite de temperatură</i>	118
• <i>Cazul sistemelor termodinamice închise, STI</i>	113
• <i>Cazul sistemelor termodinamice deschise, STD, (schimbătoare de căldură)</i>	121
<i>Cazul proceselor de curgere vâscoasă cu schimb de căldură</i>	123
• <i>“Încălzirea” politropică</i>	124
• <i>“Răcirea” politropică</i>	126
• <i>Încălzirea izobară</i>	127
• <i>Răcire izobară</i>	128
<i>Pierderi de exergie la amestecarea fluidelor de lucru</i>	130
<i>Generarea de entropie pe cicluri termodinamice ireversibile, numerele ireversibilității interne și externe</i>	134
• <i>Cicluri ideale, complet reversibile</i>	134
• <i>Cicluri reale ireversibile</i>	139
• <i>Cazul ciclului motor ireversibil</i>	140

• Cazul ciclului frigorific ireversibil	143
<i>Evaluarea ireversibilității externe a ciclurilor cu interacțiuni termice cu sursele externe la diferență finită de temperatură</i>	146
• Criteriul de putere maximă, Novikov–Curzon–Ahlborn, o primă încercare de evaluare a ireversibilității externe	146
• Coeficientul de performanță energetică ireversibil (coeficientul de performanță termodinamică). Cuantificarea ireversibilității externe	154
<i>Coeficientul de performanță energetică ireversibilă al ciclului Carnot motor endoreversibil</i>	158
• Eficiența termică ireversibilă (eficiența entropică) a schimbătoarelor de căldură în care se realizează contactul termic cu sursele externe. Numărul de unități de transfer “entropic”	158
• Coeficientul de performanță energetică ireversibilă	163
<i>Coeficientul de performanță energetică ireversibilă al ciclului Carnot frigorific endoreversibil</i>	165
• Eficiența termică ireversibilă (eficiența entropică) a schimbătoarelor de căldură în care se realizează contactul termic cu sursele externe. Numărul de unități de transfer “entropic”	165
• Coeficientul de performanță energetică ireversibilă	168
<i>Coeficientul de performanță energetică ireversibilă pentru cicluri non-Carnot endoreversibile</i>	170
• Numărul de unități de transfer entropic	171
• Eficiența termică ireversibilă (“entropică”) a schimbătorului de căldură de la sursa caldă	172
• Eficiența termică ireversibilă (“entropică”) a schimbătorului de căldură de la sursa rece	173
• Coeficientul de performanță energetică ireversibilă	174
<i>Evaluarea ireversibilității interne a ciclurilor reale</i>	175
• Cicluri motoare ireversibile	175
• Coeficientul de performanță energetică ireversibilă	178
• Cicluri motoare ireversibile, cu regenerarea internă a căldurii	181
• Coeficientul de performanță energetică ireversibilă	184
• Ciclurile motoare reale cu cogenerare	187
• Coeficientul de performanță energetică ireversibilă	189
• Ciclurile frigorifice reale	191
• Coeficientul de performanță energetică ireversibilă	193
BIBLIOGRAFIE	196

O teorie este cu atât mai remarcabilă cu cât este mai mare simplitatea premiselor sale, cu cât conectează lucruri cât mai diferite și cu cât este mai cuprinzător domeniul ei de aplicare. De aici provine impresia profundă pe care a făcut-o asupra mea termodinamica clasică. Ea este unica teorie fizică cu caracter general care, în limitele de aplicație a conceptelor ei de bază, sunt sigur ca nu va fi răsturnată niciodată.

Albert Einstein

PREFAȚĂ – scurt istoric

Istoria dezvoltării termodinamicii este legată direct de apariția și dezvoltarea mașinilor termice. În a doua jumătate a secolului XVIII, dezvoltarea industrială și a transporturilor nu se mai putea efectua fără existența unui motor termic universal. Datorită numeroaselor perfecționări aduse de către James Watt (19 ianuarie 1736 - 19/25 august 1819), mașina cu abur a devenit un veritabil motor termic. Dacă ne întrebăm care a fost aportul fizicii din acele timpuri la desăvârșirea mașinii cu abur, care au fost principiile fizice privind legitățile transformării căldurii în lucru mecanic, într-un motor cu abur, atunci răspunsul este negativ.

Un eveniment remarcabil în dezvoltarea fizicii și fundamentarea termodinamicii ca știință poate fi considerat anul 1824, când s-a publicat lucrarea "*Reflecții asupra puterii motrice a focului și a mașinilor capabile să transforme această putere*" a inginerului militar francez Nicolas Leonard Sadi Carnot (1 iunie 1796 - 24 august 1832). Au existat preocupări privind fenomenele termice și înainte, acumulându-se chiar o anumită experiență practică în construcția mașinilor cu abur dar, Sadi Carnot, prin lucrarea sa, este primul care formulează problema transformării căldurii în lucru mecanic într-o formă generală. El definește noțiunile teoretice de "*motor ideal*" și "*proces închis reversibil*". Concluziile la care ajunge Sadi Carnot sunt independente de construcția mașinii și natura agentului de lucru și prin aceasta el a formulat o teorie generală a mașinilor termice. Lucrarea lui Sadi Carnot a contribuit în mod fundamental la definirea principiului doi al termodinamicii.

La dezvoltarea termodinamicii ca știință, cronologic, menționăm descoperirea legilor gazelor perfecte: Boyle - Mariotte (1661), Gay - Lussac (1802), Dalton (1802), Avogadro (1811), și ulterior definirea de către inginerul francez Benoît Paul Emile Clapeyron (26 februarie 1799 - 28

ianuarie 1864) a ecuației termice de stare a gazelor perfecte. În anul 1842 apare prima lucrare a naturalistului și medicului german Julius Robert Mayer (25 noiembrie 1814 - 20 martie 1878), care a formulat ideea transformărilor calitative și conservării cantitative a diferitelor feluri de "forțe". El a introdus noțiunea de echivalent mecanic al unității de căldură și a determinat prin calcul analitic, pe baza valorilor căldurilor specifice ale gazelor perfecte cunoscute atunci, valoarea acestui echivalent. Însă Robert Mayer a neglijat experiența directă, care ar fi fost convingătoare pentru contemporanii săi. Gloria rezolvării experimentale îi revine fizicianului englez James Prescott Joule (24 decembrie 1818 - 1889), care în anul 1843 a publicat lucrarea sa experimentală, prin care s-a definit principiul de echivalență dintre căldură și lucru mecanic. Datorită lucrărilor lui Mayer, Joule și Helmholtz, a fost formulat în forma definitivă principiul de echivalență dintre căldură și lucru mecanic iar în baza acestuia s-a postulat transformarea și conservarea energiei, care în procesele energetice cu aspecte termice precizate reprezintă primul principiu al termodinamicii.

În anul 1850 a fost publicată lucrarea fizicianului și matematicianului Rudolf Julius Emanuel Clausius (2 ianuarie 1822 – 24 august 1888) "*Despre forța motrice a căldurii*". În această lucrare se vorbește despre posibilitățile de transformare reciprocă a căldurii și lucrului mecanic. Prin această lucrare se scot în evidență particularitățile specifice căldurii, care apar în transformările reale ireversibile și pe care legea conservării și transformării energiei nu le ia în considerație. Rudolf Clausius a reușit, pe baza lucrărilor lui Carnot, Mayer și Joule, să definească clar principiile unu și doi ale termodinamicii. Rudolf Clausius este primul care a formulat expresia cantitativă a primului principiu al termodinamicii într-o ecuație care unește cantitățile de căldură și lucru mecanic de deformare (aferent variației de volum), schimbate cu exteriorul de un corp termodinamic, cu variația energiei interne a acestuia. La definiția principiului doi al termodinamicii, el a introdus un nou parametru de stare, care mai întâi a fost denumit "*echivalent de transformare*", iar din anul 1865 "*entropie*". Noțiunea de entropie, introdusă de R. Clausius, ocupă un loc primordial în metoda analizei exergetice. Postularea de către principiul doi a sensului natural de

desfășurare a proceselor energetice reale, ireversibile, se regăsește într-o formă clară, naturală, elevată, în principiul creșterii de entropie sau producției de entropie prin ireversibilitate.

Aproape concomitent cu lucrările lui R. Clausius apar mai multe lucrări ale lui William Thomson (din 1892 Lord Kelvin, 26 iunie 1824 - 17 decembrie 1907), în care se reformulează principiul doi într-o definiție echivalentă și care în principiu postulează imposibilitatea realizării unei mașini monotermice sau ceea ce denumim astăzi perpetuum mobile de speța a doua. În anul 1848, în baza concluziilor lui S. Carnot, W. Thomson a demonstrat existența unei scări universale de temperatură, care nu depinde de capacitățile termice ale corpurilor. El a definit și argumentat relațiile pentru realizarea unei asemenea scări de temperatură absolută, care în onoarea lui a primit denumirea de scara Kelvin. W. Thomson a formulat în anul 1856 prima teorie termoelectrică, care reprezintă de fapt o extindere a domeniului de aplicare al termodinamicii la fenomene electrice. Datorită lucrărilor clasice ale lui R. Clausius și W. Thomson la sfârșitul secolului XIX termodinamica ajunge la perfecțiunea unei științe de sine stătătoare. Termodinamica, fundamentată în urma necesităților de perfecționare a mașinii cu abur, a contribuit la apariția și dezvoltarea unor noi ramuri tehnice. Astfel au fost descoperite principiile de funcționare și construcție ale instalațiilor frigorifice, a contribuit la perfecționarea motoarelor cu ardere internă, a turbinelor cu vapori și cu gaze, a permis fundamentarea schemelor termice ale centralelor producătoare de energie electrică și/sau termică.

La dezvoltarea termodinamicii au contribuit și inginerii, un ilustru reprezentant, contemporan cu R. Clausius și W. Thomson, este inginerul scoțian William John Macquorn Rankine (5 iulie 1820 – 24 decembrie 1872). Noțiunea de entropie, introdusă de R. Clausius, a permis, pe baza principiilor termodinamicii, deducerea unor noi legături privind proprietățile substanțelor în diferite stări de agregare și ca urmare definirea unor noi noțiuni fizice de bază. Cercetările efectuate în acest sens au contribuit, la sfârșitul secolului XIX, la apariția unei noi științe - chimia fizică. Fondarea

acestei științe este legată în principal de fizicianul american Josiah Willard Gibbs (11 februarie 1839 – 28 aprilie 1903), care a descoperit legea fazelor și a definit potențialele termodinamice.

În baza analizei proprietăților substanțelor în apropierea temperaturii de zero absolut, fizicianul german Walther Hermann Nernst (25 June 1864 – 18 November 1941) a emis o teoremă prin care se precizează că entropia substanțelor condensate tinde spre o valoare constantă când temperatura tinde spre zero absolut. Teorema lui W. Nernst, a fost completată de către fizicianul german Max Karl Ernst Ludwig Planck (23 aprilie 1858 - 4 octombrie 1947) care a apreciat că entropia tinde spre zero când temperatura absolută tinde spre zero. Teorema lui Nernst, completată de către Planck, stă la baza principiului trei al termodinamicii. Dezvoltarea mașinilor termice a impus cercetări minuțioase asupra proprietăților termofizice ale agenților termodinamici de lucru, apa, aerul umed, agenții frigorifici, etc. Menționăm în acest sens rezultatele fizicianului german Richard Mollier (30 November 1863 – 13 March 1935) și profesorului termodinamician rus Leonid Constantinovici Ramzin care au construit diagrame pentru aerul umed, ale colectivelor de cercetatori de la Institutul Energetic din Moscova și Institutul Termotehnic Unional care efectuat studii aprofundate asupra comportării agenților termodinamici de lucru, uzuali și noi. Dintre specialiștii acestor institute amintim pe Mihail Petrovici Vukalovici, care a contribuit fundamental la elaborarea diagramelor termodinamice abur - apă. Personalitățile prezentate selectiv anterior, au deschis direcții noi de cercetare sau au realizat sinteze fundamentale în studiul fenomenelor termice. Lucrările lor a fost deseori generate de necesitățile tehnice sau au devenit ulterior aplicabile și ca urmare este evident că pe lângă ei, au participat, cu un uriaș efort colectiv, nenumărați ingineri, inventatori, mecanici, constructori, cercetători - toți entuziaști și talentați.

INTRODUCERE

Această carte este o sinteză originală privind bazele metodei moderne de studiu și optimizare termodinamică a proceselor și sistemelor ireversibile cunoscută sub denumirile alternative de analiză exergetică, exergoeconomie, minimizarea generării de entropie prin ireversibilitate, analiza și optimizarea ireversibilității în baza principiului doi al termodinamicii. Abordarea este în forma necesară unei specializări teoretice generale a inginerilor din domeniile mecanoenergetic, termoenergetic, construcția instalațiilor termice de transport și aprovizionare cu căldură, frigotehnie și tehnica temperaturilor joase.

Termodinamica studiază fenomenele energetice ce au aspecte termice precizate, respectiv sistemele ce interacționează termo-mecanic cu mediul exterior. Orice proces energetic presupune mișcarea ce include, la rândul ei, ordonare la scară macroscopică și dezordine la nivel microscopic, cunoscută sub denumirea de agitație termică. Ca urmare, interacțiunile energetice ale unui corp cu mediul exterior pot fi studiate fie considerând corpurile ca sisteme de microparticule în agitație termică, fie ca medii continue la scară macroscopică. Metodele de studiu ale termodinamicii sunt:

- ***Metoda statistică:*** abordează evoluțiile, transformările, procesele corpurilor la scara macroscopică pornind de la microstructura acestora. Astfel, corpurile sunt considerate sisteme de microparticule în agitație termică, ce interacționează reciproc în interiorul corpului, iar pe contur cu mediul exterior. Modelarea evoluțiilor unui asemenea ansamblu, constituit dintr-un număr foarte mare de microparticule, poate fi realizată cu metode probabilistice și algoritmi statistici numai dacă microstructura este cognoscibilă, respectiv poate fi descrisă matematic printr-un set de relații de bază, ex. vezi teoria cinetico-moleculară a gazului perfect, teoria conducției termice sau electrice. Din păcate, corpurile reale au microstructuri greu de evaluat matematic pentru că sunt fie amestecuri, fie soluții cu compoziții masice și

volumice extrem de complexe în care interacțiunile microscopice dintre particule sunt greu de evaluat, chiar și teoretic.

- ***Metoda fenomenologică:*** *consideră corpurile ca medii continue la scară macroscopică. Influența microstructurii la nivel macroscopic este evaluată prin proprietăți globale determinate experimental, ex. capacitatea termică, conductivitatea, vâscozitatea. Această metodă manipulează un set de două postulate, șase principii și o bază de date experimentale ce include proprietățile termo-fizico-chimice ale substanțelor reale și coeficienții de evaluare a frecărilor, respectiv ireversibilității.*

Termodinamica tehnică aplică metoda fenomenologică, la studiul proceselor și sistemelor termodinamice, în activități de proiectare, optimizare, perfecționare a proceselor de conversie a energiei.

În sens clasic, termodinamica tehnică studiază toate aspectele legate de utilizarea energiei termice, cum ar fi producerea, transportul, stocarea și conversia.

O SCURTĂ PREZENTARE A METODEI FENOMENOLOGICE

Analiza termodinamică completă este fundamentată prin metoda fenomenologică. Se face în continuare o scurta prezentare a acestei metode.

Postulatul unu:

„Orice sistem izolat tinde spre o stare finală de echilibru intern, care nu mai poate fi modificată decât printr-o intervenție din exterior.”

Acest postulat a permis definirea corectă a stării de echilibru intern precum și a numărului gradelor de libertate ale unui sistem termodinamic. Astfel vom avea:

- ***starea de echilibru termodinamic intern*** este acea stare care nu poate fi modificată decât numai printr-o intervenție din exterior, respectiv nu mai există potențiale interacțiuni între diferitele zone din interior,

- ***un grad de libertate*** este o cale posibilă de modificare a stării de echilibru intern și ca urmare numărul gradelor de libertate ale unui sistem termodinamic în echilibru intern este egal cu numărul de interacțiuni posibile cu mediul exterior.

Postulatul doi:

"Starea de echilibru intern a unui sistem termodinamic este o funcție de energia internă și parametrii externi."

Acest postulat este important prin faptul că a dus la fundamentarea ecuației implicite de stare a unui sistem termodinamic în echilibru intern. Corelând cele două postulate rezultă că numărul minim necesar și suficient de parametri de stare care pot defini univoc starea de echilibru intern este egal cu numărul gradelor de libertate plus unul alocat influenței energiei interne (câte un parametru de control pe fiecare grad de libertate și unul alocat influenței energiei interne).

Principiul „zero”: este principiul echilibrului termic și include următoarele două adevăruri observabile permanent experimental:

- ✓ ***"Două corpuri în echilibru termic cu un al treilea sunt în echilibru termic între ele."***
- ✓ ***"Dacă un corp cedează căldură unui al doilea care la rândul lui cedează căldură unui al treilea, atunci la contactul termic dintre corpurile unu și trei căldura va avea un sens unic, de la corpul unu la corpul trei."***

Acest principiu a fost definit inițial în baza conceptului empiric de „fluid caloric” ce „curge” între corpuri când există o diferență de potențial termic denumită diferență de temperatură. Ulterior s-a observat și demonstrat echivalența dintre căldură și lucru mecanic și astfel căldura a fost recunoscută ca interacțiune energetică. Deși conceptul inițial era greșit, experiența a fost valoroasă și prin faptul că a permis construirea scârilor empirice de temperatură, Celsius și Fahrenheit.

Principiul unu al termodinamicii, nu este nimic altceva decât principiul conservării energiei aplicat proceselor și sistemelor ce interacționează termic (căldură) și mecanic (lucru mecanic) cu mediul exterior. Nu există definiții remarcabile dar putem postula:

"Orice experiment, la orice scară, demonstrează că entitatea numită energie se conservă, respectiv că orice tip de energie se poate transforma în oricare alt tip și că suma algebrică (ecuația de bilanț energetic) a energilor implicate în orice interacțiune energetică este întotdeauna egală cu zero."

Principiul unu permite evaluarea fenomenelor energetice printr-o ecuație de bilanț energetic și de asemenea definirea unui criteriu de performanță aferent, respectiv coeficientul de performanță energetică (CPE), ex. randament, eficiență:

$$CPE = \frac{\text{energie utilă}}{\text{energie consumată}}$$

Principiul doi al termodinamicii, postulează, în diferite formulări remarcabile, sensul natural de propagare a energiei, respectiv de la potențial energetic ridicat spre potențial energetic coborât.

R. Clausius:

"Căldura nu se poate transfera/propaga în mod natural de la temperatură mică la temperatură mare"

L. Sadi Carnot:

"Este imposibil de construit un motor termic care să funcționeze continuu schimbând căldură cu o singură sursă termică externă. Un motor termic nu poate furniza în mod continuu lucru mecanic fără a schimba căldură cu două surse termice externe cu temperaturi diferite".

W. Thomson (Lord Kelvin):

"Este imposibil de a obține efecte mecanice, prin intermediul unui agent material inert, din orice porțiune a materiei numai prin răcirea acesteia"

sub temperatura celor mai reci obiecte înconjurătoare, cu următoarea completare, dacă această axiomă poate fi negată atunci se poate admite că se poate realiza o mașină care să producă efecte mecanice doar prin răcirea mării sau pământului, fără nici o restricție, singura consecință constând doar în răcirea pământului sau mării sau, în realitate, răcirea întregii lumi materiale". O asemenea mașină ce ar schimba căldură doar cu o singură sursă termică externă (mediul extern) poartă denumirea de perpetuum mobile de speța a doua.

M. Planck:

"Este imposibil de realizat un motor care să funcționeze ciclic și să nu facă altceva decât să ridice o greutate și să răcească un rezervor de căldură".

C. Caratheodory:

axioma I: *"Lucrul mecanic este același în toate procesele adiabatice cu stările inițială și finală identice".*

axioma II: *"În imediata vecinătate a oricărei stări a unui sistem există stări care nu pot fi atinse prin procese adiabatice".*

Exceptând definiția lui R. Clausius, toate celelalte definiții postulează imposibilitatea realizării unui perpetuum mobile de speța a doua.

Principiul doi ne oferă oportunitatea de a evalua calitatea proceselor energetice reale, respectiv *entropia generată de ireversibilitate* „măsoară” cantitativ ireversibilitatea proceselor și ciclurilor reale. Astfel, se pot enumera următoarele consecințe efective:

- distingerea proceselor posibile față de cele imposibile,
- definirea entropiei ca un parametru de stare fundamental pentru caracterizarea și măsurarea evoluțiilor naturale reale, a stării de echilibru intern, a gradului de ireversibilitate,
- definirea diagramei temperatură absolută – entropie în care se pot vizualiza grafic interacțiunile termice (similară diagramei presiune – volum în care este vizualizată grafic relația mecanică),

- fundamentarea ciclurilor ideale, complet reversibile, cu același CPE, maxim – maximorum (ex. CARNOT, STIRLING),
- definirea corectă a cauzelor de ireversibilitate,
- definirea calității diferitelor tipuri de energii în procesele de conversie energetică, fie direct prin producția ireversibilă de entropie fie prin conceptul ingineresc de exergie.

Principiul trei al termodinamicii, este important pentru studiul proceselor în domenii de temperaturi apropiate de zero absolut. Pe baza teoremei lui Nernst (1906) și a cercetărilor ulterioare ale lui F. Simon și M. Planck, se postulează:

"Temperatura de zero absolut nu poate fi atinsă printr-o succesiune finită de procese."

Consecințele au devenit importante după ce M. Planck a postulat că entropia tinde spre zero când temperatura tinde spre zero absolut. Ca urmare, ulterior s-au putut evalua corect și potențialele termodinamice de entalpie liberă (potențial Gibbs) și energie liberă (potențial Helmholtz).

Principiul conservării masei, este aplicabil corect numai la scară macroscopică. La scara microscopică sau la scara universului este obligatorie cuplarea conservării masei cu cea a energiei pentru că orice modificare a stării energetice a unui corp implică și o modificare a masei acestuia. Doar la scară macroscopică variația masei unui corp ca urmare a modificării energiei acestuia este nedecelabilă.

Să ne imaginăm un proces de încălzire a unei mase de 1000 kg, cu 1000 K și pentru o căldură specifică de 1000 J/kg.K. Caldura din acest proces poate fi evaluată prin ecuația calorimetrică:

$$Q = 10^3 \text{ kg} \cdot 10^3 \frac{\text{J}}{\text{kg} \cdot \text{K}} \cdot 10^3 \text{ K} = 10^9 \text{ J}$$

În același timp, conform relației lui A. Einstein, acest schimb de energie cu mediul exterior duce la o modificare a masei inițiale:

$$\Delta E = Q = \Delta m \cdot C^2 = \Delta m \cdot 9 \cdot 10^{16} J \rightarrow \Delta m = \frac{10^9}{9 \cdot 10^{16}} = 0.(3) \cdot 10^{-7} kg$$

$$\frac{\Delta m}{m} = \frac{0.(3) \cdot 10^{-7}}{10^3} \cdot 100\% = 0.(3) \cdot 10^{-8} \%$$

Principiul conservării masei oferă o ecuație de control suplimentar al proceselor și în același timp poate duce la definirea unui criteriu de performanță masică aferent.

Principiul conservării cantității de mișcare (impulsului), aplicabil interacțiunilor energetice realizate prin intermediul forțelor, postulează:

„Interacțiunile prin intermediul forțelor duc la un transfer de cantitate de mișcare (impuls), care se conservă în procesele fără șocuri (explozii, implozii).”

Ecuația de control suplimentară aferentă acestui principiu este frecvent definită prin intermediul echilibrului de forțe, respectiv forța de inerție este egală cu rezultanta forțelor externe:

$$\overline{F}_i = \sum_j \overline{F}_{j, exterior}$$

Baza de date experimentale, a metodei fenomenologice, include proprietățile termo-fizice ale substanțelor (tabele și diagrame termodinamice) precum și date privind influența frecărilor (relații, coeficienți, tabele, diagrame, ex. relația Darcy-Weissbach, randamentul izentropic, etc.).

TERMINOLOGIE DE BAZĂ

Studiul sistematic al sistemelor termodinamice necesită definirea următoarei terminologii de bază:

a) **sistem termodinamic**: este „un volum de control limitat de pereți reali

și/sau fictivi” și care poate interacționa cu mediul exterior prin căldură, lucru mecanic și schimb de substanță,

- b) **starea termodinamică:** este, conform postulatelor unu și doi, o funcție de condițiile interne (energia internă și masa sistemului) și condițiile externe (interacțiunile cu mediul exterior); **starea termodinamică** este cunoscută prin ansamblul proprietăților macro-fizice la un anumit moment și anume cele care nu depind de istoria evoluției sistemului termodinamic,
- c) **starea termodinamică de echilibru intern:** este definită prin absența oricăror posibilități interne de interacțiune între diferitele părți ale sistemului și dacă ținem cont că interacțiunile posibile sunt impuse de existența unor diferențe de presiune (interacțiunile mecanice și masice) și de temperatură (interacțiunea termică) atunci **starea termodinamică de echilibru intern** este caracterizată prin câmpuri interne uniforme de presiune și temperatură; **starea termodinamică de echilibru intern** este starea fundamentală de studiu în termodinamică,
- d) **numărul gradelor de libertate:** este egal cu numărul posibil de interacțiuni ale unui sistem termodinamic cu mediul exterior, respectiv un sistem termodinamic are trei grade de libertate definite prin interacțiunile termică, mecanică și masică, iar clasificarea sistemelor termodinamice este făcută prin intermediul acestor interacțiuni în:
- **sistem termodinamic izolat** – nici o interacțiune posibilă cu mediul exterior
 - **sistem termodinamic rigid** – interacțiunea mecanică prin lucru mecanic de deformare nu e posibilă
 - **sistem termodinamic adiabatic** – interacțiunea termică prin căldură nu e posibilă
 - **sistem termodinamic închis** – interacțiunea masică prin schimb de substanță nu e posibilă
 - **sistem termodinamic deschis** – interacțiunea masică prin

schimb de substanță este activă

- **sistem termodinamic lărgit** – include atât sistemul termodinamic cât și mediul exterior, ansamblul fiind considerat izolat față de univers.

e) **parametri de stare:** sunt proprietăți macrofizice măsurabile care descriu complet starea unui sistem termodinamic la un anumit moment, valorile lor fiind unice pentru starea dată indiferent de drumul parcurs anterior (istoricul evoluției); clasificarea lor depinde de rolul lor în interacțiuni, respectiv avem:

- **parametri de stare intensivi**, care nu depind de masa sistemului și care impun apariția interacțiunilor și sensul acestora, respectiv **presiunea și temperatura**,
- **parametri de stare extensivi** care depind de masa sistemului și care măsoară prin variațiile lor interacțiunile energetice, respectiv **volumul, energia internă, entalpia, entropia**.

Deoarece parametrii de stare extensivi depind de masă, în termodinamică vom utiliza următoarele notații ce descriu această dependență:

- pentru masa totală m [kg] sau cantitatea de substanță totală n [kmol] vom utiliza literele mari ale alfabetului, respectiv V [m^3], U [J], H [J] și S [J/K]
- pentru masa unitară $m = 1$ kg vom utiliza literele mici ale alfabetului, respectiv v [m^3/kg], u [J/kg], h [J/kg] și s [J/kg K]
- pentru unitatea de cantitate de substanță $n = 1$ kmol vom utiliza caractere indexate, respectiv V_M [$m^3/kmol$], U_M [J/kmol], H_M [J/kmol] și S_M [J/kmol K]

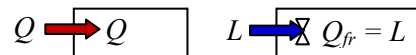
f) **ecuații de stare:** sunt relații generale de interdependență între parametri de stare, ex.:

$$dT = 0 \rightarrow \frac{dp}{p} + \frac{dv}{v} = 0 \quad \left| \quad dp = 0 \rightarrow \frac{dv}{v} - \frac{dT}{T} = 0 \quad \left| \quad dv = 0 \rightarrow \frac{dp}{p} - \frac{dT}{T} = 0 \right.$$

- g) **ecuație fundamentală de stare:** este ecuația ce include numărul minim necesar și suficient de parametri de stare măsurabili și care descrie în mod univoc starea sistemului la un anumit moment, conform celor două postulate; pentru sistemele termodinamice vom avea:

$$f(p, V, T, m) = 0, \text{ sau } m = \text{const. și } f(p, V, T) = 0$$

- h) **transformare termodinamică (proces):** reprezintă succesiunea de stări provocată de interacțiuni cu mediul exterior fără a preciza natura concretă a interacțiunilor, iar **procesul termodinamic** include și descrierea concretă a interacțiunilor, ex. evoluție izocoră fie cu schimb direct de căldură sau cu schimb de lucru mecanic transformat în căldură prin frecări interne, vezi figura de mai jos.



Clasificarea transformărilor termodinamice poate fi făcută după poziția reciprocă a stărilor succesive,

- **transformări deschise**, nu există două stări succesive identice,
- **transformări închise (ciclice)**, starea finală este identică cu cea inițială,

sau după natura stărilor succesive:

- **transformări reversibile**, constituite dintr-o succesiune de stări în echilibru intern, transformarea reversibilă poate fi parcursă în ambele sensuri fără a produce modificări remanente în mediul exterior, respectiv interacțiunile energetice și masice cu mediul extern, pozitive pe un sens devin negative pe sensul contrar dar, egale în valoare absolută, ca urmare pe drumul dus – întors

valoarea globală a interacțiunilor este egală cu zero,

- **transformări ireversibile**, constituite dintr-o succesiune de stări în dezechilibru intern, au sens unic și produc modificări remanente în mediul exterior; dacă considerăm două stări date, drumul dus este diferit de cel de întors și ca urmare valoarea globală a interacțiunilor este diferită de zero.

- i) **coeficienți termodinamici**: sunt parametri adimensionali ce impun pe transformările simple dependențe liniare între parametrii de stare variabili, istoric s-au definit acești coeficienți pentru transformările izotermică (coeficientul de compresibilitate izotermic), pentru izocorică (coeficientul de elasticitate termică) și pentru izobarică (coeficientul de dilatare volumică):

$$dT = 0 \rightarrow \chi = -\frac{1}{V} \left(\frac{\partial V}{\partial p} \right)_T; \quad dV = 0 \rightarrow \beta = \frac{1}{p} \left(\frac{\partial p}{\partial T} \right)_V; \quad dp = 0 \rightarrow \alpha = \frac{1}{V} \left(\frac{\partial V}{\partial T} \right)_p;$$

$$\alpha = p \cdot \beta \cdot \chi$$

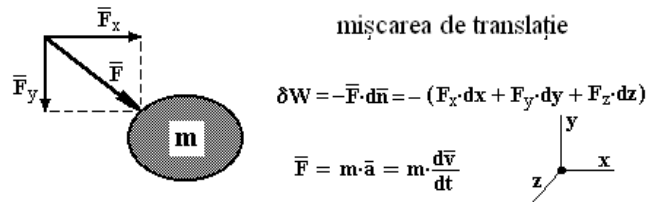
- j) **energia internă**: din punct de vedere termodinamic, se poate considera că energia internă a unui sistem termodinamic este numai suma componentelor energetice ale microparticulelor în agitație termică (energiile electronilor, atomilor și moleculelor în agitație termică, respectiv suma componentelor energetice ce țin de mișcările de translație, oscilație, rotație ale acestora), deoarece numai aceste componente participă la interacțiunile energetice cu exteriorul în timpul evoluțiilor termodinamice. Prin această definiție impunem un zero subiectiv deoarece conform relației Albert Einstein, energia totală a unei mase m este $E = m \cdot C^2$.

- k) **lucrul mecanic**: este interacțiunea energetică realizată prin intermediul forțelor. James Clerk Maxwell (fizician scoțian, 13 iunie 1831 - 5 noiembrie 1879) a definit lucrul mecanic ca acțiunea de a deplasa fie o porțiune a unui sistem fie a unui sistem împotriva unei forțe externe, și astfel lucrul mecanic este produsul scalar a doi vectori:

$$\delta W = -\vec{F}_e \cdot d\vec{n} = -(F_{e,x} \cdot dx + F_{e,y} \cdot dy + F_{e,z} \cdot dz)$$

în care δW este lucrul mecanic elementar, \vec{F}_e (vector) este forța externă iar $d\vec{n}$ (vector) este deplasarea elementară orientată. În evoluții normale, fără șocuri, forța externă este practic egală cu reacțiunea internă și de aceea se poate înlocui valoarea forței externe cu cea a reacțiunii interne.

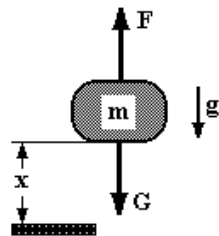
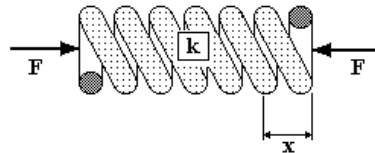
Precizăm că lucrul mecanic este o funcție de proces respectiv depinde de natura și drumul evoluțiilor termodinamice. În figurile următoare sunt prezentate câteva forme de lucru mecanic.



deformarea unui arc

$$\delta W = -F \cdot dx$$

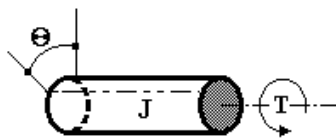
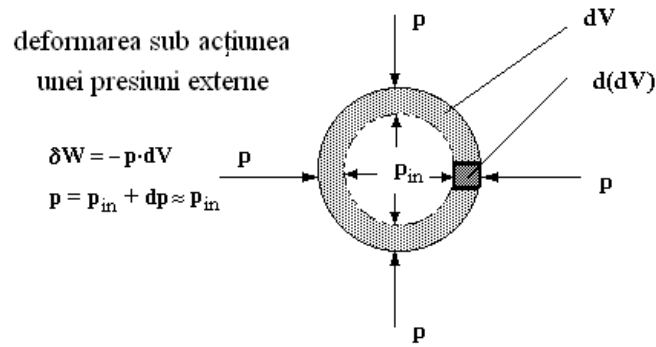
$$F = k \cdot x$$



**mișcarea de translație
în câmp gravitațional**

$$\delta W = -F \cdot dx$$

$$F = m \cdot g$$



mișcarea de rotație

$$\delta W = -T \cdot d\Theta$$

$$T = J \cdot \frac{d\omega}{dt}$$

- **căldura:** este interacțiunea energetică ca urmare a unei diferențe de temperatură, conform principiului doi, sensul natural este întotdeauna de la temperatură mare la temperatură mică.

Precizăm că interacțiunea termică este de asemenea o funcție de proces, respectiv depinde de natura și drumul evoluțiilor termodinamice.

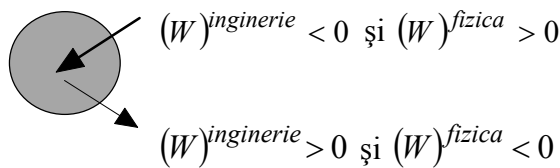
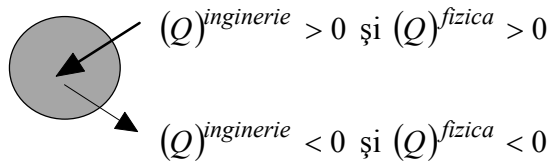
Convenții de semne și de notații privind interacțiunile energetice

Pentru cele două tipuri de interacțiuni energetice, lucrul mecanic și căldura, sunt utilizate două convenții subiective de semne, vezi figura următoare.

În termodinamica tehnică (inginerie) se ține cont de scopul acestor interacțiuni, respectiv dacă considerăm un motor acesta consumă căldură (acțiune pozitivă) pentru a produce lucru mecanic ca efect energetic util. Convenția inginerescă respectă utilitatea, lucrul mecanic produs trebuie să

fie pozitiv (ex. motoare) iar cel consumat negativ.

În alte domenii, fizică chimie, se consideră doar aspectul cantitativ, respectiv orice energie introdusă/consumată de un sistem este pozitivă (produce o creștere a conținutului energetic intern) și orice energie eliberată/cedată de un sistem este negativă (produce o diminuare a conținutului energetic intern).



Pentru aceleași interacțiuni, am utilizat următoarele notații:

- ✚ $\delta Q, \delta W$ ce au semnificația fizică a unor cantități elementare, sunt matematic diferențiale ordinare ce depind de drum,
- ✚ $Q = \int_{initial}^{final} \delta Q, W = \int_{initial}^{final} \delta W$ sunt cantități finite, depind de drumul transformării termodinamice,
- ✚ dp, dT, dV, dU, dH, dS au semnificația fizică a unor variații elementare, sunt matematic diferențiale totale exacte ce nu depind de drum,
- ✚ $\Delta p = \int_{initial}^{final} dp, \Delta T = \int_{initial}^{final} dT, \Delta V = \int_{initial}^{final} dV$, respectiv $\Delta U = \int_{initial}^{final} dU, \Delta H = \int_{initial}^{final} dH, \Delta S = \int_{initial}^{final} dS$ au semnificația fizică a unor variații finite ce nu depind de drum.

TIPURI DE ENERGII, CAUZE DE IREVERSIBILITATE

Funcționarea continuă, ciclică, a mașinilor termice a demonstrat că între energia termică și energia mecanică există o diferență calitativă majoră.

Astfel, într-un ciclu direct (motor) căldura consumată ciclic nu poate fi transformată integral în energie mecanică, iar gradul de transformare depinde de parametrii de stare ai agentului de lucru și de parametrii de stare ai mediului exterior ce include sursele termice externe.

Într-un ciclu invers, ex.: frigorific cu compresie mecanică, consumul ciclic de energie mecanică nu este o funcție numai de frigul produs (căldura preluată din incinta frigorifică și transferată la sursa caldă) ci depinde și de parametrii mediului exterior (sursele termice rece și caldă).

Ca urmare conversia reciprocă energie termică – energie mecanică este calitativ diferită pentru cicluri diferite chiar dacă, conform principiului unu, cele două tipuri de energii sunt echivalente cantitativ. În plus, ireversibilitatea „înărăutățește” conversia reciprocă fie prin micșorarea producției de energie mecanică la ciclurile motoare fie prin creșterea consumului de energie mecanică la ciclurile inverse. Diferența calitativă poate fi evidențiată prin intermediul principiului doi al termodinamicii.

Dacă analizăm funcționarea ciclică, conform principiului unu putem demonstra doar echivalența cantitativă energie mecanică – energie termică:

$$\oint \delta Q = Q_{ciclic} = \oint \delta W = + \oint p \cdot dV = \oint \delta W_{tehnic} = - \oint V \cdot dp = W_{ciclic}$$

în care Q este căldura iar W lucrul mecanic.

Având în vedere conservarea energiei, am fi tentați să analizăm posibilitatea de a considera Q_{ciclic} ca fiind căldura schimbată cu o singură sursă termică externă și atunci am putea, de exemplu, construi un motor

termic cu randamentul egal cu unitatea.

În realitate, acest Q_{ciclic} include doi termeni, unul pozitiv consumat ciclic și altul negativ cedat ciclic:

$$Q_{ciclic} = Q_{ciclic}^{consum} - |Q_{ciclic}^{cedat}| = W_{ciclic}$$

Pentru același motor termic, randamentul termic real este subunitar:

$$COP = \eta_t = \frac{W_{ciclic}}{Q_{ciclic}^{consum}} = 1 - \frac{|Q_{ciclic}^{cedat}|}{Q_{ciclic}^{consum}} < 1$$

Principiul unu nu poate spune de ce căldura schimbată ciclic are cei doi termeni. Această realitate poate fi demonstrată riguros în diagrama temperatură – entropie unde, ținând cont de sensul natural de propagare a energiei termice, de la temperatură mare spre temperatură mică, se poate vizualiza direct imposibilitatea construirii unui perpetuum mobile de speța a doua (o mașină monotermă).

În termodinamica clasică, entropia a fost fundamentată ca parametru de stare de către R. Clausius care a dezvoltat acest concept în cadrul așa numitei a doua teoremă fundamentală a “teoriei mecanice a căldurii”, pe care a dezvoltat-o prin lucrări publicate în 1854, 1856, 1862. Astfel el a demonstrat în final că pentru cicluri reversibile $\oint \frac{\delta Q}{T} = 0$ iar pentru cele ireversibile $\oint \frac{\delta Q}{T} > 0$.

În 1865 R. Clausius a impus denumirea de entropie pentru funcția complexă $dS = \frac{\delta Q}{T}$, care are proprietăți de parametru de stare, respectiv $1/T$ este factorul integrant pentru funcția de proces $\delta Q = dU + p \cdot dV = dH - V \cdot dp$ (valoarea acestei relații energetice depinde de ”drum”).

Notăția S se presupune a fi aleasă în onoarea lui Sadi Carnot. Prin definirea noului parametru de stare s-a putut construi diagrama temperatură – entropie în care poate fi vizualizată grafic relația termică, vezi figura 1.

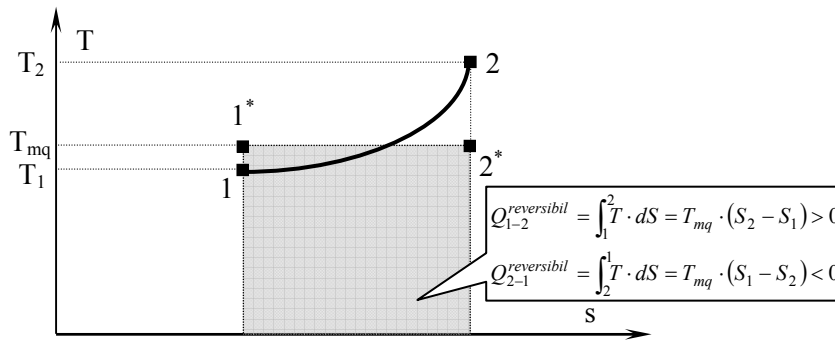


Fig. 1. Căldura reversibilă, $Q_{1 \rightarrow 2}^{reversibil}$, pentru o transformare deschisă

$$Q_{1 \rightarrow 2}^{reversibil} > 0 \text{ iar } Q_{2 \rightarrow 1}^{reversibil} < 0$$

În diagrama $T - S$, T_{mq}^* este temperatura termodinamică medie a procesului $1 - 2$, respectiv este temperatura unui proces izotermic echivalent, $1^* - 2^*$, pe care avem același $Q_{1 \rightarrow 2}^{reversibil}$ și aceeași variație de entropie ($S_2 - S_1$), $T_{mq} = \frac{Q_{1 \rightarrow 2}^{reversibil}}{S_2 - S_1} = \frac{Q_{2 \rightarrow 1}^{reversibil}}{S_1 - S_2}$.

Se poate demonstra foarte ușor că pentru procesele neizotermice $T_{mq} = \frac{T_2 - T_1}{\ln \frac{T_2}{T_1}}$, respectiv este media logaritmică a temperaturilor de capăt.

Pentru analiza funcționărilor ciclice să considerăm un ciclu motor reversibil intern în diagrama $T - S$, vezi figura 2. Ciclul poate fi considerat ca fiind alcătuit din două semicicluri, $A - C - B$ și $B - D - A$.

Pe semiciclul $A - C - B$, se consumă căldura $Q_{A-C-B} = \int_A^B T \cdot dS = T_{mq}^{A-C-B} (S_B - S_A) > 0$, prin transfer natural de la sursa caldă cu temperatura $T_h > T_{mq}^{A-C-B}$ către agentul de lucru.

* T_{mq} a fost definită în lucrarea: Baehr, H.D., *Thermodynamik*, Springer Verlag, 1966

Pe semiciclul B – D – A trebuie cedată căldura, tot natural, $Q_{B-D-A} = \int_B^A T \cdot dS = T_{mq}^{B-D-A}(S_A - S_B) < 0$. Cum temperatura agentului de lucru T_{mq}^{B-D-A} este inferioară temperaturii T_h , această căldură nu mai poate fi cedată în mod natural sursei calde și ca urmare este obligatorie condiția existenței unui nou rezervor termic extern, rece, cu temperatura $T_l < T_{mq}^{B-D-A} < T_h$ pentru a putea realiza energetic ciclul operațional.

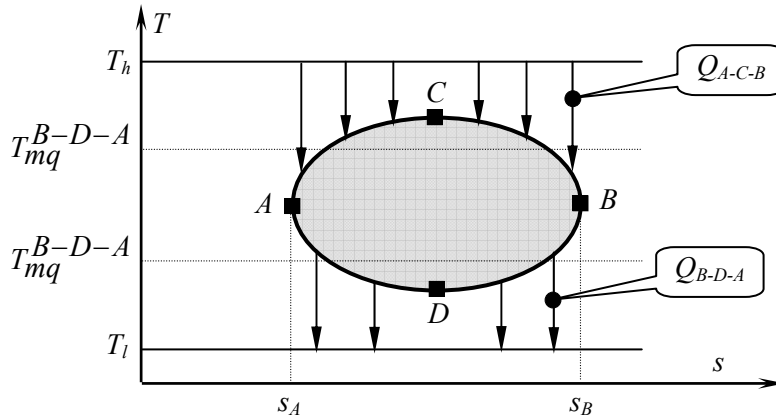


Fig. 2. Schema interacțiunilor termice ale unui proces ciclic motor, presupus reversibil intern (alcătuit dintr-o succesiune de transformări reversibile)

Lucrul mecanic ciclic va fi în concordanță cu principiul conservării energiei, egal cu suma algebrică a relațiilor termice cu cele două surse termice externe:

$$W_{ciclic} = Q_{A-C-B} - |Q_{B-D-A}| = (T_{mq}^{A-C-B} - T_{mq}^{B-D-A})(S_B - S_A),$$

deoarece $(S_A - S_B) = -(S_B - S_A)$ cu $(S_B - S_A) > 0$

Pentru ciclul motor considerat, randamentul termic va fi:

$$\eta_t = \frac{W_{ciclic}}{Q_{ciclic}^{consumat}} = \frac{W_{ciclic}}{Q_{A-C-B}} = 1 - \frac{|Q_{B-D-A}|}{Q_{A-C-B}} = 1 - \frac{T_{mq}^{B-D-A}}{T_{mq}^{A-C-B}} < 1$$

Se constată că în diagrama temperatură – entropie, prin intermediul temperaturilor termodinamice medii, se poate defini o relație generalizantă a randamentului termic care ne poate conduce la definirea ciclurilor ideale cu coeficientul de performanță, CPE, maxim – maximorum.

Pentru acest scop vom analiza cele două posibilități de funcționare ciclică, un ciclu motor – direct și un ciclu frigorific – invers, vezi figura 3.

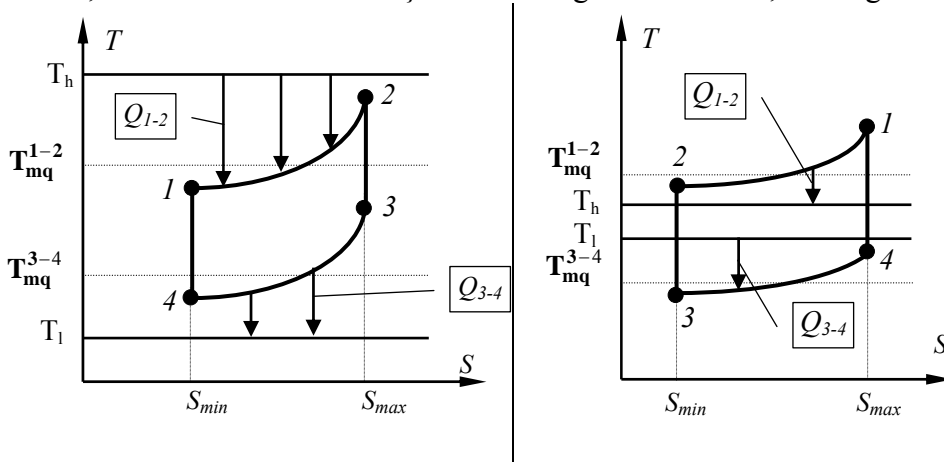


Fig. 3. Schema ciclurilor de bază, presupuse reversibile

3.a. – ciclu motor

3.b. – ciclu frigorific

1 – 2 și 3 – 4 sunt procese neadiabaticice iar,

2 – 3 și 4 – 1 sunt adiabaticice,

T_h – temperatura sursei calde, T_l – temperatura sursei reci

În ciclul motor, căldura Q_{1-2} consumată de la sursa caldă generează ciclic lucru mecanic cu un CPE (randamentul termic):

$$CPE = \eta_t = \frac{W_{ciclic}}{Q_{ciclic}^{consumat}} = \frac{W_{ciclic}}{Q_{1-2}} = 1 - \frac{|Q_{3-4}|}{Q_{1-2}} = 1 - \frac{T_{mq}^{3-4}}{T_{mq}^{1-2}} = 1 - \frac{T_l + \Delta T_l}{T_h - \Delta T_h},$$

în care $\Delta T_l = T_{mq}^{3-4} - T_l$ iar $\Delta T_h = T_h - T_{mq}^{1-2}$ sunt diferențe medii de temperatură surse termice externe – agent de lucru.

În ciclul frigorific, frigul produs la sursa rece, Q_{3-4} , consumă ciclic lucru mecanic cu un CPE (eficiența frigorifică):

$$CPE = \varepsilon_f = \frac{Frig_{ciclic}}{W_{consumat_{ciclic}}} = \frac{Q_{3-4}}{|Q_{1-2}| - Q_{3-4}} = \frac{T_{mq}^{3-4}}{T_{mq}^{1-2} - T_{mq}^{3-4}} = \frac{T_l - \Delta T_l}{(T_h + \Delta T_h) - (T_l - \Delta T_l)}$$

în care $\Delta T_l = T_l - T_{mq}^{3-4}$ iar $\Delta T_h = T_{mq}^{1-2} - T_h$ pot fi considerate ca diferențe medii de temperatură surse termice externe – agent de lucru.

Precizăm încă odată că poziția temperaturilor în diagrama $T - S$, respectiv diferențele de temperatură, respectă sensul natural de transfer al energiei termice, vezi definiția lui R. Clausius pentru principiul doi. Sursele termice externe sunt considerate că au capacități termice infinite, respectiv au temperaturi constante în timpul funcționării ciclice.

Ciclurile ideale, complet reversibile, se obțin la limită, când diferențele de temperatură ΔT_l și ΔT_h tind spre valori infinitesimale. Se constată că ciclurile ideale, complet reversibile, sunt de fapt cicluri *CARNOT* ideale care au cel mai mare posibil CPE, prin comparație cu oricare alt ciclu similar din punct de vedere operațional, vezi figura 4:

$$CPE_{motor_{ideal}} = \eta_{CARNOT} = 1 - \frac{T_l + dT_l}{T_h - dT_h} \cong 1 - \frac{T_l}{T_h}$$

$$CPE_{frigorific_{ideal}} = \varepsilon_{CARNOT} = \frac{T_l - dT_l}{(T_h + dT_h) - (T_l - dT_l)} \cong \frac{T_l}{T_h - T_l}$$

În concluzie, indiferent de ciclul operațional, deși lucrul mecanic este egal cu energia termică schimbată ciclic, în acord cu principiul unu, numai principiul doi ne poate reliefa diferența calitativă dintre cele două tipuri de energii. Printre ciclurile posibile ce evoluează între aceleași surse termice, ciclul *CARNOT* ideal are cel mai mare posibil CPE, deci intermediază cel mai bine conversia energetică căldură – lucru mecanic. Astfel, motorul *CARNOT* ideal consumă căldura minimă de la sursa caldă pentru a produce un anumit lucru mecanic, iar mașina frigorifică *CARNOT* ideală consumă

lucrul mecanic minim pentru a realiza frigul impus. Din aceste considerente, ciclul CARNOT ideal, ce interacționează termic cu sursele externe la diferențe elementare de temperatură, este considerat complet reversibil și devine astfel un „arbitru” pentru definirea tipurilor de energii și calității acestora, a ireversibilității și cuantificării acestora.

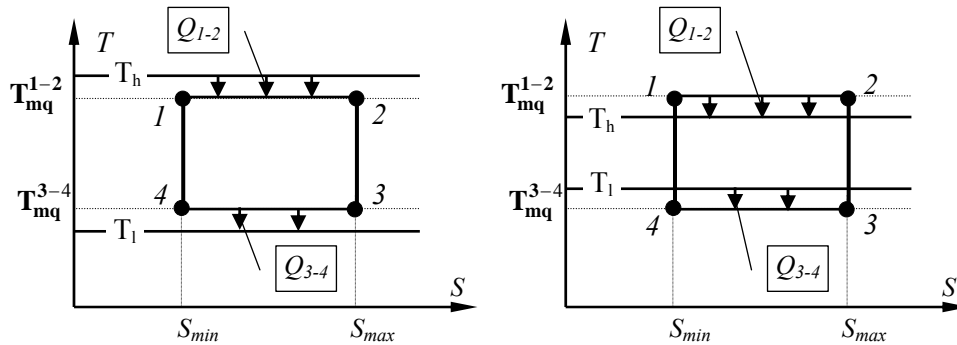


Fig. 4. Schema ciclurilor ideale de bază, complet reversibile

3.a. – ciclu motor,

3.b. – ciclu frigorific,

$$T_l = T_{mq}^{3-4} - dT_l, T_h = T_{mq}^{1-2} + dT_h \quad T_l = T_{mq}^{3-4} + dT_l, T_h = T_{mq}^{1-2} - dT_h$$

1 – 2 și 3 – 4 sunt procese izotermice iar,

2 – 3 și 4 – 1 sunt adiabatice,

T_h este temperatura sursei calde, T_l este temperatura sursei reci

Tipuri de energii

Calitativ, putem defini două tipuri de energii, fiecare având atât forme de acumulare în materie cât și forme de transfer între corpuri/sisteme distincte.

- a) **Energii ordonate**, care pot fi convertite, reversibil, în totalitate în orice alt tip de energie. Conversia poate fi realizată indiferent care sunt parametri mediului exterior. Din punct de vedere tehnic au un grad maxim de utilizare (100%) și de aceea sunt considerate energii „nobile”.

a.1. *Exemple de forme de acumulare: energiile cinetică, potențială, magnetică, electrică. Formele de acumulare sunt funcții de stare.*

a.2. *Forma de transfer, unică, este lucrul mecanic. Forma de transfer este o funcție de proces, depinde de drumul ales între stările de capăt ale procesului.*

b) **Energii dezordonate**, care pot fi transformate, reversibil, parțial în energii ordonate. Gradul de conversie depinde atât de parametrii de stare ai agentului purtător cât și de parametrii de stare ai mediului exterior. Energiile dezordonate sunt aferente agitației termice.

b.1. *Exemple de forme de acumulare: energia internă, entalpia. Formele de acumulare sunt funcții de stare.*

b.2. *Forma de transfer, unică, este căldura. Forma de transfer este o funcție de proces, depinde de drumul ales între stările de capăt ale procesului.*

Termenul de „**ordonat**” ține cont de modul organizat de participare la conversie a purtătorilor energiei (molecule, atomi, electroni), în aceeași direcție cu același efect. De exemplu, în timpul conversiei energiei cinetice, toate microparticulele corpului/sistemului participă la conversie, la nivel macroscopic, ca o „armată” organizată.

Termenul „**dezordonat**” ține cont de agitația termică. Astfel de exemplu, la conversia energiei interne, nu toate moleculele vor să participe în mod egal la conversie, unele molecule se „implică” mai multe altele chiar se opun, funcție de starea energetică proprie. Pe ansamblul sistemului de microparticule se respectă principiul doi, respectiv sensul natural de propagare a energiei de la potențial energetic mare la potențial mic.

Formele de transfer sunt interacțiuni între corpuri/sisteme, se manifestă pe conturul corpurilor/sistemelor în contact energetic și reprezintă modalitatea posibilă de schimb energetic între corpuri/sisteme.

Cauze de ireversibilitate

Ireversibilitatea deteriorează conversia energetică, atât între aceleași tipuri de energii cât și între energiile ordonate și cele dezordonate.

Înrăutățirea conversiei energetice se face prin comparație cu cazul

similar complet reversibil, vezi din nou ciclul CARNOT ideal.

Ca urmare cauzele de ireversibilitate sunt „originile” ce afectează negativ conversia energetică prin comparație cu conversia complet reversibilă.

Dacă ne raportăm la un sistem termodinamic ce funcționează ciclic/continuu și în același timp interacționează cu mediul exterior (ex. sursele termice externe), atunci putem clasifica cauzele de ireversibilitate în două grupe principale.

A. Cauze interne

- arderea ca modalitate de realizare a sursei calde și reacțiile chimice puternic exotermice sau endotermice,
- curgerea cu frecări a agenților de lucru,
- laminarea ca modalitate de reducere a presiunii (debitului) agenților de lucru,
- transferul de cădură intern la diferență finită de temperatură,
- amestecarea agenților de lucru,
- transferul intern de energie prin lucru mecanic la diferențe finite între acțiuni și reacțiuni (exemple: comprimarea sau destinderea cu viteze foarte mari provocate de diferențe finite de presiune, la limită exploziile, imploziile).

B. Cauze externe

- schimbul de cădură cu sursele termice externe la diferențe finite de temperatură,
- schimbul de substanță cu mediul exterior ce are parametrii de stare diferiți de cei ai agenților de lucru,
- schimbul de energie prin lucru mecanic la diferențe finite între acțiuni și reacțiuni.

Ireversibilitatea produce (generează) o creștere suplimentară de

entropie (pozitivă), în orice proces, și corespunde unui efect termic ireversibil echivalent care contribuie la creșterea agitației termice, respectiv duce la „deteriorarea” fie a energiilor ordonate, fie a capacității de conversie reversibilă a energiilor dezordonate.

Generarea ireversibilă de entropie poate fi cuantificată prin comparație cu procesul echivalent reversibil, dacă acesta există, altfel variația de entropie este cauzată în totalitate prin ireversibilitate. Pentru o masă oarecare m vom avea astfel:

$$dS_{ir} = dS_{ireversibil} - dS_{reversibil} = \frac{\delta Q_{irev}}{T} =$$

$$= \left(\frac{dH}{T} - \frac{V}{T} dp \right)_{ireversibil} - \left(\frac{dH}{T} - \frac{V}{T} dp \right)_{reversibil} \quad [\text{J/K}]$$

Pentru masa unitară $m = 1$ kg vom avea:

$$ds_{ir} = ds_{ireversibil} - ds_{reversibil} = \frac{\delta q_{irev}}{T} =$$

$$= \left(\frac{dh}{T} - \frac{v}{T} dp \right)_{ireversibil} - \left(\frac{dh}{T} - \frac{v}{T} dp \right)_{reversibil} \quad [\text{J/kg K}]$$

unde δq_{ir} și δQ_{ir} reprezintă efectul termic echivalent al ireversibilității ce contribuie la creșterea agitației termice, iar ds_{ir} și dS_{ir} reprezintă generarea suplimentară de entropie cauzată de ireversibilitate.

ELEMENTE DE TERMODINAMICĂ

Analiza funcționării ireversibile a sistemelor termodinamice necesită manipularea metodei fenomenologice într-o formă cât mai completă și de aceea considerăm că este utilă prezentarea ecuațiilor caracteristice ale principiilor incluse în această metodă.

Metoda fenomenologică este cel mai complex și puternic instrument ce poate fi utilizat pentru analiza, proiectarea și optimizarea sistemelor termodinamice. Reamintim că această metodă include o bază teoretică constituită în principal prin principiile unu și doi ale termodinamicii, principiul conservării masei și principiul conservării impulsului, precum și o baza de date teoretico – experimentale ce cuantifică proprietățile termochimice ale substanțelor și influența frecărilor.

Ecuațiile caracteristice principiilor incluse în metoda fenomenologică depind de tipul sistemului termodinamic și de mărimea acestuia (macro sau micro). Vom prezenta în continuare câteva cazuri de aplicare generală a bazei teoretice a metodei fenomenologice.

SISTEME TERMODINAMICE MACROSCOPICE ÎNCHISE, STI

Notațiile ce vor fi folosite în ecuațiile următoare, pentru STI, sunt:

- E [J] energia STI,
- g [m/s^2] accelerația gravitațională,
- m [kg] masa STI,
- \dot{Q} [W] flux termic schimbat cu exteriorul,
- S [J/K] entropia STI,
- \dot{S}_{gen} [W/K] flux de entropie generat prin ireversibilitate,
- T [K] temperatura absolută pe conturul STI,
- t [s] timp,
- U [J] energia internă a STI,
- \bar{V} [m/s] viteza STI,
- Z [m] poziția STI în câmpul gravitațional,
- \dot{W} [W] schimbul mecanic de putere STI – mediu exterior,

Sistemele termodinamice închise nu schimbă substanță cu mediul exterior, respectiv masa acestora poate considerată practic constantă la scara macroscopică, vezi figura 5.

Vom presupune un caz general, respectiv un sistem termodinamic închis mobil care are masa $m = \text{constant}$, energia globală E , viteza \bar{V} și înălțimea Z în câmpul gravitațional extern.

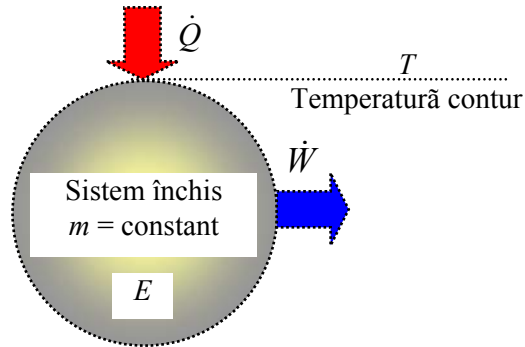


Fig. 5.
Schema interacțiunilor energetice pentru un sistem termodinamic închis, STI

Principiul unu al termodinamicii, PIT

Pentru o evoluție raportată la timp, care este provocată de contactele energetice, termice \dot{Q} și mecanice \dot{W} , de asemenea raportate la timp, ecuația primară de bilanț energetic este:

$$\frac{\partial E}{\partial t} = \dot{Q} - \dot{W}_{global}$$

În această ecuație, energia globală include energia internă proprie, U , și energiile externe, cinetică $E_c = m \cdot \frac{\bar{V}^2}{2}$ și potențială $E_p = m \cdot g \cdot Z$ (depind de condiții externe, viteza \bar{V} într-un sistem geometric exterior și înălțimea Z în câmpul de forțe extern – gravitațional):

$$E = U + m \cdot \left(\frac{\bar{V}^2}{2} + g \cdot Z \right)$$

Contactele energetice raportate la timp au următoarele aspecte:

- fluxul termic \dot{Q} depinde numai de diferența de temperatură interior – exterior dar,
- puterea mecanică globală \dot{W}_{global} include doi termeni, primul reprezintă puterea mecanică de deformare corespunzător presiunii externe, p_e , ce acționează pe conturul sistemului (este practic egală cu presiunea internă, p , în cazul evoluțiilor reversibile) iar al doilea termen este aferent forțelor externe ce modifică doar viteza și poziția sistemului:

$$\dot{W}_{global} = \dot{W} + \dot{W}_{\substack{\text{accelerare+} \\ \text{modificare pozitie}}}, \text{ în care } \dot{W} = +p_e \cdot \frac{\partial V}{\partial t} \cong +p \cdot \frac{\partial V}{\partial t}.$$

Accelerarea și modificarea poziției sistemului sunt fenomene pur mecanice, deci putem considera:

$$\dot{W}_{\substack{\text{accelerare+} \\ \text{modificare pozitie}}} = -\frac{\partial E_c}{\partial t} - \frac{\partial E_p}{\partial t}.$$

Având în vedere aceste considerente, se obține astfel o relație generală a principiului unu pentru toate sistemele termodinamice închise, mobile sau imobile, cu evoluții reversibile:

$$\frac{\partial U}{\partial t} = \dot{Q} - \dot{W} = \dot{Q} - p \cdot \frac{\partial V}{\partial t}$$

Pentru masa unitară vom avea:

$$\frac{\partial u}{\partial t} = \dot{q} - \dot{w} = \dot{q} - p \cdot \frac{\partial v}{\partial t}$$

Principiul doi al termodinamicii, PDT

Pentru același sistem, figura 5, vom avea conform R. Clausius

$\frac{\dot{Q}}{T} \leq \frac{\partial S}{\partial t}$, respectiv generarea de entropie prin ireversibilitate va fi:

$$\dot{S}_{gen} = \frac{\partial S}{\partial t} - \frac{\dot{Q}}{T}$$

Principiul de conservare a masei, PCM

$$m = constant$$

Principiul de conservare al impulsului, PCI

Forțele ce acționează asupra unui STI mobil cu o evoluție reversibilă pot fi grupate în următoarele două grupe de interacțiuni distincte prin forțe:

- forțe externe ce modifică viteza (energia cinetică) și poziția (energia potențială) unui STI mobil, respectiv prin raportare la timp, vom obține:

$$\dot{W}_{\substack{\text{accelerare+} \\ \text{modificare pozitie}}} = -m \frac{\partial(\bar{v}^2/2)}{\partial t} - m \frac{\partial(g \cdot Z)}{\partial t}$$

- forța corespunzătoare presiunii exercitate de mediul exterior asupra conturului STI mobil, produce o deformare a acestuia, de asemenea prin raportare la timp și presupunând interacțiunea mecanică de deformare reversibilă vom avea:

$$\dot{W} = +p_e \cdot \frac{\partial V}{\partial t} \cong +p \cdot \frac{\partial V}{\partial t}$$

SISTEME TERMODINAMICE MACROSCOPICE DESCHISE, STD

Notațiile ce vor fi folosite în ecuațiile următoare, pentru STD, sunt:

- E [J] energia globală a STD,
- T [K] temperatura absolută pe conturul STD,
- \vec{F} [N] forțe externe pe conturul STD,
- t [s] timp, [s]

- g [m/s²] accelerația gravitațională,
- h [J/kg K] entalpia specifică,
- m [kg] masa STD,
- \dot{m} [kg/s] debite masice,
- \dot{Q} [W] fluxul termic schimbat cu exteriorul,
- s [J/kg K] entropia specifică,
- \dot{S}_{gen} [W/K] flux de entropie generat prin ireversibilitate,
- U [J] energia internă medie a STD,
- \bar{V} [m/s] viteze de curgere fluide,
- $\bar{\bar{V}}$ [m/s] viteza STD
- $\vec{\bar{V}}, \vec{\bar{\bar{V}}}$ [m/s] vectori viteză
- Z [m] poziția secțiunilor de curgere,
- \bar{Z} [m] poziția STD,
- \dot{W}_t [W] puterea mecanică la arbore,

Sistemele termodinamice deschise schimbă substanță cu mediul exterior. În general un sistem deschis interacționează mecanic cu exteriorul prin intermediul unui ax/arbore motor, iar relația mecanică corespunzătoare poartă denumirea de lucru mecanic tehnic sau putere mecanică la ax/arbore dacă ne raportăm la timp, vezi figura 6.

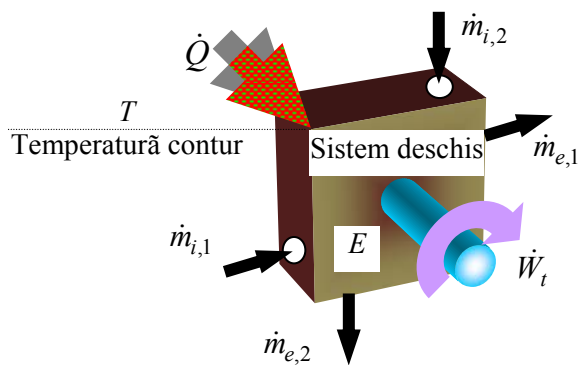


Fig. 6.

Schema interacțiunilor energetice și masice pentru un sistem termodinamic deschis, STD

Pentru STD din figura 6 vom presupune cazul generalizant definit prin următoarele caracteristici ale unei evoluții reversibile în timp:

- STD este mobil, cu viteza \bar{V} ,
- STD are poziția \bar{Z} în câmp gravitațional,
- STD este deformabil, își modifică volumul în timpul evoluției, ca urmare interacționează mecanic cu mediul exterior prin lucrul mecanic al presiunii externe p_e iar, presiunea internă este variabilă pe circuitul intrare – ieșire și nu mai este egală cu cea a mediului exterior,
- curgerea prin STD este reversibilă, precum și transformările parcurse de agentul de lucru între secțiunile de intrare și ieșire sunt reversibile.

În cazul sistemelor deschise, cele două tipuri de interacțiuni cu mediul extern, energetice și masice, trebuie corelate prin două axiome, I și II, ce sintetizează conservarea energiei și masei la scara macro.

Principiul unu al termodinamicii, PIT – axioma I

- **"Prin orice suprafață închisă dintr-un sistem termodinamic deschis suma algebrică a energiilor ce traversează această suprafață în unitatea de timp (puteri) este egală cu viteza de variație a energiei masei incluse de suprafața închisă."** Aplicând această axiomă pe conturul exterior al STD, vom obține:

$$\frac{\partial E}{\partial t} = \dot{Q} - \dot{W}_t - \dot{W}_{def} - \dot{W}_{\substack{\text{accelerare+} \\ \text{modificare pozitie}}} +$$

$$+ \sum_{1,2,\dots} \left[\dot{m} \left(h + \frac{\bar{V}^2}{2} + gZ \right) \right]_i - \sum_{1,2,\dots} \left[\dot{m} \left(h + \frac{\bar{V}^2}{2} + gZ \right) \right]_e$$

cu $E = U + m \left(\frac{\bar{V}^2}{2} + g \cdot \bar{Z} \right)$ și $\dot{W}_{def} = +p_e \frac{\partial V}{\partial t}$

Dar, vezi și cazul STI mobil, și pentru STD accelerarea și modificarea poziției în câmp gravitațional sunt fenomene pur mecanice (considerate

reversibile) și ca urmare vom putea scrie:

$$\dot{W}_{\substack{\text{accelerare+} \\ \text{modificare pozitie}}} = -\frac{\partial}{\partial t} \left(\dot{m} \frac{\bar{v}^2}{2} \right) - \frac{\partial}{\partial t} (\dot{m} g \bar{Z})$$

După simplificări vom avea în final:

$$\begin{aligned} \frac{\partial U}{\partial t} &= \dot{Q} - \dot{W}_t - \dot{W}_{def} + \sum_{1,2,\dots} \left[\dot{m} \left(h + \frac{\bar{v}^2}{2} + gZ \right) \right]_i - \sum_{1,2,\dots} \left[\dot{m} \left(h + \frac{\bar{v}^2}{2} + gZ \right) \right]_e = \\ &= \dot{Q} - \dot{W}_t - p_e \frac{\partial V}{\partial t} + \sum_{1,2,\dots} \left[\dot{m} \left(h + \frac{\bar{v}^2}{2} + gZ \right) \right]_i - \sum_{1,2,\dots} \left[\dot{m} \left(h + \frac{\bar{v}^2}{2} + gZ \right) \right]_e \end{aligned}$$

Prin intermediul sistemelor deschise, principiul unu oferă posibilitatea de a defini entalpia ca parametru de stare și a lucrului mecanic tehnic specific reversibil.

Entalpia ca parametru de stare

Pentru a defini entalpia ca parametru de stare, vom considera cel mai simplu sistem deschis, o conductă rigidă și izolată termic, vezi figura 7. Considerând o curgere staționară, pe un segment de conductă considerat sistem deschis, vom avea pentru acest sistem $\frac{\partial m}{\partial t} = 0$ și $\frac{\partial E}{\partial t} = 0$ și astfel putem scrie:

– $\dot{m} = \text{constant}$, debit masic constant în orice secțiune de curgere și

– $e = u + \frac{\bar{v}^2}{2} + gZ + w_d = u + \frac{\bar{v}^2}{2} + gZ + pv = h + \frac{\bar{v}^2}{2} + gZ = \text{constant}$,

energia specifică a masei unitare în curgere este constantă în orice secțiune.

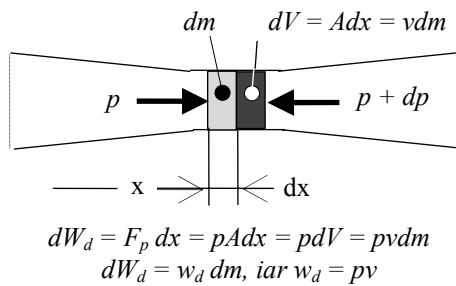


Fig. 7.

Schema de curgere pentru definirea entalpiei ca parametru de stare, dW_d este lucrul mecanic de dizlocare (deplasare) necesar curgerii

Astfel rezultă că entalpia specifică $h = u + w_d = u + pv$ este suma dintre energia internă specifică u și lucrul mecanic specific de dizlocare $w_d = pv$ consumat pentru asigurarea curgerii masei unitare. w_d este efectuat de presiunea locală p ce „împinge” din spate masa unitară, în plus chiar dacă aparent între secțiunile de intrare și ieșire nu se schimbă nici un fel de energie cu exteriorul, schimbul de substanță nu poate fi realizat decât prin intermediul acestui w_d , la intrare primit din mediul extern sistemului și la ieșire cedat mediului extern. Se constată de asemenea că w_d este în acest caz o funcție de stare deoarece și presiunea și volumul specific sunt parametri de stare și deci și produsul lor.

Semnificația fizică a entalpiei poate fi dată prin comparația ecuațiilor *PIT* pentru masa unitară considerată sistem închis mobil și aceeași masă unitară în curgere printr-un sistem deschis:

$$m = 1 \text{ kg, STI mobil, } e = u + \frac{\bar{v}^2}{2} + gz,$$

$$m = 1 \text{ kg în curgere printr-un STD, } e = h + \frac{\bar{v}^2}{2} + gZ,$$

Pentru un STI, energia internă specifică reprezintă capacitatea energetică internă a masei unitare de a interacționa cu mediul exterior prin căldură și lucru mecanic de deformare iar, pentru cazul unui STD, entalpia specifică reprezintă capacitatea energetică proprie a masei unitare de a interacționa cu mediul extern sistemului deschis prin căldură și lucru mecanic tehnic.

Lucrul mecanic tehnic specific reversibil

Pentru sistemul deschis din figura 6, considerăm următoarele condiții restrictive:

- regim staționar, deci $\frac{\partial m}{\partial t} = 0$, $\frac{\partial U}{\partial t} = 0$ și $\dot{m}_i = \dot{m}_e = \dot{m}$
- un singur fluid de lucru,
- o evoluție reversibilă intern,
- STD rigid, adică $\dot{W}_{def} = p_e \frac{\partial V}{\partial t} = 0$.

Prin raportare la masa unitară și corelând ecuațiile principiului unu pentru STD și STI, prin eliminarea reciprocă a termenului \dot{Q} , vom obține:

$$l_t = \dot{m} \left(- \int_i^e v \cdot dp - \int_i^e \bar{V} \cdot d\bar{V} - \int_i^e g \cdot dZ \right) \text{ [J/kg]}, \text{ respectiv}$$

$$\dot{W}_t = \dot{m} \cdot l_t \text{ [W]}$$

Principiul de conservare a masei, PCM, axioma II

- ***"Prin orice suprafață închisă dintr-un sistem termodinamic deschis suma algebrică a maselor ce traversează această suprafață în unitatea de timp (debite masice) este egală cu viteza de variație a masei incluse de suprafața închisă."*** Aplicând această axiomă pe conturul exterior al STD, vom obține:

$$\frac{\partial m}{\partial t} = \sum_{1,2,\dots} (\dot{m})_{intrare} - \sum_{1,2,\dots} (\dot{m})_{iesire}$$

Principiul de conservare al impulsului, PCI

Conservarea impulsului este descrisă prin următoarea ecuație vectorială de echilibru de forțe:

$$\frac{D(m \cdot \vec{V})}{Dt} = \sum_{\substack{\text{forte} \\ \text{externe}}} \vec{F} + \left(\sum_{1,2,\dots} (\dot{m} \cdot \vec{V})_{\text{intrare}} - \sum_{1,2,\dots} (\dot{m} \cdot \vec{V})_{\text{iesire}} \right)_{\text{schimb de}} \\ \text{substanta}$$

Ecuția vectorială de mai sus este echivalentă cu un ansamblu de trei ecuații scalare, de echilibru a componentelor forțelor pe cele trei axe ale unui sistem geometric ales. În ecuațiile scalare, de echilibru ale componentelor forțelor pe cele trei axe ale sistemului geometric cartezian, operatorul D/Dt are forma:

$$\frac{D}{Dt} = \frac{\partial}{\partial t} + \bar{V}_x \frac{\partial}{\partial x} + \bar{V}_y \frac{\partial}{\partial y} + \bar{V}_z \frac{\partial}{\partial z}$$

Principiul doi al termodinamicii, PDT

Pentru același sistem, figura 6, vom avea conform R. Clausius

$$\sum_{\text{contur}} \dot{m} \cdot s + \frac{\dot{Q}}{T} \leq \frac{\partial S}{\partial t}, \text{ respectiv:}$$

$$\sum_{1,2,\dots} (\dot{m} \cdot s)_{\text{intrare}} - \sum_{1,2,\dots} (\dot{m} \cdot s)_{\text{iesire}} + \frac{\dot{Q}}{T} \leq \frac{\partial S}{\partial t}$$

iar generarea de entropie prin ireversibilitate va fi

$$\dot{S}_{\text{gen}} = \frac{\partial S}{\partial t} - \frac{\dot{Q}}{T} - \sum_{1,2,\dots} (\dot{m} \cdot s)_{\text{intrare}} + \sum_{1,2,\dots} (\dot{m} \cdot s)_{\text{iesire}}$$

METODA FENOMENOLOGICĂ PENTRU CURGEREA FLUIDELOR

Procesele de curgere cu schimburi de energie sunt extrem de complexe. În general, pentru curgeri, ecuațiile de bilanț energetic, entropic,

masic, și ale transferului de impuls se deduc pe volume de control elementare considerate sisteme termodinamice deschise.

La această scară se pot adopta ipoteze simplificatoare care nu afectează evaluările curgerii la scara microscopică. Ecuațiile folosite în majoritatea curgerilor sunt deduse pentru cazul curgerilor laminare și sunt extrapolate aproximativ la curgerile turbulente prin considerarea valorilor locale medii în timp ale mărimilor caracteristice curgerii.

În cazul curgerii fluidelor, conservarea energiei trebuie de asemenea corelată simultan cu conservarea impulsului și conservarea masei. Ecuațiile caracteristice conservării energiei, impulsului și masei se dezvoltă pe același volum de control elementar. Generarea de entropie prin ireversibilitate trebuie cuantificată în final prin intermediul corelațiilor principiilor de tip conservativ, pe același volum de control, vezi figurile 8 (PCM), 9 (PCI), 10 (PIT).

Principiul de conservare a masei, PCM

Notațiile ce vor fi folosite în ecuațiile PCM, pentru curgerea fluidelor, sunt:

- A [m^2], aria transversală de curgere,
- \dot{m} [kg/s], debitul masic,
- V [m^3], volumul,
- \bar{V} [m/s], viteza,
- x, y, z , variabile geometrice,
- ρ [kg/m^3], densitatea

Pentru volumul de control ales, vezi figura 8, bilanțul masic va fi

$$\frac{\partial \rho}{\partial t} \cdot dV = \sum_{intrari} d\dot{m}_n - \sum_{iesiri} d\dot{m}_{n+dn}$$

$$\Rightarrow \frac{D\rho}{Dt} + \rho \left(\frac{\partial \bar{V}_x}{\partial x} + \frac{\partial \bar{V}_y}{\partial y} + \frac{\partial \bar{V}_z}{\partial z} \right) = 0$$

unde $\frac{D}{Dt} = \frac{\partial}{\partial t} + \bar{V}_x \frac{\partial}{\partial x} + \bar{V}_y \frac{\partial}{\partial y} + \bar{V}_z \frac{\partial}{\partial z}$ este derivata substanțială în raport cu timpul

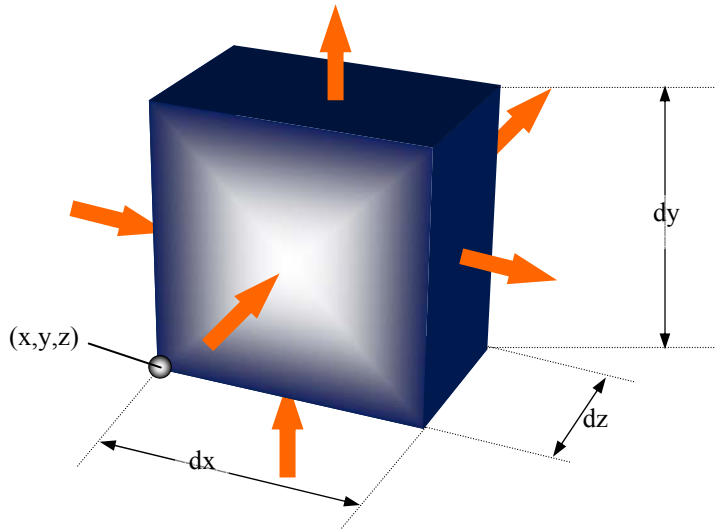


Fig. 8. Schema interacțiunilor masice ale unui volum de control elementar, $dV = dx \cdot dy \cdot dz$, în coordonate carteziene

$$dm_{n=x,y,z} = \rho \cdot \bar{V}_n \cdot dA_n, \quad dm_{n+dn} = \rho \cdot \bar{V}_n \cdot dA_n + \frac{\partial(\rho \cdot \bar{V}_n)}{\partial n} \cdot dV$$

$$n = x \rightarrow \bar{V}_x \text{ și } dA_x = dydz;$$

$$n = y \rightarrow \bar{V}_y \text{ și } dA_y = dx dz;$$

$$n = z \rightarrow \bar{V}_z \text{ și } dA_z = dx dy;$$

Pentru modelul de curgere la densitate constantă ($\rho = \text{const.}$) vom obține, prin simplificare:

$$\frac{\partial \bar{V}_x}{\partial x} + \frac{\partial \bar{V}_y}{\partial y} + \frac{\partial \bar{V}_z}{\partial z} = 0$$

Principiul de conservare al impulsului, PCI

Notațiile ce vor fi folosite în ecuațiile PCI, pentru curgerea fluidelor, sunt:

- F_I [N] forța de inerție,
- g [m/s^2] accelerația gravitațională,
- p [N/m^2] presiunea,
- t [s], timpul
- ΔT [K] diferența de temperatură pentru convecția naturală,
- \bar{V} [m/s] viteza,
- x, y, z , variabile geometrice,
- X, Y, Z , componentele forței impuse de câmpul gravitațional,
- β [K^{-1}] coeficientul de dilatare volumică,
- μ [Ns/m^2] vâscozitatea dinamică,
- ρ [kg/m^3] densitatea,
- σ [N/m^2] tensiuni tangențiale,
- τ [N/m^2] tensiuni normale.

Pentru volumul de control ales și considerând cazul curgerii laminare, ecuația de echilibru a forțelor, vezi figura 9, ce acționează pe suprafețele acestuia, este definită printr-o ecuație vectorială ce postulează

Forța de inerție = Rezultanta forțelor externe

Ecuația vectorială a echilibrului de forțe, este echivalentă cu următorul sistem de trei ecuații scalare, ce redau echilibrul componentelor forțelor pe cele trei axe ale sistemului geometric ales, cartezian:

$$\text{axa } x: \quad \rho \frac{D\bar{V}_x}{Dt} = X + \frac{\partial \sigma_{x,x}}{\partial x} + \frac{\partial \tau_{x,y}}{\partial y} + \frac{\partial \tau_{x,z}}{\partial z},$$

$$\text{axa } y: \quad \rho \frac{D\bar{V}_y}{Dt} = Y + \frac{\partial \sigma_{y,y}}{\partial y} + \frac{\partial \tau_{y,x}}{\partial x} + \frac{\partial \tau_{y,z}}{\partial z},$$

$$\text{axa } z: \quad \rho \frac{D\bar{V}_z}{Dt} = Z + \frac{\partial \sigma_{z,z}}{\partial z} + \frac{\partial \tau_{z,x}}{\partial x} + \frac{\partial \tau_{z,y}}{\partial y}.$$

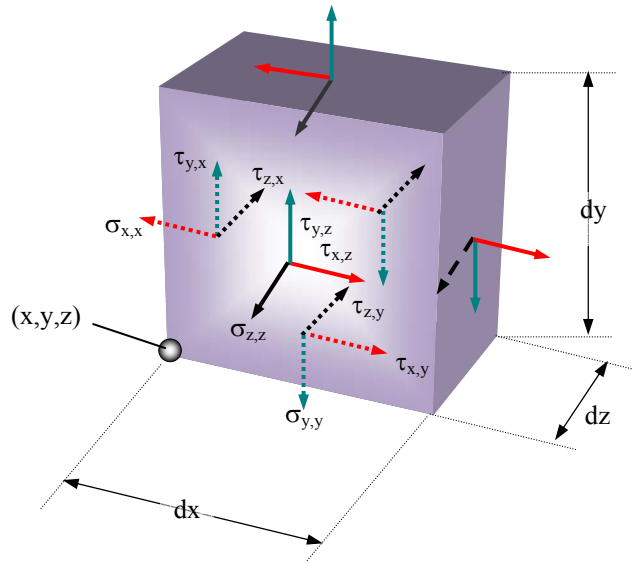


Fig. 9. Schema forțelor ce acționează pe suprafețele volumului de control elementar, $dV = dx \cdot dy \cdot dz$, în coordonate carteziene

Pentru modelul cu densitatea constantă vom avea prin simplificare:

$$\rho \frac{D\bar{V}_x}{Dt} = X - \frac{\partial p}{\partial x} + \mu \left(\frac{\partial^2 \bar{V}_x}{\partial x^2} + \frac{\partial^2 \bar{V}_x}{\partial y^2} + \frac{\partial^2 \bar{V}_x}{\partial z^2} \right),$$

$$\rho \frac{D\bar{V}_y}{Dt} = Y - \frac{\partial p}{\partial y} + \mu \left(\frac{\partial^2 \bar{V}_y}{\partial x^2} + \frac{\partial^2 \bar{V}_y}{\partial y^2} + \frac{\partial^2 \bar{V}_y}{\partial z^2} \right),$$

$$\rho \frac{D\bar{V}_z}{Dt} = Z - \frac{\partial p}{\partial z} + \mu \left(\frac{\partial^2 \bar{V}_z}{\partial x^2} + \frac{\partial^2 \bar{V}_z}{\partial y^2} + \frac{\partial^2 \bar{V}_z}{\partial z^2} \right)$$

În relațiile anterioare, termenii au următoarele formule de definiție:

Tensiuni normale – aproximația Stokes

$$\begin{aligned}\sigma_{x,x} &= -p + 2\mu \frac{\partial \bar{V}_x}{\partial x} - \frac{2}{3}\mu \left(\frac{\partial \bar{V}_x}{\partial x} + \frac{\partial \bar{V}_y}{\partial y} + \frac{\partial \bar{V}_z}{\partial z} \right), \quad \sigma_{x,x+dx} = \sigma_{x,x} + \frac{\partial \sigma_{x,x}}{\partial x} dx \\ \sigma_{y,y} &= -p + 2\mu \frac{\partial \bar{V}_y}{\partial y} - \frac{2}{3}\mu \left(\frac{\partial \bar{V}_x}{\partial x} + \frac{\partial \bar{V}_y}{\partial y} + \frac{\partial \bar{V}_z}{\partial z} \right), \quad \sigma_{y,y+dy} = \sigma_{y,y} + \frac{\partial \sigma_{y,y}}{\partial y} dy \\ \sigma_{z,z} &= -p + 2\mu \frac{\partial \bar{V}_z}{\partial z} - \frac{2}{3}\mu \left(\frac{\partial \bar{V}_x}{\partial x} + \frac{\partial \bar{V}_y}{\partial y} + \frac{\partial \bar{V}_z}{\partial z} \right), \quad \sigma_{z,z+dz} = \sigma_{z,z} + \frac{\partial \sigma_{z,z}}{\partial z} dz\end{aligned}$$

Tensiuni tangențiale – simetria Cauchy

$$\begin{aligned}\tau_{x,y} = \tau_{y,x} &= \left(\frac{\partial \bar{V}_x}{\partial y} + \frac{\partial \bar{V}_y}{\partial x} \right), \quad \tau_{x,y+dy} = \tau_{x,y} + \frac{\partial \tau_{x,y}}{\partial y} dy, \quad \tau_{y,x+dx} = \tau_{y,x} + \frac{\partial \tau_{y,x}}{\partial x} dx \\ \tau_{x,z} = \tau_{z,x} &= \left(\frac{\partial \bar{V}_x}{\partial z} + \frac{\partial \bar{V}_z}{\partial x} \right), \quad \tau_{x,z+dz} = \tau_{x,z} + \frac{\partial \tau_{x,z}}{\partial z} dz, \quad \tau_{z,x+dx} = \tau_{z,x} + \frac{\partial \tau_{z,x}}{\partial x} dx \\ \tau_{y,z} = \tau_{z,y} &= \left(\frac{\partial \bar{V}_y}{\partial z} + \frac{\partial \bar{V}_z}{\partial y} \right), \quad \tau_{y,z+dz} = \tau_{y,z} + \frac{\partial \tau_{y,z}}{\partial z} dz, \quad \tau_{z,y+dy} = \tau_{z,y} + \frac{\partial \tau_{z,y}}{\partial y} dy\end{aligned}$$

Forțe gravitaționale

$$X = \begin{cases} \rho g_x - \left\{ \begin{array}{l} \text{convecție} \\ \text{fortata} \end{array} \right\} \\ \rho g_x \beta \Delta T - \left\{ \begin{array}{l} \text{convecție} \\ \text{naturala} \end{array} \right\} \end{cases}, \quad Y = \begin{cases} \rho g_y - \left\{ \begin{array}{l} \text{convecție} \\ \text{fortata} \end{array} \right\} \\ \rho g_y \beta \Delta T - \left\{ \begin{array}{l} \text{convecție} \\ \text{naturala} \end{array} \right\} \end{cases}, \quad Z = \begin{cases} \rho g_z - \left\{ \begin{array}{l} \text{convecție} \\ \text{fortata} \end{array} \right\} \\ \rho g_z \beta \Delta T - \left\{ \begin{array}{l} \text{convecție} \\ \text{naturala} \end{array} \right\} \end{cases}$$

iar forța de inerție este

$$F_{I,n=x,y,z} = \rho \cdot \frac{D\bar{V}_n}{Dt} \quad \text{cu} \quad \frac{D}{Dt} = \frac{\partial}{\partial t} + \bar{V}_x \frac{\partial}{\partial x} + \bar{V}_y \frac{\partial}{\partial y} + \bar{V}_z \frac{\partial}{\partial z}$$

cu $n = x$ sau y sau z .

Principiul unu pentru fluide în curgere, PIT

Vom considera cazul curgerilor fără transformări de fază, vezi figura 10.

Notațiile ce vor fi folosite în ecuațiile PIT, pentru curgerea fluidelor, sunt:

- c_p [J/kg K] căldura specifică izobară,
- u [J/kg] energia internă specifică,
- h [J/kg] entalpia specifică,
- k [W/m K] conductivitatea termică,
- L [m] poziția în câmp gravitațional,
- p [N/m²] presiunea,
- \dot{Q} [W] flux termic,
- q''' [W/m³] densitatea volumică de flux termic a surselor interne,
- T [K] temperatura absolută,
- t [s] timpul,
- \bar{V} [m/s] viteza,
- x, y, z , variabile geometrice,
- \dot{W} [W] putere,
- V [m³] volumul,
- β [K⁻¹] coeficientul de dilatare volumică,
- μ [Ns/m²] vâscozitatea dinamică,
- ρ [kg/m³] densitatea,
- σ [N/m²] tensiuni tangențiale,
- τ [N/m²] tensiuni normale.

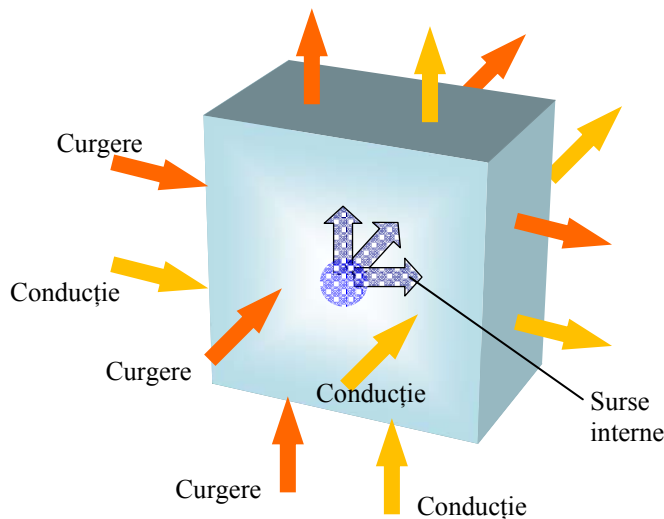


Fig. 10.
Schema interacțiunilor energetice ale unui volum de control elementar, în coordonate carteziene
 $dV = dx \cdot dy \cdot dz$

Pe schema din figura 10 se pot identifica următoarele relații energetice

aferente curgerii:


- propagarea energiei termice prin conducție, cu componente pe cele trei axe ale sistemului geometric considerat, $(d\dot{E})_{intrare-iesire}^{conducție}$,
- propagarea energiei prin intermediul curgerii (advecție) cu componente pe cele trei axe ale sistemului geometric considerat, $(d\dot{E})_{intrare-iesire}^{curgere}$,
- propagarea energiei dezvoltate de sursele interne de căldură (ex. prin procese chimice, electrice) cu componente pe cele trei axe ale sistemului geometric considerat, $(d\dot{E})_{SI}$,
- interacțiuni mecanice pe conturul volumului de control elementar prin intermediul tensiunilor tangențiale și normale caracteristice curgerilor cu gradienti de viteză și presiune, s-au evidențiat grafic la principiul de conservare al impulsului pe același volum de control, $(d\dot{E})_W$.

Ecuția primară de bilanț energetic este:


$$\rho \frac{\partial e}{\partial t} dV = d(\dot{E})_{intrare-iesire}^{curgere} + d(\dot{E})_{intrare-iesire}^{conducție} + d(\dot{E})_{SI} + d(\dot{E})_W$$

Termenii din ecuația de bilanț energetic sunt identificați în continuare pe fiecare tip de interacțiune.

Interacțiunea energetică prin conducție


$$d(\dot{E})_{intrare-iesire}^{conducție} = \left[\frac{\partial}{\partial x} \left(k \frac{\partial T}{\partial x} \right) + \frac{\partial}{\partial y} \left(k \frac{\partial T}{\partial y} \right) + \frac{\partial}{\partial z} \left(k \frac{\partial T}{\partial z} \right) \right] dV$$


Producția de energie a surselor interne de căldură



$$d(\dot{E})_{SI} = q''' \cdot dV$$

Interacțiunea energetică prin curgere (advecție)

$$d(\dot{E})_{intrare-iesire}^{curgere} = \left[\begin{array}{l} \frac{\partial(\rho \bar{V}_x (u + \bar{V}^2/2 + gL))}{\partial x} + \\ + \frac{\partial(\rho \bar{V}_y (u + \bar{V}^2/2 + gL))}{\partial y} + \\ + \frac{\partial(\rho \bar{V}_z (u + \bar{V}^2/2 + gL))}{\partial z} \end{array} \right] dV$$


unde $\bar{V}^2 = \bar{V}_x^2 + \bar{V}_y^2 + \bar{V}_z^2$

Interacțiunea mecanică pe conturul volumului de control elementar,
vezi și ecuația de conservare a impulsului

$$d(\dot{E})_W = \left\{ \begin{array}{l} \left[X \cdot \bar{V}_x + \frac{\partial(\sigma_{x,x} \bar{V}_x)}{\partial x} + \frac{\partial(\tau_{x,y} \bar{V}_x)}{\partial y} + \frac{\partial(\tau_{x,z} \bar{V}_x)}{\partial z} \right] + \\ + \left[Y \cdot \bar{V}_y + \frac{\partial(\sigma_{y,y} \bar{V}_y)}{\partial y} + \frac{\partial(\tau_{y,x} \bar{V}_y)}{\partial x} + \frac{\partial(\tau_{y,z} \bar{V}_y)}{\partial z} \right] + \\ + \left[Z \cdot \bar{V}_z + \frac{\partial(\sigma_{z,z} \bar{V}_z)}{\partial z} + \frac{\partial(\tau_{z,x} \bar{V}_z)}{\partial x} + \frac{\partial(\tau_{z,y} \bar{V}_z)}{\partial y} \right] \end{array} \right\} dV$$

În cazuri practice, se mai pot folosi următoarele forme, ușor simplificate, pentru ecuația de conservare a energiei:

a. cu neglijarea energiilor cinetică și potențială

$$\rho \frac{Du}{Dt} = \frac{\partial}{\partial x} \left(k \frac{\partial T}{\partial x} \right) + \frac{\partial}{\partial y} \left(k \frac{\partial T}{\partial y} \right) + \frac{\partial}{\partial z} \left(k \frac{\partial T}{\partial z} \right) - p \left(\frac{\partial \bar{V}_x}{\partial x} + \frac{\partial \bar{V}_y}{\partial y} + \frac{\partial \bar{V}_z}{\partial z} \right) + q''' + \mu \Phi$$

b. înlocuind $u = h - \frac{p}{\rho}$ și $\frac{Du}{Dt} = \frac{Dh}{Dt} - \frac{1}{\rho} \frac{Dp}{Dt} + \frac{p}{\rho^2} \frac{D\rho}{Dt} = c_p \frac{DT}{Dt} - \frac{1}{\rho} \frac{Dp}{Dt} + \frac{p}{\rho^2} \frac{D\rho}{Dt}$ și

considerând $h = c_p T$, model gaz perfect și ecuația de conservare a masei

$$\rho \frac{Dh}{Dt} \cong \left(\rho c_p \frac{DT}{Dt} \right) = \frac{\partial}{\partial x} \left(k \frac{\partial T}{\partial x} \right) + \frac{\partial}{\partial y} \left(k \frac{\partial T}{\partial y} \right) + \frac{\partial}{\partial z} \left(k \frac{\partial T}{\partial z} \right) + \frac{Dp}{Dt} + q''' + \mu \Phi$$

c. înlocuind* $u = h - \frac{p}{\rho}$, dar $\frac{Dh}{Dt} = c_p \frac{DT}{Dt} + (1 - \beta T) \frac{1}{\rho} \frac{Dp}{Dt}$ și considerând ecuația de conservare a masei

$$\rho c_p \frac{DT}{Dt} = \frac{\partial}{\partial x} \left(k \frac{\partial T}{\partial x} \right) + \frac{\partial}{\partial y} \left(k \frac{\partial T}{\partial y} \right) + \frac{\partial}{\partial z} \left(k \frac{\partial T}{\partial z} \right) + \beta T \frac{Dp}{Dt} + q''' + \mu \Phi$$

d. pentru modelul cu densitate constantă

$$\rho c_p \frac{DT}{Dt} = \frac{\partial}{\partial x} \left(k \frac{\partial T}{\partial x} \right) + \frac{\partial}{\partial y} \left(k \frac{\partial T}{\partial y} \right) + \frac{\partial}{\partial z} \left(k \frac{\partial T}{\partial z} \right) + q''' + \mu \Phi$$

În toate aceste relații, termenul dispativ ce va fi cuantificat la generarea de entropie prin ireversibilitate este dat prin ecuația:

$$\mu \Phi = \mu \left\{ \begin{array}{l} \left[\left(\frac{\partial \bar{V}_x}{\partial y} + \frac{\partial \bar{V}_y}{\partial x} \right)^2 + \left(\frac{\partial \bar{V}_x}{\partial z} + \frac{\partial \bar{V}_z}{\partial x} \right)^2 + \left(\frac{\partial \bar{V}_y}{\partial z} + \frac{\partial \bar{V}_z}{\partial y} \right)^2 + \right. \\ \left. + 2 \left[\left(\frac{\partial \bar{V}_x}{\partial x} \right)^2 + \left(\frac{\partial \bar{V}_y}{\partial y} \right)^2 + \left(\frac{\partial \bar{V}_z}{\partial z} \right)^2 \right] - \frac{2}{3} \left(\frac{\partial \bar{V}_x}{\partial x} + \frac{\partial \bar{V}_y}{\partial y} + \frac{\partial \bar{V}_z}{\partial z} \right)^2 \right\}$$

* Bejan, A. 1988. *Advanced Engineering Thermodynamics*. Wiley, New York, table 4.7, pp. 187

Principiul doi pentru fluide în curgere, PDT

Vom valorifica ecuațiile de tip conservativ deduse anterior pe același volum de control elementar, vezi figurile 8, 9, 10.

Notațiile ce vor fi folosite în ecuațiile PDT, pentru curgerea fluidelor, sunt:

- u [J/kg] energia internă specifică,
- k [W/m K] conductivitatea termică,
- p [N/m²]– presiunea,
- q''' [W/m³] densitatea volumică de flux termic a surselor interne,
- s [J/kg K] entropia specifică,
- \dot{S} [W/K] flux de entropie,
- V [m³] volumul,
- T [K] temperatura absolută,
- t [s] timpul,
- \bar{V} [m/s] viteza,
- x, y, z , variabile geometrice,
- μ [Ns/m²] vâscozitatea dinamică,
- ρ [kg/m³] densitatea,

Generarea entropiei prin ireversibilitate este egală cu suma algebrică a variației de entropie locală, a variația de entropie ce ține cont de propagarea reală a energiei prin curgere (advecție) și a variației de entropie ce ține cont de propagarea reală a energiei prin conducție:

$$\dot{S}_{gen}''' dV = \rho \frac{\partial s}{\partial t} dV + d\dot{S}_{curgere} + d\dot{S}_{conducție}$$

După înlocuirea termenilor din membrul doi, știind că

$$\rho \frac{\partial s}{\partial T} = \frac{\rho}{T} \frac{\partial u}{\partial t} - \frac{p}{\rho T} \frac{\partial \rho}{\partial T}$$

vom obține♦:

$$\begin{aligned} \dot{S}_{gen}''' = & -\frac{1}{T} \left[\frac{\partial}{\partial x} \left(k \frac{\partial T}{\partial x} \right) + \frac{\partial}{\partial y} \left(k \frac{\partial T}{\partial y} \right) + \frac{\partial}{\partial z} \left(k \frac{\partial T}{\partial z} \right) \right] + \\ & + \frac{k}{T^2} \left[\left(\frac{\partial T}{\partial x} \right)^2 + \left(\frac{\partial T}{\partial y} \right)^2 + \left(\frac{\partial T}{\partial z} \right)^2 \right] + \frac{q'''}{T} + \rho \frac{\partial s}{\partial t} = \end{aligned}$$

♦ Bejan, A. 1988. *Advanced Engineering Thermodynamics*. Wiley, New York, pp. 609

$$= \frac{k}{T^2} \left[\left(\frac{\partial T}{\partial x} \right)^2 + \left(\frac{\partial T}{\partial y} \right)^2 + \left(\frac{\partial T}{\partial z} \right)^2 \right] + \frac{q'''}{T} + \frac{\mu}{T} \Phi$$

Termenii din ecuația de bilanț entropic sunt identificați în continuare pe fiecare tip de interacțiune, curgere și conducție.

Variația de entropie aferentă curgerii

$$d\dot{S}_{\text{curgere}} = \left(\frac{\partial(\rho \bar{V}_x s)}{\partial x} + \frac{\partial(\rho \bar{V}_y s)}{\partial y} + \frac{\partial(\rho \bar{V}_z s)}{\partial z} \right) dV$$

Variația de entropie aferentă conducției

$$d\dot{S}_{\text{conducție}} = - \left[\frac{\partial \left(-\frac{k}{T} \frac{\partial T}{\partial x} \right)}{\partial x} + \frac{\partial \left(-\frac{k}{T} \frac{\partial T}{\partial y} \right)}{\partial y} + \frac{\partial \left(-\frac{k}{T} \frac{\partial T}{\partial z} \right)}{\partial z} \right] dV$$

IREVERSIBILITATEA PRODUCE DISTRUGEREA EXERGIEI – GENERAREA DE ENTROPIE

În funcționarea reală, ireversibilă, sistemele termodinamice nu pot atinge criteriile de performanță ale sistemelor ideale, reversibile, echivalente din punctul de vedere al interacțiunilor energetice cu mediul exterior (adică ciclurile ideale complet reversibile bi sau tri-terme: motoare, mașini frigorifice, pompe de căldură, cicluri combinate, etc.).

Putem spune că ireversibilitatea este “rădăcina răului” în procesele de conversie a energiei din sistemele termodinamice.

Perfecționarea sistemelor termodinamice, respectiv reducerea ireversibilității proceselor de conversie a energiei, poate fi realizată complet prin utilizarea metodei fenomenologice. În cadrul acestei metode, numai principiul doi al termodinamicii permite vizualizarea concretă a ireversibilității, oferind astfel instrumentele principale de analiză și optimizare inginerească, prin raportarea permanentă a proceselor reale la procesele ideale.

Analiza și optimizarea în baza principiului doi pot fi realizate prin următoarele tehnici:

1. analiza generării de entropie prin ireversibilitate și minimizarea sau reducerea generării de entropie,
2. analiza exergetică și reducerea pierderilor de lucru mecanic tehnic (exergie) prin ireversibilitate.

Utilizarea celor două tehnici de analiză și optimizare poate fi aplicată pentru condiții restrictive impuse, ex.: găsirea lungimii optime de curgere sau a suprafeței optime de schimb termic din schimbătoare de căldură, definirea puterii maxime posibil de atins, repartizarea optimă a proceselor

pe componentele unui sistem termodinamic, etc.

Teorema Gouy – Stodola *

Notațiile ce vor fi folosite în ecuațiile următoare, pentru STD, sunt:

- h [J/kg K] entalpia specifică,
- M [kg] masa sistemului,
- \dot{m} [kg/s] debite masice,
- p_e [N/m²] presiunea mediului extern
- \dot{Q} , \dot{Q}_r [W] fluxuri termice,
- s [J/kg K] entropia specifică,
- S [J/K] entropia sistemului,
- T , T_r [K] temperaturi absolute,
- \dot{S}_{gen} [W/K] flux de entropie generat prin ireversibilitate,
- t [s] timp,
- U [J] energia internă a STD,
- \bar{V} [m/s] viteze de curgere,
- Z [m] poziția,
- \dot{W}_t [W] puterea mecanică la ax.

Această teoremă a contribuit fundamental la dezvoltarea analizei proceselor și sistemelor ireversibile. Ea are originile în lucrările G. Gouy – 1889 și A. Stodola – 1910.

Pentru obținerea ecuației acestei teoreme, să presupunem un sistem termodinamic generalizat prin faptul că vom considera atât schimbul de substanță cât și schimbul de căldură cu două surse termice externe cu temperaturi oarecare diferite, vezi figura 11, pe care vom corela principiile unu și doi ale termodinamicii. Condițiile restrictive sunt impuse doar prin:

- ◆ temperaturile surselor termice externe, $T = \text{const.}$, și $T_r = \text{const.}$,
- ◆ presiunea mediului ambiant $p_e = \text{const.}$,
- ◆ parametrii intrare – ieșire ai agentului de lucru variabili,
- ◆ fluxurile termice \dot{Q} și \dot{Q}_r variabile.

* Gouy, Georges, 1889. *Sur l'énergie utilisable*. *J. Phys.* 8:501-518.

Stodola, Aurel, 1910. *Steam and Gas Turbines*. McGraw-Hill, New York.

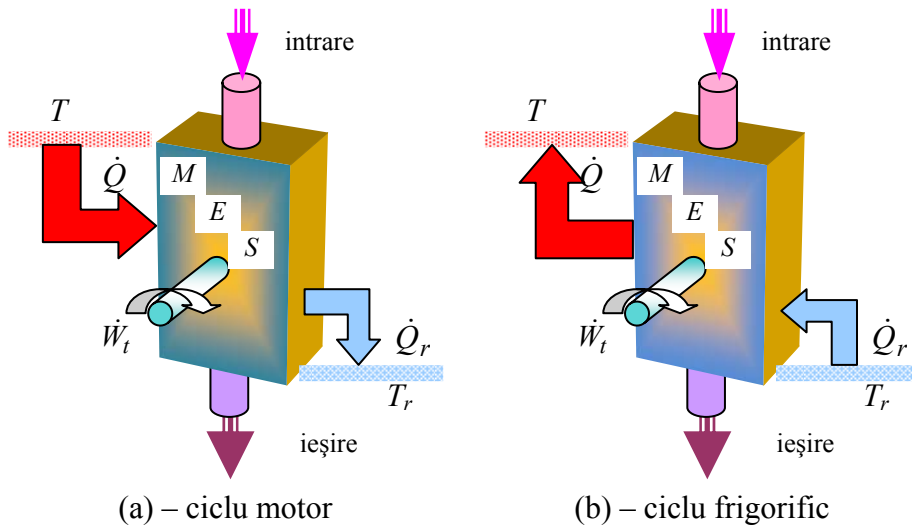


Fig. 11. Schema generală a interacțiunilor unui sistem termodinamic deschis cu mediul extern, deformabil și biterm

T, T_r – temperaturile absolute ale surselor termice externe;

\dot{Q}, \dot{Q}_r – fluxuri termice; \dot{W}_t – puterea mecanică la ax;

M – masa sistemului; E – energia sistemului; S – entropia sistemului

– **Ecuatia principiului unu**, pentru acest caz general de funcționare, este:

✓ cazul (a), motor

$$\frac{\partial U}{\partial t} = (\dot{Q} - \dot{Q}_r) - \dot{W}_t - p_e \frac{\partial V}{\partial t} + \sum_{intrare} \dot{m} \left(h + \frac{\bar{V}^2}{2} + gZ \right) - \sum_{iesire} \dot{m} \left(h + \frac{\bar{V}^2}{2} + gZ \right)$$

✓ cazul (b), mașină frigorifică

$$\frac{\partial U}{\partial t} = (\dot{Q}_r - \dot{Q}) - \dot{W}_t - p_e \frac{\partial V}{\partial t} + \sum_{intrare} \dot{m} \left(h + \frac{\bar{V}^2}{2} + gZ \right) - \sum_{iesire} \dot{m} \left(h + \frac{\bar{V}^2}{2} + gZ \right)$$

– **Conform principiului doi**, generarea de entropie prin ireversibilitate este:

✓ cazul (a), motor

$$\dot{S}_{gen} = \frac{\partial S}{\partial t} - \left(\frac{\dot{Q}}{T} - \frac{\dot{Q}_r}{T_r} \right) - \sum_{intrare} \dot{m} \cdot s + \sum_{iesire} \dot{m} \cdot s \geq 0$$

✓ cazul (b), mașină frigorifică

$$\dot{S}_{gen} = \frac{\partial S}{\partial t} - \left(\frac{\dot{Q}_r}{T_r} - \frac{\dot{Q}}{T} \right) - \sum_{intrare} \dot{m} \cdot s + \sum_{iesire} \dot{m} \cdot s \geq 0$$

Vom combina cele două ecuații prin extragerea, din ecuația PIT, a fluxului termic cedat de sistemul termodinamic și înlocuirea acestui termen în ecuația PDT. După înlocuire, se poate obține puterea mecanică la ax, din ecuația ce combină cele două principii, și astfel rezultă:

✓ cazul (a), motor, $\dot{W}_t > 0$

$$\begin{aligned} \dot{W}_t = \dot{Q} \left(1 - \frac{T_r}{T} \right) + \sum_{intrare} \dot{m} \left((h - T_r \cdot s) + \frac{\bar{V}^2}{2} + gZ \right) - \sum_{iesire} \dot{m} \left((h - T_r \cdot s) + \frac{\bar{V}^2}{2} + gZ \right) - \\ - \frac{\partial}{\partial t} (U + p_e V - T_r S) - T_r \dot{S}_{gen} = \dot{W}_t^{rev} + \dot{W}_{pierdut}^{irev} \end{aligned}$$

✓ cazul (b), mașină frigorifică, $\dot{W}_t < 0$

$$\begin{aligned} \dot{W}_t = \dot{Q}_r \left(1 - \frac{T}{T_r} \right) + \sum_{intrare} \dot{m} \left((h - T \cdot s) + \frac{\bar{V}^2}{2} + gZ \right) - \sum_{iesire} \dot{m} \left((h - T \cdot s) + \frac{\bar{V}^2}{2} + gZ \right) - \\ - \frac{\partial}{\partial t} (U + p_e V - T \cdot S) - T \cdot \dot{S}_{gen} = \dot{W}_t^{rev} + \dot{W}_{pierdut}^{irev} \end{aligned}$$

Se constată că puterea mecanică reală la ax este egală cu suma algebrică a puterii reversibile și a puterii pierdute prin ireversibilitate, adică*:

✓ cazul (a), motor

$$\dot{W}_t^{rev} = \dot{Q} \left(1 - \frac{T_r}{T} \right) + \sum_{intrare} \dot{m} (h^* - T_r s) - \sum_{iesire} \dot{m} (h^* - T_r s) - \frac{\partial}{\partial t} (U + p_e V - T_r S) > 0$$

iar $\boxed{\dot{W}_{pierdut}^{irev} = -T_r \cdot \dot{S}_{gen} < 0}$ reprezintă pierderea din producția de putere cauzată de ireversibilitate.

✓ cazul (b), mașină frigorifică

$$\dot{W}_t^{rev} = \dot{Q}_r \left(1 - \frac{T}{T_r} \right) + \sum_{intrare} \dot{m} (h^* - T s) - \sum_{iesire} \dot{m} (h^* - T s) - \frac{\partial}{\partial t} (U + p_e V - T S) < 0$$

iar $\boxed{\dot{W}_{pierdut}^{irev} = -T \cdot \dot{S}_{gen} < 0}$ are semnificația unui consum suplimentar cerut de ireversibilitate, în fapt tot o pierdere din producția de putere pe sistemul energetic global ce furnizează puterea la ax pentru mașina frigorifică.

Relația corespunzătoare puterii mecanice pierdute prin ireversibilitate este de fapt ecuația sintetică a teoremei Gouy – Stodola.

$$\boxed{\dot{W}_{pierdut}^{irev} = -T_{specific} \cdot \dot{S}_{gen} < 0}$$

Această ecuație sintetică a teoremei Gouy – Stodola postulează de fapt că exergia pierdută (lost exergy) având ca origine lucrarea lui Z. Rant – 1956[♦], respectiv puterea mecanică disponibilă pierdută (lost available work)

* $h^* = h + \frac{\bar{v}^2}{2} + g \cdot Z$ poartă denumirea de metalpie sau entalpie generalizată

♦ Rant, Z., *Exergie ein neues Wort für "technische Arbeitsfähigkeit"*, Forsch. Ingenieurwes., vol. 22, 1956, 36

definită prin lucrările lui J.H. Keenan – 1941 și J. Kestin – 1980*, sunt proporționale cu entropia generată prin ireversibilitate.

Factorul de proporționalitate este temperatura $T_{specific}$, care pentru STD din figura 11 este întotdeauna temperatura sursei termice ce primește căldura cedată din ciclul operațional al STD, respectiv pentru cazul (a) $T_{specific} = T_r$, iar pentru cazul (b) $T_{specific} = T$. Pentru aceeași funcționare ciclică, sursa termică respectivă este în mod obișnuit mediul ambiant caracterizat prin parametrii generici $T_{specific} = T_0$ și $p_e = p_0$.

Din punct de vedere energetic, $\dot{W}_{pierdut}^{irev} = -T_{specific} \cdot \dot{S}_{gen} < 0$ reprezintă în final efectul termic cumulat al ireversibilității, respectiv distrugerea energiei ordonate prin disipare în energie dezordonată cumulată de sursa termică ce primește căldura cedată din ciclul operațional.

Când entropia generată prin ireversibilitate tinde spre zero, $\dot{S}_{gen} \rightarrow 0$ atunci se schimbă puterea mecanică reversibilă, \dot{W}_t^{rev} , care este fie puterea mecanică la ax maximă, pentru condițiile restrictive impuse, produsă într-un ciclu motor reversibil fie puterea mecanică la ax minimă, pentru condițiile restrictive impuse, consumată într-un ciclu frigorific reversibil.

Dacă analizăm relația generală a puterii mecanice reversibile la ax, identificăm următorii trei termeni, prezentați în continuare.

$$\dot{W}_t^{rev} = \dot{W}_{t,Q \text{ sau } Q_r}^{rev} + \dot{W}_{t,curgere}^{rev} + \dot{W}_{t,stocaj}^{rev}$$

➤ **Primul termen, $\dot{W}_{t,Q \text{ sau } Q_r}^{rev}$, corespunde conversiei energetice reversibile căldură consumată ciclic – lucru mecanic tehnic (fluxul termic consumat ciclic – puterea mecanică reversibilă la ax).**

* Keenan, J.H., *Thermodynamics*, Wiley, New York, 1941, 284-293

Kestin, J., *Availability, the concept and associated terminology*, Energy, vol. 5, 1980, 679-692

În cazul (a) când căldura „curge” natural prin sistem de la T la $T_r < T$, atunci acest termen reprezintă contribuția reversibilă maximă a fluxului termic \dot{Q} la producția de putere mecanică la ax, $\dot{W}_{t,\dot{Q}}^{rev} = \dot{Q} \left(1 - \frac{T_r}{T}\right) > 0$, respectiv reprezintă puterea unui ciclu CARNOT motor ideal ce evoluează între sursele termice cu temperaturile T și $T_r < T$.

În cazul (b) impunem prin sistemul termodinamic deschis un transfer ne-natural al fluxului termic \dot{Q}_r de la T_r la $T > T_r$, iar puterea mecanică la ax devine negativă (consum). Deci $\dot{W}_{t,\dot{Q}_r}^{rev} = -\dot{Q}_r \left(\frac{T}{T_r} - 1\right) = -\frac{\dot{Q}_r}{T_r/(T - T_r)} < 0$ reprezintă puterea mecanică minimă consumată reversibil într-o mașină frigorifică CARNOT ideală operând între $T_r < T$ și T .

➤ **Al doilea termen, $\dot{W}_{t,curgere}^{rev}$, caracterizează conversia energetică reversibilă „energia disponibilă” a fluidului în curgere – lucrul mecanic tehnic („puterea disponibilă” a fluidului în curgere – puterea mecanică reversibilă la ax $\dot{W}_{t,curgere}^{rev}$):**

$$\dot{W}_{t,curgere}^{rev} = \sum_{intrare} \dot{m}(h^* - T_{specific}S) - \sum_{iesire} \dot{m}(h^* - T_{specific}S)$$

Dacă $\dot{W}_{t,curgere}^{rev} > 0$, $\dot{W}_{t,curgere}^{rev}$ este puterea mecanică maximă produsă reversibil la ax numai din „puterea disponibilă” a fluidului în curgere. Aceasta situație corespunde în general unei destinderi intrare – ieșire, ex.: un turbomotor.

Dacă $\dot{W}_{t,curgere}^{rev} < 0$ $\dot{W}_{t,curgere}^{rev}$ este puterea mecanică minimă consumată reversibil la ax pentru a crește „puterea disponibilă” a fluidului în curgere. Aceasta situație corespunde în general unei comprimări intrare – ieșire, ex.: un compresor.

➤ *Al treilea termen, $\dot{W}_{t, \text{stocaj}}^{\text{rev}}$, caracterizează procesul energetic reversibil stocarea energiei în STD – lucrul mecanic tehnic (energie stocată în unitatea de timp – puterea mecanică reversibilă la ax $\dot{W}_{t, \text{stocaj}}^{\text{rev}}$), apare în cazul funcționărilor nestaționare:*

✓ cazul (a), motor

$$\dot{W}_{t, \text{stocaj}}^{\text{rev}} = -\frac{\partial}{\partial t} (U + p_e V - T_r S) > 0$$

✓ cazul (b), mașină frigorifică

$$\dot{W}_{t, \text{stocaj}}^{\text{rev}} = -\frac{\partial}{\partial t} (U + p_e V - TS) < 0$$

Disponibilitate energetică (availability) sau lucru mecanic disponibil (available work)*

În general se consideră că variația disponibilității energetice produce lucrul mecanic reversibil specific (lucrul mecanic disponibil) „alocat” unei singure conversii energetice. Relațiile pentru disponibilitatea energetică au la bază lucrul mecanic disponibil și pot fi determinate prin particularizarea interacțiunilor energetice și masice ale sistemului termodinamic analizat, vezi figura 11.

Vom exemplifica, în continuare, un drum logic de determinare a semnificației lucrului mecanic disponibil respectiv a disponibilității energetice pentru două situații particulare.

* Keenan, J.H., *Thermodynamics*, Wiley, New York, 1941, 284-293

Kestin, J., *Availability, the concept and associated terminology*, Energy, vol. 5, 1980, 679-692

1. *Cazul unei curgeri staționare adiabatică printr-un STD nedeformabil. Vom elimina astfel relațiile termice cu sursele externe și relația mecanică de deformare corespunzătoare presiunii externe p_e . STD particularizat interacționează numai masic cu mediul exterior. Vom considera de asemenea un singur agent de lucru, vezi figura 12.*

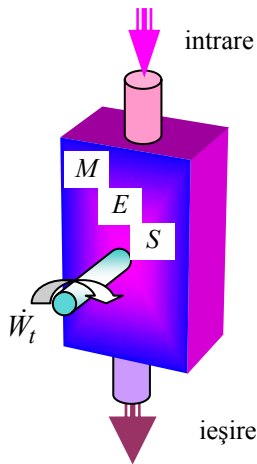


Fig. 12. Schema generală a interacțiilor masice ale unui sistem termodinamic deschis

\dot{W}_t – puterea mecanică la ax;
 M – masa sistemului; E – energia sistemului;
 S – entropia sistemului

Ca urmare putem considera:

$$\dot{Q} = 0, \quad \dot{Q}_r = 0, \quad p_e \frac{\partial V}{\partial t} = 0, \quad \frac{\partial S}{\partial t} = 0, \quad \frac{\partial U}{\partial t} = 0$$

Prin particularizarea ecuației puterii mecanice la ax, ce reunește cele două principii PIT și PDT, va rezulta într-o primă etapă:

$$\begin{aligned} \dot{W}_t &= \left[\sum_{intrare} \dot{m}(h^* - T_{specific}S) - \sum_{iesire} \dot{m}(h^* - T_{specific}S) \right] - T_{specific} \dot{S}_{gen} = \\ &= \dot{W}_{t,curgere}^{rev} + \dot{W}_{pierdut}^{irev} \end{aligned}$$

Disponibilitatea energetică a fluidului, „b*” sau „b”, în curgere se definește în baza lucrului mecanic tehnic specific reversibil corespunzător

masei unitare ce curge prin STD:

$$w_{t,curgere}^{rev} = \frac{\dot{W}_{t,curgere}^{rev}}{\dot{m}} = (\Delta h^* - T_{specific} \Delta s)_{STD} = -\Delta b^*$$

Astfel lucrul mecanic tehnic specific reversibil, $w_{t,curgere}^{rev}$, obținut numai în baza „curgerii” a fost denumit ca *lucru mecanic disponibil* al masei unitare în curgere printr-un STD (available work) și este produs prin variația disponibilității energetice caracteristice curgerii, notații „b*”, sau în particular „b”:

- ✓ *disponibilitatea energetică „b*”,* când variațiile de energie cinetică și potențială nu pot fi neglijate,

$$b^* = h^* - T_{specific} s$$

- ✓ sau *disponibilitatea energetică „b”,* când aceste variații sunt neglijabile, cazul curgerilor echilibrate:

$$b = h - T_{specific} s$$

Precizăm încăodată că $T_{specific}$ este întotdeauna temperatura sursei termice externe ce primește căldura cedată de sistemul termodinamic.

2. *Cazul unui proces nestaționar dintr-un STI adiabatic și deformabil, vezi figura 13. Vom elimina în acest caz relațiile termice și masice și ca urmare:*

$$M = const., \dot{Q} = 0, \dot{Q}_r = 0, \sum_{\substack{intrare \\ iesire}} \dot{m} (h^* - T_{specific} s) = 0$$

Prin această particularizare a interacțiunilor cu mediul extern, puterea mecanică la ax devine:

$$\dot{W}_t = -\frac{\partial}{\partial t} (U + p_e V - T_r S) - T_{specific} \dot{S}_{gen} =$$

$$= -M \left[\frac{\partial}{\partial t} (u + p_e v - T_{specific} s) + T_{specific} \dot{s}_{gen} \right] =$$

$$= \dot{W}_t^{rev} + \dot{W}_{pierdut}^{irev} = M (\dot{w}_t^{rev} + \dot{w}_{pierdut}^{irev})$$

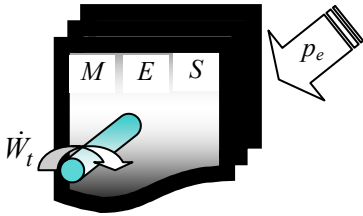


Fig. 13. Schema generală a sistem termodinamic închis și deformabil cu o evoluție în regim nestaționar

p_e – presiunea externă, pe conturul STD;
 \dot{W}_t – puterea mecanică la ax;
 M – masa sistemului; E – energia sistemului;
 S – entropia sistemului

Lucrul mecanic tehnic specific reversibil, la un anumit moment pe o evoluție nestaționară, produs de masa unitară considerată STI este de fapt lucrul mecanic disponibil caracteristic proceselor nestaționare din STI fiind și în acest caz produs prin variația disponibilității energetice, notație „a”:

$$w_t = \dot{w}_t^{rev} dt = \frac{\dot{W}_t^{rev}}{M} dt = -\frac{\partial}{\partial t} (u + p_e v - T_{specific} s) dt = -\frac{\partial a}{\partial t} dt \Rightarrow$$

$$a = u + p_e v - T_{specific} s$$

Exergia sau „lucrul mecanic disponibil extrem”

Disponibilitatea energetică (availability) și lucrul mecanic disponibil (available work) au fost generalizate de către Z. Rant* prin introducerea conceptului de **exergie** ca fiind lucrul mecanic disponibil extrem pentru toate formele de conversie complet reversibilă energiei dezordonate – energii

* Rant, Z., *Exergie ein neues Wort für „technische Arbeitsfähigkeit”*, Forsch. Ingenieurwes., vol. 22, 1956, 36

ordonate.

Astfel, în cazul conversiei energiei dezordonate → energii ordonate, complet reversibile, exergia este lucrul mecanic disponibil maxim (producție de lucru mecanic tehnic maxim-maximorum), iar în cazul conversiei complet reversibile energii ordonate → energii dezordonate, exergia este lucrul mecanic disponibil minim (consum de lucru mecanic tehnic minim-minimorum).

Pentru explicarea exergiei este necesară o analiză primară a conversiilor complet reversibile energii dezordonate → energii ordonate.

Conversiile energetice complet reversibile sunt caracterizate sintetic prin condiția $\dot{S}_{gen} \rightarrow 0$. În aceste conversii, energiile dezordonate au o disponibilitate energetică variabilă, respectiv lucrul mecanic disponibil este variabil și dependent de parametrii externi, ex.: temperaturile surselor termice externe, parametrii de intrare și ieșire ai agentului de lucru, presiunea mediului ambiant.

Dezvoltarea conceptului de exergie (lucru mecanic disponibil extrem) impune clarificarea aspectelor explicate mai jos.

1. În primul rând este obligatorie condiția introducerii unei stări de referință (dead state) pentru care lucrul mecanic disponibil al unui tip de energie dezordonată este „zero”. Stabilirea acestei stări de referință se face prin particularizarea conversiei energetice complet reversibile, pornind de la structura lucrului mecanic tehnic reversibil aferent acestei conversii. Starea de referință pentru procesele fizice a fost standardizată, respectiv este starea de echilibru termodinamic (termic și mecanic) cu mediul ambiant când disponibilitatea energetică este „nevalorificabilă”, respectiv lucrul mecanic disponibil al oricărui tip de energie dezordonată este zero. În procesele chimice, extrem de complexe, s-au impus subiectiv diverse stări de referință, deoarece echilibrul cu mediul ambiant include pe lângă echilibrul termodinamic și echilibrul chimic ce depinde de natura și parametrii speciei chimice de referință din mediul

ambient.

2. În conversiile reversibile energii dezordonate – energii ordonate, „calitatea” energiilor dezordonate este diferită de cea a energiilor ordonate și anume că orice energie dezordonată (energia internă, entalpia sau metalpia, respectiv căldura ca formă de transfer a energiei) au calitativ structura formată din doi termeni, unul este lucrul mecanic disponibil extrem, iar al doilea este „reziduul” energetic (nevalorificabil). Prin intermediul conceptului de exergie, această structură este:

$$\begin{array}{rcl}
 EnDez & = & Ex \quad + \quad An \\
 \text{energie} & = & \text{exergie sau lucru mecanic} \quad + \quad \text{anergie}^* \text{ sau eventual „reziduu} \\
 \text{dezordonată} & & \text{disponibil extrem} \quad \text{energetic”}
 \end{array}$$

Precizăm că, prin comparație, energiile ordonate sunt formate numai din exergie, $EnOrd = EX$.

Exergia căldurii consumate ciclic de sistemele termodinamice

Particularizarea conversiei energetice căldură/frig – lucru mecanic tehnic reversibil, în sisteme termodinamice cu funcționare ciclică, este redată schematic în figurile 14 – ciclul motor și 15 – ciclul frigorific, în care sunt schițate interacțiunile energetice specifice pentru cele două posibilități primare de funcționare continuă (ciclică).

Vom considera numai interacțiunile termice și mecanice ale ambelor cicluri primare, ambele sisteme închise, nedeformabile, iar regimul de funcționare staționar. Pentru uniformizarea notațiilor vom considera pentru toate cazurile că sursa termică ce furnizează căldura consumată ciclic are temperatura T iar sursa termică ce primește căldura cedată ciclic are temperatura T^* .

Pentru cele două cicluri, puterea mecanică la ax reversibilă are ecuațiile:

* termenul de anergie este recunoscut ca atare în special în literatura de specialitate română

$$\dot{W}_{t,Q}^{rev} = \dot{Q} \left(1 - \frac{T^*}{T} \right) > 0 \text{ pentru ciclul motor } T^* < T \text{ și}$$

$$\dot{W}_{t,Q}^{rev} = \dot{Q} \left(1 - \frac{T^*}{T} \right) = - \frac{\dot{Q}}{T/(T^*-T)} < 0 \text{ pentru ciclul frigorific } T^* > T$$

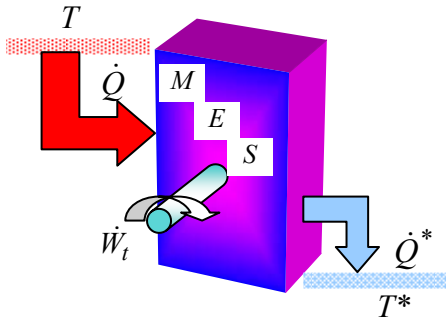


Fig. 14. Schema relațiilor energetice ale unui ciclu motor – STI

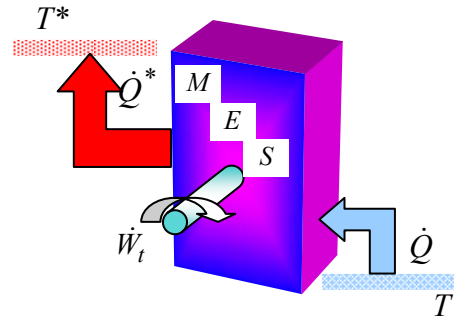


Fig. 15. Schema relațiilor energetice ale unui ciclu frigorific – STI

În ambele cazuri se poate observa că această putere este de fapt cea corespunzătoare ciclurilor Carnot ideale ce evoluează între cele două surse termice externe cu temperaturi T și T^* .

Având în vedere că aceste cicluri au coeficientul de performanță energetică, CPE, maxim în condițiile restrictive impuse inițial, putem postula că „puterea mecanică disponibilă” a fluxului termic consumat ciclic este puterea mecanică la ax reversibilă, deci $\dot{W}_{disponibil,Q} = \dot{W}_{t,Q}^{rev}$ pentru ambele cicluri și are deasemenea aceeași relație de definiție:

$$\dot{W}_{disponibil,Q} = \dot{Q} \left(1 - \frac{T^*}{T} \right) = \dot{W}_{t,Q}^{rev}$$

Lucrul mecanic disponibil poate fi dedus prin dependența de timp:

$$W_{disponibil,Q} = \int \dot{W}_{disponibil,Q} \cdot dt = W_{t,Q}^{rev}$$

Pentru masa unitară în curgere printr-un STD vom avea $w_q = \frac{\dot{W}_Q}{\dot{m}} = q \left(1 - \frac{T^*}{T}\right) > 0$ pentru ciclul motor și $w_q = \frac{\dot{W}_Q}{\dot{m}} = -\frac{q}{T/(T^*-T)} < 0$ pentru ciclul frigorific.

Exergia căldurii consumate ciclic reprezintă lucrul mecanic disponibil extrem aferent căldurii consumate ciclic. Valoarea extremă a lucrului mecanic disponibil depinde de temperaturile celor două surse termice externe.

Temperatura sursei termice ce furnizează căldura consumată ciclic este impusă pentru fiecare aplicație practică (condiție restrictivă operațională pentru ambele cicluri primare).

Ca urmare singura posibilitate de extremizare a puterii mecanice disponibile, corespunzătoare fluxului termic consumat ciclic, se poate face prin alegerea optimă a sursei termice externe ce primește căldura cedată din ciclurile de lucru. În plus, această sursă termică trebuie să existe respectiv să fie accesibilă fără consumuri energetice suplimentare. Singura sursă termică posibilă este chiar mediul ambiant cu parametrii generici $T^* = T_0 \approx \text{const.}$ și $p_0 \approx \text{const.}$, vezi figurile 16 și 17.

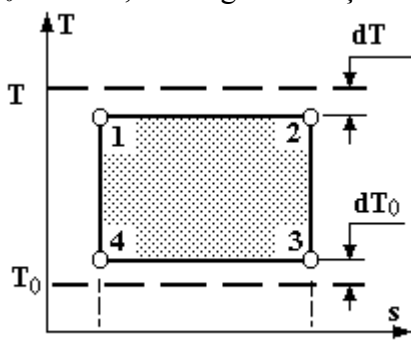


Fig.16. Ciclul Carnot motor ideal ce evoluează între T și $T_0 < T$

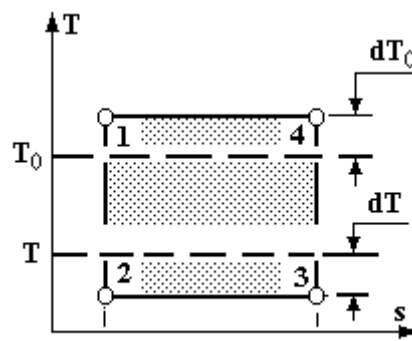


Fig.17. Ciclul Carnot frigorific ideal ce evoluează între T și $T_0 > T$

Prin standardizarea sursei termice ce primește căldura din ciclurile de lucru primare, se poate obține relația de definiție a exergiei căldurii consumate în orice proces ciclic simplu.

Aceste considerente ne permit să stabilim scara **exergiei căldurii** consumate ciclic prin alegerea mediului ambiant, cu temperatura $T_0 = T^*$, ca sursa termică ce primește fluxul termic cedat ciclic \dot{Q}_0 . Astfel fluxul de exergie al fluxului termic consumat ciclic capătă forma generală:

$$\dot{E}x_Q = \dot{Q} \left(1 - \frac{T_0}{T} \right)$$

Exergia căldurii consumate ciclic de masa unitară devine:

$$ex_q = \frac{\dot{E}x_Q}{\dot{m}} = q \left(1 - \frac{T_0}{T} \right)$$

În aceste relații de definiție, T este temperatura sursei ce alimentează cu căldură ciclul iar T_0 este temperatura mediului ambiant.

Anergia căldurii schimbate ciclic va fi:

$$\dot{A}_Q = \dot{Q} - \dot{E}x_Q = \dot{Q} \frac{T_0}{T}, \text{ respectiv pentru masa unitară } a_q = q - e_q = q \frac{T_0}{T}$$

Exergia căldurii pentru procese neadiabatic

Pentru procesele neadiabatic reversibile incluse în cicluri operaționale, exergia căldurii se poate obține prin extrapolarea relației generale pentru cicluri. Astfel vom considera două procese de încălzire, vezi figura 18.

Primul proces realizează contactul termic cu sursa caldă dintr-un ciclu motor, deci temperatura termodinamică medie a procesului este mai mare decât cea a mediului ambiant, $T_{mq} > T_0$. Al doilea proces realizează contactul termic cu sursa rece într-un ciclu frigorific, respectiv temperatura termodinamică medie a procesului este mai mică decât cea a mediului

ambiant, $T_{mq} < T_0$.

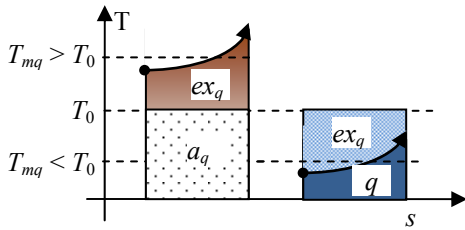


Fig. 18.

Diagrama $T - s$ pentru procese neadiabatice

Pentru ambele procese reversibile, fluxul termic consumat ciclic este:

$$\dot{Q} = \dot{m} \int T ds = \dot{m} T_{mq} \Delta s_q$$

iar pentru masa unitară vom avea $q = \frac{\dot{Q}}{\dot{m}} = T_{mq} \Delta s_q$

În relațiile de mai sus, pentru agentul termodinamic precizat, \dot{m} și Δs_q sunt debitul masic și variația entropiei specifice produsă prin relația termică, procesul fiind considerat reversibil intern.

Prin intermediul temperaturii termodinamice medii a procesului, se poate considera că și în această situație exergia căldurii este lucrul mecanic tehnic al unui ciclu Carnot ce evoluează între temperaturile T_{mq} și T_0 . Fluxul de exergie al fluxului termic consumat \dot{Q} , respectiv exergia căldurii q , prin raportare la masa unitară, vor fi:

$$\boxed{\dot{E}x_Q = \dot{Q} \left(1 - \frac{T_0}{T_{mq}} \right)} \text{ iar pentru masa unitară } \boxed{ex_q = \frac{\dot{E}x_Q}{\dot{m}} = q \left(1 - \frac{T_0}{T_{mq}} \right)}$$

Anergia căldurii schimbate în procesul reversibil va fi în consecință:

$$\dot{A}_Q = \dot{Q} - \dot{E}x_Q = \dot{Q} \frac{T_0}{T_{mq}}, \text{ iar pentru masa unitară } a_q = q - ex_q = q \frac{T_0}{T_{mq}}$$

Exergia fizică a fluidelor în curgere prin sisteme termodinamice

Disponibilitatea energetică a unui fluid, „b*” sau „b”, în curgere printr-un sistem termodinamic a fost definită anterior în baza lucrului mecanic tehnic specific reversibil corespunzător masei unitare ce curge printr-un STD. $b^* = h^* - T_{specific}S$ este disponibilitatea energetică când variațiile de energie cinetică și potențială nu pot fi neglijate sau $b = h - T_{specific}S$ este disponibilitatea energetică pentru situația când aceste variații sunt neglijabile, cazul curgerilor echilibrate.

Lucrul mecanic tehnic specific disponibil este:

$$w_{t,curgere}^{rev} = -\Delta b^* (= -\Delta b)_{\substack{\text{curgeri} \\ \text{echilibrate}}}$$

Exergia fizică a fluidelor în curgere prin STD este definită similar prin variația „extremă” a disponibilității energetice a masei unitare ce curge prin STD, respectiv este egală cu lucrul mecanic disponibil extrem:

$$ex = -(\Delta b^*)_{extrem} (= -\Delta b)_{\substack{\text{curgeri echilibrate} \\ \text{extrem}}}$$

În cazul curgerilor fără reacții chimice, starea de referință (dead state) este starea de echilibru termodinamic cu mediul exterior. Pentru un agent termodinamic ales, starea de echilibru termodinamic cu mediul ambiant este impusă prin condițiile restrictive:

$$T = T_0, p = p_0 \text{ respectiv } h_0 = h_0(T_0, p_0) \text{ și } s_0 = s_0(T_0, p_0)$$

În aceste condiții restrictive, temperatura de echilibru termodinamic cu mediul ambiant, T_0 , poate fi unică pentru toate substanțele, dar presiunea de echilibru cu mediul ambiant, p_0 , depinde de natura substanței de referință existente în mediul ambiant. Ca urmare, entalpia specifică h_0 și entropia specifică s_0 ce caracterizează echilibrul termodinamic cu mediul extern vor depinde și ele de natura substanței de referință existente în mediul ambiant.

În plus, h_0 și s_0 vor depinde și de natura agentului termodinamic de lucru. Astfel, pentru substanțele elementare de lucru $h_0(T_0, p_0) = \int_{T_0^*, p_0^*}^{T_0, p_0} dh$

și $s_0(T_0, p_0) = \int_{T_0^*, p_0^*}^{T_0, p_0} ds$, în care T_0^* și p_0^* sunt parametrii standard pentru care entalpia specifică și entropia specifică sunt impuse cu valori egale cu „zero”.

Dacă aceste substanțe elementare sunt necondensabile (au evoluții numai în domeniul gazos), atunci T_0^* și p_0^* corespund uzual stării fizice normale ($T_0^* = 273,15 \text{ K}$ și $p_0^* = 1 \text{ atm}$).

Dacă substanțele elementare sunt condensabile (evoluțiile includ și transformări de fază), T_0^* și p_0^* corespund punctului triplu.

În mod curent, valorile h și s pentru substanțe elementare pot fi obținute pentru cele două tipuri de evoluții prin considerarea aproximațiilor de mai jos.

- Pentru evoluții în domeniul gazos putem considera modelul gazului perfect și deci pentru masa unitară vom avea

$$h = \int_{T_0^*}^T dh \cong \int_{T_0^*}^T c_p dT = \bar{c}_p \cdot (T - T_0^*)$$

$$s = \int_{T_0^*, p_0^*}^{T, p} ds = \int_{T_0^*, p_0^*}^{T, p} \left(\frac{dh}{T} - \frac{v}{T} dp \right) \cong \bar{c}_p \cdot \ln \frac{T}{T_0^*} - R \cdot \ln \frac{p}{p_0^*}$$

unde

- $c_p(T)$ este căldura specifică izobară în domeniul gazos, \bar{c}_p este căldura specifică izobară medie pe intervalul de temperaturi al evoluției și
- $R \cong \frac{R_M}{M} \cong \frac{p \cdot v}{T}$ este constanta caracteristică de gaz perfect,
- R_M și M sunt constanta universală a gazelor perfecte și masa molară a substanței elementare.

- Pentru evoluții cu transformări de fază (tip vaporizare – condensare), vom particulariza drumul pe care putem evalua valorile h și s , deoarece variațiile acestor parametri de stare sunt aceleași indiferent de drum. Astfel vom adopta următoarea succesiune de transformări, o

transformare de fază izobară și izotermică pornind din punctul triplu (T_0^*, p_0^*) , urmată de un proces reversibil în domeniul gazos, unde iar putem considera modelul gazului perfect. Pentru masa unitară vom avea:

$$h = \left(\int_{T_0^*, p_0^*}^{T_0^*, p_0^*} dh \right)_{\text{vaporizare}} + \left(\int_{T_0^*}^T dh \right)_{\text{domeniu gazos}} \cong l_0 + \bar{c}_p \cdot (T - T_0^*)$$

$$s = \left(\int_{T_0^*, p_0^*}^{T_0^*, p_0^*} ds \right)_{\text{vaporizare}} + \left(\int_{T_0^*, p_0^*}^{T, p} ds \right)_{\text{domeniu gazos}} \cong \frac{l_0}{T_0^*} + \bar{c}_p \ln \frac{T}{T_0^*} - R \ln \frac{p}{p_0^*}$$

în care \bar{c}_p și R au aceleași semnificații, în domeniul gazos, iar l_0 este căldura latentă de vaporizare pe transformarea izobară, $p_0^* = \text{const.}$, și izotermică $T_0^* = \text{const.}$

Indiferent de natura substanței elementare de lucru, putem postula că exergia fizică a fluidelor în curgere este lucrul mecanic disponibil extrem produs prin variația disponibilității energetice între o stare dată și starea de echilibru termodinamic cu mediul ambiant:

$$ex = (w_{t, \text{curgere}}^{\text{rev}})_{\text{extrem}} = -(\Delta b^*)_{\text{extrem}} = h^* - h_0 - T_0(s - s_0)$$

sau pentru curgerile echilibrate

$$ex = (w_{t, \text{curgere}}^{\text{rev}})_{\text{extrem}} = -(\Delta b)_{\text{extrem}} = h - h_0 - T_0(s - s_0)$$

Fluxul de exergie fizică caracteristic curgerii se obține prin multiplicarea cu debitul masic, $\dot{E}x = \dot{m} \cdot ex$.

Structura exergiei fizice a fluidelor în curgere prin STD

Structura exergiei fizice a fluidelor ce curg prin STD include două componente majore, una internă dependentă de parametrii de stare ai fluidului și a doua de externă funcție de condiții externe. Componenta internă este la rândul ei rezultanta a două disponibilități energetice interne ale fluidului în curgere, cea termică controlată prin temperatură și cea

mecanică controlată prin presiune.

Structura exergiei fizice a fluidelor ce curg prin STD și semnificația acestei structuri se obțin prin înlocuirea entalpiei specifice și entropiei specifice în relațiile exergiei fizice. Vom exemplifica pentru evoluții în domeniul gazos, unde pentru masa unitară vom avea:

$$\begin{aligned} ex &= \left[\bar{c}_p \cdot (T - T_0) + \frac{\bar{V}^2}{2} + g \cdot Z \right] - T_0 \left(\bar{c}_p \cdot \ln \frac{T}{T_0} - R \cdot \ln \frac{p}{p_0} \right) = \\ &= \left[\bar{c}_p T_0 \left(\frac{T}{T_0} - 1 - \ln \frac{T}{T_0} \right) + RT_0 \ln \frac{p}{p_0} \right] + \left(\frac{\bar{V}^2}{2} + g \cdot Z \right) = (ex)_{intern} + (ex)_{extern} \end{aligned}$$

Prin identificare, vom avea structura exergiei fizice dată de cei doi termeni principali, $(ex)_{intern}$ – exergia internă determinată de parametrii de stare a fluidului și $(ex)_{extern}$ – exergia externă dependentă de condiții externe:

$$\begin{aligned} (ex)_{intern} &= \left[\bar{c}_p T_0 \left(\frac{T}{T_0} - 1 - \ln \frac{T}{T_0} \right) + RT_0 \ln \frac{p}{p_0} \right] \\ (ex)_{extern} &= \left(\frac{\bar{V}^2}{2} + g \cdot Z \right), \text{ pentru curgeri echilibrate } (ex)_{extern} = 0 \end{aligned}$$

După cum se vede, exergia fizică internă este la rândul ei formată din două componente, una funcție numai de temperatură, ex_T – componenta termică, și a doua funcție numai de presiune, ex_p – componenta mecanică:

$$\begin{aligned} ex_T &= \bar{c}_p T_0 \left(\frac{T}{T_0} - 1 - \ln \frac{T}{T_0} \right) = \bar{c}_p (T - T_0) \left(1 - \frac{T_0}{(T - T_0) / \ln \frac{T}{T_0}} \right) = q_{1-a} \left(1 - \frac{T_0}{T_{mq}^{1-a}} \right) \text{ și} \\ ex_p &= RT_0 \ln \frac{p}{p_0} \end{aligned}$$

Semnificațiile celor două componente, ex_T și ex_p , sunt evidențiate grafic în diagramele $p - v$ și $T - s$ din figura 19, și dependențele adimensionale $\frac{ex_T}{RT_0} = f\left(\frac{T}{T_0}\right)$ și $\frac{ex_p}{RT_0} = f\left(\frac{p}{p_0}\right)$ din figurile 20 și 21.

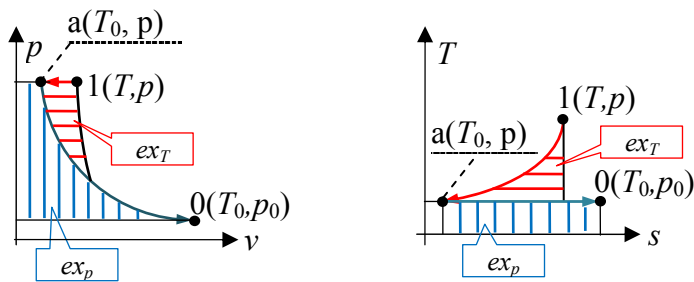


Fig. 19. Echivalența grafică a componentelor ex_T și ex_p în diagramele $p - v$ și $T - s$

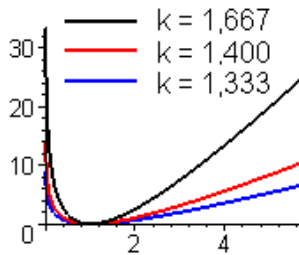


Fig. 20. $\frac{ex_T}{RT_0} = f\left(\frac{T}{T_0}\right)$, $\bar{c}_p \cong \frac{kR}{k-1}$ pentru diferiți exponenți adiabatici k
 $\frac{ex_T}{RT_0} = 0$ pentru $\frac{T}{T_0} = 1$

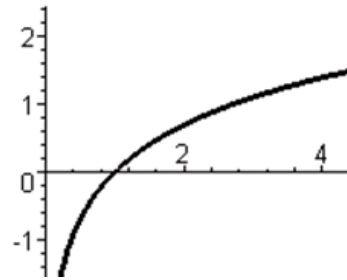


Fig. 21. $\frac{ex_p}{RT_0} = f\left(\frac{p}{p_0}\right)$

Componenta $ex_T = q_{1-a} \left(1 - \frac{T_0}{T_{mq}^{1-a}}\right) = ex_{q_{1-a}}$ are semnificația exergiei căldurii din procesul izobaric reversibil $(1 - a)_{p_1 = p_a = p}$.

Componenta $ex_p = RT_0 \ln \frac{p}{p_0} = w_{t,rev}^{1-a}$ reprezintă lucrul mecanic tehnic specific reversibil din procesul izotermic reversibil $(a - 0)_{T_a = T_0}$.

Precizăm că în procesele izoterme la temperatura mediului ambiant, T_0 , căldura schimbată cu mediul ambiant la diferență elementară de temperatură asigură doar condiția de izotermie, nu contribuie cu nimic la

valoarea componentei ex_p , deoarece exergia al acestei călduri este egală cu zero $ex_{q_{a-0}} = q_{a-0} \left(1 - \frac{T_0}{T_a}\right) = 0$.

Valoarea componentei ex_p este luată din disponibilitatea energetică internă a fluidului, dependentă de presiunea $p \neq p_0$.

Exergia fizică în procesele nestaționare din STI

Lucrul mecanic tehnic specific reversibil, la un anumit moment pe o evoluție nestaționară, produs de masa unitară considerată STI este și în acest caz produs prin variația disponibilității energetice „a”:

$$w_t = -\frac{\partial a}{\partial t} dt$$

$$\text{cu } a = u + p_e v - T_{\text{specific}} s$$

Exergia fizică corespunzătoare acestor procese se face din nou prin alegerea stării de referință dată prin $p_e = p_0$ și $T_{\text{specific}} = T_0$. Ca urmare vom avea:

$$ex_{STI} = w_{t,extrem} = -\int_{T,p}^{T_0,p_0} \left(\frac{\partial a}{\partial t} dt \right) \text{ cu}$$

$$a_{extrem} = u + p_0 v - T_0 s = h - T_0 s - v(p - p_0) = b_{extrem} - v(p - p_0)$$

Structura exergiei fizice, ex_{STI} , se poate evidenția prin înlocuirea mărimilor u , v și s , respectiv, $u = (h - pv)$, iar s are aceleași relații uzuale explicate la exergia fizică a fluidelor în curegere prin STD. Valoarea volumului specific, v , poate fi dată prin modelul aproximativ al gazului perfect numai pentru evoluții în domeniul gazos, pentru evoluții cu transformări de fază trebuie să apelăm la tabelele termodinamice ale substanțelor elementare, transpuse pe cât posibil într-o formă analitică.

Exergia din procese de ardere

Analiza exergetică a reacțiilor de ardere este complexă pentru că necesită cunoașterea completă a compoziției combustibilului și a proprietăților $h(T,p)$, $u(T,p)$ și $s(T,p)$ pentru toate speciile chimice implicate în procesul de ardere.

Pentru a putea defini exergia arderii reversibile și a căldurii dezvoltate prin ardere, vom aplica și corela PIT și PDT.

PIT va furniza datele cantitative caracteristice arderii respectiv puterea calorifică și temperatura adiabatică de ardere, iar PDT va permite evaluarea exergiei (lucrul mecanic disponibil maxim) și a generării de entropie prin ireversibilitate.

Căldura de ardere sau puterea calorifică (heating value), Q_{HV}

Căldura dezvoltată prin ardere se determină prin măsurători calorimetrice standard și este denumită putere calorifică (Q_{HV} – heating value). Valoarea puterii calorifice va depinde și de natura procesului de ardere, ex. la presiune constantă și la volum constant, vezi figurile 22 și 23.

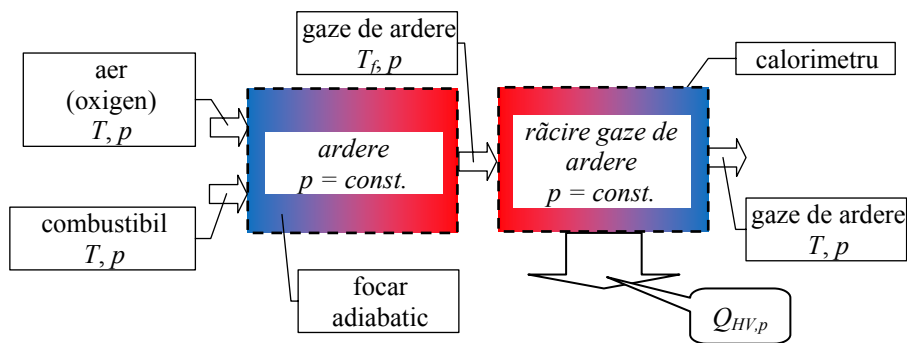


Fig. 22. Schema energetică de determinare a puterii calorifice pentru arderea izobară, STD

Puterea calorică este raportată fie la masa combustibilului, $[Q_{HV}]_{SI} = [J/kg \text{ cb}]$ sau la cantitatea de substanță a combustibilului $[Q_{HVM}]_{SI} = [J/kmol \text{ cb}]$, $Q_{HVM} = M_{cb} * Q_{HV}$, unde M_{cb} este masa molară a combustibilului.

Arderea izobară urmată de răcirea izobară ulterioară, într-un calorimetru, poate fi abordată într-o succesiune de două etape. Prima etapă este o ardere izobară fără schimb de căldură (adiabatică) ce duce la creșterea temperaturii gazelor de ardere până la temperatura adiabatică de ardere T_f . Conform PIT, putem scrie:

$$m_{cb}h(T, p)_{cb} + (\sum_i m_i h_i(T, p))_{aer} = (\sum_j m_j h_j(T_f, p))_{gaze}$$

A doua etapă este un proces izobar de răcire a gazelor de ardere de la T_f până la temperatura inițială T . Conform PIT, putem avem:

$$\begin{aligned} m_{cb}Q_{HV,p} &= (\sum_j m_j h_j(T_f, p))_{gaze} - (\sum_j m_j h_j(T, p))_{gaze} \stackrel{\substack{\text{ecuatia} \\ \text{anterioara}}}{=} \\ &= m_{cb}h(T, p)_{cb} + (\sum_i m_i h_i(T, p))_{aer} - (\sum_j m_j h_j(T, p))_{gaze} = \\ &= \sum_{reactanti} H - \sum_{produși} H \Rightarrow \boxed{Q_{HV,p} = \frac{\sum_{reactanti} H - \sum_{produși} H}{m_{cb}}} \end{aligned}$$

în care $m_i = n_i M_i$ sunt masele implicate în ardere și egale cu produsul dintre numărul de kmoli, n_i , și masa molară, M_i , a speciei i .

Și arderea izocoră urmată de răcirea izocoră ulterioară, într-un calorimetru, poate fi concepută deasemenea într-o succesiune de două etape. Prima etapă este o ardere izocoră fără schimb de căldură (adiabatică) ce duce la creșterea temperaturii și presiunii gazelor de ardere de la valorile inițiale T și p_{in} până la T_f și p_f . Conform PIT, putem scrie:

$$m_{cb}u(T, p_{in})_{cb} + (\sum_i m_i u_i(T, p_{in}))_{aer} = (\sum_j m_j u_j(T_f, p_f))_{gaze}$$

A doua etapă este un proces izocor de răcire a gazelor de ardere de la

T_f și p_f până la temperatura inițială T și presiunea finală p_{fin} . Conform PIT, avem:

$$\begin{aligned}
 m_{cb} Q_{HV,v} &= (\sum_j m_j u_j(T_f, p_f))_{gaze} - (\sum_j m_j u_j(T, p_{fin}))_{gaze} \stackrel{\text{ecuatia}}{\cong} \text{anterioara} \\
 &= m_{cb} u(T, p_{in})_{cb} + (\sum_i m_i u_i(T, p_{in}))_{aer} - (\sum_j m_j u_j(T, p_{fin}))_{gaze} = \\
 &= \sum_{reactanti} U - \sum_{produsi} U \Rightarrow Q_{HV,v} = \frac{\sum_{reactanti} U - \sum_{produsi} U}{m_{cb}}
 \end{aligned}$$

în care $m_i = n_i M_i$ sunt deasemenea masele implicate în ardere și egale cu produsul dintre numărul de kmoli, n_i , și masa molară, M_i , a speciei i .

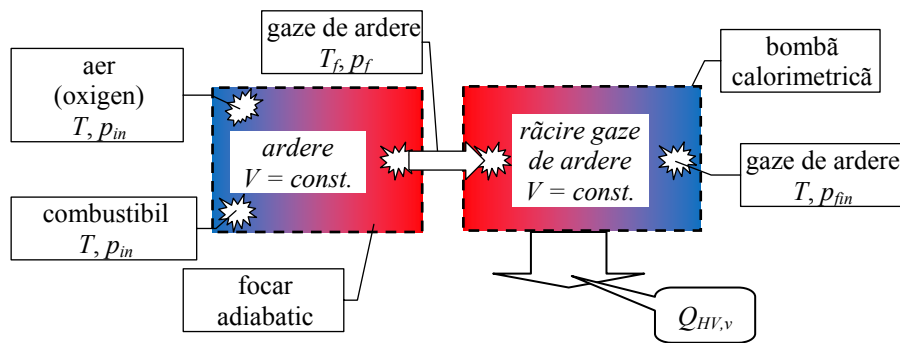


Fig. 23. Schema energetică de determinare a puterii calorifice pentru arderea izocoră, STI

În procesul de ardere se vor implica două tipuri de specii chimice și anume:

- speciile chimice ce nu participă la reacțiile de oxidare și de disociere, inerte din punct de vedere chimic, pot fi considerate substanțe “elementare” și ca urmare valorile pentru entalpia specifică și energia internă specifică pot fi evaluate cu relațiile considerate la exergia fizică a

substanțelor elementare, $h(T, p) = \int_{T_0^*, p_0^*}^{T, p} dh$, $u(T, p) = [h(T, p) - p \cdot v(T, p)]$, în care T_0^* și p_0^* sunt parametrii standard pentru care entalpia specifică și entropia specifică sunt impuse cu valori egale cu „zero”.

- speciile chimic active, ce participă la reacțiile de oxidare și disociere, iar valorile entalpiei specifice trebuie să includă și entalpia de formare ce reprezintă variația de entalpie asociată reacției de formare a compusului chimic în condiții standard, $T_f^0 = 298,15 K$ și $p_f^0 = 1 atm$, entalpia de formare standard, $\tilde{h}_f^0(T_f^0, p_f^0)^*$ este determinată experimental prin măsurători calorimetrice. Ca urmare entalpia specifică a unui compus chimic activ este:

$$h(T_f^0, p_f^0)_{\text{compus chimic}} = \tilde{h}_f^0 + \int_{T_0^*, p_0^*}^{T_f^0, p_f^0} dh$$

$$h(T, p)_{\text{compus chimic}} = h(T_f^0, p_f^0)_{\text{compus chimic}} + \int_{T_f^0, p_f^0}^{T, p} dh = \tilde{h}_f^0 + \int_{T_0^*, p_0^*}^{T, p} dh$$

Entalpia de formare standard a elementelor chimic active, ex. H_2 , O_2 , C , este considerată a fi egală cu zero.

Energia internă specifică a speciilor chimic active poate fi evaluată prin relația:

$$u(T, p)_{\text{compus chimic}} \cong h(T, p)_{\text{compus chimic}} - p \cdot v(T, p)$$

Vom exemplifica manipularea entalpiilor specifice a compuşilor chimici activi și inactivi pentru un proces de ardere la presiune constantă, simplificat. Condițiile restrictive adoptate sunt “oarecare” (non europene - NSRDS-NBS37) și se referă la:

- ✓ arderea este stoechiometrică,
- ✓ arderea are loc în condiții “standard”, $T_f^0 = 298,15 K$, $p_f^0 = 1 atm$

* ex.: *JANAF Thermochemical Tables*, National Bureau of Standards Publication
NSRDS-NBS37, cu $T_f^0 = 298,15 K$, $p_f^0 = 1 atm$, sau
SREN 437, cu $T_f^0 = 288,15 K$, $p_f^0 = 1 atm$

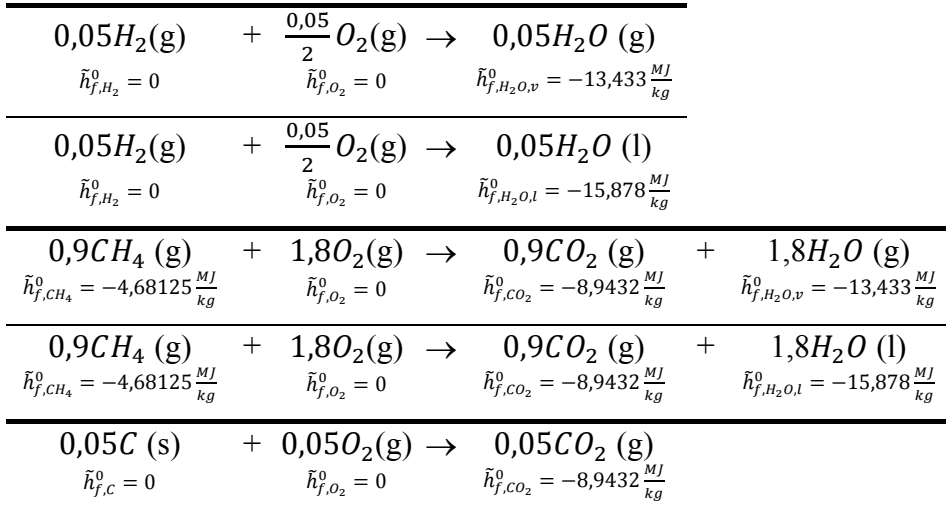
✓ combustibilul este un 1 kmol amestec cu compoziția molară

$$0,05 \frac{\text{kmol } H_2}{\text{kmol } cb} (\text{g}), \quad 0,9 \frac{\text{kmol } CH_4}{\text{kmol } cb} (\text{g}) \text{ și } \frac{\text{kmol } C}{\text{kmol } cb} (\text{s}) - \text{praf},$$

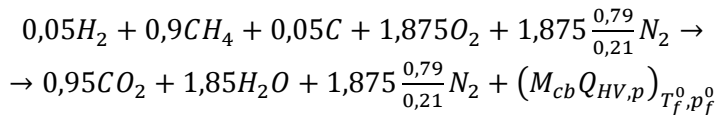
✓ aerul are compoziția volumetrică (molară)

$$0,21 \frac{\text{kmol } O_2}{\text{kmol } aer} (\text{g}) \text{ și } 0,79 \frac{\text{kmol } N_2}{\text{kmol } aer} (\text{g}).$$

Reacțiile chimice de oxidare, raportate la 1 kmol de combustibil, sunt * :



Reacția de ardere globală, raportată la 1 kmol de combustibil, este:



în care M_{cb} este masa molară a combustibilului iar $\tilde{h}_{f,N_2}^0 = 0$.

$$M_{cb} \cong 0,05M_{H_2} + 0,9M_{CH_4} + 0,05M_C = 0,05 \cdot 2 + 0,9 \cdot 16 + 0,05 \cdot 12 = 15,1 \frac{\text{kg } cb}{\text{kmol } cb}$$

* (g) – stare gazoasă, (l) – stare lichidă, (s) – stare solidă

Puterea calorică a combustibilului pentru condiții standard
“oarecare” va fi:

$$(Q_{HV,p})_{T_f^0, p_f^0} = \frac{\sum_{reactanti} m_{r,i} h_{r,i} - \sum_{produși} m_{p,i} h_{p,i}}{m_{cb}}$$

La calcularea entalpiilor reactanților și produșilor de ardere, masele implicate în proces vor fi egale cu produsul dintre numărul de kmoli din ecuația reacției de ardere globale și masa molară:

✓ reactanți ($m_{cb} = 15,1 \text{ kg}$)

$$m_{H_2} = 0,05 \cdot 2 = 0,1 \text{ kg}, m_{CH_4} = 0,9 \cdot 16 = 14,4 \text{ kg}, m_C = 0,05 \cdot 12 = 0,6 \text{ kg},$$

$$m_{O_2} = 1,875 \cdot 32 = 60 \text{ kg}, m_{N_2} = 1,875 \cdot \frac{0,79}{0,21} \cdot 28 = 197,5 \text{ kg}$$

✓ produși, ($m_{cb} = 15,1 \text{ kg}$)

$$m_{H_2O} = 1,85 \cdot 18 = 33,3 \text{ kg}, m_{CO_2} = 0,95 \cdot 44 = 41,8 \text{ kg},$$

$$m_{N_2} = 1,875 \cdot \frac{0,79}{0,21} \cdot 28 = 197,5 \text{ kg}$$

Produșii de ardere conțin apa ca substanță condensabilă. Prin răcirea gazelor de ardere până la starea standard “oarecare”, o parte din această apă poate condensa.

Pentru starea standard “oarecare” dată prin $T_f^0 = 298,15 \text{ K}$, $p_f^0 = 1 \text{ atm}$, entalpiile specifice pentru condensul posibil format și pentru vaporii de apă restanți în gazele de ardere (cu entalpia de formare deja raportată la starea gazoasă) sunt:

$$h_{0,H_2O,l} = h_{f,H_2O,l}^0 + \int_{273,15}^{298,15} c_{p,H_2O,l} dT$$

respectiv

$$h_{0,H_2O,v} = h_{f,H_2O,v}^0 + \int_{273,15}^{298,15} c_{p,H_2O,v} dT \cong h_{f,H_2O,l}^0 + \int_{273,15}^{298,15} c_{p,H_2O,l} dT + l(T_f^0) + \int_{298,15}^{298,15} c_{p,H_2O,v} dT$$

în care $\int_{298,15}^{298,15} c_{p,H_2O,v} dT = 0$ pentru că vaporii se află pe izoterma T_f^0 , $c_{p,H_2O,l} \cong 0,00418 \frac{MJ}{kg K}$ este căldura specifică a apei lichide, $c_{p,H_2O,v}$ este căldura specifică a vaporilor de apă, $l(T_f^0) \cong 2,44 \frac{MJ}{kg}$ este căldura latentă de vaporizare a apei la temperatura T_f^0 , iar $h_{0,H_2O,v} = h_{f,H_2O,l}^0 + l(T_f^0) + \int_{273,15}^{298,15} (c_{p,H_2O,l} - c_{p,H_2O,v}) dT = -13,377 \frac{MJ}{kg}$. (eroare de cca. 0,4% față de valoarea $-13,433$)

Înainte de a calcula entalpia produșilor, trebuie cunoscută masa apei condensate și masa vaporilor din gazele de ardere. Pentru determinarea celor două cantități de apă, condens și vaporii, vom utiliza modelul aerului umed.

Conținutul maxim de vaporii, $x_{H_2O,v} \left[\frac{\text{kmoli vaporii}}{\text{kmoli gaze necondensabile}} \right]$, în gazele de ardere necondensabile este dat prin relația conținutului de umiditate la saturație:

$$x_{H_2O,v} = \frac{p_{H_2O,s}}{p_f^0 - p_{H_2O,s}} = \frac{(n_{H_2O,v})_{\text{vapori saturați}}}{(\sum n_{p,i})_{\text{gaze necondensabile}}} \cong 31,4 \cdot 10^{-5}$$

în care $p_{H_2O,s} \cong 31,8 \cdot 10^{-5}$ bar este presiunea de saturație a apei corespunzătoare temperaturii T_f^0 , iar $p_f^0 \cong 1,01325$ bar este presiunea amestecului de gaze necondensabile și condensabile (vapori).

Masa vaporilor restanți în gazele necondensabile este:

$$m_{H_2O,v} = M_{H_2O} \cdot x_{H_2O,v} \cdot \left(\sum n_{p,i} \right)_{\text{gaze necondensabile}} \\ \cong 18 \cdot 31,4 \cdot 10^{-5} \left(0,95 + 1,875 + 1,875 \frac{0,79}{0,21} \right) = 0,055834 \text{ kg}$$

Masa condensului format prin răcirea gazelor de ardere va fi:

$$m_{H_2O,l} = m_{H_2O} - m_{H_2O,v} = 33,3 - 0,055834 = 33,244166 \text{ kg}$$

Valorile entalpiilor reactanților și produșilor de ardere sunt evaluate în continuare, pentru condițiile standard “oarecare” $T_f^0 = 298,15 \text{ K}$, $p_f^0 = 1 \text{ atm}$.

✓ Reactanți

$$H_r = \sum_{reactanti} m_{r,i} h_{r,i} = 0,1 \left(\tilde{h}_{f,H_2}^0 + \int_{273,15}^{298,15} c_{p,H_2} dT \right) + 14,4 \left(\tilde{h}_{f,CH_4}^0 + \int_{273,15}^{298,15} c_{p,CH_4} dT \right) + 60 \left(\tilde{h}_{f,O_2}^0 + \int_{273,15}^{298,15} c_{p,O_2} dT \right) + 197,5 \left(\tilde{h}_{f,N_2}^0 + \int_{273,15}^{298,15} c_{p,N_2} dT \right) + 0,6 \left(\tilde{h}_{f,C}^0 + \int_{273,15}^{298,15} c_{p,C} dT \right) \cong -60,212743 \text{ MJ}$$

✓ Produși de ardere

$$H_p = \sum_{produsi} m_{p,i} h_{p,i} = 41,8 \left(\tilde{h}_{f,CO_2}^0 + \int_{273,15}^{298,15} c_{p,CO_2} dT \right) + 197,5 \left(\tilde{h}_{f,N_2}^0 + \int_{273,15}^{298,15} c_{p,N_2} dT \right) + 0,055834 \left(\tilde{h}_{f,H_2O,v}^0 + \int_{273,15}^{298,15} c_{p,H_2O,v} dT \right) + 33,244166 \left(\tilde{h}_{f,H_2O,l}^0 + \int_{273,15}^{298,15} c_{p,H_2O,l} dT \right) \cong -893,06255 \text{ MJ}$$

Puterea calorică a combustibilului prezumat va fi:

$$(Q_{HV,p})_{T_f^0, p_f^0} = \frac{H_r - H_p}{m_{cb}} \cong \frac{-60,212743 + 893,06255}{15,1} = 55,155616 \frac{\text{MJ}}{\text{kg}}$$

În mod tradițional, puterea calorică în condiții standard este evaluată prin relația simplificată:

$$(Q_{HV,p})_{T_f^0, p_f^0} \cong \frac{\sum_{reactanti} m_{r,i} \tilde{h}_{f,r,i}^0 - \sum_{produsi} m_{p,i} \tilde{h}_{f,p,i}^0}{m_{cb}} = 55,29911561 \frac{\text{MJ}}{\text{kg}}$$

Diferența între valorile calculate prin cele două modele este neglijabilă, 0,26%. Această diferență poate fi indusă prin modalitățile de mediere a căldurilor specifice și de evaluare a constantelor de gaz perfect.

Pentru a menține consistența teoretică a modelului de calcul a puterii calorifice preferăm, în această lucrare, să utilizăm relațiile complete ale entalpiilor specifice pentru compușii condensabili și necondensabili, care vor rămâne identice matematic și în cazul evaluării și altor reacții chimice

posibile în arderea la temperaturi înalte, ex. procesele de disociere.

Menționăm că putem întâlni pentru puterea calorică două valori determinate teoretico-experimental:

- ✓ puterea calorică superioară $(Q_{HHV,p})_{T_f^0,p_f^0}$ ce include și căldura latentă de condensare a apei $l(T_f^0)$ la temperatura standard, corespunde situației răcirii gazelor de ardere până la T_f^0 când se consideră că practic apa a condensat în totalitate,
- ✓ și puterea calorică inferioară ce nu mai include căldura latentă de condensare a apei, este utilizată în procesele de răcire a gazelor de ardere până la temperaturi superioare punctului de rouă (temperatura de saturație a apei), vezi și tabelul de mai jos. Putem evalua și aproximativ puterea calorică inferioară $(Q_{LHV,p})_{T_f^0,p_f^0}$:

$$(Q_{LHV,p})_{T_f^0,p_f^0} \cong (Q_{HHV,p})_{T_f^0,p_f^0} - \frac{m_{H_2O}}{m_{cb}} l(T_f^0) \cong (49,78) \underset{\substack{\text{prin} \\ \text{entalpii} \\ \text{specifice}}}{\text{entalpii}} \cong (49,923) \underset{\substack{\text{prin} \\ \text{entalpii} \\ \text{de formare}}}{\text{entalpii}}$$

cu eroarea relativă de cca.

$$(0,25\%)_{\text{prin entalpii specifice}} \text{ și } + (0,014\%)_{\text{prin entalpii de formare}}$$

În tabelul de mai jos sunt incluse comparațiile între valorile puterii calorifice calculate prin diferite modele.

Modelul de calcul	Puterea calorică $(Q_{HV,p})_{T_f^0,p_f^0}$ [MJ/kg cb]	Puterea calorică superioară* $(Q_{HHV,p})_{T_f^0,p_f^0}$ [MJ/kg cb]	Puterea calorică inferioară† $(Q_{LHV,p})_{T_f^0,p_f^0}$ [MJ/kg cb]
prin entalpiile specifice ale reactanților și produșilor	55,15561400	55.16443808 (toată apa, 33,3 kg, este considerată condensată)	49,90309239 (toată apa, 33,3 kg, este considerată în stare de vapori)

* HHV – higher heating value,

† LHV – lower heating value.

Modelul de calcul	Puterea calorifică ($Q_{HHV,p}$) _{T_f^0, p_f^0} [MJ/kg cb]	Puterea calorifică superioară* ($Q_{HHV,p}$) _{T_f^0, p_f^0} [MJ/kg cb]	Puterea calorifică inferioară† ($Q_{LHV,p}$) _{T_f^0, p_f^0} [MJ/kg cb]
doar prin entalpiile de formare	55,29911561	55,30815629 (toată apa, 33,3 kg, este considerată condensată)	49,91620264 (toată apa, 33,3 kg, este considerată în stare de vapori)

Temperatura adiabetică de ardere

Temperatura adiabetică de ardere, T_f , poate fi determinată din ecuația de bilanț energetic a procesului de ardere ce are loc pe intervalul de temperaturi $T - T_f$, vezi și figura 22:

$$m_{cb} h(T, p)_{cb} + (\sum_i m_i h_i(T, p))_{aer} = (\sum_j m_j h_j(T_f, p))_{gaze}$$

La rezolvarea proceselor de ardere fără sau cu disociere, atunci când este cunoscută puterea calorifică superioară, relația de mai sus este înlocuită prin ecuații echivalente de conservare a energiei. Aceste ecuații sunt determinate pe următoarea succesiune logică de etape fictive:

- o ardere adiabetică fără disocieri, urmată de
- o etapă de disocieri controlate prin constantele de echilibru chimic dependente de temperatură și participațiile molare ale componentilor nedisociați și disociați din gazele de ardere.

În etapa (a) a arderii adiabatice fără disocieri, ecuația de conservare a energiei, în care este cunoscută inițial puterea calorifică superioară, este:

$$m_{cb} \left[(Q_{HHV,p})_{T_f^0, p_f^0} + \int_{T_f^0}^{T_{cb}} c_{p,cb} dT \right] + \left[m_{O_2} \int_{T_f^0}^{T_{aer}} c_{p,O_2} dT + m_{N_2} \int_{T_f^0}^{T_{aer}} c_{p,N_2} dT + m_{H_2O,aer} \left(l_0 + \int_{T_f^0}^{T_{aer}} c_{p,H_2O,v} dT \right) \right]_{aer} =$$

* HHV – higher heating value,

† LHV – lower heating value.

$$= \left[\left(\sum_j m_j \int_{T_f^0}^{T_f} c_{p,j} dT \right)_{\substack{\text{gaze} \\ \text{uscate}}} + m_{H_2O,gaze} \left(l_0 + \int_{T_f^0}^{T_f} c_{p,H_2O,v} dT \right) \right]_{\substack{\text{gaze de} \\ \text{ardere}}}$$

unde T_{cb} și T_{aer} sunt temperaturi de intrare în camera de ardere, pot fi diferite de T_f^0 . În ecuația de mai sus, T_f este temperatura adiabatică de ardere fără disocieri și este necunoscută primară ce trebuie determinată, ex. printr-o metodă încercare și eroare.

În etapa (b) a arderii cu disocieri, ecuația PIT utilizată este:

$$\left\{ \left[\sum_j m_j \left(\tilde{h}_{f,j}^0 + \int_{T_0^*}^{T_f} c_{p,j} dT \right) \right]_{\substack{\text{gaze} \\ \text{uscate}}} + m_{H_2O,gaze} \left(\tilde{h}_{f,H_2O,v}^0 + \int_{T_0^*}^{T_f} c_{p,H_2O,v} dT \right) \right\}_{\substack{\text{gaze de} \\ \text{ardere}}} = \left[\sum_k m_k \left(\tilde{h}_{f,k}^0 + \int_{T_0^*}^{T_{f,d}} c_{p,k} dT \right) \right]_{\substack{\text{gaze} \\ \text{disociate}}}$$

În această ecuație, $T_{f,d}$ este temperatura adiabatică de ardere cu disocieri și este necunoscută ce trebuie determinată în final, ex. deasemenea printr-o metodă încercare și eroare. Greutatea rezolvării acestei ecuații finale este legată de setul de ecuații chimice de disocieri și recombinații posibile, controlate prin constantele de echilibru chimic aferente acestora.

Precizăm încăodată că trebuie avut în vedere că masele tuturor componentelor sunt proporționale cu numărul de kmoli ce participă la reacțiile chimice.

Lucrul mecanic disponibil maxim pentru un proces de ardere versus exergia căldurii dezvoltate prin ardere

Lucrul mecanic disponibil maxim al arderii reversibile sau exergia chimică a arderii

Lucrul mecanic disponibil maxim, respectiv exergia unui proces de ardere adiabatic pot fi evaluate prin intermediul variației maxime a disponibilității energetice caracteristice procesului de ardere, deci va depinde de natura procesului de ardere, ex. izobar sau izocor. Sistemul

termodinamic ideal ce ar putea valorifica la maxim disponibilitatea energetică a reactanților și produșilor de ardere este schițat în figura 24 ce exemplifică cazul arderii izobare fără consumuri energetice suplimentare, respectiv fără consum de căldură sau consum de lucru mecanic tehnic pentru preîncălzirea sau pentru comprimarea reactanților.

Putem considera motorul ideal ca un STD adiabatic ce include și camera de ardere. În acest motor ideal reactanții ce intră și produșii ce ies sunt în echilibru termodinamic cu mediul exterior, respectiv au temperatura și presiunea mediului ambiant, T_0 și p_0 .

Prin raportare la masa combustibilului consumat prin ardere, vom avea următoarea relație a lucrului mecanic disponibil (lucrul mecanic tehnic reversibil):

$$Ex_{ardere}^{reversibila} = W_{disponibil}^{maxim} = W_{t,rev}^{ardere} = -[B_p(T_0, p_0) - B_r(T_0, p_0)]$$

în care $W_{t,rev,max}^{ardere}$, și $B_r = \frac{\sum m_{r,i} h_{r,i} - T_0 \sum m_{r,i} s_{r,i}}{m_{cb}}$, $B_p = \frac{\sum m_{p,i} h_{p,i} - T_0 \sum m_{p,i} s_{p,i}}{m_{cb}}$ sunt lucrul mecanic tehnic reversibil maxim și disponibilitățile energetice ale reactanților și produșilor de ardere, [J/kg cb].

Evaluarea entalpiilor specifice ale reactanților și produșilor de ardere se face pe cele două tipuri de componenți, gaze necondensabile și gaze condensabile, vezi calculul căldurii dezvoltate prin ardere.

În schimb, într-un amestec multifazic, evaluarea entropiilor specifice trebuie făcută pe fazele în echilibru termodinamic. Astfel toate cele trei faze posibile într-un amestec multifazic, solidă, lichidă și gazoasă sunt separate între ele printr-o interfață netă și se află la aceeași temperatură și presiune,

$$T_{faza\ solida} = T_{faza\ lichida} = T_{faza\ gazoasa} = T, \text{ și } p_{faza\ solida} = p_{faza\ lichida} = p_{faza\ gazoasa} = p.$$

Fazele solidă și lichidă sunt considerate uzual ca medii omogene cu proprietăți cunoscute.

Faza gazoasă este un amestec de gaze în care fiecare component tip gaz

se află la temperatura amestecului dar la presiunea parțială proprie proporțională cu fracția molară (volumetrică), $T_{i,gaz} = T_{amestec}$, $p_{i,gaz} = p_{amestec} \frac{n_{i,gaz}}{\sum n_{i,gaz}}$, în care $p_{i,gaz}$, $n_{i,gaz}$, sunt presiunea parțială și numărul de kmoli ai componentului i din faza gazoasă.

La evaluarea entalpiilor și entropiilor reactanților și produșilor arderii, se va ține cont de asemenea că masele vaporilor și a apei lichide din gazele de ardere depind de temperatura stării de referință (mediul ambiant) T_0 , aleasă pentru determinarea valorii $W_{t,rev,max}^{ardere}$ respectiv:

$$x_{H_2O,v} = \frac{p_{H_2O,s}(T_0)}{p_f^0 - p_{H_2O,s}(T_0)} \Rightarrow$$

$$\Rightarrow m_{H_2O,v} = M_{H_2O} \cdot x_{H_2O,v} \cdot \left(\sum n_{p,i} \right)_{\text{gaze necondensabile}} \quad \text{și} \quad m_{H_2O,l} = m_{H_2O} - m_{H_2O,v}$$

Revenind la același exemplu de ardere abordat anterior la calculul puterii calorifice, vom avea următoarele cantități de substanță implicate în procesul de ardere:

✓ reactanți, ($m_{cb} = 15,1 \text{ kg}$)

$$n_{H_2} = 0,05 \text{ kmoli gaz}, n_{CH_4} = 0,9 \text{ kmoli gaz}, n_{O_2} = 1,875 \text{ kmoli gaz},$$

$$n_{N_2} = 1,875 \cdot \frac{0,79}{0,21} = 7,053571429 \text{ kmoli gaz}, n_C = 0,05 \text{ kmoli solid}$$

$$\left(\sum n_{r,i} \right)_{\text{gaz}} = nrg = n_{H_2} + n_{CH_4} + n_{N_2} = 0,05 + 0,9 + 1,875 + 7,053571429 \\ = 9,878571429 \text{ kmoli gaze}$$

✓ produși, ($m_{cb} = 15,1 \text{ kg}$)

$$n_{CO_2} = 0,95 \text{ kmoli gaz}, n_{N_2} = 1,875 \cdot \frac{0,79}{0,21} = 7,053571429 \text{ kmoli gaz}$$

$$n_{H_2O,v} = x_{H_2O,v} (n_{CO_2} + n_{N_2}) \text{ kmoli gaz}, n_{H_2O,l} = (1 - x_{H_2O,v}) (n_{CO_2} + n_{N_2}) \text{ kmoli lichid},$$

$$\left(\sum n_{p,i} \right)_{\text{gaz}} = npg = n_{H_2O,v} + n_{CO_2} + n_{N_2} = n_{H_2O,v} + 0,95 + 7,053571429 \text{ kmoli gaze}$$

Cunoscând numărul de kmoli, se pot evalua acum și entropiile reactanților și produșilor, în care masele vor fi evaluate cu relația generală ($m_{substanta} = M_{substanta} \cdot n_{substanta}$).

Valorile entalpiilor reactanților și produșilor de ardere vor evaluate prin relațiile următoare.

✓ Reactanți

$$H_r = \sum_{reactanti} m_{r,i} h_{r,i} = 0,1 \left(\tilde{h}_{f,H_2}^0 + \int_{T_0^*}^{T_0} c_{p,H_2} dT \right) + 14,4 \left(\tilde{h}_{f,CH_4}^0 + \int_{T_0^*}^{T_0} c_{p,CH_4} dT \right) + 60 \left(\tilde{h}_{f,O_2}^0 + \int_{T_0^*}^{T_0} c_{p,O_2} dT \right) + 197,5 \left(\tilde{h}_{f,N_2}^0 + \int_{T_0^*}^{T_0} c_{p,N_2} dT \right) + 0,6 \left(\tilde{h}_{f,C}^0 + \int_{T_0^*}^{T_0} c_{p,C} dT \right)$$

✓ Produși de ardere

$$H_p = \sum_{produsi} m_{p,i} h_{p,i} = 41,8 \left(\tilde{h}_{f,CO_2}^0 + \int_{T_0^*}^{T_0} c_{p,CO_2} dT \right) + 197,5 \left(\tilde{h}_{f,N_2}^0 + \int_{T_0^*}^{T_0} c_{p,N_2} dT \right) + m_{H_2O,v} \left(\tilde{h}_{f,H_2O,v}^0 + \int_{T_0^*}^{T_0} c_{p,H_2O,v} dT \right) + m_{H_2O,l} \left(\tilde{h}_{f,H_2O,l}^0 + \int_{T_0^*}^{T_0} c_{p,H_2O,l} dT \right)$$

În aceste relații, avem temperatura stării de referință aceeași pentru toate substanțele, $T_0^* = 273,15 \text{ K}$.

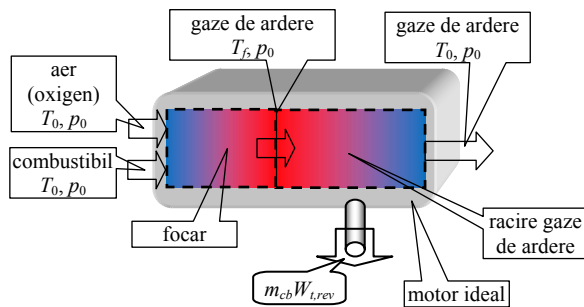


Fig. 24. Schema pentru determinarea lucrului mecanic disponibil maxim pentru un proces de ardere izobar reversibil

Valorile entropiilor reactanților și produșilor de ardere vor fi evaluate prin relațiile următoare.

– Entropia reactanților va fi:

$$S_r = \sum_{reactanti} m_{r,i} s_{r,i} \cong 0,1 \left(\int_{T_0^*}^{T_0} c_{p,H_2} \frac{dT}{T} - R_{H_2} \ln \frac{p_0 n_{H_2}}{p_0^* n_{rg}} \right) + 14,4 \left(\int_{T_0^*}^{T_0} c_{p,CH_4} \frac{dT}{T} - R_{CH_4} \ln \frac{p_0 n_{CH_4}}{p_0^* n_{rg}} \right) + 60 \left(\int_{T_0^*}^{T_0} c_{p,O_2} \frac{dT}{T} - R_{O_2} \ln \frac{p_0 n_{O_2}}{p_0^* n_{rg}} \right) + 197,5 \left(\int_{T_0^*}^{T_0} c_{p,N_2} \frac{dT}{T} - R_{N_2} \ln \frac{p_0 n_{N_2}}{p_0^* n_{rg}} \right) + 0,6 \int_{T_0^*}^{T_0} c_{p,C} \frac{dT}{T}$$

– Entropia produșilor de ardere, după producerea lucrului mecanic disponibil maxim, va fi:

$$S_p = \sum_{produsi} m_{p,i} s_{p,i} \cong m_{H_2O,v} \left(\int_{T_0^*}^{T_0} c_{p,H_2O,v} \frac{dT}{T} - R_{H_2O,v} \ln \frac{p_0 n_{H_2O,v}}{p_{0,H_2O}^* n_{pg}} \right) + 41,8 \left(\int_{T_0^*}^{T_0} c_{p,CO_2} \frac{dT}{T} - R_{CO_2} \ln \frac{p_0 n_{CO_2}}{p_0^* n_{rg}} \right) + 197,5 \left(\int_{T_0^*}^{T_0} c_{p,N_2} \frac{dT}{T} - R_{N_2} \ln \frac{p_0 n_{N_2}}{p_0^* n_{pg}} \right) + m_{H_2O,l} \int_{T_0^*}^{T_0} c_{p,H_2O,l} \frac{dT}{T}$$

În relațiile de evaluare a entropiilor reactanților și produșilor, temperatura stării de referință este de asemenea aceeași pentru toate substanțele, $T_0^* = 273,15 K$, dar presiunea stării de referință este diferită. Pentru gazele necondensabile, ex. CO_2 și N_2 , presiunea stării de referință este $p_0^* = 1 atm$, iar pentru apa, gaz condensabil, $p_{0,H_2O}^* \cong 0,00603 atm$ corespunde punctului triplu al apei.

Se constată că valorile entalpiilor și entropiilor reactanților și produșilor de ardere, deci și disponibilitățile energetice ale acestora, depind de temperatura și presiunea mediului ambiant, T_0 , p_0 , și de stările de referință ale substanțelor participante la ardere, definite prin T_0^* și p_0^* .

În tabelul următor sunt incluse valorile lucrului mecanic disponibil maxim caracteristic arderii izobare la parametrii mediului ambiant, pentru combustibilul prezumat în exemplul adoptat.

Temperatura mediului ambiant, T_0 , [K]	Presiunea de ardere, p , [atm]	$W_{t,rev,max}$, [MJ/kg cb]
273,15	1	54,54945
285,15	1	54,51801
298,15	1	54,48721
313,15	1	54,45566

Se poate concluziona că lucrul mecanic disponibil maxim asociat unei arderi reversibile este practic egal cu puterea calorică superioară, respectiv pentru combustibilul ales în exemplificarea arderii izobare avem,

- prin entalpii specifice

$$(Q_{HV,p})_{T_f^0, p_f^0} = 55,155614 \frac{MJ}{kg}, (Q_{HHV,p})_{T_f^0, p_f^0} = 55,1644381 \frac{MJ}{kg}$$

- prin entalpii de formare

$$(Q_{HV,p})_{T_f^0, p_f^0} = 55,29912 \frac{MJ}{kg}, (Q_{HHV,p})_{T_f^0, p_f^0} = 55,3081563 \frac{MJ}{kg}$$

Exergia căldurii dezvoltate prin ardere

În orice motor, camera de ardere izobară nu poate fi cuplată direct la arborele motor pentru a produce lucru mecanic tehnic, chiar reversibil, pentru că $W_{t,rev}^{ardere} = -(\int V dp)_{rev}^{ardere} = 0$. Analizând numai efectul termic al arderii, care ar putea genera lucru mecanic tehnic, atunci pentru evaluarea exergiei căldurii dezvoltate prin ardere, putem considera camera de ardere ca un STD adiabatic ce furnizează gaze de ardere nedisociate pentru un motor ideal, considerat de asemenea un STD adiabatic ce produce lucru mecanic tehnic numai în baza răcirii izobare a gazelor de ardere de la temperatura adiabatică de ardere T_f până la temperatura de echilibru cu mediul ambiant T_0 , vezi figura 25.

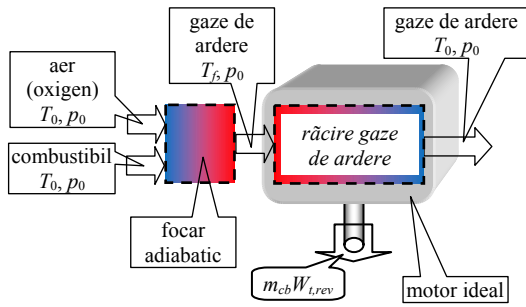


Fig. 25.

Schema pentru determinarea exergiei unui proces de ardere reversibil

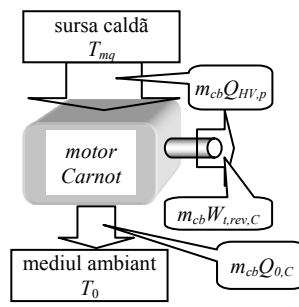


Fig. 26.

Schema de evaluare a exergiei căldurii echivalente arderii

Exergia căldurii dezvoltate prin ardere este evaluată prin variația maximă a disponibilității energetice a agentului de lucru, gaze de ardere, pe motorul ideal, respectiv prin raportare la masa combustibilului consumat prin ardere. Vom avea următoarea relație a exergiei căldurii dezvoltate prin ardere, care este egală cu lucrul mecanic disponibil maxim (lucrul mecanic tehnic reversibil maxim), pentru motorul ideal – STD adiabetic:

$$Ex(Q_{HV,p})_{T_0,p_0} = W_{t,rev,Q_{HV,p}}^{gaze} = -[B_p(T_0, p_0) - B_p(T_f, p_0)] =$$

în care $W_{t,rev}$ și $B_p = \frac{\sum m_{p,i} h_{p,i} - T_0 \sum m_{p,i} s_{p,i}}{m_{cb}}$ sunt lucrul mecanic tehnic reversibil și disponibilitatea energetică a produșilor de ardere, [J/kg cb].

Dacă înlocuim disponibilitățile energetice, vom obține:

$$Ex(Q_{HV,p})_{T_f,p_f}^0 = \frac{\sum m_{p,i} [h_{p,i}(T_f, p_0) - h_{p,i}(T_0, p_0)]}{m_{cb}} - T_0 \frac{\sum m_{p,i} [s_{p,i}(T_f, p_0) - s_{p,i}(T_0, p_0)]}{m_{cb}} =$$

$$\frac{\sum m_{p,i}}{m_{cb}} \{ [h_{p,i}(T_f, p_0) - h_{p,i}(T_0, p_0)] - T_0 [s_{p,i}(T_f, p_0) - s_{p,i}(T_0, p_0)] \} = \frac{\sum m_{p,i}}{m_{cb}} [h_{p,i}(T_f, p_0) -$$

$$h_{p,i}(T_0, p_0)] \left(1 - \frac{T_0}{\frac{h_{p,i}(T_f, p_0) - h_{p,i}(T_0, p_0)}{s_{p,i}(T_f, p_0) - s_{p,i}(T_0, p_0)}} \right) = (Q_{HV,p})_{T_f,p_f}^0 \left(1 - \frac{T_0}{T_{mq}} \right)$$

În relația de mai sus, $\frac{\sum m_{p,i}}{m_{cb}} \left[(h_{p,i}(T_f, p_0) - h_{p,i}(T_0, p_0)) \right] = (Q_{HV,p})_{T_f^0, p_f^0}$, reprezintă tocmai căldura dezvoltată prin ardere raportată la masa combustibilului consumat, conform PIT pe camera de ardere adiabatică $\frac{\sum m_{p,i}}{m_{cb}} h_{p,i}(T_f, p_0) = \frac{\sum m_{r,i}}{m_{cb}} h_{r,i}(T_0, p_0)$, iar $\frac{h_{p,i}(T_f, p_0) - h_{p,i}(T_0, p_0)}{s_{p,i}(T_f, p_0) - s_{p,i}(T_0, p_0)} = T_{mq}$ reprezintă temperatura termodinamică medie a procesului izobar de răcire a gazelor de ardere de la T_f la T_0 , respectiv este temperatura unui proces izotermic echivalent pe care căldura și variația de entropie sunt identice ca în procesul izobar de răcire a gazelor de ardere.

Rezultă în final că exergia căldurii dezvoltate prin ardere este de fapt echivalentă cu lucrul mecanic tehnic reversibil dintr-un motor Carnot ideal ce evoluează între sursele termice cu temperaturile T_{mq} și T_0 , vezi figura 26.

Randamentul exergic – criteriul de performanță caracteristic principiului doi al termodinamicii (PDT)

În primul rând, reamintim că la principiul unu al termodinamicii, PIT, s-a definit coeficientul de performanță energetică, *CPE*, ca un criteriu specific acestui principiu:

$$CPE = \frac{\text{energie utila}}{\text{energie consumata}}$$

Valoarea *CPE* arată cât de bine este valorificată energia consumată la producerea energiei utile.

Pentru exemplificare, la motoare acest *CPE* este numit în literatura de specialitate „first law efficiency – *FLE*” iar în română „randament termic” și este întotdeauna subunitar, vezi și figura 14:

$$CPE_{\text{motoare}} = FLE = \eta_t = \frac{\dot{W}_t}{\dot{Q}} < 1$$

La instalațiile frigorifice acest *CPE* este numit în literatura de specialitate „coefficient of performance – *COP*” iar în română „eficiență frigorifică” și poate fi și supraunitar, vezi și figura 15:

$$CPE_{\text{instalatii frigorigice}} = COP = \varepsilon_f = \frac{\dot{Q}_0}{\dot{W}_t} < \text{sau} = \text{sau} > 1$$

Similar cu definirea CPE și pentru PDT s-a definit criteriul specific de performanță, numit în literatura de specialitate “second law efficiency – SLE” iar în română “randament exergetic”, întotdeauna subunitar:

$$SLE = \eta_{ex} = \frac{\text{exergie utila}}{\text{exergie consumata}} \leq 1$$

Valoarea pentru $SLE = \eta_{ex}$ caracterizează modul de valorificare a exergiei consumate la producerea exergiei utile. În fapt, randamentul exergetic este o măsură numerică a gradului de ireversibilitate, a gradului de apropiere a unui sistem sau proces real de reversibilitatea completă caracterizată printr-un randament exergetic egal cu unitatea.

Pentru fiecare caz real, relația generală de definiție a randamentului exergetic poate fi aplicată prin identificarea exergiei utile și a celei consumate. Vom concretiza relațiile randamentului exergetic pentru sistemele termodinamice primare, reale, cu o funcționare ireversibilă, vezi figurile 14 și 15.

✓ Ciclu motor, vezi figura 14

$$\eta_{ex,motor} = \frac{\dot{W}_t}{\dot{E}x_Q} = \frac{\dot{W}_t}{\dot{Q} \left(1 - \frac{T_0}{T}\right)} = \frac{\eta_t}{\eta_{Carnot}(T, T_0)} \leq 1$$

Se observă că η_{ex} este egal cu raportul dintre randamentul termic al ciclului motor real, $\eta_t = \frac{\dot{W}_t}{\dot{Q}}$, și randamentul motorului ideal Carnot ce evoluează între aceleași surse termice, $T > T_0$, $\eta_{Carnot}(T, T_0) = \left(1 - \frac{T_0}{T}\right)$. Deci η_{ex} exprimă numeric cât de aproape suntem de cazul ideal.

✓ Ciclu frigorific, vezi figura 15

$$\eta_{ex,ciclu\ frigorific} = \frac{\dot{E}x_Q}{\dot{W}_t} = \frac{1}{\dot{W}_t} \cdot \frac{-\dot{Q}}{T_0/(T - T_0)} = \frac{\varepsilon_f}{\varepsilon_{Carnot}(T, T_0)} \leq 1$$

Și pentru instalațiile frigorifice, η_{ex} este egal cu raportul dintre eficiența frigorifică a ciclului real, $\varepsilon_f = -\frac{\dot{Q}}{\dot{W}_t} > 0$ cu $\dot{W}_t < 0$, și eficiența frigorifică a ciclului ideal Carnot ce evoluează între aceleași surse termice, $T < T_0$, $\varepsilon_{f,Carnot}(T, T_0) = \frac{T}{T_0 - T}$. Deci η_{ex} și acum arată numeric cât de aproape suntem de cazul ideal.

În literatura de specialitate, ireversibilitatea poate fi cuantificată numeric și în alte variante, ex. ca un raport între energia ordonată reală (lucrul mecanic tehnic sau puterea mecanică la ax) și energia ordonată reversibilă corespunzătoare reversibilității complete. Dacă impunem pentru acest raport numai valori subunitare, relația de definiție a raportului nu mai este unică, ex. la motoare este $\frac{\dot{W}_t}{\dot{W}_{t,rev}} < 1$ și la instalații frigorifice $\frac{\dot{W}_{t,rev}}{\dot{W}_t} < 1$. Randamentul exergetic este prin comparație un criteriu absolut general.

Pierderi de exergie pe cauze de ireversibilitate

Reamintim că relația generală de evaluare a pierderilor de exergie pe cauze de ireversibilitate respectă teorema Gouy – Stodola:

$$\dot{\Pi}_{irev}^{cauza} = \dot{W}_{pierdut}^{cauza} = -T_0 \cdot \dot{S}_{gen}^{cauza} < 0$$

În această relație, entropia generată prin ireversibilitate are expresia generală:

$$\dot{S}_{gen} = \frac{\partial S}{\partial t} - \left(\frac{\dot{Q}_{(+)}}{T_{(+)}} - \frac{\dot{Q}_{(-)}}{T_{(-)}} \right) - \sum_{intrare} \dot{m} \cdot s + \sum_{iesire} \dot{m} \cdot s \geq 0$$

în care $\dot{Q}_{(+)}$ este fluxul termic primit de sistemul termodinamic de la

temperatura $T_{(+)}$, iar $\dot{Q}_{(-)}$ este fluxul termic cedat de sistemul termodinamic la temperatura $T_{(-)}$, ambele fluxuri termice considerate în valori absolute.

Semnificația acestor pierderi de exergie este dată prin intermediul ecuației de bilanț exergetic:

$$\dot{I}_{irev}^{cauza} = \dot{W}_{pierdut}^{cauza} = -T_0 \cdot \dot{S}_{gen}^{cauza} = \dot{E}x_{util} - \dot{E}x_{consumat} < 0$$

(produs)

Pentru transformările simple de multe ori este preferabil să evaluăm generarea de entropie prin ireversibilitate în baza comparației proces ireversibil – proces reversibil. Astfel, pentru masa unitară, generarea de entropie prin ireversibilitate are relația echivalentă:

$$ds_{gen} = ds_{irev} - ds_{rev} = \left(\frac{dh}{T} - \frac{v}{T} dp \right)_{irev} - \left(\frac{dh}{T} - \frac{v}{T} dp \right)_{rev} = \frac{\delta q_{irev}}{T}$$

în care δq_{irev} este efectul termic al ireversibilității, reprezintă o disipare a energiei ordonate (exergie pură) în energie dezordonată (conținut exergetic mai mic).

Arderea reală ca modalitate de simulare a sursei calde

Procesele de ardere reale sunt ireversibile, au o unică direcție de desfășurare, produc modificări remanente în mediul exterior. Oxidarea componentilor combustibili transformă reactanții, aer și combustibil, în gaze de ardere. Procesul este echivalent energetic cu transferul energiei, căldura dezvoltată prin ardere, de la procesul de oxidare către gazele de ardere care părăsesc camera de ardere cu temperatura T_f , vezi figura 27. Dacă încercăm să reutilizăm căldura obținută prin răcirea gazelor de ardere pentru a transforma producția de ardere (gazele) în reactanți, procesul este imposibil.

Pierderile de exergie (de lucru mecanic tehnic sau prin raportare la timp, de putere mecanică la ax) aferente arderii reale ireversibile au relația generală de calcul:

$$\dot{I}_{irev}^{ardere} = \dot{W}_{pierdut}^{ardere} = -T_0 \cdot \dot{S}_{gen}^{ardere} < 0$$

Considerând camera de ardere adiabatică, atunci entropia generată prin ireversibilitate va fi, conform PDT pentru STD:

$$\dot{S}_{gen}^{ardere} = - \left[\sum_{reactanti} \dot{m}_{r,i} \cdot s_{r,i}(T, p) - \sum_{produsi} \dot{m}_{p,j} \cdot s_{p,j}(T_f, p) \right] > 0$$

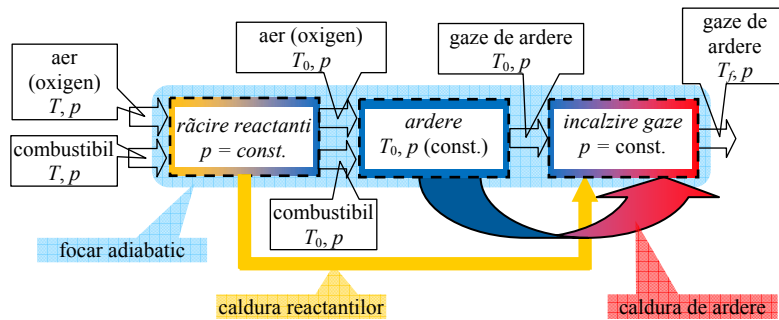


Fig. 27. Arderea izobară reală, schema pentru simularea transferului energiei, prin intermediul procesului de oxidare, de la reactanți către gazele de ardere

Semnificația pierderilor de exergie poate fi vizualizată prin intermediul bilanțului exergetic ce include exergia arderii reversibile (lucrul mecanic disponibil maxim) și exergia căldurii dezvoltate prin ardere. Pierderile de exergie prin arderea ireversibilă sunt egale cu diferența dintre exergia căldurii dezvoltate prin ardere, $\dot{E}x(Q_{HV,p})_{T,p}$, (exergie utilă în sisteme termice) și exergia chimică a arderii reversibile, $\dot{E}x_{ardere, reversibila}$, (exergia consumată):

$$\begin{aligned} \dot{I}_{irev}^{ardere} &= \dot{E}x(Q_{HV,p})_{T,p} - \dot{E}x_{ardere, reversibila} = -[\dot{B}_p(T_0, p_0) - \dot{B}_p(T_f, p)] + \\ &\quad [\dot{B}_p(T_0, p_0) - \dot{B}_r(T, p)] = \\ &= T_0 [\sum_{reactanti} \dot{m}_{r,i} s_{r,i}(T, p) - \sum_{produsi} \dot{m}_{p,j} s_{p,j}(T_f, p)] < 0 \end{aligned}$$

în care

$$\dot{E}x(Q_{HV,p})_{T,p} = \sum_{produsi} \dot{m}_{p,j} \cdot h_{p,j}(T_f, p) - \sum_{produsi} \dot{m}_{p,j} \cdot h_{p,j}(T_0, p_0) - T_0 [\sum_{produsi} \dot{m}_{p,j} \cdot s_{p,j}(T_f, p) - \sum_{produsi} \dot{m}_{p,j} \cdot s_{p,j}(T_0, p_0)]$$

$$\dot{E}x_{ardere}^{reversibila} = \sum_{reactanti} \dot{m}_{r,i} \cdot h_{r,i}(T, p) - \sum_{produsi} \dot{m}_{p,j} \cdot h_{p,j}(T_0, p_0) - T_0 [\sum_{reactanti} \dot{m}_{r,i} \cdot s_{r,i}(T, p) - \sum_{produsi} \dot{m}_{p,j} \cdot s_{p,j}(T_0, p_0)]$$

Rezultatul anterior este justificat prin PIT, vezi figura 27:

$$\frac{[\sum_{reactanti} \dot{m}_{r,i} h_{r,i}(T, p) - \sum_{produsi} \dot{m}_{p,j} h_{p,j}(T_0, p_0)]}{[\sum_{produsi} \dot{m}_{p,j} h_{p,j}(T, p) - \sum_{produsi} \dot{m}_{p,j} h_{p,j}(T_0, p_0)]} =$$

Ca urmare obținem identitatea de justificare a semnificației pierderilor de exergie pentru o ardere izobară reală:

$$\begin{aligned} \dot{P}_{irev}^{ardere} &= \dot{E}x(Q_{HV,p})_{T,p} - \dot{E}x_{ardere}^{reversibila} = -T_0 \cdot \dot{S}_{gen}^{ardere} = \dot{W}_{pierdut}^{ardere} \\ &= T_0 \left[\sum_{reactanti} \dot{m}_{r,i} \cdot s_{r,i}(T, p) - \sum_{produsi} \dot{m}_{p,j} \cdot s_{p,j}(T_f, p) \right] < 0 \end{aligned}$$

Frecarea ce apare la curgerea fluidelor vâscoase

Frecarea este deasemenea un proces tipic ireversibil. Evaluarea influenței frecărilor pentru curgeri vâscoase prin sisteme termodinamice este complexă. Vom analiza în continuare trei cazuri posibile.

- a) *Curgerea prin sisteme termodinamice cu geometrii de curgere simple, ex. curgerea printr-o conductă.*
- b) *Curgerea prin sisteme termodinamice cu geometrii de curgere complexe, ex. curgerea printr-un detentor și curgerea printr-un compresor.*
- c) *Curgerea vâscoasă în general.*

Curgerea vâscoasă printr-o conductă, cazul (a)

Să presupunem un tronson de curgere elementar, rigid și adiabatic, vezi figura 28, având secțiunea transversală constantă cu diametrul hidraulic d_h .

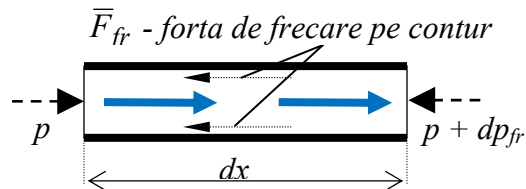


Fig. 28.

Schema curgerii adiabatică cu frecări printr-o conductă, pe conturul fluidelor se manifestă frecarea la perete

Frecarea este un fenomen energetic de disipare a energiei ordonate în energie dezordonată, ce consumă energie mecanică pentru a contrabalansa forțele de frecare. PIT poate fi explicat în două etape, în prima etapă lucrul mecanic tehnic consumat numai pentru curgerea cu frecare la perete, undeva în exterior, se regăsește în lucrul mecanic al forțelor de frecare (fenomen pur

mecanic) respectiv $-\delta w_t^{curgere} = \delta w_t^{frecare} = \frac{\delta \dot{W}_t^{frecare}}{\dot{m}} = -v dp_{fr}$, în etapa a doua acest lucru mecanic este disipat prin vâscozitate în căldură ce va fi preluată de fluidul în curgere respectiv $\delta w_t^{frecare} = \delta q_{fr} = -v dp_{fr}$, în care $dp_{fr} < 0$, iar $\delta q_{fr} > 0$. Frecarea este în final echivalentă cu un proces cu aport de căldură din exterior de la o sursă termică având temperatura fluidului, respectiv pe tronsonul elementar, STD rigid și adiabatic cu frecări interne la perete, avem $\delta q_{fr} \stackrel{PIT}{\cong} dh$.

Pierderile elementare de exergie alocate numai frecării vor respecta teorema Gouy – Stodola, respectiv:

$$d\dot{I}_{irev}^{frecare} = -T_0 d\dot{S}_{gen}^{frecare} = -\dot{m}T_0 ds_{gen}^{frecare} = -\dot{m}T_0 \left(-\frac{\delta q_{fr}}{T} + ds \right) = -\dot{m}T_0 \left[-\frac{dh}{T} + \left(\frac{dh}{T} - \frac{v}{T} dp_{fr} \right) \right] = \dot{m}T_0 \left(\frac{v}{T} dp_{fr} \right) < 0$$

în care \dot{m} și s sunt debitul masic și entropia specifică ale fluidului, iar dp_{fr} poate fi estimată prin relații teoretico – experimentale, ex. relația Darcy – Weissbach $dp_{fr} = -\frac{\lambda}{d_h} \rho \frac{\bar{v}^2}{2} dx$.

Un rezultat identic se poate obține prin compararea procesului reversibil cu cel ireversibil, vezi figura 29.

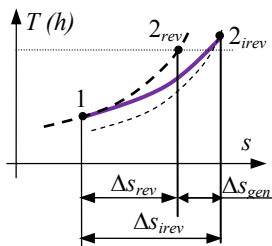


Fig. 29. Schema unui proces izobar de curgere cu frecare la perete, diagrama $T(h) - s$

1 – 2_{rev} procesul reversibil ($dp = 0$)

1 – 2_{irrev} procesul real cu frecare la perete ($dp_{fr} < 0$)

Generarea de entropie, prin comparație, va fi:

$$s_{gen}^{frecare} = \int_1^{2_{irrev}} \left(\frac{dh}{T} - \frac{v}{T} dp_{fr} \right)_{irrev} - \int_1^{2_{rev}} \left(\frac{dh}{T} - \frac{v}{T} v dp \right)_{rev} \cong - \int_1^{2_{ir}} \frac{v}{T} dp_{fr} > 0$$

pentru că pe transformarea reversibilă $dp = 0$.

În final, pierderile elementare de exergie pentru curgeri vâscoase sunt:

$$d\dot{I}_{irev}^{frecare} = \dot{m} \cdot v dp_{fr} \frac{T_0}{T} = < 0$$

Termenul $-\dot{m} \cdot v dp_{fr}$ reprezintă puterea mecanică elementară disipată prin frecări în energia dezordonată a fluidului ce curge, respectiv efectul termic al frecărilor $\delta\dot{Q}_{fr} = \dot{m} \cdot T \cdot ds_{gen}^{frecare} = -\dot{m} \cdot v dp_{fr}$ se va dezvolta în paralel cu orice relație termică cu mediul exterior.

Semnificația acestor pierderi de exergie poate fi dată prin diferența dintre exergia utilă (exergia căldurii rezultantă a frecărilor ce este încorporată în exergia fluidului în curgere) și exergia consumată (lucrul mecanic tehnic consumat pentru contrabalansarea vâscozității).

Prin raportare la timp vom avea:

$$\begin{aligned} d\dot{I}_{irev}^{frecare} &= \dot{m} \left[\delta q_{fr} \left(1 - \frac{T_0}{T} \right) - \delta w_t^{frecare} \right] \\ &= \dot{m} \left[\delta w_t^{frecare} \left(1 - \frac{T_0}{T} \right) - \delta w_t^{frecare} \right] = \dot{m} v dp_{fr} \frac{T_0}{T} < 0 \end{aligned}$$

Curgerea vâscoasă prin detentoare și prin compresoare, cazul (b)

Să presupunem o curgere adiabatică reală printr-un detentor, vezi figura 30, și o curgere reală printr-un compresor adiabatic (fără răcire), vezi figura 31. Dacă prin detentoare curgerea poate fi considerată în majoritatea situațiilor adiabatică, curgerea prin compresoare depinde de gradul de răcire al compresorului, limitele extreme sunt compresorul izotermic și compresorul adiabatic. Pierderile de putere mecanică la ax provocate prin ireversibilitate sunt tradițional determinate teoretico-experimental și evaluate printr-un raport al variațiilor de entalpie specifică reală (determinată experimental la funcționarea ireversibilă) și ideală pentru funcționarea reversibilă (uzual calculată pentru procesele teoretice).

În ambele cazuri se poate considera că fluidul de lucru se comportă ca un gaz ideal.

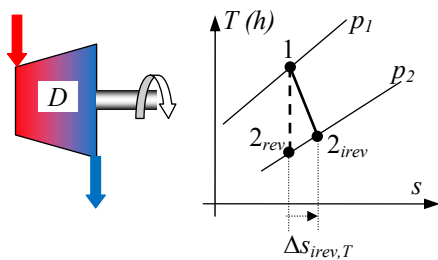


Fig. 30. Schema curgerii printr-un detentor adiabatic

1 – 2_{rev} proces adiabatic reversibil
1 – 2_{irev} proces adiabatic ireversibil

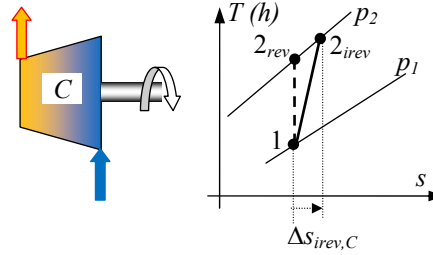


Fig. 31. Schema curgerii printr-un compresor adiabatic

1 – 2_{rev} proces adiabatic reversibil
1 – 2_{irev} proces adiabatic ireversibil

• **Pierderi de exergie într-un detentor adiabatic**

Compararea dintre funcționarea ireversibilă și cea reversibilă este evaluată prin intermediul randamentului izentropic:

$$\eta_s = \frac{\Delta h_{irev}}{\Delta h_{rev}} = \frac{\dot{W}_{t,irev}}{\dot{W}_{t,rev}} \underset{\substack{\text{g\u0105z} \\ \text{ideal}}}{\cong} \frac{\Delta T_{irev}}{\Delta T_{rev}} < 1$$

în care $\dot{W}_{t,irev}$ este puterea mecanică la ax pentru funcționarea reală (măsurată) iar $\dot{W}_{t,rev}$ este puterea mecanică la ax pentru funcționarea reversibilă (teoretică, calculată), Δh și ΔT sunt variațiile de entalpie specifică și temperatură pe transformările 1 – 2_{irev(rev)}.

Ca și în cazul anterior, ireversibilitatea curgerii prin detentoare este în final echivalentă cu disiparea energiei ordonate. Procesul de disipare poate fi explicat prin doi pași, primul este o destindere adiabatică reversibilă în care se produce puterea mecanică reversibilă, iar la al doilea pas o parte din această putere mecanică este disipată izobar, prin frecare, în căldură.

Dacă alegem un tronson elementar de turbină, vezi figura 32, atunci vom putea dezvolta considerațiile următoare.

- Conform PIT, pierderea de energie ordonată va fi, $\eta_s \cong \text{const.}$:

$$\delta \dot{W}_{t,pierdut}^{detentor} = \delta \dot{W}_{t,irev} - \delta \dot{W}_{t,rev} = -\dot{m}(dh_{irev} - dh_{rev}) =$$

$$-\left(1 - \frac{1}{\eta_s}\right) \dot{m} dh_{irev} \stackrel{\text{gaz ideal}}{\cong} \frac{1-\eta_s}{\eta_s} \dot{m} c_p dT_{irev} = (-\delta \dot{Q}_{irev}^{detentor})_{p+dp=\text{const.}} < 0$$

în care energia ordonată pierdută prin ireversibilitate $\delta \dot{W}_{t,pierdut}^{detentor}$ se regăsește în energia dezordonată a fluidului în curgere $\delta \dot{Q}_{irev}^{detentor} = -\dot{m}(dh_{rev} - dh_{irev}) = -\dot{W}_{t,pierdut}^{detentor} > 0$, respectiv ireversibilitatea este echivalentă cu un aport de căldură din exterior $\delta \dot{Q}_{irev}^{turbină} > 0$.

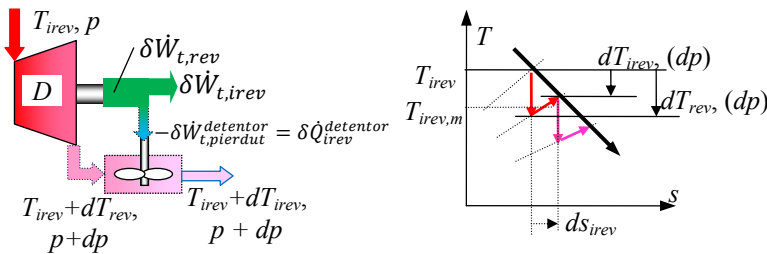


Fig. 32. Schema de echivalare a efectului termic al ireversibilității la curgerea printr-un detentor

Global, efectul termic al ireversibilității este reîncorporat în energia dezordonată a fluidului în curgere și este:

$$\dot{Q}_{irev}^{detentor} = \dot{W}_{t,rev} - \dot{W}_{t,irev} = \dot{m}(h_{2,irev} - h_{2,rev}) \stackrel{\text{gaz ideal}}{\cong} \dot{m} \bar{c}_p (T_{2,irev} - T_{2,rev}) =$$

$$\dot{m}(h_1 - h_{2,rev})(1 - \eta_s) = \dot{m}(h_1 - h_{2,irev}) \left(\frac{1}{\eta_s} - 1\right) \stackrel{\text{gaz ideal}}{\cong} (1 - \eta_s) \dot{m} \bar{c}_p (T_1 - T_{2,rev}) =$$

$$\frac{1-\eta_s}{\eta_s} \dot{m} \bar{c}_p (T_1 - T_{2,irev})$$

- Conform PDT, pe tronsonul elementar adiabatic ireversibil generarea locală de entropie va fi:

$$d\dot{S}_{gen}^{detentor} = \dot{m} ds_{irev}$$

Generarea globală de energie prin ireversibilitate va fi:

$$\dot{S}_{gen}^{detentor} = \dot{m} \int_1^{2_{irev}} ds_{irev} \stackrel{s_{2,rev}=s_1}{\cong} \dot{m} \int_{2_{rev}}^{2_{irev}} ds_{irev} = \dot{m}(s_{2,irev} - s_{2,rev})$$

Pierderile de exergie la curgerea ireversibilă prin detentoare adiabactice vor avea în final relația primară de evaluare:

$$\begin{aligned} \dot{\Pi}_{irev}^{detentor} &= -T_0 \cdot \dot{S}_{gen}^{detentor} = -\dot{m} T_0 (s_{2,irev} - s_{2,rev}) = -\dot{m} (h_{2,irev} - \\ &h_{2,rev}) \frac{T_0}{T_{mq}^{2,rev-2,irev}} \stackrel{gaz}{\cong} -\dot{m} \bar{c}_p (T_{2,irev} - T_{2,rev}) \frac{T_0}{T_{mq}^{2,rev-2,irev}} = \\ &-\dot{m} \bar{c}_p T_0 \ln \left(\frac{T_{2,irev}}{T_{2,rev}} \right)_{p_{2,rev}=p_{2,irev}=p_2} < 0 \end{aligned}$$

în care raportul $\frac{T_{2,irev}}{T_{2,rev}} \stackrel{gaz}{\cong} \frac{1 - \eta_s \left(1 - \left(\frac{p_2}{p_1} \right)^{\frac{\gamma-1}{\gamma}} \right)}{\left(\frac{p_2}{p_1} \right)^{\frac{\gamma-1}{\gamma}}} = \frac{\left(1 - \eta_s \left(1 - \beta^{\frac{\gamma-1}{\gamma}} \right) \right)}{\beta^{\frac{\gamma-1}{\gamma}}}$, iar γ este exponentul adiabatic al transformării reversibile $1 - 2_{rev}$

Aceste pierderi sunt de fapt diferența dintre exergia căldurii echivalente ireversibilității de pe procesul izobar $2_{rev} - 2_{irev}$ (exergie regăsită în agentul de lucru) și puterea mecanică la ax consumată pentru ireversibilitate (exergia inițială reintrodusă în agentul de lucru):

$$\dot{\Pi}_{irev}^{detentor} = \dot{m} (h_{2,irev} - h_{2,rev}) \left(1 - \frac{T_0}{T_{mq}^{2,rev-2,irev}} \right) - (\dot{W}_{t,rev} - \dot{W}_{t,irev}) =$$

$$\dot{m}(h_{2,irev} - h_{2,rev}) \left(1 - \frac{T_0}{T_{mq}^{2,rev-2,irev}}\right) - \dot{m}(h_{2,irev} - h_{2,rev}) = -\dot{m}(h_{2,irev} - h_{2,rev}) \frac{T_0}{T_{mq}^{2,rev-2,irev}} < 0$$

Un rezultat identic se poate obține și prin ecuația de bilanț exergetic:

$$\begin{aligned} \dot{I}_{irev}^{detentor} &= \dot{E}x_{produs} - \dot{E}x_{introdus} = \{\dot{m}[(h_{2,irev} - h_0) - T_0(s_{2,irev} - s_0)] + \\ &\quad \text{(util)} \qquad \qquad \qquad \text{(consumat)} \\ \dot{W}_{t,irev}\} - \dot{m}[(h_1 - h_0) - T_0(s_1 - s_0)] &= \{\dot{m}[(h_{2,irev} - h_0) - T_0(s_{2,irev} - s_0)] + \\ \dot{m}(h_1 - h_{2,irev})\} - \dot{m}[(h_1 - h_0) - T_0(s_1 - s_0)] &\stackrel{s_1=s_{2,rev}}{\hat{=}} -\dot{m}T_0(s_{2,irev} - s_{2,rev}) = \\ &\quad -\dot{m}(h_{2,irev} - h_{2,rev}) \frac{T_0}{T_{mq}^{2,rev-2,irev}} \end{aligned}$$

în care exergia utilă include exergia fizică a fluidului pe evacuare și puterea mecanică mecanică ireversibilă, iar exergia consumată include exergia fizică pe admisie.

În figurile 33 și 34 sunt redată dependențele $\frac{\dot{I}_{irev}^{detentor}}{\dot{m}} = f(\beta)$ cu η_s parametru și $\frac{\dot{I}_{irev}^{detentor}}{\dot{m}} = f(\eta_s)$ cu β parametru, agent de lucru aerul.

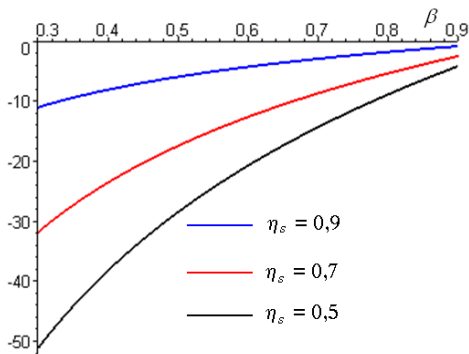


Fig. 33. – aer, $T_0 = 273,15$ K
 $\frac{\dot{I}_{irev}^{detentor}}{\dot{m}} = f(\beta)$ [KJ/K]

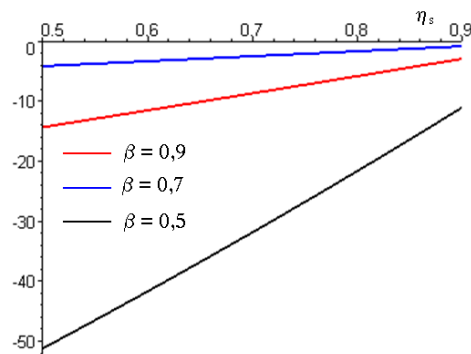


Fig. 34. – aer, $T_0 = 273,15$ K
 $\frac{\dot{I}_{irev}^{detentor}}{\dot{m}} = f(\eta_s)$ [KJ/K]

- **Pierderi de exergie într-un compresor**

Compressoarele pot fi prevăzute și cu sisteme de răcire. Vom considera o asemenea situație, cu o comprimare politropică ireversibilă $1 - 2_{irev}$ pentru care compararea dintre funcționarea ireversibilă și cea reversibilă va fi evaluată în general prin intermediul randamentului interior relativ:

$$\eta_i = \frac{\Delta h_{rev}}{\Delta h_{irev}} \stackrel{\text{gaz ideal}}{\cong} \frac{\Delta T_{rev}}{\Delta T_{irev}} = \frac{T_{2rev} - T_1}{T_{2irev} - T_1} = \left(\frac{d(T_{rev} - T_1)}{d(T_{irev} - T_1)} \right)_{\text{tronson elementar de compresor}} < 1$$

în care Δh_{rev} este variația entalpiei specifice în comprimarea politropică reversibilă, iar Δh_{irev} este variația entalpiei specifice în comprimarea politropică ireversibilă.

S-a adoptat această definiție a randamentului interior relativ pentru a obține la limită, în cazul compresoarelor adiabactice, clasicul randament izentropic:

$$(\eta_i)_{\text{compresor adiabatic}} = \eta_s = \left(\frac{\Delta h_{rev}}{\Delta h_{irev}} \right)_{\text{compresor adiabatic}} = \left(\frac{\dot{W}_{t,rev}}{\dot{W}_{t,irev}} \right)_{\text{compresor adiabatic}} \stackrel{\text{gaz ideal}}{\cong} \left(\frac{\Delta T_{rev}}{\Delta T_{irev}} \right)_{\text{compresor adiabatic}} < 1$$

Ireversibilitatea curgerii prin compresoare este deasemenea echivalentă cu disiparea energiei ordonate consumate. Se poate considera căldura rezultantă prin frecări că este încorporată în final în agentul de lucru.

Procesul de disipare poate fi explicat tot prin doi pași, primul este o comprimare politropică reversibilă în care se consumă puterea mecanică reversibilă, iar la al doilea pas diferența dintre puterea mecanică reală – ireversibilă și cea reversibilă este disipată izobar, prin frecare, în căldură care va fi preluată de agentul de lucru.

Dacă alegem un tronson elementar de compresor, vezi figura 35, atunci vom putea dezvolta logica de determinare a pierderilor de exergie prin ireversibilitate într-o manieră asemănătoare cu cea folosită la detoarea.

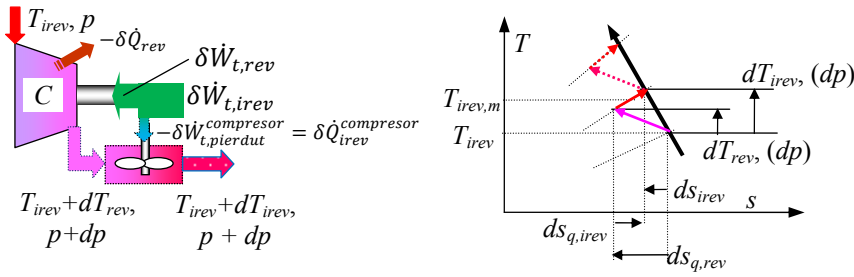


Fig. 35. Schema de echivalare a efectului termic al ireversibilității la curgerea printr-un compresor

- Conform PIT, pierderea de energie ordonată va fi, $\eta_i \cong \text{const.}$:

$$\begin{aligned} \delta \dot{W}_{t,pierdut}^{compresor} &= \delta \dot{W}_{t,irev} - \delta \dot{W}_{t,rev} = (-\delta \dot{Q}_{irev}^{compresor})_{p+dp=const.} = \\ &= -\dot{m}(dh_{irev} - dh_{rev}) \underset{\substack{\text{g\u0102z} \\ \text{ideal}}}{\cong} -\dot{m}c_p[d(T_{irev} - T_1) - d(T_{rev} - T_1)] = -\dot{m}c_p(1 - \\ &= \eta_i)d(T_{irev} - T_1) = -\dot{m}c_p \frac{1-\eta_i}{\eta_i} d(T_{rev} - T_1) = -\dot{m}c_p(1 - \eta_i)dT_{irev} = \\ &= -\dot{m}c_p \frac{1-\eta_i}{\eta_i} dT_{rev} < 0 \end{aligned}$$

în care energia ordonată pierdută prin ireversibilitate $\delta \dot{W}_{t,pierdut}^{compresor}$ se regăsește în energia dezordonată a fluidului în curgere $\delta \dot{Q}_{irev}^{compresor} = -\dot{W}_{t,pierdut}^{compresor} > 0$, respectiv ireversibilitatea este echivalentă cu un aport de căldură din exterior $\delta \dot{Q}_{irev}^{turbina} > 0$. Global, efectul termic al ireversibilității este reîncorporat în energia dezordonată a fluidului în curgere și este:

$$\begin{aligned} \dot{Q}_{irev}^{compresor} &= -(\dot{W}_{t,irev} - \dot{W}_{t,rev}) = -\left(\frac{\dot{W}_{t,rev}}{\eta_T} - \dot{W}_{t,rev}\right) = -\left(\frac{-\dot{m}RT_a \ln \frac{p_2}{p_1}}{\eta_T} - \dot{W}_{t,rev}\right) = \\ &= \dot{m}(h_{2,irev} - h_{2,rev}) \underset{\substack{\text{gaz} \\ \text{ideal}}}{\cong} \dot{m}\bar{c}_p(T_{2,irev} - T_1)(1 - \eta_i) = \dot{m}\bar{c}_p(T_{2,rev} - T_1) \frac{1-\eta_i}{\eta_i} \end{aligned}$$

în care:

- η_T este randamentul izotermic al compresorului,
- $\dot{W}_{i,rev}^T \cong -\dot{m}RT_a \ln \frac{p_2}{p_1} = -\dot{m}RT_a \ln \pi$ este puterea mecanică reversibilă consumată la comprimarea izotermică a agentului de lucru,
- T_a este temperatura pe aspirația compresorului iar $\pi = \frac{p_2}{p_1}$ este raportul de comprimare.

Înainte de a determina generarea de entropie prin ireversibilitate, este necesar să corelăm și variațiile de entropie de pe politropicele reversibilă și ireversibilă, vezi figura 36. În această figură sunt comparate, în diagrama T – s, politropica ireversibilă 1 – ir cu politropica reversibilă 1 – r. Ca urmare vom putea echivala variațiile elementare de entropie pentru cele două politropice, astfel:

$$\begin{aligned} ds_{irev} &= ds_{rev} + [d(s_{irev} - s_{rev})]_{p=const.} \\ &= ds_{q,rev} + [d(s_{irev} - s_{rev})]_{p=const.} \\ &= -\frac{\delta \dot{Q}_{rev}}{\dot{m}T_{irev}} + [d(s_{irev} - s_{rev})]_{p=const.} \end{aligned}$$

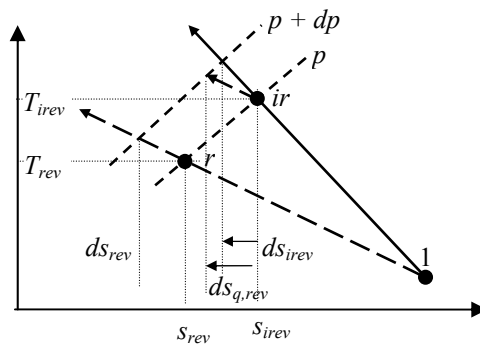


Fig. 36. Schema de echivalare a variațiilor de entropie la curgerea printr-un compresor politropic real

Echivalarea este corectă pentru că cele două politropice elementare reversibile au ds_{rev} și $ds_{q,rev}$ identice pentru că, sunt caracterizate prin aceeași

variație relativă de presiune dp/p , au amândouă același exponent politropic și ca urmare sunt caracterizate prin variație relativă de temperatură $dT_{rev}/T_{rev} = dT_{irev}/T_{irev}$.

- Conform PDT generarea globală de entropie pe o comprimare politropică ireversibilă $1 - 2_{irev}$, va fi:

$$\dot{S}_{gen}^{compresor} = \int_1^{2_{irev}} \frac{|\delta\dot{Q}_{rev}|}{T_{irev}} + \dot{m} \int_1^{2_{irev}} ds_{irev} = \dot{m} \int_1^{2_{irev}} d(s_{irev} - s_{rev}) + \int_1^{2_{irev}} \left(\frac{|\delta\dot{Q}_{rev}|}{T_{irev}} + ds_{q,rev} \right) = \dot{m} \int_1^{(2_{irev}, 2_{rev})} d(s_{irev} - s_{rev}) = \dot{m}(s_{2,irev} - s_{2,rev})$$

pentru că pe politropica elementară reversibilă $\frac{|\delta\dot{Q}_{rev}|}{T_{irev}} + \dot{m}ds_{q,rev} = 0$.

Pierderile de exergie prin ireversibilitate se pot evalua în final prin relația Gouy – Stodola:

$$\dot{I}_{irev}^{compresor} = -T_0 \cdot \dot{S}_{gen}^{compresor} = -\dot{m}T_0(s_{2,irev} - s_{2,rev})$$

Un rezultat identic se obține și prin ecuația de bilanț exergetic, respectiv prin diferența dintre fluxurile de exergie utilă și cea consumată:

$$\begin{aligned} \dot{I}_{irev}^{compresor} &= \dot{E}x_{produs\ util} - \dot{E}x_{introdus\ consumat} = \dot{m}[(h_{2,irev} - h_0) - T_0(s_{2,irev} - s_0)] + \\ &\dot{Q}_{rev} \left(1 - \frac{T_0}{T_{mq}^{1-2_{rev}}} \right) - \dot{m}[(h_1 - h_0) - T_0(s_1 - s_0)] + \dot{W}_{t,irev} = \dot{m}[(h_{2,irev} - h_0) - \\ &T_0(s_{2,irev} - s_0)] + \dot{Q}_{rev} \left(1 - \frac{T_0}{T_{mq}^{1-2_{rev}}} \right) - \dot{m}[(h_1 - h_0) - T_0(s_1 - s_0)] + [-\dot{Q}_{rev} - \\ &\dot{m}(h_{2,irev} - h_1)] = -\dot{m}T_0(s_{2,irev} - s_1) - \dot{Q}_{rev} \frac{T_0}{T_{mq}^{1-2_{rev}}} = -\dot{m}T_0(s_{2,irev} - s_{2,rev}) - \\ &\dot{m}T_0(s_{2,rev} - s_1) - \dot{Q}_{rev} \frac{T_0}{T_{mq}^{1-2_{rev}}} = -\dot{m}T_0(s_{2,irev} - s_{2,rev}) = \\ &-\dot{m}(h_{2,irev} - h_{2,rev}) \frac{T_0}{T_{mq}^{2_{rev}-2_{irev}}} = -\dot{m}T_0(s_{2,irev} - s_{2,rev}) \end{aligned}$$

în care:

- ✓ conform PIT $\dot{W}_{t,irev} = -\dot{Q}_{rev} - \dot{m}(h_{2,irev} - h_1)$ pentru că fluxul termic cedat

în comprimarea politropică $1 - 2_{irev}$ este egal cu fluxul termic reversibil de pe politropica $1 - 2_{rev}$, vezi figura 35 ce redă schema de echivalare a efectului termic al ireversibilității la curgerea reală printr-un compresor,

- ✓ pe politropica reversibilă $-\dot{m}T_0(s_{2,rev} - s_1) - \dot{Q}_{rev} \frac{T_0}{T_{mq}^{1-2_{rev}}} = 0$,
- ✓ iar exergia utilă include exergia fizică a fluidului pe refulare și exergia căldurii cedate sistemului de răcire (exergia fluxului termic reversibil de pe politropica reversibilă $1 - 2_{rev}$, re-vezi și figurile 35 și 36), iar exergia consumată include puterea mecanică mecanică ireversibilă și exergia fizică pe aspirație.

Aceste pierderi sunt de fapt diferența dintre exergia căldurii echivalente ireversibilității pe procesul izobar $2_{rev} - 2_{irev}$ (exergie regăsită în agentul de lucru) și puterea mecanică la ax consumată pentru ireversibilitate (exergia inițială reintrodusă în agentul de lucru):

$$\begin{aligned} \dot{I}_{irev}^{compresor} &= \dot{m}(h_{2,irev} - h_{2,rev}) \left(1 - \frac{T_0}{T_{mq}^{2,rev-2,irev}} \right) - (\dot{W}_{t,rev} - \dot{W}_{t,irev}) = \dot{m}(h_{2,irev} - \\ &h_{2,rev}) \left(1 - \frac{T_0}{T_{mq}^{2,rev-2,irev}} \right) - \dot{m}(h_{2,irev} - h_{2,rev}) = -\dot{m}(h_{2,irev} - h_{2,rev}) \frac{T_0}{T_{mq}^{2,rev-2,irev}} = \\ &-\dot{m}T_0(s_{2,irev} - s_{2,rev}) \stackrel{\substack{\text{g\u0102z} \\ \text{ideal}}}{=} -\dot{m}\bar{c}_p T_0 \ln \left(\frac{T_{2,irev}}{T_{2,rev}} \right)_{p_{2,rev}=p_{2,irev}=p_2} < 0 \end{aligned}$$

în care pentru gaze perfecte $\frac{T_{2,irev}}{T_{2,rev}} = \frac{1 + \frac{1}{\eta_i} \left(\frac{n-1}{\pi^n} - 1 \right)}{\frac{n-1}{\pi^n}}$ iar, n este exponentul politropic de pe transformarea $1 - 2_{rev}$.

În figurile 37 și 38 sunt redate grafic dependențele dintre pierderile de exergie specifice și raportul de comprimare și randamentul interior relativ, pentru aer și un exponent politropic $n = 1,2$ pentru politropica reversibilă.

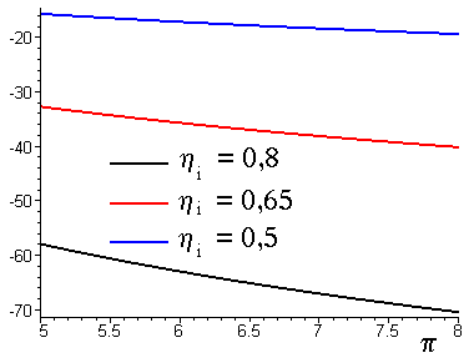


Fig. 37. aer, $T_0 = 273,15$ K, $n = 1,2$
 $\frac{\dot{Q}_{irrev}^{compresor}}{\dot{m}} = f(\pi)$ [KJ/K]

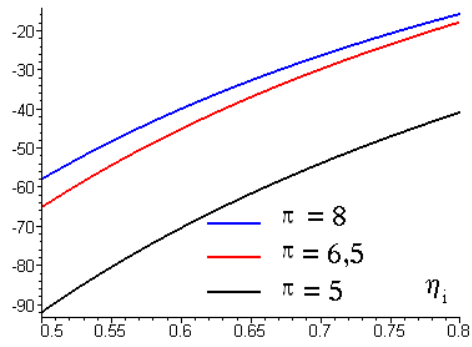


Fig. 38. aer, $T_0 = 273,15$ K, $n = 1,2$
 $\frac{\dot{Q}_{irrev}^{compresor}}{\dot{m}} = f(\eta_i)$ [KJ/K]

Curgerea vâscoasă în general, cazul (c)

Ecuția entropiei generate prin ireversibilitate la curgerea fluidelor vâscoase poate fi determinată prin corelarea principiilor metodei fenomenologice pe același volum de control elementar considerat STD, vezi figurile 8, 9, 10 și 39.

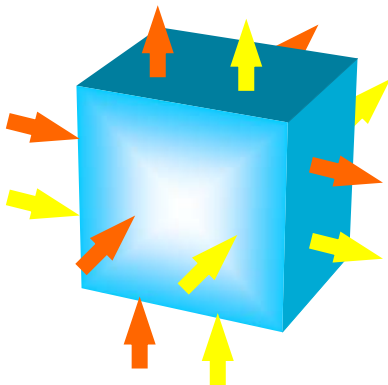


Fig. 39. Schema interacțiunilor entropice pe un volum elementar de control

- interacțiuni prin curgere
- interacțiuni prin conducție

Generarea entropiei prin ireversibilitate este egală cu suma algebrică a variației locale de entropie, a variației de entropie ce ține cont de propagarea

reală a energiei prin curgere (advecție) și a variației de entropie ce ține cont de propagarea reală a energiei prin conducție:

$$\dot{S}_{gen}''' dV = \rho \frac{\partial s}{\partial t} dV + d\dot{S}_{curgere} + d\dot{S}_{conducție}$$

Termenii din ecuația de bilanț entropic sunt identificați în continuare pe fiecare tip de interacțiune, curgere și conducție.

- *Variația de entropie aferentă curgerii*

$$d\dot{S}_{curgere} = \left(\frac{\partial(\rho \bar{V}_x s)}{\partial x} + \frac{\partial(\rho \bar{V}_y s)}{\partial y} + \frac{\partial(\rho \bar{V}_z s)}{\partial z} \right) dV$$

- *Variația de entropie aferentă conducției termice*

$$d\dot{S}_{conducție} = - \left[\frac{\partial \left(-\frac{k}{T} \frac{\partial T}{\partial x} \right)}{\partial x} + \frac{\partial \left(-\frac{k}{T} \frac{\partial T}{\partial y} \right)}{\partial y} + \frac{\partial \left(-\frac{k}{T} \frac{\partial T}{\partial z} \right)}{\partial z} \right] dV$$

După înlocuirea termenilor din membrul doi, știind că

$$\rho \frac{\partial s}{\partial T} = \frac{\rho}{T} \frac{\partial u}{\partial t} - \frac{p}{\rho T} \frac{\partial \rho}{\partial T}$$

vom obține[♦]:

$$\dot{S}_{gen}''' = \frac{k}{T^2} \left[\left(\frac{\partial T}{\partial x} \right)^2 + \left(\frac{\partial T}{\partial y} \right)^2 + \left(\frac{\partial T}{\partial z} \right)^2 \right] + \frac{q'''}{T} + \frac{\mu}{T} \Phi$$

în care

[♦] Bejan, A. 1988. *Advanced Engineering Thermodynamics*. Wiley, New York, pp. 609

$$\mu\Phi = \mu \left\{ \begin{aligned} & \left(\frac{\partial \bar{V}_x}{\partial y} + \frac{\partial \bar{V}_y}{\partial x} \right)^2 + \left(\frac{\partial \bar{V}_x}{\partial z} + \frac{\partial \bar{V}_z}{\partial x} \right)^2 + \left(\frac{\partial \bar{V}_y}{\partial z} + \frac{\partial \bar{V}_z}{\partial y} \right)^2 + \\ & + 2 \left[\left(\frac{\partial \bar{V}_x}{\partial x} \right)^2 + \left(\frac{\partial \bar{V}_y}{\partial y} \right)^2 + \left(\frac{\partial \bar{V}_z}{\partial z} \right)^2 \right] - \frac{2}{3} \left(\frac{\partial \bar{V}_x}{\partial x} + \frac{\partial \bar{V}_y}{\partial y} + \frac{\partial \bar{V}_z}{\partial z} \right)^2 \end{aligned} \right\}$$

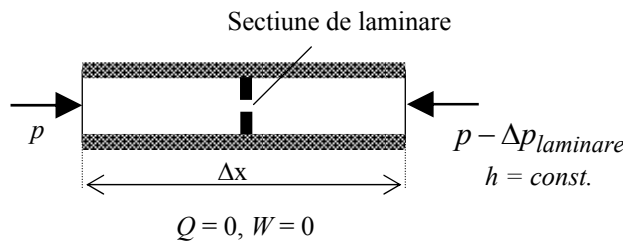
Reamintim notațiile folosite în ecuațiile de generare a entropiei prin ireversibilitate la curgerea fluidelor vâscoase:

- u [J/kg], energia internă specifică,
- k [W/m K], conductivitatea termică,
- p [N/m²], – presiunea,
- q''' [W/m³], densitatea volumică de flux termic a surselor interne,
- s [J/kg K], entropia specifică,
- \dot{S} [W/K], flux de entropie,
- V [m³], volumul,
- T [K], temperatura absolută,
- t [s], timpul,
- \bar{V} [m/s], viteza,
- x, y, z , variabile geometrice,
- μ [Ns/m²], vâscozitatea dinamică,
- ρ [kg/m³], densitatea,

Generarea de entropie prin laminare

Laminarea este un proces de reducere a presiunii fluidelor ce curg prin strangularea secțiunii de curgere, vezi figura 40. Procesele din dispozitivele de reglare a debitelor pot fi asimilate cu un proces de laminare.

Fig. 40.
Schema de realizare a unui proces de laminare



Procesul teoretic de laminare are loc la entalpie constantă, conform PIT $h_{intrare} = h_{iesire} = \text{const.}$ pentru că între cele două secțiuni de curgere nu

avem nici o relație energetică cu exteriorul, $Q = 0$, $W = 0$. El poate fi echivalat energetic printr-o succesiune de două transformări, vezi figura 41, prima este o destindere adiabatică reversibilă (1 – a) în care entalpia este convertită în energie cinetică, iar a doua este o transformare izobară (a – 2) cu frânare ireversibilă pe care energia cinetică este reconvertită în entalpie.

Laminarea este un proces în totalitate ireversibil, are un singur sens, curgerea are loc natural de la p la $p - \Delta p$. Curgerea inversă necesită un consum de energie din exterior și produce astfel modificări remanente în mediul ambiant.

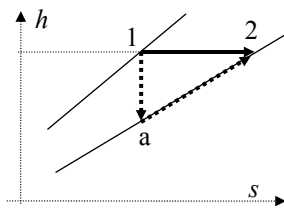


Fig. 41.

Schema de echivalență energetică a unui proces de laminare teoretic,

$$h_2 = h_1$$

Generarea de entropie prin ireversibilitate, raportată la masa unitară, va fi:

$$s_{gen}^{laminare} = \int_p^{p-\Delta p} ds = \Delta s_{laminare} = \int_p^{p-\Delta p} \left(\frac{dh}{T} - \frac{v}{T} dp \right)_{laminare} = - \int_p^{p-\Delta p} \frac{v}{T} dp > 0$$

Pierderile de exergie sunt:

$$\dot{\Pi}_{irev}^{laminare} = -\dot{m} s_{gen}^{laminare} = -\dot{m} \Delta s = -\dot{m} T_0 \int_p^{p-\Delta p} \frac{v}{T} dp < 0$$

Aceste pierderi sunt în totalitate egale în principal cu reducerea componentei mecanice a exergiei fluidului în curgere:

$$\begin{aligned}\dot{\Pi}_{irev}^{laminare} &= \dot{m}\{[(h - h_0) - T_0(s + \Delta s - s_0)] - [(h - h_0) - T_0(s - s_0)]\} \\ &= -\dot{m}T_0\Delta s \stackrel{ideal}{\cong} -\dot{m}RT_0 \ln\left(\frac{p}{p - \Delta p}\right) = -\dot{m}\Delta ex_p\end{aligned}$$

Laminarea distruge astfel exergia curgerilor prin diminuarea componentei mecanice a exergiei fizice aferente curgerilor.

În figura 42 este inclusă dependența $\frac{\dot{\Pi}_{irev}^{compresor}}{\dot{m}} = f\left(\frac{\Delta p}{p}\right)$ [KJ/K], pentru aer și $T_0 = 273,15$ K

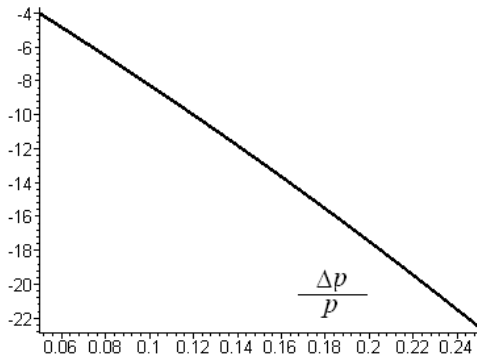


Fig. 42.

$$\frac{\dot{\Pi}_{irev}^{laminare}}{\dot{m}} = f\left(\frac{\Delta p}{p}\right) \text{ [KJ/K]}$$

aer, $T_0 = 273,15$ K

Pierderi de exergie în transferul real al căldurii, la diferențe finite de temperatură

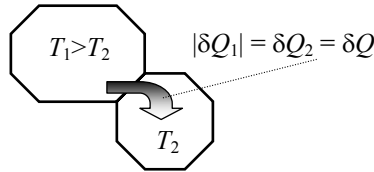
După cum se știe, căldura are natural un sens unic, de la temperatura mare spre temperatura mai mică. Acest sens unic, postulat de către PDT, este cauza ireversibilității căldurii. Vom analiza în continuare procesul de transfer termic pentru două STI cuplate termic, un schimbător de căldură ca STD și procesele de curgere vâscoasă cu răcire sau încălzire.

Cazul sistemelor termodinamice închise, STI

În figura 43 este schițată relația termică pentru două STI cu temperaturile $T_1 > T_2$ și T_2 cuplate doar termic. Ansamblul celor două corpuri se consideră izolat. Procesul de schimb de căldură este nestaționar.

PIT postulează că $|\delta Q_1| = \delta Q_2 = \delta Q$, respectiv $|\int \delta Q_1| = |Q_1| = \int \delta Q_2 = Q_2 = Q$ în care $Q_1 < 0$ (cedată de corpul 1, cald), iar $Q_2 > 0$ (primită de corpul 2, rece).

Fig. 43.
Schema interacțiunii termice între două STI



Generarea de entropie la un anumit moment va fi:

$$dS_{gen}^{\Delta T \neq 0} = -\frac{\delta Q}{T_1} + \frac{\delta Q}{T_2} = \delta Q \frac{T_1 - T_2}{T_1 T_2} = \frac{\delta Q_1}{T_1} + \frac{\delta Q_2}{T_2} = dS_1 + dS_2 > 0$$

Generarea de entropie globală, până la atingerea echilibrului termic impus prin $T_1^{final} = T_2^{final} = T_{final}$, se obține prin relația:

$$S_{gen}^{\Delta T \neq 0} = -\int_{T_1^{initial}}^{T_1^{final}} \frac{\delta Q}{T_1} + \int_{T_2^{initial}}^{T_2^{final}} \frac{\delta Q}{T_2} = \int_{T_1^{initial}}^{T_{final}} \frac{\delta Q_1}{T_1} + \int_{T_2^{initial}}^{T_{final}} \frac{\delta Q_2}{T_2} = \Delta S_1 + \Delta S_2 > 0$$

Considerând procesele de răcire și încălzire ca politropice generale, caracterizate prin căldurile specifice politropice medii \bar{c}_1 și \bar{c}_2 , relațiile termice vor fi:

$$Q_1 = m_1 \int_{T_1^{initial}}^{T_1^{final}} c_1 dT_1 = m_1 \bar{c}_1 (T_1^{initial} - T_{final}) = T_{mq,1} \Delta S_1 < 0,$$

$$Q_2 = m_2 \int_{T_2^{initial}}^{T_2^{final}} c_2 dT_2 = m_2 \bar{c}_2 (T_{final} - T_2^{initial}) = T_{mq,2} \Delta S_2 > 0,$$

Variațiile entropiilor celor două corpuri în contact termic sunt:

$$\Delta S_1 = m_1 \int_{T_1^{initial}}^{T_1^{final}} c_1 \frac{dT_1}{T_1} = m_1 \bar{c}_1 \ln \frac{T_1^{final}}{T_1^{initial}} = \frac{Q_1}{T_{mq,1}} < 0,$$

$$\Delta S_2 = m_2 \int_{T_2^{initial}}^{T_2^{final}} c_2 \frac{dT_2}{T_2} = m_2 \bar{c}_2 \ln \frac{T_2^{final}}{T_2^{initial}} = \frac{Q_2}{T_{mq,2}} > 0$$

În ecuațiile de mai sus $m_1, m_2, \bar{c}_1, \bar{c}_2$ sunt masele și căldurile specifice politropice medii ale celor două STI, iar $T_{mq} = \frac{Q}{\Delta S} = \frac{(T_1^{final} - T_1^{initial})}{\ln \frac{T_1^{final}}{T_1^{initial}}}$ este temperatura termodinamică medie.

Prin înlocuirea variațiilor de entropie $\Delta S_1 + \Delta S_2$ în ecuația entropiei generate, vom avea în final pierderile de exergie și pentru această cauză de ireversibilitate ($\Delta T \neq 0$), relația Gouy – Stodola:

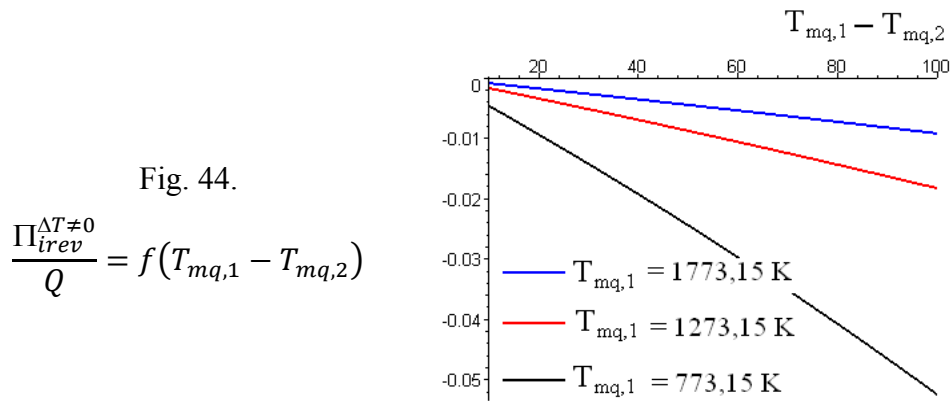
$$\Pi_{irev}^{\Delta T \neq 0} = -T_0 [\Delta S_1 + \Delta S_2] = -T_0 \left(\frac{Q_1}{T_{mq,1}} + \frac{Q_2}{T_{mq,2}} \right) = -Q \frac{T_0 (T_{mq,1} - T_{mq,2})}{T_{mq,1} \cdot T_{mq,2}} < 0$$

Semnificația acestor pierderi de exergie poate fi de asemenea evidențiată prin diferența dintre exergia utilă (exergia căldurii primite de corpul 2) și cea consumată (exergia căldurii cedate de corpul 1):

$$\Pi_{irev}^{\Delta T \neq 0} = Q_2 \left(1 - \frac{T_0}{T_{mq,2}} \right) - |Q_1| \left(1 - \frac{T_0}{T_{mq,1}} \right) = -Q \frac{T_0 (T_{mq,1} - T_{mq,2})}{T_{mq,1} \cdot T_{mq,2}}$$

În figura 44 este prezentată funcția adimensională

$$\frac{\Pi_{irev}^{\Delta T \neq 0}}{Q} = f(T_{mq,1} - T_{mq,2}) \text{ pentru aer și } T_0 = 273,15 \text{ K.}$$



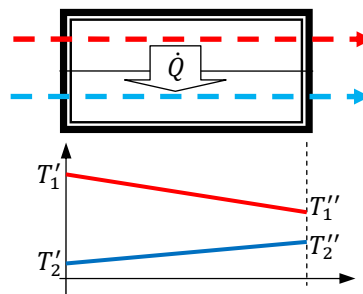
Cazul sistemelor termodinamice deschise, STD, schimbătoare de căldură

În figura 45 este schițată relația termică dintr-un schimbător de căldură, STD. Agentul termic primar (cald) cedează continuu căldură agentului termic secundar (rece). Procesul de schimb de căldură poate fi de data aceasta considerat staționar.

Fig. 45.

Schema unui schimbător de căldură

(procese izobare de răcire și încălzire fără transformări de fază)



Condițiile restrictive necesare evaluării pierderilor de exergie cauzate numai de diferența finită de temperatură în relația termică agent primar – agent secundar sunt:

- schimbătorul de căldură este un STD adiabatic pe ansamblu și rigid,

- curgerile celor doi agenți termici sunt reversibile, respectiv au loc la presiune constantă,
- procesele pe cele două circuite de curgere au loc fără transformări de fază.

Generarea de entropie în unitatea de timp va fi dată de relația Gouy – Stodola:

$$\begin{aligned}\dot{S}_{gen}^{\Delta T \neq 0} &= -\dot{m}_1 s_1' - \dot{m}_2 s_2' + \dot{m}_1 s_1'' + \dot{m}_2 s_2'' = \\ &= (\dot{m}_1 s_1'' - \dot{m}_1 s_1') + (\dot{m}_2 s_2'' - \dot{m}_2 s_2') = \Delta \dot{S}_1 + \Delta \dot{S}_2 > 0\end{aligned}$$

Variațiile entropiilor celor doi agenți termici, intrare – ieșire, sunt:

$$\Delta \dot{S}_1 = \dot{m}_1 \int_{T_1'}^{T_1''} c_{p1} \frac{dT_1}{T_1} = \dot{m}_1 \bar{c}_{p1} \ln \frac{T_1''}{T_1'} < 0,$$

$$\Delta \dot{S}_2 = \dot{m}_2 \int_{T_2'}^{T_2''} c_{p2} \frac{dT_2}{T_2} = \dot{m}_2 \bar{c}_{p2} \ln \frac{T_2''}{T_2'} > 0$$

În ecuațiile de mai sus $\dot{m}_1, \dot{m}_2, \bar{c}_{p1}, \bar{c}_{p2}$ sunt debitele masice și căldurile specifice izobare medii ale celor doi agenți termici.

Rezultă preliminar că entropia generată în unitatea de timp prin relația termică reală realizată la $\Delta T \neq 0$ este:

$$\dot{S}_{gen}^{\Delta T \neq 0} = \Delta \dot{S}_1 + \Delta \dot{S}_2 = \dot{m}_1 \bar{c}_{p1} \ln \frac{T_1''}{T_1'} + \dot{m}_2 \bar{c}_{p2} \ln \frac{T_2''}{T_2'}$$

Pentru procesele de răcire și încălzire, ca procese izobare, variațiile de entropie pot fi evaluate și prin intermediul fluxurilor termice și a temperaturilor termodinamice medii:

$$\dot{Q}_1 = \dot{m}_1 \int_{T_1'}^{T_1''} c_{p1} dT_1 = \dot{m}_1 \bar{c}_{p1} (T_1'' - T_1') = T_{mq,1} \Delta \dot{S}_1 < 0,$$

$$\dot{Q}_2 = \dot{m}_2 \int_{T_2'}^{T_2''} c_{p2} dT_2 = \dot{m}_2 \bar{c}_{p2} (T_2'' - T_2') = T_{mq,2} \Delta \dot{S}_2 > 0,$$

unde $T_{mq} = \frac{\dot{Q}}{\Delta \dot{S}} = \frac{(T'' - T')}{\ln \frac{T''}{T'}}$ este relația de evaluare a temperaturii

termodinamice medii a agenților termici.

PIT postulează conservarea energiei în această relație termică respectiv $|\dot{Q}_1| = \dot{Q}_2 = \dot{Q}$, în care $\dot{Q}_1 < 0$ este fluxul termic cedat de agentul termic primar, iar $\dot{Q}_2 > 0$ este fluxul termic primit de agentul termic secundar.

Prin reînlocuirea variațiilor de entropie $\Delta\dot{S}_1 + \Delta\dot{S}_2$ (funcție de \dot{Q} și T_{mq}), în ecuația entropiei generate prin ireversibilitate, vom avea în final și semnificația pierderilor de exergie dintr-un schimbător de căldură în care relația termică respectă condiția reală $\Delta T \neq 0$:

$$d\dot{I}_{irev}^{\Delta T \neq 0} = -T_0[\Delta\dot{S}_1 + \Delta\dot{S}_2] = -T_0\left(\frac{\dot{Q}_1}{T_{mq,1}} + \frac{\dot{Q}_2}{T_{mq,2}}\right) = -\dot{Q}\frac{T_0(T_{mq,1} - T_{mq,2})}{T_{mq,1} \cdot T_{mq,2}} < 0$$

Aceste pierderi de exergie reprezintă diferența dintre exergia utilă (exergia fluxului termic cedat de agentul primar) și cea consumată (exergia fluxului termic primit de agentul secundar). Relația finală, ce include semnificația pierderilor de exergie, este generală deoarece poate fi aplicată direct și pentru schimbătoare de căldură în care au loc transformări de fază.

Se constată că pierderile de exergie din schimbătoare de căldură, STD, au o relație similară cu cea determinată la relația termică reală dintre două STI. Dependența adimensională $\frac{d\dot{I}_{irev}^{\Delta T \neq 0}}{\dot{Q}} = f(T_0, T_{mq,1}, T_{mq,2})$ este identică pentru ambele cazuri de transfer termic, vezi figura 44.

Cazul proceselor de curgere vâscoasă cu schimb de căldură

Prezentarea acestor procese ireversibile este făcută în principal pentru a vedea cum poate fi evaluat efectul termic al ireversibilității pe transformări ireversibile neadiabactice incluse pe cicluri reale.

Într-un proces real de curgere vâscoasă cu încălzire sau răcire, fluxul

termic real primit sau cedat de fluidul în curgere este de fapt fluxul termic reversibil caracterizat prin variațiile reversibile de entropie. Disiparea energiei ordonate, prin ireversibilitate, în energie dezordonată este echivalentă cu un aport de căldură suplimentar, ce se produce în paralel cu relația termică cu mediul exterior (nu interferează cu relația termică externă propriu-zisă).

Vom prezenta cazul general al unei transformări politropice ireversibile și vom particulariza pe procesele izobare ireversibile (curgere vâscoasă).

Procese politropice de curgere vâscoasă cu “încălzire” sau “răcire”

În cazul proceselor politropice de curgere vâscoasă cu încălzire sau răcire, pierderile de exergie sunt proporționale cu generarea de entropie și se conformează cu teorema Gouy – Stodola. Vom face abstracție de interacțiunea mecanică cu exteriorul, care nu poate fi vizualizată în generarea de entropie prin ireversibilitate. Schemele energetice de echivalență energetică și entropică vor fi adaptate în consecință.

✓ ***“Încălzire” politropică, vezi figura 46,***

$$\begin{aligned} \dot{S}_{gen}^{incalzire\ politropica} &= - \int_1^{2_{rev}} \frac{\delta \dot{Q}_{rev}}{T} + \dot{m} \int_1^{2_{irev}} ds_{irev} = - \frac{\dot{Q}_{rev}}{T_{mq}^{1-2_{rev}}} + \dot{m} \int_1^{2_{rev}} ds_{rev} + \\ &\quad - \frac{\dot{Q}_{rev}}{T_{mq}^{1-2_{rev}}} + \dot{m} \int_1^{2_{rev}} ds_{rev} = 0 \\ \dot{m} \int_1^{2_{rev}, 2_{irev}} (ds_{irev} - ds_{rev}) &\quad \cong \quad \dot{m} (s_{2_{irev}} - s_{2_{rev}}) \end{aligned}$$

Procesul ireversibil, 1 – 2_{irev}, este echivalent energetic și entropic, formal, prin succesiunea:

- 1 – 2_{rev}, proces politropic reversibil intern,
- 2_{rev} – a, destindere adiabatică reversibilă de la p la $(p - \Delta p_{fr})$, cu producție de energie ordonată,
- a – 2_{irev}, proces ireversibil izobar de re-transformare prin frecare a energiei ordonate din etapa anterioară în energie dezordonată.

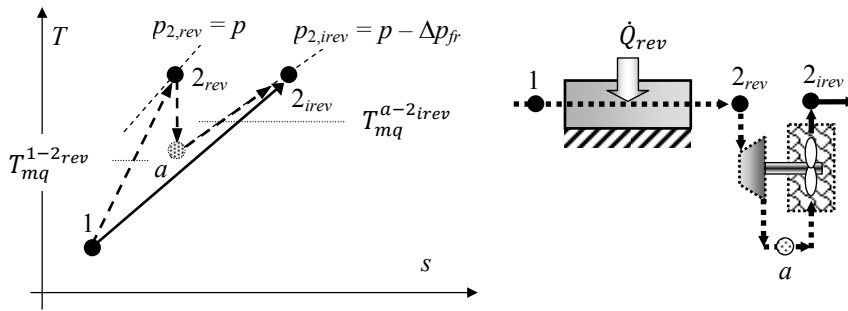


Fig. 46. Echivalarea energetică și entropică globală a unui proces politropic de curgere vâscoasă cu “încălzire”

Astfel, fluxul termic real primit este fluxul termic reversibil. Fluxul termic echivalent ireversibilității interne la curgerea vâscoasă este dezvoltat în paralel și este încorporat în fluidul ce curge.

Pe politropica reversibilă intern, $1 - 2_{rev}$, generarea de entropie este nulă respectiv:

$$-\frac{\dot{Q}_{rev}}{T_{mq}^{1-2,rev}} + \dot{m} \int_1^{2_{rev}} ds_{rev} = 0$$

Pierderile de exergie prin ireversibilitate vor fi:

$$\dot{I}_{irev}^{incalzire} = -T_0 \dot{S}_{gen}^{incalzire} = -\dot{m} T_0 (s_{2_{irev}} - s_{2_{rev}})$$

Efectul termic al ireversibilității ar putea fi echivalat formal astfel (echivalență doar numerică și nu ca semnificație fizică):

$$\dot{m} \frac{h_{2,irev} - h_a}{(s_{2,irev} - s_a)} (s_{2_{irev}} - s_{2_{rev}}) \stackrel{s_a = s_{2_{rev}}}{\cong} \dot{m} T_{mq}^{a-2_{irev}} (s_{2_{irev}} - s_{2_{rev}}) > 0$$

cu precizarea că, PIT, $(h_{2,irev} - h_a)_{p_{2,irev} = const.} = (h_{2,rev} - h_a)_{s_a = s_{2_{rev}}}$.

✓ “Răcire” politropică, vezi figura 47,

$$\begin{aligned} \overset{\text{racire}}{S_{gen}^{\text{politropica}}} &= \int_1^{2_{rev}} \frac{\delta \dot{Q}_{rev}}{T} + \dot{m} \int_1^{2_{irev}} ds_{irev} = \frac{\dot{Q}_{rev}}{T_{mq}^{1-2_{rev}}} + \dot{m} \int_1^{2_{rev}} ds_{rev} + \\ &\quad \frac{\dot{Q}_{rev}}{T_{mq}^{1-2_{rev}}} + \dot{m} \int_1^{2_{rev}} ds_{rev} = 0 \\ \dot{m} \int_1^{2_{rev}, 2_{irev}} (ds_{irev} - ds_{rev}) &\quad \cong \quad \dot{m} (s_{2_{irev}} - s_{2_{rev}}) \end{aligned}$$

Procesul ireversibil, 1 – 2_{irev}, este echivalent energetic și entropic, formal, prin succesiunea:

- 1 – 2_{rev}, proces politropic reversibil intern,
- 2_{rev} – a, destindere adiabatică reversibilă de la p la (p - Δp_{fr}), cu producție de energie ordonată,
- a – 2_{irev}, proces ireversibil izobar de re-transformare prin frecare a energiei ordonate din etapa anterioară în energie dezordonată.

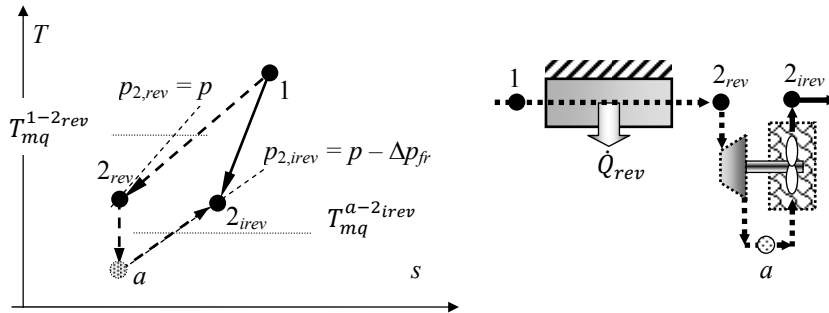


Fig. 47. Echivalarea energetică și entropică globală a unui proces politropic de curgere vâscoasă cu “răcire”

Astfel, fluxul termic real primit este fluxul termic reversibil. Fluxul termic echivalent ireversibilității interne la curgerea vâscoasă este dezvoltat în paralel și este încorporat în fluidul ce curge.

Pe politropica reversibilă intern, $1 - 2_{rev}$, generarea de entropie este nulă respectiv:

$$\frac{\dot{Q}_{rev}}{T_{mq}^{1-2,rev}} + \dot{m} \int_1^{2_{rev}} ds_{rev} = 0$$

Pierderile de exergie prin ireversibilitate vor fi:

$$\dot{\Pi}_{irev}^{incalzire\ politropica} = -T_0 \dot{S}_{gen}^{incalzire\ politropica} = -\dot{m} T_0 (s_{2_{irev}} - s_{2_{rev}})$$

Efectul termic al ireversibilității ar putea fi echivalat formal astfel (echivalență doar numerică și nu ca semnificație fizică):

$$\dot{m} \frac{h_{2,irev} - h_a}{(s_{2_{irev}} - s_a)} (s_{2_{irev}} - s_{2_{rev}}) \stackrel{s_a = s_{2_{rev}}}{\cong} \dot{m} T_{mq}^{a-2_{irev}} (s_{2_{irev}} - s_{2_{rev}}) > 0$$

cu precizarea că, PIT, $(h_{2,irev} - h_a)_{p_{2,irev} = const.} = (h_{2,rev} - h_a)_{s_a = s_{2_{rev}}}$.

Procese izobare de curgere vâscoasă cu încălzire sau răcire

În cazul izobare de curgere vâscoasă cu încălzire sau răcire, pierderile de exergie sunt proporționale cu generarea de entropie și se conformează deasemenea cu teorema Gouy – Stodola.

✓ Încălzire izobară, vezi figura 48,

Prin particularizarea generării de entropie de la încălzirea politropică, vom obține un rezultat similar:

$$\begin{aligned} \dot{S}_{gen}^{incalzire\ izobara} &= - \int_1^{2_{rev}} \frac{\delta \dot{Q}_{rev}}{T} + \dot{m} \int_1^{2_{irev}} ds_{irev} = - \frac{\dot{Q}_{rev}}{T_{mq}^{1-2,rev}} + \dot{m} \int_1^{2_{rev}} ds_{rev} + \\ &\quad - \frac{\dot{Q}_{rev}}{T_{mq}^{1-2,rev}} + \dot{m} \int_1^{2_{rev}} ds_{rev} = 0 \\ \dot{m} \int_1^{2_{rev}+2_{irev}} (ds_{irev} - ds_{rev}) &\quad \cong \quad \dot{m} (s_{2_{irev}} - s_{2_{rev}}) \end{aligned}$$

Pierderile de exergie prin ireversibilitate vor fi:

$$\dot{I}_{irev}^{incalzire\ izobara} = -T_0 \dot{S}_{gen}^{incalzire\ izobara} = -\dot{m}T_0(s_{2_{irev}} - s_{2_{rev}})$$

Efectul termic al ireversibilității ar putea fi echivalat formal astfel (echivalență doar numerică și nu ca semnificație fizică):

$$\begin{aligned} \dot{m} \frac{h_{2_{irev}} - h_a}{(s_{2_{irev}} - s_a)} (s_{2_{irev}} - s_{2_{rev}}) &\stackrel{s_a = s_{2_{rev}}}{\cong} \dot{m} T_{mq}^{a-2_{irev}} (s_{2_{irev}} - s_{2_{rev}}) \stackrel{\text{gaz ideal}}{\cong} \\ &\stackrel{\text{gaz ideal}}{\cong} \dot{m} \bar{c}_p (T_{2_{irev}} - T_a) \stackrel{\substack{h_{2_{irev}} = h_{2_{rev}} \\ T_{2_{irev}} \cong T_{2_{rev}} = T_2}}{\cong} \dot{m} \bar{c}_p T_2 \left[1 - \left(\frac{p - \Delta p_{fr}}{p} \right)^{\frac{\gamma-1}{\gamma}} \right] = \\ &= \dot{m} \bar{c}_p \left(T_1 + \frac{\dot{Q}_{rev}}{\dot{m} \bar{c}_p} \right) \left[1 - \left(\frac{p - \Delta p_{fr}}{p} \right)^{\frac{\gamma-1}{\gamma}} \right] > 0 \end{aligned}$$

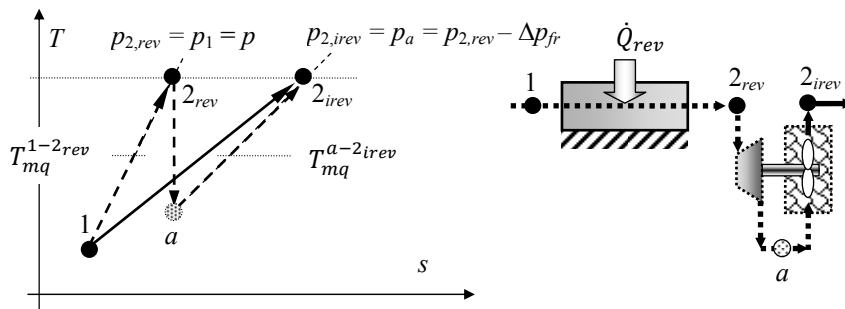


Fig. 48. Echivalarea energetică și entropică globală a unui proces izobar de curgere vâscoasă cu încălzire

✓ **Răcire izobară, vezi figura 49,**

Prin particularizarea generării de entropie de la încălzirea politropică, vom obține un rezultat similar:

$$\dot{S}_{gen}^{racire\ politropica} = \int_1^{2_{rev}} \frac{\delta \dot{Q}_{rev}}{T} + \dot{m} \int_1^{2_{irev}} ds_{irev} = \frac{\dot{Q}_{rev}}{T_{mq}^{1-2_{rev}}} + \dot{m} \int_1^{2_{rev}} ds_{rev} +$$

$$\frac{\dot{Q}_{rev}}{T_{mq}^{1-2,rev}} + \dot{m} \int_1^{2,rev} ds_{rev} = 0$$

$$\dot{m} \int_1^{2,rev+2,irev} (ds_{irev} - ds_{rev}) \cong \dot{m} (s_{2,irev} - s_{2,rev})$$

Pierderile de exergie prin ireversibilitate vor fi:

$$\dot{I}_{irev}^{incalzire izobara} = -T_0 \dot{S}_{gen}^{incalzire izobara} = -\dot{m} T_0 (s_{2,irev} - s_{2,rev})$$

Efectul termic al ireversibilității ar putea fi echivalat formal astfel (echivalență doar numerică și nu ca semnificație fizică):

$$\dot{m} \frac{h_{2,irev} - h_a}{(s_{2,irev} - s_a)} (s_{2,irev} - s_{2,rev}) \stackrel{s_a = s_{2,rev}}{\cong} \dot{m} T_{mq}^{a-2,irev} (s_{2,irev} - s_{2,rev}) \stackrel{gaz ideal}{\cong}$$

$$\stackrel{gaz ideal}{\cong} \dot{m} \bar{c}_p (T_{2,irev} - T_a) \stackrel{\substack{h_{2,irev} = h_{2,rev} \\ T_{2,irev} \cong T_{2,rev} = T_2}}{\cong} \dot{m} \bar{c}_p T_2 \left[1 - \left(\frac{p_{2,rev} - \Delta p_{fr}}{p_{2,rev}} \right)^{\frac{\gamma-1}{\gamma}} \right] =$$

$$= \dot{m} \bar{c}_p \left(T_1 - \frac{\dot{Q}_{rev}}{\dot{m} \bar{c}_p} \right) \left[1 - \left(\frac{p - \Delta p_{fr}}{p} \right)^{\frac{\gamma-1}{\gamma}} \right] > 0$$

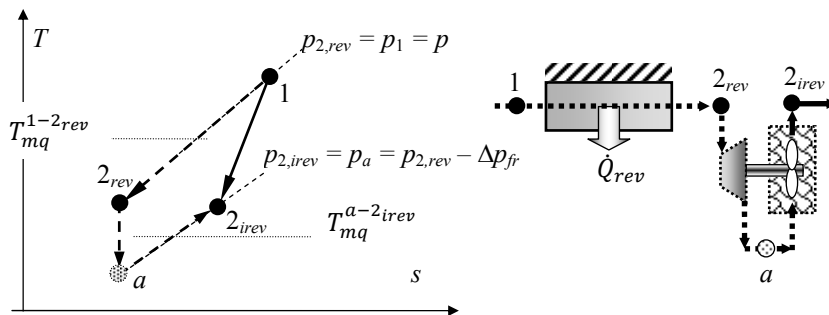


Fig. 49. Echivalarea energetică și entropică globală a unui proces izobar de curgere vâscoasă cu răcire

Pierderi de exergie la amestecarea fluidelor de lucru

Să presupunem un proces general de amestecare izobară a numai două fluide în curgere, vezi figura 50. Procesele de amestecare sunt tipic ireversibile, au sens unic de desfășurare. Procesul invers de separare a componentelor amestecului necesită consumuri energetice și exergetice suplimentare, deci va produce modificări remanente în mediul exterior.

Considerând camera de amestecare ca un STD adiabatic și rigid, vom putea evalua atât conservarea energiei cât și generarea de entropie prin variația entropiei pentru procesul de amestecare.

- PIT

$$\begin{aligned} \dot{m}_1 h_1 + \dot{m}_2 h_2 &= \dot{m}_{amestec} h_{amestec} \stackrel{PCM}{=} (\dot{m}_1 + \dot{m}_2)(h_1^{amestec} + h_2^{amestec}) \\ &\Rightarrow \dot{m}_1(h_1^{amestec} - h_1) + \dot{m}_2(h_2^{amestec} - h_2) = 0 \end{aligned}$$

- PDT

$$\begin{aligned} \dot{S}_{gen}^{amestecare} &= \dot{m}_{amestec} s_{amestec} - \dot{m}_1 s_1 - \dot{m}_2 s_2 \stackrel{PCM}{=} (\dot{m}_1 + \dot{m}_2) s_{amestec} \\ &\quad - \dot{m}_1 s_1 - \dot{m}_2 s_2 = \dot{m}_1(s_1^{amestec} - s_1) + \dot{m}_2(s_2^{amestec} - s_2) \end{aligned}$$

în care \dot{m}_1 , \dot{m}_2 și $\dot{m}_{amestec} = (\dot{m}_1 + \dot{m}_2)$ sunt debitele masice implicate iar h_1 , h_2 , $h_{amestec}$, s_1 , s_2 , $s_{amestec}$ sunt entalpiile și entropiile specifice pentru intrări și ieșiri, respectiv $h_1^{amestec}$, $h_2^{amestec}$, $s_1^{amestec}$, $s_2^{amestec}$ sunt entalpiile specifice și entropiile specifice ale componentelor amestecului la starea din amestec.

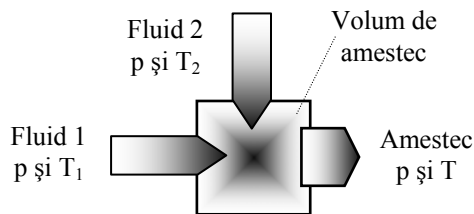


Fig. 50.

Schema amestecării izobare
ireversibile

Vom particulariza generarea de entropie la amestecarea izobară a

gazelor prin adoptarea modelului gazului ideal. Reamintim preliminar modalitățile de calcul a parametrilor extensivi (dependenți de masă) pentru amestecurile de gaze. Parametrii extensivi ai unui amestec de gaze depind de compoziția acestuia definită fie prin participațiile masice, g_i , fie prin participațiile volumice (molare) r_i :

$$g_i = \frac{m_i}{\sum m_i} = \frac{m_i}{m_{\text{amestec}}}, r_i = \frac{V_i}{\sum V_i} = \frac{V_i}{V_{\text{amestec}}} = \frac{n_i}{\sum n_i}$$

în care m_i este masa componentului i , $V_i = m_i R_i \frac{T_{\text{amestec}}}{p_{\text{amestec}}} = n_i R_M \frac{T_{\text{amestec}}}{p_{\text{amestec}}}$ este volumul parțial al componentului i , iar n_i este numărul de kmoli ai componentului i , $R_M = 8314 \text{ J/kmol K}$, este constanta universală a gazelor ideale.

Între cele două modalități de caracterizare a compoziției se pot determina relații de tranziție, ex.:

$$r_i = \frac{g_i R_i}{\sum g_i R_i}, g_i = \frac{r_i M_i}{\sum r_i M_i}$$

unde R_i și M_i sunt constantele caracteristice de gaz perfect și masele molare ale componentilor.

În amestecul de gaze considerate ideale se aplică legile Dalton ($p_{\text{amestec}} = \sum p_i$) și Amagat ($V_{\text{amestec}} = \sum V_i$). În amestec componenții sunt în echilibru termodinamic și sunt caracterizați printr-o stare dată prin:

- fiecare component are masa proprie, m_i ,
- fiecare component ocupă tot volumul amestecului, V ,
- fiecare component are temperatura amestecului, T ,
- fiecare component se află la presiunea parțială proprie $p_i = r_i p$ unde p este presiunea totală a amestecului.

Parametrii extensivi principali pentru amestecuri de gaze perfecte sunt energia internă specifică, entalpia specifică, entropia specifică, volumul specific, masa molară, constanta caracteristică de gaz perfect și căldurile specifice. Valorile acestora, raportate la masa sau la cantitatea de substanță pot fi evaluate prin relațiile:

$$\begin{aligned}
h_{amestec} &= \sum g_i h_i^{amestec} = \sum g_i \int_{T_0^*}^T c_{p,i} dT = \sum g_i \bar{c}_{p,i} (T - T_0^*) [J/kg]; \\
h_{M,amestec} &= \sum r_i h_{M,i}^{amestec} = \sum r_i \int_{T_0^*}^T c_{Mp,i} dT = \sum r_i \bar{c}_{Mp,i} (T - T_0^*) [J/kmol]; \\
u_{amestec} &= \sum g_i u_i^{amestec} = \sum g_i \int_{T_0^*}^T c_{v,i} dT = \sum g_i \bar{c}_{v,i} (T - T_0^*) [J/kg]; \\
u_{M,amestec} &= \sum r_i u_{M,i}^{amestec} = \sum r_i \int_{T_0^*}^T c_{Mv,i} dT = \sum r_i \bar{c}_{Mv,i} (T - T_0^*) [J/kmol]; \\
v_{amestec} &= \frac{V}{m} = \frac{\sum V_i}{\sum m_i} = \frac{T}{P} \sum g_i R_i [m^3/kg]; \quad v_{M,amestec} = \frac{V}{n} = \frac{\sum V_i}{\sum n_i} = \frac{RMT}{P} \sum r_i [m^3/kmol]; \\
s_{amestec} &= \sum g_i s_i^{amestec} = \sum g_i \left(\int_{T_0^*}^T c_{p,i} \frac{dT}{T} - R_i \int_{p_0^*}^{p_i} \frac{dp}{p} \right) = \sum g_i \left(\bar{c}_{p,i} \ln \frac{T}{T_0^*} - R_i \ln \frac{r_i p}{p_0^*} \right) \left[\frac{J}{kg K} \right]; \\
s_{M,amestec} &= \sum r_i s_{M,i}^{amestec} = \sum r_i \left(\int_{T_0^*}^T c_{Mp,i} \frac{dT}{T} - R_M \int_{p_0^*}^{p_i} \frac{dp}{p} \right) = \sum r_i \left(\bar{c}_{Mp,i} \ln \frac{T}{T_0^*} - R_M \ln \frac{r_i p}{p_0^*} \right) \left[\frac{J}{kmol K} \right]; \\
R_{amestec} &= \sum g_i R_i \left[\frac{J}{kg K} \right]; \quad M_{amestec} = \sum r_i M_i \left[\frac{kg}{kmol} \right]; \\
c_{p,amestec} &= \sum g_i c_{p,i} \left[\frac{J}{kg K} \right]; \quad c_{Mp,amestec} = \sum r_i c_{Mp,i} \left[\frac{J}{kmol K} \right];
\end{aligned}$$

Pentru procesul de amestecare din figura 43, compoziția este dată prin:

$$g_1 = \frac{\dot{m}_1}{\dot{m}_1 + \dot{m}_2}, \quad g_2 = \frac{\dot{m}_2}{\dot{m}_1 + \dot{m}_2}, \quad r_1 = \frac{\dot{n}_1}{\dot{n}_1 + \dot{n}_2} = \frac{\dot{m}_1/M_1}{\dot{m}_1/M_1 + \dot{m}_2/M_2}, \quad r_2 = \frac{\dot{n}_2}{\dot{n}_1 + \dot{n}_2} = \frac{\dot{m}_2/M_2}{\dot{m}_1/M_1 + \dot{m}_2/M_2}$$

După simplificările posibile, generarea de entropie prin ireversibilitate va fi în final dată de ecuația:

$$\begin{aligned}
\dot{s}_{gen}^{amestecare} &= \dot{m}_1 \left(\bar{c}_{p,1} \ln \frac{T}{T_1} - R_1 \ln(r_1) \right) + \dot{m}_2 \left(\bar{c}_{p,2} \ln \frac{T}{T_2} - R_2 \ln(r_2) \right) \\
&= \left(\dot{m}_1 \bar{c}_{p,1} \ln \frac{T}{T_1} + \dot{m}_2 \bar{c}_{p,2} \ln \frac{T}{T_2} \right) - \left(\dot{m}_1 R_1 \ln(r_1) + \dot{m}_2 R_2 \ln(r_2) \right)
\end{aligned}$$

Ca urmare pierderile de exergie prin amestecare vor fi:

$$\begin{aligned}
\dot{I}_{irev}^{amestecare} &= -T_0 \dot{s}_{gen}^{amestecare} = -T_0 \left[\left(\dot{m}_1 \bar{c}_{p,1} \ln \frac{T}{T_1} + \dot{m}_2 \bar{c}_{p,2} \ln \frac{T}{T_2} \right) - \right. \\
&\quad \left. \left(\dot{m}_1 R_1 \ln(r_1) + \dot{m}_2 R_2 \ln(r_2) \right) \right]
\end{aligned}$$

Semnificația acestor pierderi este reliefată în principal din ecuația de bilanț exergetic, și reprezintă diferența dintre exergia fizică a amestecului (utilă) și suma exergiilor fizice ale componentilor ce intră în camera de amestec (consumate):

$$\begin{aligned} \dot{\Pi}_{irev}^{amestecare} &= (\dot{m}_1 + \dot{m}_2)[(h_{amestec} - h_{amestec,0}) - T_0(s_{amestec} - s_{amestec,0})] \\ &\quad - \dot{m}_1[(h_1 - h_{1,0}) - T_0(s_1 - s_{1,0})] - \dot{m}_2[(h_2 - h_{2,0}) - T_0(s_2 - s_{2,0})] = \\ &\quad \dot{m}_1(h_1^{amestec} - h_1) + \dot{m}_2(h_2^{amestec} - h_2) - T_0\dot{m}_1T_0(s_1^{amestec} - s_1) + \\ &\quad \dot{m}_2T_0(s_2^{amestec} - s_2) \stackrel{PIT}{\cong} -T_0[\dot{m}_1(s_1^{amestec} - s_1) + \dot{m}_2(s_2^{amestec} - s_2)] = \\ &\quad -T_0\left[\left(\dot{m}_1\bar{c}_{p,1}\ln\frac{T}{T_1} + \dot{m}_2\bar{c}_{p,2}\ln\frac{T}{T_2}\right) - (\dot{m}_1R_1\ln(r_1) + \dot{m}_2R_2\ln(r_2))\right] \end{aligned}$$

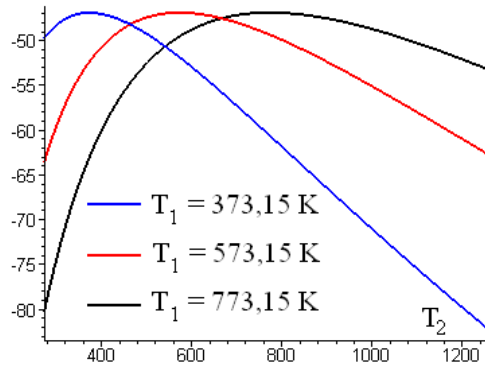
În figura 51 este inclusă dependența $\frac{\dot{\Pi}_{irev}^{amestecare}}{\dot{m}_1 + \dot{m}_2} = f(T_1, T_2)$ pentru un proces izobar de amestecare N₂ cu O₂, pentru a obține un amestec cu compoziția $g_{N_2} = 0,3$ și $g_{O_2} = 0,7$.

Fig. 51. – amestecare izobară

$$\frac{\dot{\Pi}_{irev}^{amestecare}}{\dot{m}_1 + \dot{m}_2} = f(T_1, T_2)$$

compoziția amestecului este:

$$g_{N_2} = 0,3 \text{ și } g_{O_2} = 0,7$$



Concluzia principală privind generarea de entropie prin amestecarea ireversibilă este că generarea minimă de entropie respectiv pierderea minimă de exergie are loc în cazul amestecărilor izobar – izotermice, vezi figura 51, $T_1 = T_2 = T$.

***Generarea de entropie pe cicluri termodinamice ireversibile,
numerele ireversibilității interne și externe***

Cicluri ideale, complet reversibile

Un sistem termodinamic cu funcționare ciclică schimbă căldură cu cel puțin două surse termice cu temperaturi diferite și este proiectat pentru a produce o utilitate energetică, putere – motoare, căldură – pompe de căldură, frig – instalații frigorifice sau combinații tip cogenerare sau trigenerare. Performanțele termodinamice sunt evaluate numeric prin cele două criterii,

$$FLE(\text{first law efficiency}) = CPE(\text{coeficient de performanță energetică})$$

$$\text{și } SLE(\text{second law efficiency}) = \text{randament exergetic.}$$

Analiza și optimizarea termodinamică este realizată complet prin raportare permanentă la ciclurile ideale complet reversibile. Orice ciclu ideal complet reversibil trebuie să respecte condiția sintetică $\dot{S}_{gen} = 0$. Condiția restrictivă de reversibilitate completă (generare de entropie prin ireversibilitate nulă) poate fi folosită pentru proiectarea unei game de cicluri ideale. În termodinamica clasică, ciclurile ideale trebuie să schimbe căldură, la diferențe elementare de temperatură, cu două surse termice externe ce au capacități termice infinite respectiv temperaturi constante, vezi figura 52 unde sunt schițate pentru exemplificare patru posibile cicluri ideale motoare.

Toate aceste cicluri motoare constituite din transformări reversibile intern, consumă fluxul termic \dot{Q} de la sursa caldă cu temperatura $T = \text{const}$. și cedează fluxul termic \dot{Q}_0 sursei reci, mediul ambiant, cu temperatura T_0 .

Relațiile termice sunt realizate la diferențe elementare de temperatură, dT și dT_0 , ca urmare procesele pe care se realizează contactele termice reversibile cu cele două surse externe, 2 – 3 și 4 – 1, sunt izotermice. Aceste procese izotermice sunt legate prin două transformări de aceeași natură 1 – 2 și 3 – 4, care sunt adiabatice la motorul Carnot, izocorice la motorul Stirling, izobarice la motorul Ericsson și politropice oarecare la motorul general.

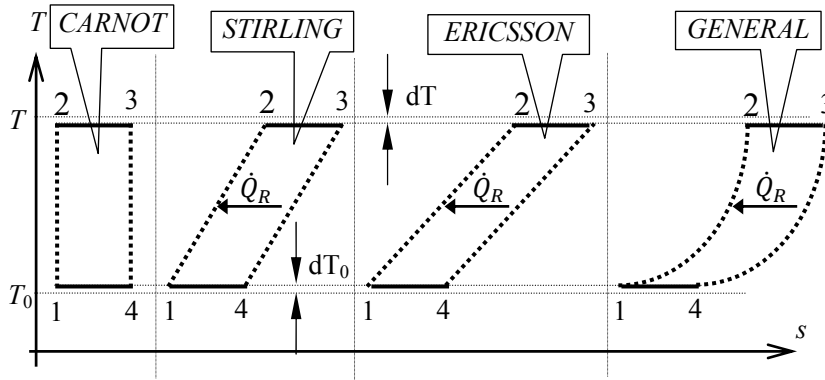


Fig. 52. Cicluri ideale posibile, diagrama $T - s$

$s_1 = s_2$	$v_1 = v_2$	$p_1 = p_2$	$c_{1-2} = \text{const.} = c_{3-4}$
$s_3 = s_4$	$v_3 = v_4$	$p_3 = p_4$	

Cu excepția ciclului Carnot, toate celelalte cicluri trebuie să cupleze termic reversibil transformările neadiabatică 1 – 2 și 3 – 4, adică fluxul termic cedat în procesul de răcire 3 – 4 de la temperatura $(T - dT)$ până la temperatura $(T_0 + dT_0)$ să fie recuperat intern (regenerare internă de căldură) pentru realizarea procesului de încălzire 1 – 2 de la temperatura $(T_0 + dT_0)$ până la temperatura $(T - dT)$. Procesul de regenerare internă a căldurii elimină astfel relațiile termice cu sursele externe pentru procesele neadiabatică și neizotermice și ca urmare trebuie să respecte, pentru fiecare ciclu, condițiile:

➤ STIRLING

$$|\dot{Q}_R| = \dot{m}c_v(T_3 - T_4) = \dot{m}c_v(T_2 - T_1) = \dot{m}c_v[(T - dT) - (T_0 + dT_0)] \cong \\ \cong \dot{m}c_v(T - T_0) = \dot{m}T_{mq}^{3-4}(s_3 - s_4) = \dot{m}T_{mq}^{1-2}(s_2 - s_1)$$

$$T_{mq}^{3-4} = T_{mq}^{1-2} \Rightarrow s_2 - s_1 = s_3 - s_4 = c_v \ln(T/T_0) \Rightarrow s_3 - s_2 = s_4 - s_1$$

➤ ERICSSON

$$\begin{aligned} |\dot{Q}_R| &= \dot{m}c_p(T_3 - T_4) = \dot{m}c_p(T_2 - T_1) = \dot{m}c_p[(T - dT) - (T_0 + dT_0)] \cong \\ &\cong \dot{m}c_p(T - T_0) = \dot{m}T_{mq}^{3-4}(s_3 - s_4) = \dot{m}T_{mq}^{1-2}(s_2 - s_1) \end{aligned}$$

$$T_{mq}^{3-4} = T_{mq}^{1-2} \Rightarrow s_2 - s_1 = s_3 - s_4 = c_p \ln(T/T_0) \Rightarrow s_3 - s_2 = s_4 - s_1$$

➤ GENERAL

$$\begin{aligned} |\dot{Q}_R| &= \dot{m}c_n(T_3 - T_4) = \dot{m}c_n(T_2 - T_1) = \dot{m}c_n[(T - dT) - (T_0 + dT_0)] \cong \\ &\cong \dot{m}c_n(T - T_0) = \dot{m}T_{mq}^{3-4}(s_3 - s_4) = \dot{m}T_{mq}^{1-2}(s_2 - s_1) \end{aligned}$$

$$T_{mq}^{3-4} = T_{mq}^{1-2} \Rightarrow s_2 - s_1 = s_3 - s_4 = c_n \ln(T/T_0) \Rightarrow s_3 - s_2 = s_4 - s_1$$

În relațiile de mai sus, $c_v = (c_{1-2} = c_{3-4})_{dv=0}$, $c_p = (c_{1-2} = c_{3-4})_{dp=0}$ și $c_n = (c_{1-2} = c_{3-4})_{politropic}$ sunt căldurile specifice medii la volum constant, la presiune constantă și politropică, \dot{m} este debitul masic al agentului de lucru, \dot{Q}_R este fluxul termic regenerat intern

Vom considera că sistemele termodinamice analizate includ numai ciclurile operaționale nu și sursele termice externe, deci relațiile energetice vor avea semnele corespunzătoare, $\dot{W}_t > 0$ – produs, $\dot{Q} > 0$ introdus în ciclu și $\dot{Q}_0 < 0$ cedată din ciclu. Pentru toate ciclurile avem, conform PIT și PDT, puterea mecanică:

$$\dot{W}_t = \dot{Q} - |\dot{Q}_0| = \dot{m}T(s_3 - s_2) - \dot{m}T_0(s_4 - s_1) > 0$$

Este foarte ușor de demonstrat că toate aceste cicluri au același $FLE=CPE$ și $SLE=randament\ exergetic$.

✓ $FLE=CPE$

$$FLE = CPE = \eta_t = \frac{\dot{W}_t}{\dot{Q}} = 1 - \frac{|\dot{Q}_0|}{\dot{Q}} = 1 - \frac{T_0}{T} = \eta_{Carnot}(T, T_0)$$

✓ $SLE = \text{randament exergetic}$

$$SLE = \eta_{ex} = \frac{\dot{W}_t}{\dot{E}x_Q} = \frac{\dot{W}_t}{\dot{Q}\left(1 - \frac{T_0}{T}\right)} = \frac{1 - \frac{T_0}{T}}{1 - \frac{T_0}{T}} = 1$$

Urmând aceeași logică, se poate de asemenea demonstra că și ciclurile inverse, frigorifice, sunt de asemenea ideale, complet reversibile. Toate au aceleași valori pentru criteriile de performanță ale PIT și PDT. Se precizează că relațiile energetice se inversează, iar cele termice se realizează de asemenea la diferențe elementare de temperatură. De data aceasta sursa rece are temperatura $T < T_0$ și sursa caldă este mediul ambiant cu temperatura T_0 . Temperaturile celor două procese izotermice ce fac legătura cu sursele externe sunt $(T - dT)$ și $(T_0 + dT_0)$ respectând astfel legea naturală de propagare a căldurii. Pentru ciclurile frigorifice, relațiile energetice vor avea semnele corespunzătoare, $\dot{W}_t < 0$ – consumat, $\dot{Q} > 0$ introdusă în ciclu și $\dot{Q}_0 < 0$ cedată din ciclu.

✓ $FLE = COP$

$$FLE = CPE = \varepsilon_f = \frac{\dot{Q}}{|\dot{W}_t|} = \frac{T}{T_0 - T} = \varepsilon_{f,Carnot}(T_0, T)$$

✓ $SLE = \text{randament exergetic}$

$$SLE = \eta_{ex} = \frac{\dot{E}x_Q}{\dot{W}_t} = \frac{\dot{Q}\left(1 - \frac{T_0}{T}\right)}{\dot{W}_t} = \frac{-\dot{Q}}{-|\dot{W}_t|} \frac{1}{\frac{T}{T_0 - T}} = \frac{\frac{T}{T_0 - T}}{\frac{T}{T_0 - T}} = 1$$

În figurile 53 și 54 sunt date FLE și SLE pentru cele două tipuri de cicluri ideale, motor și mașina frigorifică.

În concluzie, ciclurile ideale complet reversibile sunt realizate prin respectarea următoarelor condiții de lucru:

- ciclul este constituit numai din transformări reversibile intern,
- sursele termice externe au capacitatea termică infinită – temperatura constantă,

- contactele termice cu sursele externe sunt realizate numai pe transformări izoterme, la diferențe elementare de temperatură,

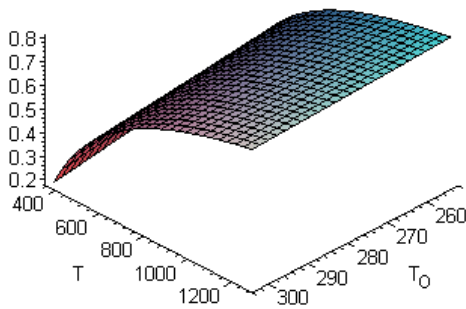


Fig. 53. Cicluri motoare ideale

$$\eta_t = 1 - \frac{T_0}{T} = \eta_{Carnot}(T, T_0)$$

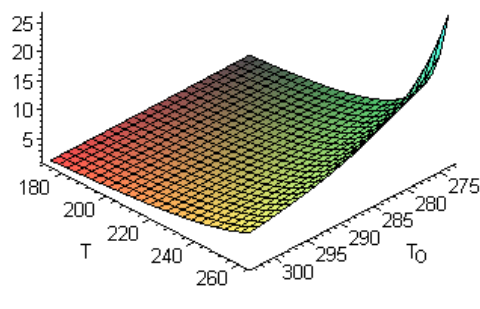


Fig. 54. Cicluri frigorifice ideale

$$\varepsilon_f = \frac{T}{T_0 - T} = \varepsilon_{f,Carnot}(T_0, T)$$

Singurul ciclu ideal care a fost dezvoltat și tehnologic este ciclul Stirling*. În prezent există mai multe variante constructive, alfa, beta, gama, cu piston liber, cu diafragme. Variantele constructive reale nu pot asigura în totalitate configurația operațională a ciclului ideal, ciclurile reale sunt mai mult variante ale ciclului general.

Ciclurile reale, ireversibile vor avea cele două criterii de performanță mai mici decât cele ale ciclurilor ideale complet reversibile.

* Reverendul scoțian Dr Robert Stirling (1790-1878) a brevetat această mașină termică în anul 1816. Data adoptării denumirii simplificate de motor Stirling nu este cunoscută, dar poate fi estimată spre mijlocul secolului XX când compania Philips a început cercetările cu fluide de lucru altele decât aerul, și a dezvoltat ulterior primul motor Stirling modern.

Cicluri reale ireversibile

Generarea globală de entropie prin ireversibilitate internă și externă a ciclurilor reale ireversibile poate fi evaluată pentru sistemul termodinamic lărgit, ce include ciclul real și sursele termice externe, prin relația generală (conform Gouy – Stodola):

$$\dot{S}_{gen} = \frac{\dot{Q}_{\text{cedat}}}{T_{\text{sursei ce primește}} \text{ caldura cedată din ciclu}} - \frac{\dot{Q}_{\text{primit}}}{T_{\text{sursei ce furnizează}} \text{ caldura consumată în ciclu}}$$

Relația de mai sus, extrem de concisă, nu permite evaluarea pierderilor pe fiecare cauză de ireversibilitate internă și externă, ci doar global.

De aceea evaluarea ireversibilității este realizată în detaliu:

- fie prin intermediul pierderilor de exergie pe cauze de ireversibilitate,
- fie prin vizualizarea directă a generării de entropie prin ireversibilitate în criteriul de performanță termodinamică aferent principiului unu al termodinamicii.

În varianta ultimă, cumulara aspectelor energetice și entropice în relația coeficientului de performanță energetică poate fi făcută prin corelarea ecuațiilor de conservare a energiei și de generare a entropiei prin ireversibilitate.

Coeficientul de performanță energetică pentru cicluri ireversibile în care se pot evalua direct transformările energetice și generarea de entropie prin ireversibilitate va deveni astfel un criteriu unic pentru PIT și PDT, respectiv de evaluare cumulativă energetică și entropică. Denumirile posibile ale acestui vechi/nou coeficient de performanță:

- ✚ coeficient de performanță energetică ireversibilă, sau

☞ coeficient de performanță termodinamică

Vom exemplifica cum poate fi obținută această variantă de evaluare cumulativă, energetică și entropică, în interiorul CPE pentru cele două cicluri primare, ciclul motor și ciclul frigorific.

- ✓ **Cazul ciclului motor ireversibil**, vezi figura 55 de echivalare a relației termice cu sursa caldă și a efectului termic al ireversibilității în procesul real neadiabatic, de pe ciclul motor, pe care are loc preluarea căldurii de la sursa externă.

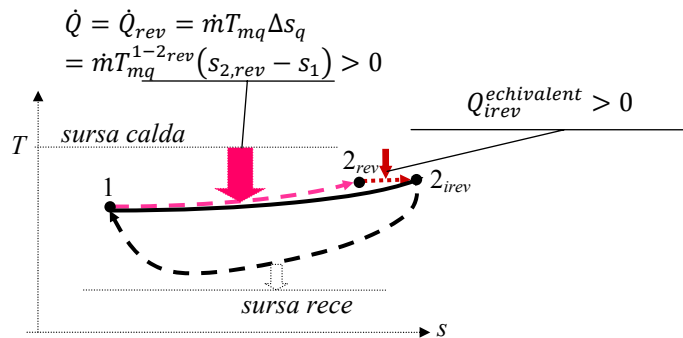


Fig. 55. Schema relației termice cu sursa caldă și a efectului termic al ireversibilității pe procesul neadiabatic real $1 - 2_{irev}$, ciclu motor real

În procesul neadiabatic real, $1 - 2_{irev}$, fluxul termic primit efectiv de la sursa caldă $\dot{Q} = \dot{Q}_{rev} = \dot{m}T_{mq}^{1-2_{rev}}\Delta s_q = \dot{m}T_{mq}^{1-2_{rev}}(s_{2,rev} - s_1)$ este echivalent cu fluxul termic pe procesul reversibil $1 - 2_{rev}$.

Efectul termic al ireversibilității, $\dot{Q}_{irev}^{echivalent}$, este dezvoltat în paralel prin ireversibilitatea internă a procesului neadiabatic real și se regăsește în final în fluidul de lucru. Ireversibilitatea produce astfel doar “deplasarea” $2_{rev} \rightarrow 2_{irev}$, prin “recuperarea” doar a exergiei “căldurii $\dot{Q}_{irev}^{echivalent}$ ”. Precizăm că în general, în procesele neadiabatice reale incluse pe cicluri reale, entalpia finală respectiv temperatura este impusă, condiție restrictivă

operațională. Ca urmare vom putea scrie:

$$h_{2_{irev}} = h_{2_{rev}} \Rightarrow T_{2_{irev}} \cong T_{2_{rev}}$$

În baza acestor considerații vom putea acum forța coeficientul de performanță energetică, $CPE_{motor}^{irev} = \eta_{t,irev}$ pentru a putea include în relația lui, prin intermediul PDT, a generării de entropie globale.

Pentru a putea evalua influența ireversibilității globale vom analiza sistemul termodinamic lărgit ce include atât motorul cât și sursele termice externe. Pentru acest sistem termodinamic lărgit vom avea:

$$\begin{aligned} CPE_{motor}^{irev} = \eta_{t,irev} &= \frac{W_t}{\dot{Q}} = \frac{W_t^{rev} + W_{t,pierdut}^{irev}}{\dot{Q}} = \frac{W_t^{rev}}{\dot{Q}} - \frac{T_0 \dot{S}_{gen}}{\dot{Q}} = 1 - \frac{T_0}{T} - \\ \frac{T_0 \dot{S}_{gen}}{\dot{m} T_{mq}^{1-2rev} \Delta s_q} &= 1 - \frac{T_0}{T} - \frac{T_0 \dot{S}_{gen}}{\theta_{PDT} \dot{m} T \Delta s_q} = 1 - \frac{T_0}{T} \left(1 + \frac{\dot{S}_{gen}}{\theta_{PDT} \dot{m} \Delta s_q} \right) = \\ &= 1 - \frac{T_0}{T} N_{irev} \stackrel{N_{irev} > 0}{\lesssim} 1 - \frac{T_0}{T} = \eta_{Carnot}(T_0, T) \end{aligned}$$

în care \dot{W}_t^{rev} este puterea mecanică a motorului Carnot ideal ce evoluează între sursele termice cu temperaturile T (sursa caldă) și $T_0 < T$ (sursa rece – mediul ambiant), iar $\theta_{PDT} = T_{mq}^{1-2rev} / T$ este un coeficient de corecție ce va fi definit ulterior.

Care sunt concluziile?

1. $\eta_{t,irev}$ include explicit ireversibilitatea respectiv generarea globală de entropie \dot{S}_{gen} .
2. $N_{irev} = 1 + \frac{\dot{S}_{gen}}{\theta_{PDT} \dot{m} \Delta s_q} > 0$ are semnificația unui număr al ireversibilității globale, include atât ireversibilitatea externă din relațiile termice cu sursele externe cât și ireversibilitatea internă pe ciclul real.
3. În relația N_{irev} am raportat \dot{S}_{gen} la variația de entropie utilă/motoare $\dot{m} \Delta s_q = \Delta \dot{S}_Q$ care este în fapt variația de entropie a agentului de lucru

corespunzătoare fluxului termic efectiv primit de la sursa caldă $\dot{m}\Delta s_q = \Delta\dot{S}_Q$. (precizăm, retoric, că fluxul termic \dot{Q} menține în viață ciclul motor real/ireversibil).

4. La limită, când $\dot{S}_{gen} \rightarrow 0$, $N_{irev} \rightarrow 1$, și astfel se re-obține ciclul motor ideal Carnot.
5. Coeficientul de corecție θ_{PDT} leagă fluxul termic cedat de sursa caldă la temperatura T (cu conținut exergetic superior) de fluxul termic încorporat de agentul de lucru la temperatura $T_{mq}^{1-2rev} < T$ (cu conținut exergetic inferior). Prin acest coeficient am inclus efectiv și sursa caldă în sistemul termodinamic lărgit. Acest coeficient de corecție va fi definit ulterior în baza PDT.
6. Relația pentru $\eta_{t,irev}$ ne va permite să vedem căile posibile de micșorare a valorii numărului N_{irev} , să micșorăm ireversibilitatea motorului real, să ne apropiem de motorul Carnot ideal.

În figura 56 este schițată doar exemplificativ influența ireversibilității globale asupra randamentului termic ireversibil,

$$\eta_{t,irev} = 1 - \frac{T_0}{T} \left(1 + \frac{\dot{S}_{gen}}{\theta_{PDT}\dot{m}\Delta s_q} \right) = 1 - \frac{T_0}{T} N_{irev} = \eta_{t,irev}(T_0, T, N_{irev})$$

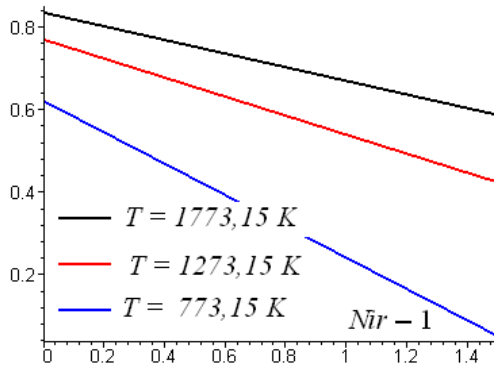


Fig. 56.

$$\eta_{t,irev}(T_0, T, N_{irev}) = 1 - \frac{T_0}{T} N_{irev}$$

$$T_0 = 273,15 K$$

- ✓ **Cazul ciclului frigorific ireversibil**, vezi figura 57 de echivalare a relației termice cu sursa rece și a efectului termic al ireversibilității în procesul real neadiabatic, de pe ciclul frigorific, pe care are loc preluarea căldurii de la această sursă externă (producerea de frig).

Logica folosită la cicluri motoare se repetă la ciclurile frigorifice. În procesul neadiabatic real, $1 - 2_{irev}$, fluxul termic primit efectiv de la sursa rece $\dot{Q} = \dot{Q}_{rev} = \dot{m}T_{mq}^{1-2_{rev}}\Delta s_q = \dot{m}T_{mq}^{1-2_{rev}}(s_{2,rev} - s_1)$ este echivalent cu fluxul termic pe procesul reversibil $1 - 2_{rev}$.

Efectul termic al ireversibilității, $\dot{Q}_{irev}^{echivalent}$, este dezvoltat în paralel prin ireversibilitatea internă a procesului neadiabatic real și se regăsește în final în fluidul de lucru. Ireversibilitatea produce astfel doar “deplasarea” $2_{rev} \rightarrow 2_{irev}$.

Precizăm că în general, în procesele neadiabatice reale incluse pe cicluri reale, entalpia finală respectiv temperatura este impusă, condiție restrictivă operațională. Ca urmare vom putea scrie:

$$h_{2_{irev}} = h_{2_{rev}} \Rightarrow T_{2_{irev}} \cong T_{2_{rev}}$$

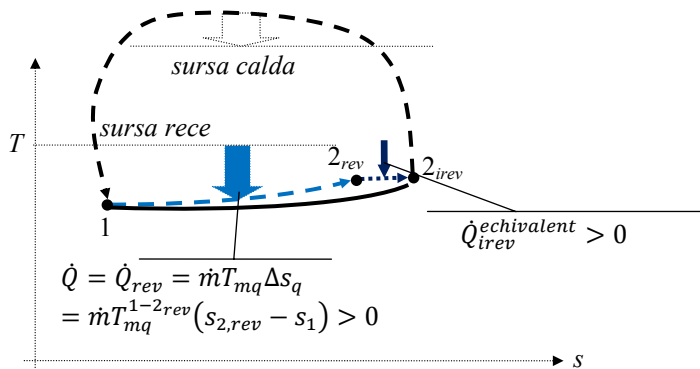


Fig. 57. Schema relației termice cu sursa rece și a efectului termic al ireversibilității pe procesul neadiabatic real $1 - 2_{irev}$, ciclul frigorific real

În baza acestor considerații vom putea acum evalua coeficientul de performanță energetică, $CPE_{ciclu}^{irrev} = \varepsilon_{f,irrev}$ pentru a putea include în relația lui, prin intermediul PDT, a generării de entropie globale.

Pentru a putea evalua influența ireversibilității globale vom analiza sistemul termodinamic lărgit ce include atât ciclul frigorific real cât și sursele termice externe.

Pentru acest sistem termodinamic lărgit vom avea:

$$\begin{aligned}
 CPE_{ciclu}^{irrev} &= \varepsilon_{f,irrev} = \frac{\dot{Q}}{|\dot{W}_t|} \stackrel{\dot{W}_t < 0}{=} -\frac{\dot{Q}}{\dot{W}_t} = -\frac{\dot{Q}}{\dot{W}_t^{rev} + \dot{W}_t^{irrev}} = \\
 &= -\frac{1}{\frac{\dot{W}_t^{rev}}{\dot{Q}} + \frac{\dot{W}_t^{irrev}}{\dot{Q}}} \stackrel{T < T_0}{=} -\frac{1}{1 - \frac{T_0}{T} \frac{T_0 \dot{S}_{gen}}{\dot{Q}}} = -\frac{1}{1 - \frac{T_0}{T} \frac{T_0 \dot{S}_{gen}}{m T_{mq}^{1-2rev} \Delta s_q}} = -\frac{1}{1 - \frac{T_0}{T} \frac{T_0 \dot{S}_{gen}}{\theta_{PDT} m T \Delta s_q}} = \\
 &= -\frac{1}{1 - \frac{T_0}{T} \left(1 + \frac{\dot{S}_{gen}}{\theta_{PDT} m \Delta s_q}\right)} = \frac{T}{T_0 N_{irrev} - T} \stackrel{N_{irrev} > 1}{\gtrsim} \frac{T}{T_0 - T} = \varepsilon_{f,Carnot}(T, T_0)
 \end{aligned}$$

în care \dot{W}_t^{rev} este puterea mecanică consumată de ciclul frigorific Carnot ideal ce evoluează între sursele termice cu temperaturile T (sursa rece) și $T_0 > T$ (sursa caldă – mediul ambiant), iar $\theta_{PDT} = T_{mq}^{1-2rev}/T$ este un coeficient de corecție ce va fi definit ulterior.

Care sunt concluziile?

7. $\varepsilon_{f,irrev}$ include explicit ireversibilitatea respectiv generarea globală de entropie \dot{S}_{gen} .
8. $N_{irrev} = 1 + \frac{\dot{S}_{gen}}{\theta_{PDT} m \Delta s_q} > 0$ are semnificația unui număr al ireversibilității globale, care include atât ireversibilitatea externă din relațiile termice cu sursele externe cât și ireversibilitatea internă pe ciclul real.
9. În relația N_{irrev} am legat \dot{S}_{gen} de variația de entropie utilă $m \Delta s_q = \Delta \dot{S}_Q$ care este în fapt variația de entropie a agentului de lucru corespunzătoare

fluxului termic efectiv primit de la sursa rece $\dot{m}\Delta s_q = \Delta \dot{S}_Q$. Precizăm, retoric, că fluxul termic \dot{Q} este de fapt frigul produs în unitatea de timp și este motivul menținerii în viață a ciclului frigorific real/ireversibil prin consumarea puterii mecanice $\dot{W}_t < 0$).

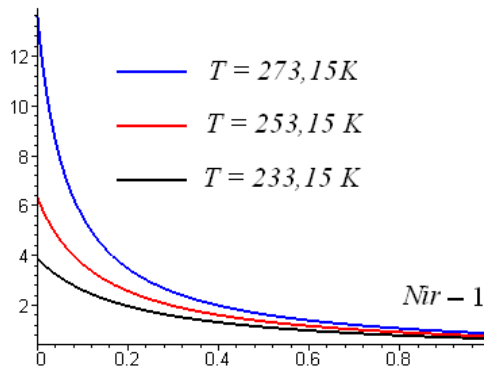
10. La limită, când $\dot{S}_{gen} \rightarrow 0$, $N_{irev} \rightarrow 1$, și astfel se re-obține ciclul frigorific ideal Carnot.
11. Coeficientul de corecție θ_{PDT} leagă fluxul termic cedat de sursa rece la temperatura T (necesită un consum de exergie minim, $\dot{W}_t^{rev} < 0$) de fluxul termic încorporat de agentul de lucru la temperatura $T_{mq}^{1-2rev} < T$ (necesită un consum de exergie superior, $\dot{W}_t < 0$). Prin acest coeficient am inclus efectiv și sursa rece în sistemul termodinamic lărgit. Acest coeficient de corecție va fi definit deasemenea ulterior prin în baza PDT.
12. Relația pentru $\varepsilon_{f,irev}$ ne va permite să vedem căile posibile de micșorare a valorii numărului N_{irev} , de reducere a ireversibilității ciclului frigorific real, de apropiere de ciclul frigorific Carnot ideal.

În figura 58 este schițată doar exemplificativ influența ireversibilității globale asupra eficienței frigorifice ireversibile:

$$\varepsilon_{f,irev} = \frac{T}{T_0 N_{irev} - T} = \varepsilon_{f,irev}(T, T_0, N_{irev})$$

Fig. 58.

$$\begin{aligned} \varepsilon_{f,irev} &= \varepsilon_{f,irev}(T, T_0, N_{irev}) = \\ &= \frac{T}{T_0(1 + N_{irev}) - T} \\ &T_0 + 293,15 \text{ K} \end{aligned}$$



Evaluarea ireversibilității externe a ciclurilor cu interacțiuni termice cu sursele externe la diferență finită de temperatură

Ireversibilitatea externă a ciclurilor operaționale este provocată de schimbul de căldură la diferență finită de temperatură între sursele termice externe și agentul de lucru din ciclu. Evaluarea ireversibilității externe trebuie fundamentată în baza PDT care oferă o bază concretă de evaluare a generării de entropie prin ireversibilitate.

Vom prezenta, în continuare, două modalități de interpretare a ireversibilității externe a ciclurilor operaționale:

- prin criteriul de putere maximă Novikov – Curzon – Ahlborn,
- prin intermediul eficienței termice ireversibile (eficienței entropice) a schimbătoarelor de căldură.

Criteriul de putere maximă, Novikov–Curzon–Ahlborn, o primă încercare de evaluare a ireversibilității externe[♦]

Criteriul de putere maximă Novikov – Curzon – Ahlborn este prima încercare, celebră, de analiză a funcționării ciclice în timp real și a generat ulterior o mulțime de lucrări în cadrul așa numitei *termodinamici în timp finit*. În prezent criteriul este contestat pentru că deși matematic este corect nu poate fi aplicat în realitate. Clasică analiză exergetică precum și cercetările tehnologice pentru dezvoltarea unor sisteme energetice moderne contrazic permanent concluziile studiului realizat de cei trei autori.

Idea principală, care a generat fondarea termodinamicii în timp finit, consideră ciclurile ideale ca inutile pentru că deși acestea oferă lucru

[♦] Novikov I.I., 1958, *The efficiency of atomic power stations*, J. Nucl. Energy II, 7: 125-128 (translated from 1957, At. Energ., 3(11): 409).
Curzon F.L., Ahlborn B., 1975, *Efficiency of a Carnot engine at maximum – power conditions*, Am. J. Phys., 43: 22-24.

mecanic maxim maximorum în cicluri motoare sau consumă lucru mecanic minim minimorum în cicluri frigorifice, puterea este zero.

De ce? Transferul de căldură ideal la diferență elementară de temperatură necesită un timp infinit și ca urmare raportul lucru mecanic pe timp este astfel egal cu zero.

Novikov – Curzon – Ahlborn au încercat să “optimizeze” relațiile termice cu sursele externe prin impunerea “puterii maxime” ca principal criteriu de optimizare a ciclurilor motoare. În cadrul termodinamicii în timp finit, criteriul Novikov-Curzon-Ahlborn de putere maximă a fost considerat mult timp drept un criteriu ce aparține principului doi al termodinamicii. În prezent această opinie inițială este discutabilă. Mult timp a fost atractivă legarea “puterii maxime” de impunerea unui timp de viață minim al motorului. Și acest aspect este de asemenea discutabil.

Ciclul motor ales de cei trei autori, Novikov– Curzon–Ahlborn, este ciclul Carnot endoreversibil, reversibil intern și ireversibil extern prin faptul că are schimburi termice cu sursele externe la diferențe finite de temperatură, vezi figura 59.

Ciclul Carnot endoreversibil este caracterizat prin relațiile termice externe realizate la diferențele finite de temperatură:

- la sursa caldă $\Delta T = (T - T_M)$, unde $T_M = T_2 = T_3$ este temperatura maximă pe ciclu iar T este temperatura sursei calde,
- la sursa rece $\Delta T_0 = (T_m - T_0)$, unde $T_m = T_1 = T_4$ este temperatura minimă pe ciclu iar T_0 este temperatura sursei reci.

Pentru a putea optima puterea ciclului Novikov– Curzon–Ahlborn, vom adopta următoarele notații, în acord cu figura 55:

$$\theta = \frac{\Delta T}{T}, \theta_0 = \frac{\Delta T_0}{T_0}, \tau = \frac{T}{T_0}, K = UA, K_0 = U_0 A_0, \bar{K} = \frac{K}{K_0}$$

unde

➤ U, U_0 sunt coeficienții globali de schimb termic din cele două

schimbătoare de căldură în care au loc interacțiunile termice ale agentului de lucru cu sursele termice caldă și rece,

- A, A_0 sunt suprafețele de schimb termic ale celor două schimbătoare de căldură,
- $\Delta T, T, \Delta T_0,$ și T_0 au semnificațiile anterioare și vizibile în figura 55.

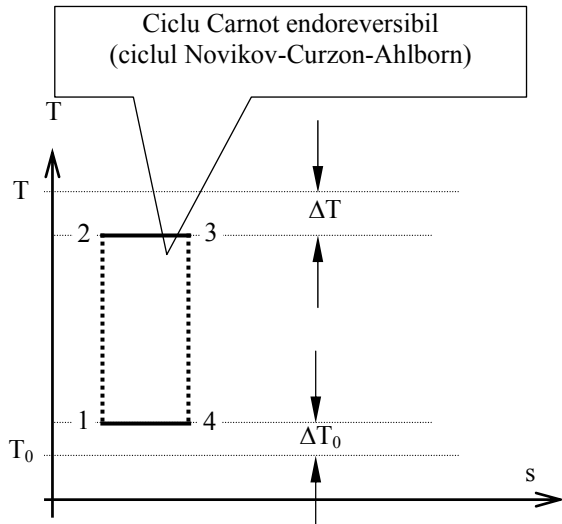


Fig. 59.
Varianta Novikov-Curzon-Ahlborn a ciclului Carnot motor endoreversibil
diagrama T – s

Conform PIT și PDT, interacțiunile energetice pe ciclul Novikov-Curzon-Ahlborn au relațiile de mai jos.

- ✓ Fluxul termic la sursa caldă

$$\dot{Q}^{PIT} = K\Delta T = \dot{m}^{PDT}(T - \Delta T)(s_3 - s_2)$$

- ✓ Fluxul termic la sursa rece

$$|\dot{Q}_0|^{PIT} = K_0\Delta T_0 = \dot{m}^{PDT}(T_0 + \Delta T_0)(s_4 - s_1)$$

✓ Puterea mecanică

$$P = \dot{Q} - \left| \dot{Q}_0 \right|_{PDT}^{PIT} \dot{Q} \left(1 - \frac{T_0 + \Delta T_0}{T - \Delta T} \right) = K T_0 \tau \theta \left(1 - \frac{1}{\tau (1 - \theta (\bar{K} + 1))} \right)$$

unde am utilizat condiția $s_3 - s_2 = s_4 - s_1 = \frac{K \Delta T}{m(T - \Delta T)} = \frac{K_0 \Delta T_0}{m(T_0 + \Delta T_0)} = \frac{K \theta}{m(1 - \theta)} = \frac{K_0 \theta_0}{m(1 + \theta_0)}$
 pentru a înlocui $\Delta T_0 = f'(\Delta T)$ respectiv $\theta_0 = f(\theta) = \frac{\bar{K} \theta}{1 - \theta(\bar{K} + 1)}$.

Pentru a obține un anumit grad de generalizare vom considera următoarele condiții restrictive oarecare:

- ✚ temperaturile T și T_0 impuse,
- ✚ coeficienții globali de schimb termic K și K_0 cu valori operaționale impuse prin tipul schimbătoarelor de căldură,

Astfel, rezultă că puterea este o funcție numai de variabila θ iar această dependență poate fi optimizată/maximizată matematic pentru că se verifică condițiile matematice de maxim:

$$\frac{\partial P}{\partial \theta} = 0 \text{ și } \frac{\partial^2 P}{\partial \theta^2} < 0$$

Ecuția $\frac{\partial P}{\partial \theta} = 0$ are două soluții din care valoarea optimă matematic și acceptabilă termodinamic pentru θ este doar:

$$\theta_{opt} = \frac{\tau - \sqrt{\tau}}{\tau(\bar{K} + 1)}$$

După înlocuirile de rigoare vom putea obține următoarele rezultate legate de “criteriul puterii maxime”:

- puterea “maximă”

$$P_{max} = \frac{K}{\bar{K} + 1} T_0 \tau \left(1 - \sqrt{\frac{1}{\tau}} \right)^2$$

- valoarea “optimă” pentru $\theta_{0,opt}$

$$\theta_{0,opt} = \frac{\bar{K}\theta_{opt}}{1-\theta_{opt}(\bar{K}+1)} = \frac{\bar{K}}{\bar{K}+1}(\tau - \sqrt{\tau})\sqrt{\frac{1}{\tau}}$$

- fluxurile termice “optime”

$$\dot{Q}_{opt} = KT\theta_{opt} = KT \frac{\tau - \sqrt{\tau}}{\tau(\bar{K}+1)}, \dot{Q}_{0,opt} = K_0T_0\theta_{0,opt} = K_0T_0 \frac{\bar{K}}{(\bar{K}+1)}(\tau - \sqrt{\tau})\sqrt{\frac{1}{\tau}}$$

- randamentul termic “optim”

$$\eta_{t,opt} = \frac{P_{max}}{\dot{Q}_{opt}} = 1 - \frac{1}{\tau(1-\theta_{opt}(\bar{K}+1))} = 1 - \sqrt{\frac{1}{\tau}}$$

Mai jos sunt incluse dependențele adimensionale caracteristice ciclului Novikov-Curzon-Ahlborn.

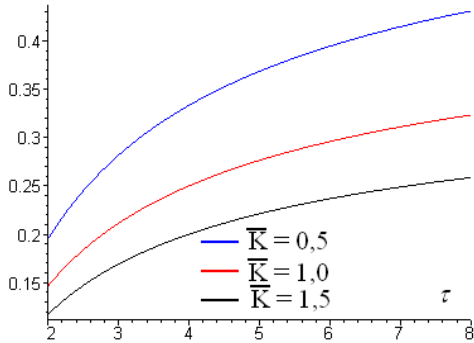


Fig. 60. $\theta_{opt} = f(\tau) = \frac{\dot{Q}_{opt}}{KT}$

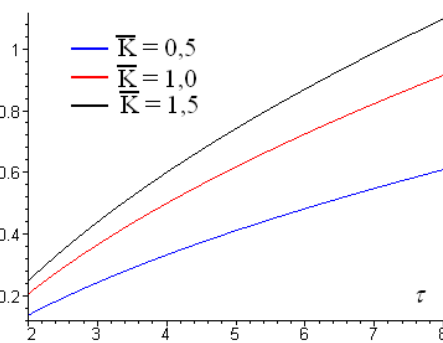


Fig. 61. $\theta_{0,opt} = f(\tau) = \frac{\dot{Q}_{0,opt}}{K_0T_0}$

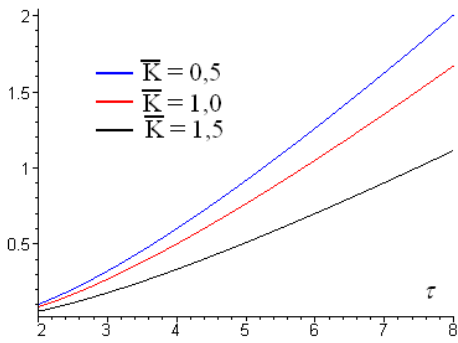


Fig. 62. $\frac{P_{max}}{K_0 T_0} = f(\tau)$

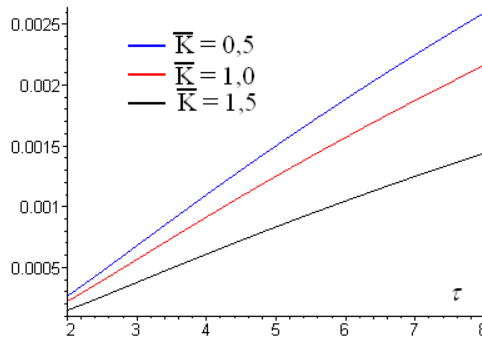
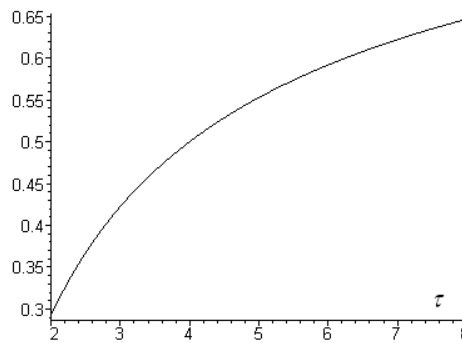


Fig. 63. $\frac{\dot{S}_{gen}}{K_0 T_0} = \frac{1}{K_0 T_0} \left(\frac{\dot{Q}_{0,opt}}{T_0} - \frac{\dot{Q}_{opt}}{T} \right)$

Fig. 64. $\eta_{t,opt} = 1 - \sqrt{\frac{1}{\tau}} = f(\tau)$



Varianta Novikov-Curzon-Ahlborn a ciclului motor endoreversibil Carnot nu poate fi dezvoltată și pentru alte cicluri ideale. Toate ciclurile ideale non-Carnot au un schimb de căldură intern care trebuie de asemenea realizat în timp finit, respectiv la diferență finită de temperatură.

Ca urmare orice ciclu cu regenerare internă a căldurii la diferență finită de temperatură devine vrând-nevrând și ireversibil intern, chiar dacă procesele constitutive ale ciclului sunt considerate reversibile.

Astfel rezultatele obținute prin studiul Novikov-Curzon-Ahlborn nu

pot fi extinse în totalitate la ciclurile operaționale reale.

Sa considerăm un ciclu motor pe care singura cauză de ireversibilitate este transferul termic extern și intern la diferență finită de temperatură, vezi figura 65.

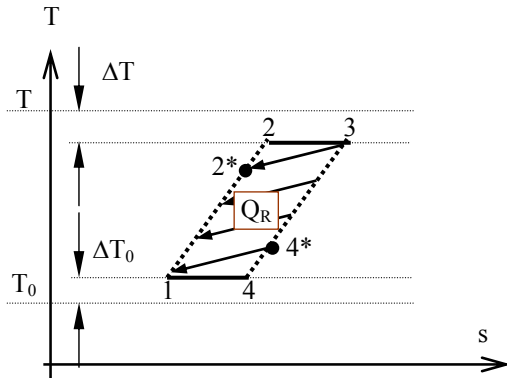


Fig. 65.
Varianta unui ciclu cu
regenerare internă a căldurii
diagrama T – s

Conform PIT și PDT, interacțiunile energetice pe ciclul din figura 61 au relațiile de mai jos.

- ✓ Fluxul termic la sursa caldă

$$\begin{aligned}\dot{Q} &= \dot{Q}_{2-3} + \dot{Q}_{2^*-2} = K\Delta T + K^* \frac{T - \Delta T - T_{2^*}}{\ln \frac{T - T_{2^*}}{\Delta T}} = \\ &= \dot{m}(T - \Delta T)(s_3 - s_2) + \dot{m}c(T - \Delta T - T_{2^*})\end{aligned}$$

- ✓ Fluxul termic la sursa rece

$$\begin{aligned}\dot{Q}_0 &= \dot{Q}_{4-1} + \dot{Q}_{4^*-4} = K_0\Delta T_0 + K_0^* \frac{T_{4^*} - T_0 - \Delta T_0}{\ln \frac{T_{4^*} - T_0}{\Delta T_0}} = \\ &= \dot{m}(T_0 + \Delta T_0)(s_4 - s_1) + \dot{m}c(T_{4^*} - T_0 - \Delta T_0)\end{aligned}$$

✓ Fluxul termic regenerat intern

$$\begin{aligned}\dot{Q}_R &= \dot{m}c(T - \Delta T - T_{4*}) = \dot{m}c(T_{2*} - T_0 - \Delta T_0) = \\ &= \dot{m}c(T - \Delta T - T_0 - \Delta T_0)\varepsilon_I\end{aligned}$$

unde $\varepsilon_I = \frac{NTU_I}{NTU_I + 1}$ eficiența termică a schimbătorului de căldură intern, iar

$\dot{Q}_{2*-2} = \dot{Q}_{4*-4} = \dot{m}c(T - \Delta T - T_0 - \Delta T_0)(1 - \varepsilon_I) = \dot{Q}_{pierdut}$ este fluxul termic ce trece direct de la sursa caldă la sursa rece fără a contribui cu ceva la producția de putere mecanică, cauza fiind regenerarea internă a căldurii la diferență finită de temperatură.

✓ Puterea mecanică

$$P = \dot{Q} - \dot{Q}_0 = \dot{Q}_{2-3} - \dot{Q}_{4-1} = KT_0\tau\theta\left(1 - \frac{1}{\tau(1 - \theta(\bar{K} + 1))}\right) = P|_{Curzon-Alhborn}$$

Am re-obținut puterea mecanică a variantei Novikov-Curzon-Ahlborn și în consecință aceleași valori $\theta_{opt} = \frac{\tau - \sqrt{\tau}}{\tau(K + 1)}$ și $\theta_{0,opt} = \frac{\bar{K}}{\bar{K} + 1}(\tau - \sqrt{\tau})\sqrt{\frac{1}{\tau}}$, dar randamentul termic este diferit, mai mic datorită pierderilor suplimentare $\dot{Q}_{2*-2} = \dot{Q}_{4*-4} = \dot{m}c(T - \Delta T - T_0 - \Delta T_0)(1 - \varepsilon_I) = \dot{Q}_{pierdut}$:

$$\begin{aligned}\eta_I &= \frac{P}{\dot{Q}} = \frac{P}{\dot{Q}_{2-3} + \dot{Q}_{pierdut}} = \frac{P/\dot{Q}_{2-3}}{1 + \dot{Q}_S/\dot{Q}_{2-3}} = \frac{\eta_{Curzon-Alhborn}}{1 + \dot{Q}_{pierdut}/\dot{Q}_{2-3}} = \\ &= \left(1 - \sqrt{\frac{1}{\tau}}\right) / \left[1 + \dot{m}c \frac{(1 - \varepsilon_I)(\bar{K}\sqrt{\tau} + 1)}{\bar{K}\sqrt{\tau}}\right]\end{aligned}$$

Caracterizarea puterii maxime printr-un randament termic tip Novikov-Curzon-Alhborn $\eta_{I,opt} = 1 - \sqrt{\frac{1}{\tau}}$ nu poate fi extrapolată de fapt la

majoritatea ciclurilor reale.

***Coefficientul de performanță energetică ireversibil
(coeficientul de performanță termodinamică).
Cuantificarea ireversibilității externe***

Studiul Novikov–Curzon–Ahlborn nu este o analiză efectivă a ireversibilității externe, realitatea tehnologică demonstrează permanent că este posibil să creștem puterea ciclurilor motoare chiar dacă nu respectăm condițiile de maximizare impuse prin studiul celor trei autori.

Ciclurile endoreversibile pe care le vom re-analiza din punctul de vedere al ireversibilității externe vor fi:

- ciclul Carnot endoreversibil, motor și frigorific,
- ciclul non-Carnot endoreversibil, motor și frigorific.

Cauza ireversibilității externe este diferența de temperatură finită cerută de procesele reale de schimb de căldură între agentul de lucru din ciclu și sursele termice externe. În prezent putem construi schimbătoare de căldură care permit micșorarea acestor diferențe de temperatură fără a afecta fluxul termic, respectiv puterea dintr-un ciclu real.

Performanța unui schimbător de căldură este tradițional caracterizată prin eficiența termică.

Vom prezenta modalitatea clasică de definire a eficienței termice numai prin intermediul PIT, după care vom re-construi relația de definire a eficienței termice ireversibile (entropice) prin corelarea PIT și PDT.

Eficiența termică clasică a schimbătoarelor de căldură de suprafață

Înainte de introducerea eficienței termice ireversibile pornind de la generarea de entropie (PDT), reamintim bazele definirii numai pe considerente energetice (PIT) a clasicei eficiențe termice a schimbătoarelor de căldură de suprafață.

Tradițional, eficiența termică a unui schimbător de căldură de suprafață, în care nu au loc transformări de fază, este definită prin raportul dintre fluxul termic real transferat într-un schimbător de căldură finit, cu o suprafață de schimb termic finită, între cei doi agenți termici și fluxul termic maxim posibil de transferat dacă suprafața de schimb termic ar tinde către infinit:

$$\epsilon_t = \frac{\dot{Q}_{real}}{(\dot{Q}_{max})_{A \rightarrow \infty}}$$

Procesele dintr-un schimbător de căldură de suprafață pot fi considerate ca transformări izobare pe ambele circuite de curgere ale celor doi agenți termici. În consecință conform PIT, fluxul termic real poate fi evaluat prin relațiile:

$$\begin{aligned} \dot{Q}_{real} &= -(\dot{m}_{ap}\Delta h_{ap})_{\text{agentul primar}} \text{ cedat de} = (\dot{m}_{as}\Delta h_{as})_{\text{agentul secundar}} \text{ primit de} = \\ &\quad \text{heat transfer} \\ &\quad \text{Newton's law} \\ &= \overbrace{(UA\Delta T_m)}^{\text{transferat}} \text{ între cei doi agenți} \end{aligned}$$

Astfel relația primară a eficienței termice capătă forma:

$$\epsilon_t = \frac{\dot{Q}_{real}}{(\dot{Q}_{max})_{A \rightarrow \infty}} = \frac{(\dot{m}_{ap}\Delta h_{ap})_{real}}{(\dot{m}_{ap}\Delta h_{ap})_{A \rightarrow \infty}} = \frac{(\dot{m}_{as}\Delta h_{as})_{real}}{(\dot{m}_{as}\Delta h_{as})_{A \rightarrow \infty}} = \frac{(UA\Delta T_m)_{real}}{(UA\Delta T_m)_{A \rightarrow \infty}}$$

Semnificațiile notațiilor utilizate mai sus:

- \dot{m}_{ap} și \dot{m}_{as} sunt debitele masice ale celor doi agenți termici, primar și secundar,
- Δh_{ap} și Δh_{as} sunt variațiile entalpiilor specifice ale celor doi agenți termici, primar și secundar,
- U este coeficientul global de schimb termic,

- A este suprafața de schimb termic,
- ΔT_m este diferența medie logaritmică de temperatură caracteristică transferului de căldură din schimbător.

Valoarea eficienței termice a unui schimbător de căldură de suprafață depinde în principal de tipul curgerilor prin schimbător și de numărul de unități de transfer:

$$NTU = \frac{UA}{(\dot{m}\bar{c}_p)_{min}} = \frac{UA}{\dot{C}_{min}}$$

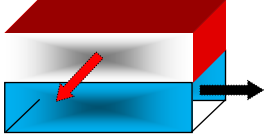
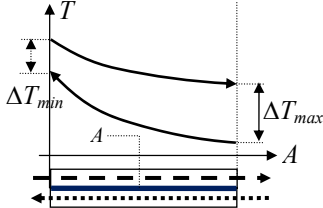
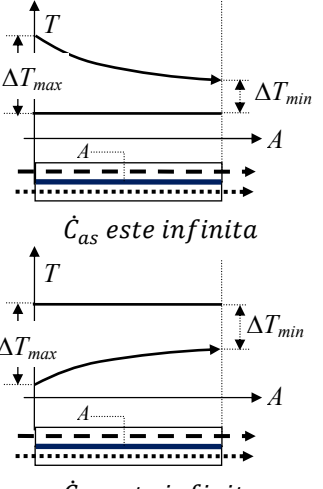
✚ $\dot{C}_{min} = (\dot{m}\bar{c}_p)_{min} = \min [(\dot{m}\bar{c}_p)_{ap}, (\dot{m}\bar{c}_p)_{as}]$ este capacitatea termică minimă a unuia din cei doi agenți termici, iar

✚ $\dot{C}_{max} = (\dot{m}\bar{c}_p)_{max} = \max [(\dot{m}\bar{c}_p)_{ap}, (\dot{m}\bar{c}_p)_{as}]$ este capacitatea termică maximă, a celuilalt agent termic.

În tabelul următor sunt exemplificate relațiile caracteristice eficienței termice pentru câteva cazuri tipice de curgere*.

Tipul curgerilor prin schimbător	Eficiența termică $C = \dot{C}_{min}/\dot{C}_{max}$	Diferența medie logaritmică de temperatură
<p><i>curgere echicurent</i></p>	$\epsilon_t = \frac{1 - \exp[-NTU(1+C)]}{1+C}$	$\Delta T_m = \frac{\Delta T_{max} - \Delta T_{min}}{\ln \frac{\Delta T_{max}}{\Delta T_{min}}}$

* W.M. Kays and A.L. London, *Compact Heat Exchangers*, 3rd ed., New York: McGraw-Hill, 1984

Tipul curgerilor prin schimbător	Eficiența termică $C = \dot{C}_{min} / \dot{C}_{max}$	Diferența medie logaritmică de temperatură
<p><i>curgere încrucișată nedivizată și cu o singură trecere pe ambele circuite de curgere</i></p> 	$= 1 - e^{-\frac{NTU^{0,22}}{C} \left[e^{(-C \cdot NTU^{0,78})} - 1 \right]}$	$\Delta T_m =$ $= f(\Delta T_m)_{contracurent}$ <p><i>f</i> este un factor de corecție funcție de temperaturile intrare – ieșire ale celor doi agenți termici.</p>
<p><i>curgere contracurent</i></p> 	$= \frac{1 - \exp[-NTU(1 + C)]}{1 - C \cdot \exp[-NTU(1 + C)]}$	$\Delta T_m = \frac{\Delta T_{max} - \Delta T_{min}}{\ln \frac{\Delta T_{max}}{\Delta T_{min}}}$
<p><i>toate schimbătoarele de căldură cu C = 0</i></p>  <p><i>\dot{C}_{as} este infinita</i></p> <p><i>\dot{C}_{ap} este infinita</i></p>	$\epsilon_t = 1 - \exp(-NTU)$	$\Delta T_m = \frac{\Delta T_{max} - \Delta T_{min}}{\ln \frac{\Delta T_{max}}{\Delta T_{min}}}$

Coefficientul de performanță energetică ireversibilă al ciclului Carnot motor endoreversibil

Eficiența termică ireversibilă (eficiența entropică) a schimbătoarelor de căldură în care se realizează contactul termic cu sursele externe. Numărul de unități de transfer “entropic”

Vom reveni din nou ciclul endoreversibil Carnot (Novikov–Curzon–Ahlborn) care are două schimbătoare de căldură de suprafață ce cupleză termic agentul de lucru cu sursele externe de căldură, vezi figura 66.

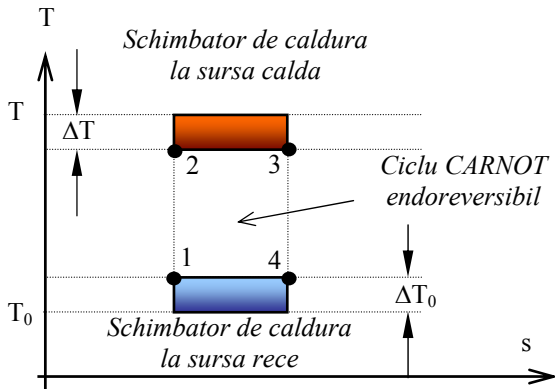


Fig. 66.

Schema relațiilor termice, prin schimbătoare de căldură, pentru un ciclu Carnot endoreversibil

Pentru a obține eficiența termică ireversibilă a celor două schimbătoare de căldură de suprafață prin care se realizează relațiile termice ale agentului de lucru cu sursele externe de căldură, vom introduce în primul rând conceptul de număr de unități de transfer “entropic”, NTUS, definit prin relațiile:

- la sursa caldă

$$NTUS = \frac{UA}{\dot{m}\Delta s_{q_{2-3}}} = \frac{UA}{\dot{m}\Delta s_q} = \frac{UA}{\dot{m}(s_3 - s_2)_{rev}}$$

- la sursa rece

$$NTUS_0 = \frac{U_0 A_0}{\dot{m}|\Delta s_{q_{4-1}}|} = \frac{U_0 A_0}{\dot{m}|\Delta s_{q_0}|} = \frac{U_0 A_0}{\dot{m}(s_4 - s_1)_{rev}}$$

Relația pentru $NTUS$ este analogă clasicului NTU . Diferența principală constă în faptul că în locul capacității termice minime, aferentă PIT și folosită la definirea lui $NTU = \frac{UA}{(\dot{m}\bar{c}_p)_{min}} = \frac{UA}{\dot{c}_{min}}$, am ales “capacitatea entropică” a agentului de lucru în relația termică cu sursa externă: $(\dot{m}\Delta s_q)_{la\ sursa\ caldă}$ și $(\dot{m}|\Delta s_{q_0}|)_{la\ sursa\ rece}$, respectiv $NTUS$ și $NTUS_0$.

În acest fel am legat variațiile de entropie reversibile ale agentului lucru de procesele de schimb de căldură cu sursele externe, care la rândul lor caracterizează de fapt relațiile termice reale cu sursele externe.

*Eficiența termică ireversibilă (“entropică”) a schimbătorului de căldură de la sursa caldă**

Ecuția de conservare a energiei este descrisă prin egalitățile:

$$\dot{Q} \stackrel{\substack{\text{legea} \\ \text{Newton}}}{=} UA\Delta T \stackrel{PIT}{=} \dot{m}(T - \Delta T)\Delta s_q$$

Prin intermediul numărului $NTUS$ vom obține relația fluxului termic schimbat de agentul de lucru cu sursa caldă, în care se reunesc cele două principii, PIT și PDT :

$$\dot{Q} = \dot{m}(T - \Delta T)\Delta s_q = \dot{m}T\Delta s_q \frac{NTUS}{NTUS + 1}$$

în care am înlocuit $\Delta T = T \frac{1}{NTUS + 1}$ și $T - \Delta T = T \frac{NTUS}{NTUS + 1}$

Eficiența termică ireversibilă (eficiența entropică) o vom defini, prin similaritate cu eficiența termică clasică, ca un raport între fluxul termic real primit de la sursa caldă și fluxul termic maxim posibil de primit dacă $A \rightarrow \infty$

* pentru ciclurile endoreversibile, variațiile entropiei specifice sunt identice pentru ambele relații termice cu sursele externe, rece și caldă, $|\Delta s_{q,0}| = \Delta s_q$

respectiv $NTUS \rightarrow \infty$:

$$\varepsilon_{irev} = \frac{\dot{Q}}{(\dot{Q})_{NTUS \rightarrow \infty}} = \dot{m}T\Delta s_q \frac{NTUS}{NTUS+1} \left(\frac{1}{\dot{m}T\Delta s_q} \frac{NTUS+1}{NTUS} \right)_{NTUS \rightarrow \infty}$$

respectiv vom putea obține

$$\boxed{\varepsilon_{irev} = \frac{NTUS}{NTUS+1} < 1}$$

OBS.: În procesele cu schimb de căldură, variațiile de entropie sunt finite și nu depind de suprafața de schimb termic. Ca urmare, am adoptat condiția simplificatoare a unor variații identice de entropie specifică pentru ambele fluxuri termice \dot{Q} și $(\dot{Q})_{NTUS \rightarrow \infty}$. Am menținut influența suprafeței de schimb termic doar pentru diferența de temperatură agent de lucru – sursa caldă, ΔT .

În acest fel, putem relaționa fluxul termic real cu fluxul termic maxim posibil, prin intermediul eficienței termice ireversibile:

$$\boxed{\dot{Q} = \varepsilon_{irev} \dot{Q}_{NTUS \rightarrow \infty} = \varepsilon_{irev} \dot{Q}_{max} = \varepsilon_{irev} \dot{m}T\Delta s_q}$$

- Fluxul termic maxim $\dot{Q}_{max} = \dot{m}T\Delta s_q$ este fluxul termic ce ar putea fi primit de la sursa caldă pentru cazul unui transfer de căldură reversibil, la diferență elementară de temperatură, dT .
- $\varepsilon_{irev} < 1$ pentru un transfer de căldură real cauzat de diferența finită de temperatură $\Delta T \neq 0$, ex. $\dot{Q} < \dot{Q}_{max}$.

Eficiența termică ireversibilă (eficiența “entropică”) a schimbătorului de căldură de la sursa rece

Similar cu drumul parcurs pentru determinarea eficienței termice ireversibile la sursa caldă, vom putea defini eficiența termică ireversibilă și la sursa rece.

Ecuția de conservare a energiei, *PIT*:

$$\left| \dot{Q}_0 \right| \stackrel{\substack{\text{heat transfer} \\ \text{Newton's law}}}{=} U_0 A_0 \Delta T_0 = \dot{m} (T_0 + \Delta T_0) \left| \Delta s_{q_0} \right|$$

Prin intermediul numărului $NTUS_0$ vom avea fluxul termic schimbat de agentul de lucru cu sursa rece, în care se reunesc *PIT* și *PDT*:

$$\left| \dot{Q}_0 \right| = \dot{m} (T_0 - \Delta T_0) \left| \Delta s_{q_0} \right| = \dot{m} T_0 \left| \Delta s_{q_0} \right| \frac{NTUS_0}{NTUS_0 - 1}$$

în care am înlocuit

$$\Delta T_0 = T_0 \frac{1}{NTUS_0 - 1} \text{ și } T_0 - \Delta T_0 = T_0 \frac{NTUS_0}{NTUS_0 - 1}$$

Eficiența termică ireversibilă (eficiența entropică) o vom defini în aceeași manieră, ca un raport între fluxul termic real cedat sursei reci și fluxul termic minim posibil de cedat dacă $A_0 \rightarrow \infty$ respectiv $NTUS_0 \rightarrow \infty$:

$$\varepsilon_{0,irev} = \frac{\left| \dot{Q}_0 \right|}{\left(\dot{Q}_0 \right)_{NTUS_0 \rightarrow \infty}} = \dot{m} T_0 \left| \Delta s_{q_0} \right| \frac{NTUS_0}{NTUS_0 - 1} \left(\frac{1}{\dot{m} T_0 \left| \Delta s_{q_0} \right|} \frac{NTUS_0 - 1}{NTUS_0} \right)_{NTUS_0 \rightarrow \infty}$$

respectiv vom putea obține

$$\varepsilon_{0,irev} = \frac{NTUS_0}{NTUS_0 - 1} > 1$$

Aceeași observație: În procesele cu schimb de căldură, variațiile de entropie sunt finite și nu depind de suprafața de schimb termic. Ca urmare, am adoptat condiția simplificatoare a unor variații identice de entropie specifică pentru ambele fluxuri termice \dot{Q}_0 și $(\dot{Q}_0)_{NTUS \rightarrow \infty}$. Am menținut influența suprafeței de schimb termic doar pentru diferența de temperatură agent de lucru – sursa caldă, ΔT_0 .

Putem relaționa acum fluxul termic real cu fluxul termic minim

posibil, prin intermediul eficienței termice ireversibile:

$$\left| \dot{Q}_0 \right| = \varepsilon_{0,irev} \left(\dot{Q}_0 \right)_{NTUS_0 \rightarrow \infty} = \varepsilon_{0,irev} \left| \dot{Q}_{min} \right| = \varepsilon_{0,irev} \dot{m} T_0 \left| \Delta s_{q_0} \right|$$

- Fluxul termic minim posibil $\left| \dot{Q}_{min} \right| = \dot{m} T_0 \left| \Delta s_{q_0} \right|$ este fluxul termic ce ar putea fi cedat sursei reci pentru cazul unui transfer de căldură reversibil, la diferență elementară de temperatură, dT_0 .
- $\varepsilon_{0,irev} > 1$ pentru un transfer de căldură real cauzat de diferența finită de temperatură $\Delta T_0 \neq 0$, ex. $\left| \dot{Q}_0 \right| > \left| \dot{Q}_{min} \right|$.

Figura 67 arată grafic care este drumul spre reversibilitate în relațiile termice cu sursele externe.

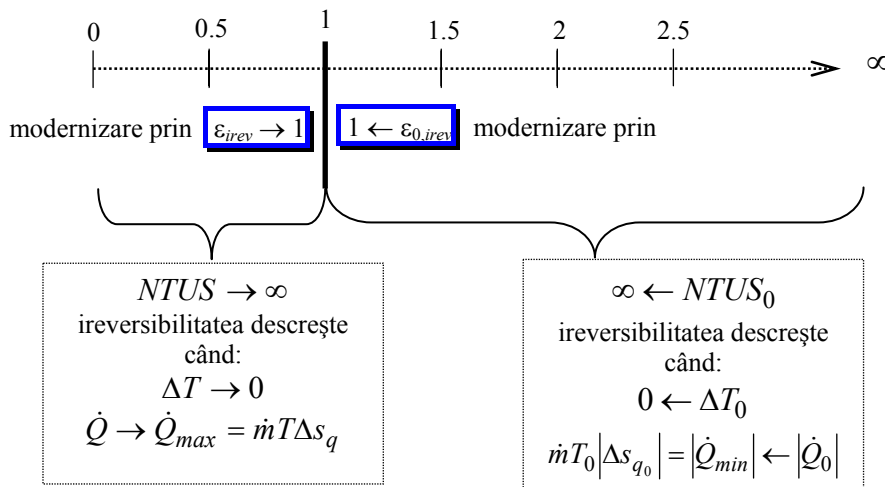


Fig. 67. Corelația $NTUS$ (ε_{irev}), $NTUS_0$ ($\varepsilon_{0,irev}$) – ireversibilitatea externă, pentru un ciclu Carnot endoreversibil motor

Modalitățile de definire a eficiențelor termice ireversibile ale schimbătoarelor de căldură situate la cele două surse externe, pot fi extinse și la ciclurile reale, non-Carnot. La ciclurile reale trebuie doar corelate

temperaturile termodinamice medii ale proceselor neadiabatic în contact direct cu sursele externe cu diferențele medii logaritmice de temperatură caracteristice transferului de căldură din schimbătoare de căldură.

Coefficientul de performanță energetică ireversibilă

Prin exploatarea rezultatelor anterioare vom avea:

- ✓ puterea produsă

$$P = \dot{Q} - |\dot{Q}_0| = \dot{Q} \left(1 - \frac{|\dot{Q}_0|}{\dot{Q}} \right) = \dot{Q}_{max} \varepsilon_{irev} \left(1 - \frac{|\dot{Q}_{min}|}{\dot{Q}_{max}} \frac{\varepsilon_{0,irev}}{\varepsilon_{irev}} \right) =$$

$$= \dot{m} T \Delta s_q \varepsilon_{irev} \left(1 - \frac{T_0}{T} \frac{\varepsilon_{0,irev}}{\varepsilon_{irev}} \right) = \dot{m} T \Delta s_q \varepsilon_{irev} \left(1 - \frac{1}{\tau} \frac{\varepsilon_{0,irev}}{\varepsilon_{irev}} \right)$$

- ✓ randamentul termic ireversibil (termodinamic)

$$\eta_{t,irev} = 1 - \frac{T_0}{T} \frac{\varepsilon_{0,irev}}{\varepsilon_{irev}} = 1 - \frac{1}{\tau} \frac{\varepsilon_{0,irev}}{\varepsilon_{irev}} = 1 - \frac{1}{\tau} N_{irev}^{extern}$$

- ✓ numărul ireversibilității externe

$$N_{irev}^{extern} = \frac{\varepsilon_{0,irev}}{\varepsilon_{irev}} > 1$$

- ✓ randamentul exergetic

$$\eta_{ex} = \frac{1 - \frac{1}{\tau} N_{irev}^{extern}}{1 - 1/\tau}$$

În figurile 68 și 69 este inclusă dependența $\frac{P}{\dot{m} T \Delta s_q} = \varepsilon_{irev} \left(1 - \frac{1}{\tau} \frac{\varepsilon_{0,irev}}{\varepsilon_{irev}} \right)$ pentru a putea face o comparație cu varianta Novikov–Curzon–Ahlborn.

Principala concluzie, puterea nu poate fi maximizată.

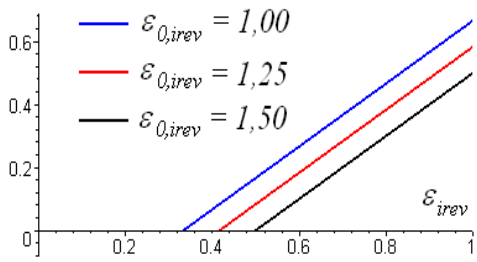


Fig. 68. $\tau = 3$

$$\frac{P}{\dot{m}T\Delta S_q} = \varepsilon_{irev} \left(1 - \frac{1}{\tau} \frac{\varepsilon_{0,irev}}{\varepsilon_{irev}} \right)$$

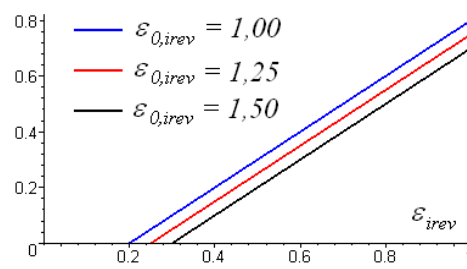


Fig. 69. $\tau = 5$

$$\frac{P}{\dot{m}T\Delta S_q} = \varepsilon_{irev} \left(1 - \frac{1}{\tau} \frac{\varepsilon_{0,irev}}{\varepsilon_{irev}} \right)$$

Următoarele figuri, 70 și 71, ilustrează dependența $\eta_{t,irev} - \varepsilon_{irev} - \varepsilon_{0,irev} - \tau$.

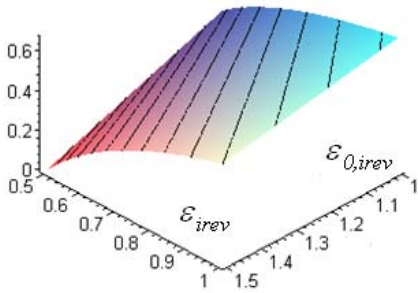


Fig. 70. $\tau = 3$

$$\eta_{t,irev} = 1 - \frac{1}{\tau} \frac{\varepsilon_{0,irev}}{\varepsilon_{irev}} = 1 - \frac{1}{\tau} N_{irev}^{extern}$$

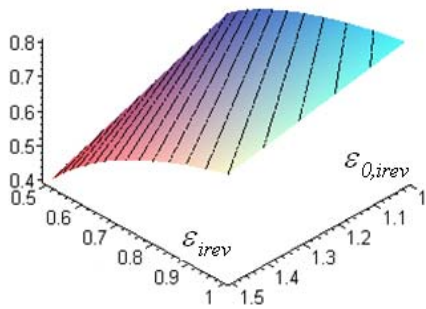


Fig. 71. $\tau = 5$

$$\eta_{t,irev} = 1 - \frac{1}{\tau} \frac{\varepsilon_{0,irev}}{\varepsilon_{irev}} = 1 - \frac{1}{\tau} N_{irev}^{extern}$$

Coefficientul de performanță energetică ireversibilă al ciclului Carnot frigorific endoreversibil

Eficiența termică ireversibilă (eficiența entropică) a schimbătoarelor de căldură în care se realizează contactul termic cu sursele externe.

Numărul de unități de transfer “entropic”

Vom considera acum ciclul frigorific endoreversibil Carnot care are două schimbătoare de căldură de suprafață ce cuplează termic agentul de lucru cu sursele externe de căldură, vezi figura 72.

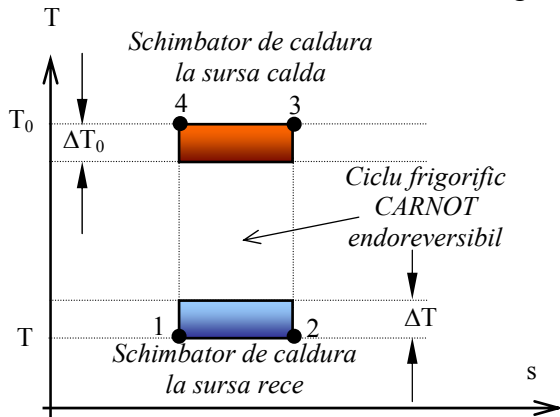


Fig. 72.

Schema relațiilor termice, prin schimbătoare de căldură, pentru un ciclu frigorific Carnot endoreversibil

În acest caz, numărul de unități de transfer “entropic”, NTUS, este redefinit prin relațiile:

- la sursa caldă, mediul ambiant

$$NTUS_0 = \frac{U_0 A_0}{\dot{m} |\Delta s_{q_{3-4}}|} = \frac{U_0 A_0}{\dot{m} |\Delta s_{q_0}|} = \frac{U_0 A_0}{\dot{m} (s_4 - s_3)_{rev}}$$

- la sursa rece, incinta frigorifică

$$NTUS = \frac{UA}{\dot{m} \Delta s_{q_{1-2}}} = \frac{UA}{\dot{m} \Delta s_q} = \frac{UA}{\dot{m} (s_2 - s_1)_{rev}}$$

În acest fel am legat iar, variațiile de entropie reversibile ale agentului

lucru de procesele de schimb de căldură cu sursele externe, care la rândul lor caracterizează de fapt relațiile termice reale cu sursele externe.

*Eficiența termică ireversibilă (eficiența “entropică”) a schimbătorului de căldură de la sursa caldă – mediul ambiant**

Ecuția de conservare a energiei este descrisă prin egalitățile:

$$\left| \dot{Q}_0 \right| \stackrel{\text{legea Newton}}{=} U_0 A_0 \Delta T_0 \stackrel{\text{PIT}}{=} \dot{m} (T_0 + \Delta T_0) \left| \Delta s_{q_0} \right|$$

Prin intermediul numărului $NTUS_0$ vom obține relația fluxului termic schimbat de agentul de lucru cu sursa caldă, în care se reunesc cele două principii, *PIT* și *PDT*:

$$\left| \dot{Q}_0 \right| = \dot{m} (T_0 + \Delta T_0) \left| \Delta s_{q_0} \right| = \dot{m} T_0 \left| \Delta s_{q_0} \right| \frac{NTUS_0}{NTUS_0 - 1}$$

în care am înlocuit

$$\Delta T_0 = T_0 \frac{1}{NTUS_0 - 1} \text{ și } T_0 + \Delta T_0 = T_0 \frac{NTUS_0}{NTUS_0 - 1}$$

Eficiența termică ireversibilă (eficiența entropică) o vom re-defini iar, ca un raport între fluxul termic real cedat sursei calde și fluxul termic minim posibil de cedat dacă $A \rightarrow \infty$ respectiv $NTUS_0 \rightarrow \infty$:

$$\varepsilon_{0,irev} = \frac{\left| \dot{Q}_0 \right|}{\left(\dot{Q}_0 \right)_{NTUS_0 \rightarrow \infty}} = \dot{m} T_0 \left| \Delta s_{q_0} \right| \frac{NTUS_0}{NTUS_0 - 1} \left(\frac{1}{\dot{m} T_0 \left| \Delta s_{q_0} \right|} \frac{NTUS_0 - 1}{NTUS_0} \right)_{NTUS_0 \rightarrow \infty}$$

respectiv vom putea obține

$$\boxed{\varepsilon_{0,irev} = \frac{NTUS_0}{NTUS_0 - 1} > 1}$$

* pentru cicluri endoreversibile, $\left| \Delta s_{q,0} \right| = \Delta s_q$

În acest fel, putem relaționa fluxul termic real cu fluxul termic maxim posibil, prin intermediul eficienței termice ireversibile:

$$\left| \dot{Q}_0 \right| = \varepsilon_{0,irev} \left| \dot{Q} \right|_{NTUS_0 \rightarrow \infty} = \varepsilon_{0,irev} \left| \dot{Q}_{min} \right| = \varepsilon_{0,irev} \dot{m} T_0 \left| \Delta s_{q_0} \right|$$

- Fluxul termic minim $\left| \dot{Q}_{min} \right| = \dot{m} T_0 \left| \Delta s_{q_0} \right|$ este fluxul termic ce ar putea fi cedat sursei calde pentru cazul unui transfer de căldură reversibil, la diferență elementară de temperatură, dT_0 .
- $\varepsilon_{0,irev} > 1$ pentru un transfer de căldură real cauzat de diferența finită de temperatură $\Delta T_0 \neq 0$, ex. $\left| \dot{Q}_0 \right| > \left| \dot{Q}_{min} \right|$.

Eficiența termică ireversibilă (eficiența “entropică”) a schimbătorului de căldură de la sursa rece – incinta frigorifică

Ecuția de conservare a energiei, *PIT*:

$$\overset{\substack{\text{legea} \\ \text{Newton}}}{\dot{Q}} = UA\Delta T = \dot{m}(T - \Delta T)\Delta s_q$$

Prin intermediul numărului *NTUS* vom avea fluxul termic schimbat de agentul de lucru cu sursa rece, în care se reunesc *PIT* și *PDT*:

$$\dot{Q} = \dot{m}(T - \Delta T)\Delta s_q = \dot{m}T\Delta s_q \frac{NTUS}{NTUS + 1}$$

în care am înlocuit

$$\Delta T = T \frac{1}{NTUS + 1} \text{ și } T - \Delta T = T \frac{NTUS}{NTUS + 1}$$

Eficiența termică ireversibilă (eficiența entropică) o vom defini în aceeași manieră, ca un raport între fluxul termic real primit de la sursa rece și fluxul termic maxim posibil de primit dacă $A \rightarrow \infty$ respectiv $NTUS \rightarrow \infty$:

$$\varepsilon_{irev} = \frac{\dot{Q}}{(\dot{Q})_{NTUS \rightarrow \infty}} = \dot{m}T\Delta s_q \frac{NTUS}{NTUS+1} \left(\frac{1}{\dot{m}T\Delta s_q} \frac{NTUS+1}{NTUS} \right)_{NTUS \rightarrow \infty}$$

respectiv vom putea obține

$$\varepsilon_{irev} = \frac{NTUS}{NTUS+1} < 1$$

Putem relaționa acum fluxul termic real cu fluxul termic minim posibil, prin intermediul eficienței termice ireversibile:

$$\dot{Q} = \varepsilon_{irev} (\dot{Q})_{NTUS \rightarrow \infty} = \varepsilon_{irev} \dot{Q}_{max} = \varepsilon_{irev} \dot{m}T\Delta s_q$$

- Fluxul termic maxim posibil $\dot{Q}_{max} = \dot{m}T\Delta s_q$ este fluxul termic ce ar putea fi primit de la sursa rece pentru cazul unui transfer de căldură reversibil, la diferență elementară de temperatură, dT .
- $\varepsilon_{irev} < 1$ pentru un transfer de căldură real cauzat de diferența finită de temperatură $\Delta T_0 \neq 0$, ex. $\dot{Q} < \dot{Q}_{max}$.

Deci drumul spre reversibilitate este descris prin următoarele direcții:

$$(\varepsilon_{irev} < 1) \rightarrow 1 \text{ și } 1 \leftarrow (\varepsilon_{0,irev} > 1)$$

Coefficientul de performanță energetică ireversibilă

Prin exploatarea rezultatelor anterioare vom avea:

✓ puterea consumată

$$\begin{aligned} |P| &= \dot{Q}_0 - \dot{Q} = \dot{Q} \left(\frac{\dot{Q}_0}{\dot{Q}} - 1 \right) = \dot{Q}_{max} \varepsilon_{irev} \left(\frac{\dot{Q}_{min}}{\dot{Q}_{max}} \frac{\varepsilon_{0,irev}}{\varepsilon_{irev}} - 1 \right) = \\ &= \dot{m}T\Delta s_q \varepsilon_{irev} \left(\frac{T_0}{T} \frac{\varepsilon_{0,irev}}{\varepsilon_{irev}} - 1 \right) = \dot{m}T\Delta s_q \varepsilon_{irev} \left(\tau \frac{\varepsilon_{0,irev}}{\varepsilon_{irev}} - 1 \right) = \end{aligned}$$

$$= \dot{m}T\Delta s_q \varepsilon_{irev} \frac{T}{T_0 \frac{\varepsilon_{0,irev}}{\varepsilon_{irev}} - 1}$$

✓ eficiența frigorifică ireversibilă (termodinamică)

$$\varepsilon_{f,irev} = \frac{1}{\frac{T_0}{T} \frac{\varepsilon_{0,irev}}{\varepsilon_{irev}} - 1} = \frac{1}{\tau \frac{\varepsilon_{0,irev}}{\varepsilon_{irev}} - 1} = \frac{T}{T_0 N_{irev}^{extern} - 1}$$

✓ numărul ireversibilității externe

$$N_{irev}^{extern} = \frac{\varepsilon_{0,irev}}{\varepsilon_{irev}} > 1$$

✓ randamentul exergetic

$$\eta_{ex} = \frac{\tau N_{irev}^{extern} - 1}{\tau - 1} = \frac{T_0 N_{irev}^{extern} - 1}{T/(T_0 - 1)}$$

În figurile 73 și 74 este inclusă dependența adimensională $\frac{|P|}{\dot{m}T\Delta s_q} = \varepsilon_{irev} \left(\tau \frac{\varepsilon_{0,irev}}{\varepsilon_{irev}} - 1 \right)$. Următoarele figuri, 75 și 76, ilustrează dependența $\varepsilon_{f,irev} - \varepsilon_{0,irev} - \tau$.

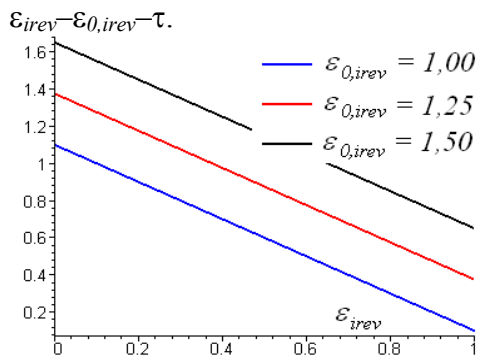


Fig. 74. $\tau = 1,1$
 $\frac{|P|}{\dot{m}T\Delta s_q} = \varepsilon_{irev} \left(\tau \frac{\varepsilon_{0,irev}}{\varepsilon_{irev}} - 1 \right)$

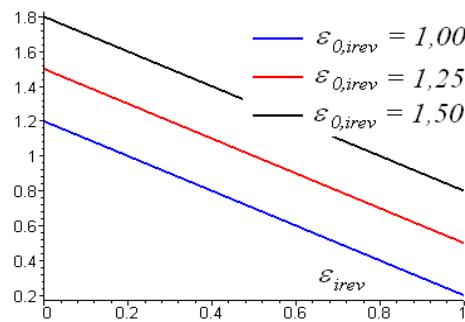


Fig. 75. $\tau = 1,2$
 $\frac{|P|}{\dot{m}T\Delta s_q} = \varepsilon_{irev} \left(\tau \frac{\varepsilon_{0,irev}}{\varepsilon_{irev}} - 1 \right)$

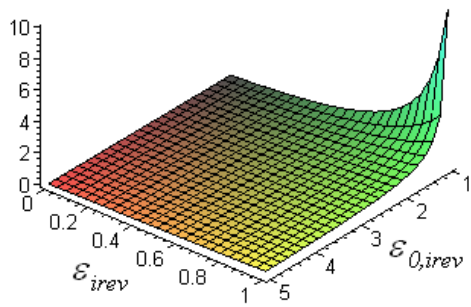


Fig. 76. $\tau = 1,1$

$$\varepsilon_{f,irev} = \frac{1}{\tau \frac{\varepsilon_{0,irev}}{\varepsilon_{irev}} - 1} = \frac{T}{T_0 N_{irev}^{extern} - 1}$$

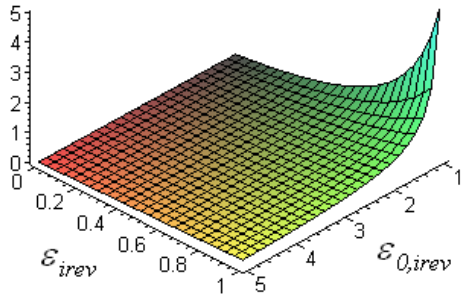


Fig. 77. $\tau = 1,2$

$$\varepsilon_{f,irev} = \frac{1}{\tau \frac{\varepsilon_{0,irev}}{\varepsilon_{irev}} - 1} = \frac{T}{T_0 N_{irev}^{extern} - 1}$$

Coefficientul de performanță energetică ireversibilă pentru cicluri non-Carnot endoreversibile

Eficiența termică ireversibilă a schimbătoarelor de căldură în care se realizează contactul termic cu sursele externe se va determina printr-o schemă logică identică ciclurilor Carnot endoreversibile, plecând de la numărul de unități de transfer “entropic” ale schimbătorului de căldură.

Numărul de unități de transfer entropic are aceleași relații de definiție, vezi figurile 78 (ciclu motor endoreversibil) și 79 (ciclu frigorific endoreversibil).

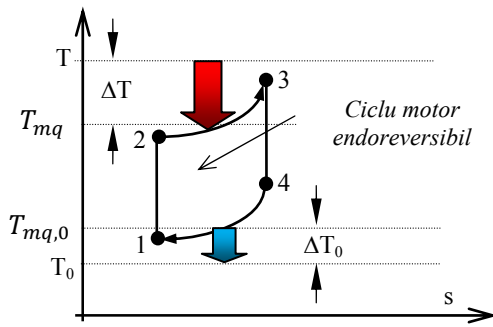


Fig. 78. Schema unui ciclu motor non-Carnot endoreversibil

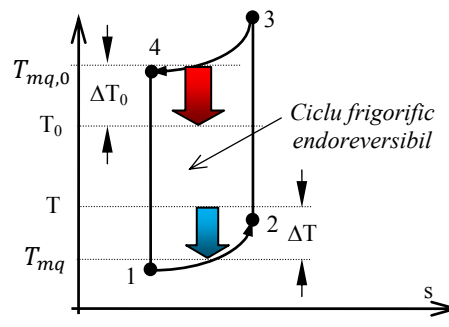


Fig. 79. Schema unui ciclu frigorific non-Carnot endoreversibil

*Numărul de unități de transfer entropic**

- ✓ sursa caldă, $T > T_0$

$$NTUS = \frac{UA}{\dot{m}(s_3 - s_2)} = \frac{UA}{\dot{m}\Delta s_q}$$

- ✓ sursa rece, T_0

$$NTUS_0 = \frac{U_0 A_0}{\dot{m}(s_4 - s_1)} = \frac{U_0 A_0}{\dot{m}|\Delta s_{q,0}|}$$

- ✓ sursa caldă, $T_0 > T$

$$NTUS_0 = \frac{U_0 A_0}{\dot{m}(s_3 - s_4)} = \frac{U_0 A_0}{\dot{m}|\Delta s_{q,0}|}$$

- ✓ sursa rece, T

$$NTUS = \frac{UA}{\dot{m}(s_2 - s_1)} = \frac{UA}{\dot{m}\Delta s_q}$$

Eficiența termică ireversibilă (entropică) a schimbătoarelor de căldură situate la cele două surse termice externe va fi obținută prin același algoritm folosit la ciclurile Carnot endoreversibile. Etapele acestui algoritm sunt prezentate în paralel și sunt incluse în tabelul de mai jos.

* pentru cicluri endoreversibile, $|\Delta s_{q,0}| = \Delta s_q$

Eficiența termică ireversibilă (“entropică”) a schimbătorului de căldură de la sursa caldă

motor
sursa caldă, $T > T_0$

- PIT + PDT + NTUS

$$\dot{Q} = UA\Delta T_m = UAC_{\Delta T}(T - T_{mq}) = \dot{m}T_{mq}\Delta s_q = \dot{m}T\Delta s_q \frac{C_{\Delta T}NTUS}{C_{\Delta T}NTUS+1}$$

unde

- U și A sunt coeficientul global de transfer termic și suprafața de schimb termic din schimbătorul de căldură situat la sursa caldă,
- ΔT_m este diferența medie logaritmică de temperatură sursa caldă – agent de lucru caracteristică procesului de transmitere a căldurii,
- T_{mq} este temperatura termodinamică medie a agentului de lucru în procesul neadiabatic 2–3
- $C_{\Delta T} = \frac{\Delta T_m}{T - T_{mq}}$ este un coeficient de corecție ce ține cont de faptul că ΔT_m nu este identică ca valoare cu diferența $\Delta T = (T - T_{mq})$, ($C_{\Delta T} \rightarrow 1$) $_{NTUS \rightarrow 0}$

ciclu frigorific
sursa caldă, $T_0 > T$

- PIT + PDT + NTUS₀

$$\dot{Q}_0 = U_0A_0\Delta T_{m,0} = U_0A_0C_{\Delta T,0}(T_{mq,0} - T_0) = \dot{m}T_{mq,0}|\Delta s_{q,0}| = \dot{m}T_0|\Delta s_{q,0}| \frac{C_{\Delta T,0}NTUS_0}{C_{\Delta T,0}NTUS_0-1}$$

unde

- U_0 și A_0 sunt coeficientul global de transfer termic și suprafața de schimb termic din schimbătorul de căldură situat la sursa caldă,
- $\Delta T_{m,0}$ este diferența medie logaritmică de temperatură agent de lucru – sursa caldă caracteristică procesului de transmitere a căldurii,
- $T_{mq,0}$ este temperatura termodinamică medie a agentului de lucru în procesul neadiabatic 3 – 4,
- $C_{\Delta T,0} = \frac{\Delta T_{m,0}}{T_{mq,0} - T_0}$ este un coeficient de corecție ce ține cont de faptul că $\Delta T_{m,0}$ nu este identică ca valoare cu diferența $\Delta T_0 = (T_{mq,0} - T_0)$, ($C_{\Delta T,0} \rightarrow 1$) $_{NTUS_0 \rightarrow 0}$

Relațiile eficienței termice ireversibile (“entropice”) la sursa caldă

$$\varepsilon_{irev} = \frac{\dot{Q}}{(\dot{Q})_{NTUS \rightarrow \infty}} = \frac{\dot{m}T\Delta s_q \frac{C_{\Delta T}NTUS}{C_{\Delta T}NTUS+1}}{\left(\dot{m}T\Delta s_q \frac{C_{\Delta T}NTUS}{C_{\Delta T}NTUS+1}\right)_{NTUS \rightarrow \infty}^{C_{\Delta T} \rightarrow 1}} = \frac{C_{\Delta T}NTUS}{C_{\Delta T}NTUS+1} < 1$$

$$\varepsilon_{0,irev} = \frac{\dot{Q}_0}{(\dot{Q}_0)_{NTUS_0 \rightarrow \infty}} = \frac{\dot{m}T_0|\Delta s_{q,0}| \frac{C_{\Delta T,0}NTUS_0}{C_{\Delta T,0}NTUS_0-1}}{\left(\dot{m}T_0|\Delta s_{q,0}| \frac{C_{\Delta T,0}NTUS_0}{C_{\Delta T,0}NTUS_0-1}\right)_{NTUS_0 \rightarrow \infty}^{C_{\Delta T,0} \rightarrow 1}} = \frac{C_{\Delta T,0}NTUS_0}{C_{\Delta T,0}NTUS_0-1} > 1$$

- | | |
|---|---|
| $\Rightarrow \dot{Q} = \dot{m}T\Delta s_q \varepsilon_{irev} = \varepsilon_{irev} \dot{Q}_{max} < \dot{Q}_{max}$ | $\Rightarrow \dot{Q}_0 = \dot{m}T_0 \Delta s_{q,0} \varepsilon_{0,irev} = \varepsilon_{0,irev} \dot{Q}_{min} > \dot{Q}_{min}$ |
| <ul style="list-style-type: none"> - Fluxul termic maxim $\dot{Q}_{max} = \dot{m}T\Delta s_q$ este ar putea fi primit de la sursa caldă pentru un transfer de căldură reversibil la diferența elementară de temperatură, dT. - $\varepsilon_{irev} < 1$ pentru un transfer de căldură real la diferența finită de temperatură $\Delta T \neq 0$. | <ul style="list-style-type: none"> - Fluxul termic minim $\dot{Q}_{min} = \dot{m}T_0 \Delta s_{q,0}$ ar putea fi cedat sursei calde pentru un transfer de căldură reversibil la diferența elementară de temperatură, dT_0. - $\varepsilon_{0,irev} > 1$ pentru un transfer de căldură real la diferența finită de temperatură $\Delta T_0 \neq 0$. |

OBS.: În procesele cu schimb de căldură, variațiile de entropie sunt finite și nu depind de suprafața de schimb termic. Ca urmare, am adoptat condiția simplificatoare a unor variații identice de entropie specifică pentru ambele fluxuri termice. Am menținut influența suprafeței de schimb termic doar pentru diferența de temperatură agent de lucru – sursa caldă, (ΔT , ΔT_0).

Eficiența termică ireversibilă (“entropică”) a schimbătorului de căldură de la sursa rece

- | | |
|---|---|
| <p style="text-align: center;">motor
sursa rece, T_0</p> <ul style="list-style-type: none"> • PIT + PDT + NTUS₀ $\dot{Q}_0 = U_0 A_0 \Delta T_{m,0} = U_0 A_0 C_{\Delta T,0} (T_{mq,0} - T_0) = \dot{m} T_{mq,0} \Delta s_{q,0} = \dot{m} T_0 \Delta s_{q,0} \frac{C_{\Delta T,0} NTUS_0}{C_{\Delta T,0} NTUS_0 - 1}$ <p>unde</p> <ul style="list-style-type: none"> - U_0 și A_0 sunt coeficientul global de transfer termic și suprafața de schimb termic din schimbătorul de căldură situat la sursa rece, - $\Delta T_{m,0}$ este diferența medie logaritmică de temperatură agent de lucru – sursa rece caracteristică procesului de transmitere a căldurii, - $T_{mq,0}$ este temperatura termodinamică medie a agentului de lucru în procesul neadiabatic 4-1, - $C_{\Delta T,0} = \frac{\Delta T_{m,0}}{T_{mq,0} - T_0}$ este un coeficient de corecție ce ține cont de faptul că $\Delta T_{m,0}$ nu este identică ca valoare cu diferența $\Delta T_0 = (T_{mq,0} - T_0)$, ($C_{\Delta T,0} \rightarrow 1$)_{NTUS₀ → 0}. | <p style="text-align: center;">ciclu frigorific
sursa rece, T</p> <ul style="list-style-type: none"> • PIT + PDT + NTUS $\dot{Q} = UA \Delta T_m = UAC_{\Delta T} (T - T_{mq}) = \dot{m} T_{mq} \Delta s_q = \dot{m} T \Delta s_q \frac{C_{\Delta T} NTUS}{C_{\Delta T} NTUS + 1}$ <p>unde</p> <ul style="list-style-type: none"> - U și A sunt coeficientul global de transfer termic și suprafața de schimb termic din schimbătorul de căldură situat la sursa caldă, - ΔT_m este diferența medie logaritmică de temperatură sursa rece – agent de lucru caracteristică procesului de transmitere a căldurii, - T_{mq} este temperatura termodinamică medie a agentului de lucru, în procesul neadiabatic 1-2, - $C_{\Delta T} = \frac{\Delta T_m}{T_{mq} - T}$ este un coeficient de corecție ce ține cont de faptul că ΔT_m nu este identică ca valoare cu diferența $\Delta T = (T - T_{mq})$, ($C_{\Delta T} \rightarrow 1$)_{NTUS → 0}. |
|---|---|

Relațiile eficienței termice ireversibile (“entropice”) la sursa rece

$$\varepsilon_{0,irev} = \frac{\dot{Q}_0}{(\dot{Q}_0)_{NTUS_{0 \rightarrow \infty}}} = \frac{\dot{m}T_0|\Delta s_{q,0}| \frac{C_{\Delta T,0}NTUS_0}{C_{\Delta T,0}NTUS_{0-1}}}{\left(\dot{m}T_0|\Delta s_{q,0}| \frac{C_{\Delta T,0}NTUS_0}{C_{\Delta T,0}NTUS_{0-1}}\right)_{NTUS_{0 \rightarrow \infty}}} = \frac{C_{\Delta T,0}NTUS_0}{C_{\Delta T,0}NTUS_{0-1}} > 1$$

$$\Rightarrow \dot{Q}_0 = \dot{m}T_0|\Delta s_{q,0}|\varepsilon_{0,irev} = \varepsilon_{0,irev}\dot{Q}_{min} > \dot{Q}_{min}$$

- Fluxul termic minim $\dot{Q}_{min} = \dot{m}T_0|\Delta s_{q,0}|$ ar putea fi cedat sursei reci pentru cazul unui transfer de căldură reversibil, la diferență elementară de temperatură, dT_0 .
- $\varepsilon_{0,irev} > 1$ pentru un transfer de căldură real la diferența finită de temperatură $\Delta T_0 \neq 0$

$$\varepsilon_{irev} = \frac{\dot{Q}}{(\dot{Q})_{NTUS \rightarrow \infty}} = \frac{\dot{m}T\Delta s_q \frac{C_{\Delta T}NTUS}{C_{\Delta T}NTUS+1}}{\left(\dot{m}T\Delta s_q \frac{C_{\Delta T}NTUS}{C_{\Delta T}NTUS+1}\right)_{NTUS \rightarrow \infty}} = \frac{C_{\Delta T}NTUS}{C_{\Delta T}NTUS+1} < 1$$

$$\Rightarrow \dot{Q} = \dot{m}T\Delta s_q \varepsilon_{irev} = \varepsilon_{irev}\dot{Q}_{max} < \dot{Q}_{max}$$

- Fluxul termic maxim $\dot{Q}_{max} = \dot{m}T\Delta s_q$ ar putea fi primit de la sursa rece pentru cazul unui transfer de căldură reversibil, la diferență elementară de temperatură, dT .
- $\varepsilon_{irev} < 1$ pentru un transfer de căldură real la diferența finită de temperatură $\Delta T \neq 0$.

OBS.: În procesele cu schimb de căldură, variațiile de entropie sunt finite și nu depind de suprafața de schimb termic. Ca urmare, am adoptat condiția simplificatoare a unor variații identice de entropie specifică pentru ambele fluxuri termice. Am menținut influența suprafeței de schimb termic doar pentru diferența de temperatură agent de lucru – sursa caldă, (ΔT , ΔT_0).

Coeficientul de performanță energetică ireversibilă
(coeficientul de performanță termodinamică)

Rezultate

- ✓ puterea produsă

$$P = \dot{Q} - \dot{Q}_0 = \dot{Q} \left(1 - \frac{\dot{Q}_0}{\dot{Q}}\right) = \dot{Q}_{max}\varepsilon_{irev} \left(1 - \frac{T_0}{T} \frac{\varepsilon_{0,irev}}{\varepsilon_{irev}}\right) = \dot{m}T\Delta s_q \varepsilon_{irev} \left(1 - \frac{1}{\tau} N_{irev}^{extern}\right)$$

- ✓ randamentul termic ireversibil

$$\eta_{t,irev} = 1 - \frac{1}{\tau} \frac{\varepsilon_{0,irev}}{\varepsilon_{irev}} = 1 - \frac{1}{\tau} N_{irev}^{extern}$$

- ✓ puterea consumată

$$|P| = \dot{Q}_0 - \dot{Q} = \dot{Q} \left(\frac{\dot{Q}_0}{\dot{Q}} - 1\right) = \dot{Q}_{max}\varepsilon_{irev} \left(\frac{T_0}{T} \frac{\varepsilon_{0,irev}}{\varepsilon_{irev}} - 1\right) = \dot{m}T\Delta s_q \varepsilon_{irev} (\tau N_{irev}^{extern} - 1)$$

- ✓ eficiența frigorifică ireversibilă

$$\varepsilon_{f,irev} = \frac{1}{\tau \frac{\varepsilon_{0,irev}}{\varepsilon_{irev}} - 1} = \frac{T}{T_0 N_{irev}^{extern} - 1}$$

✓ numărul ireversibilității externe

$$N_{irev}^{extern} = \frac{\varepsilon_{0,irev}}{\varepsilon_{irev}} > 1$$

✓ randamentul exergetic

$$\eta_{ex} = \frac{1 - \frac{1}{\tau} N_{irev}^{extern}}{1 - 1/\tau} < 1$$

✓ randamentul exergetic

$$\eta_{ex} = \frac{\tau N_{irev}^{extern} - 1}{\tau - 1} = \frac{\frac{T}{T_0} N_{irev}^{extern} - 1}{\frac{T}{T_0} - 1} < 1$$

Evaluarea ireversibilității interne a ciclurilor reale

Cicluri motoare ireversibile

În figura 80 este redată schema unui ciclu motor real, ireversibil intern. Ireversibilitatea fiecărui proces simplu din ciclu va fi determinată prin comparație cu procesul omolog reversibil.

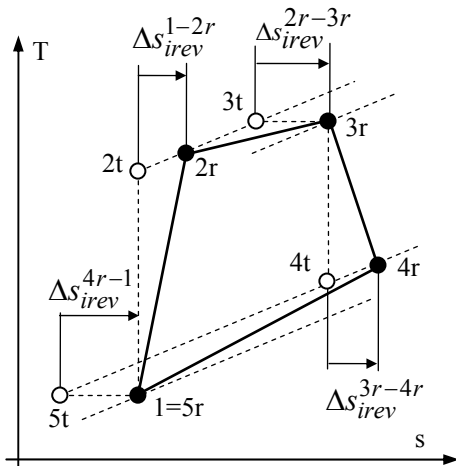


Fig. 80.

Schema unui ciclu motor real, ireversibil intern, diagrama $T-s$

Procesele reale succesive din care este constituit ciclul real sunt:

- 1 – 2r comprimare adiabatică ireversibilă,

- 2r – 3r proces real de încălzire (ex. izobar, izocor, politropic) până la entalpia (temperatura) maximă pe ciclu, se consumă căldură de la sursa caldă,
- 3r – 4r destindere adiabatică ireversibilă,
- 4r – 1 proces real de răcire (ex. izobar, izocor, politropic) până la entalpia (temperatura) minimă pe ciclu, se cedează sursei reci căldura deșeu din ciclu.

Procesele reversibile omoloage proceselor reale sunt:

- 1 – 2t comprimare adiabatică reversibilă cu același raport de comprimare ca și în adiabatica 1 – 2r,
- 2r – 3t proces reversibil de încălzire până la aceeași entalpie (temperatură) maximă pe ciclu,
- 3r – 4t destindere adiabatică reversibilă cu un raport de destindere egal cu cel din adiabatica 3r – 4r, dar mai mic decât cel posibil teoretic corespunzător unei destinderi până la presiunea stării inițiale (1), apare o contrapresiune pentru a contrabalansa ireversibilitatea ulterioară prin pierderile de presiune Δp_{fr} ,
- 4r – 5t proces reversibil de răcire până la aceeași entalpie (temperatură) minimă pe ciclu, ca în procesul 4r – 1.

Ireversibilitatea internă este caracterizată prin generarea suplimentară de entropie din procesele reale prin comparație cu procesele reversibile omoloage.

Global, generarea internă de entropie prin ireversibilitate afectează negativ relațiile termice cu sursele externe.

Astfel, în procesul de “consumare” a căldurii de la sursa caldă (energia motrice dintr-un ciclu motor) variația entropiei “motrice” a agentului de lucru (variația de entropie aferentă relației termice cu sursa caldă) este cea din procesul reversibil 2r – 3t. Această variație de entropie este mai mică decât cea care ar fi fost posibilă într-un ciclu reversibil, pe care preluarea căldurii de la sursa caldă s-ar fi realizat prin procesul

reversibil $2t - 3t$. Ireversibilitatea internă reduce deci, capacitatea entropică a agentului de lucru din această interacțiune energetică și ca urmare fluxul termic consumat de la sursa caldă se reduce (efect negativ analog cu o creștere a rezistenței termice pe “circuitul de curgere” a căldurii, de la sursa caldă la agentul de lucru).

Relația termică de la sursa rece este deasemenea înrăutățită. În procesul de “evacuare” a căldurii “deșeu” din ciclu, variația entropiei “deșeu” a agentului de lucru (variația de entropie aferentă relației termice cu sursa rece) este cea din procesul reversibil $4r - 5t$. Această variație de entropie este de data aceasta mai mare decât cea care ar fi fost posibilă într-un ciclu reversibil. Ireversibilitatea internă crește în consecință, capacitatea entropică a agentului de lucru din această interacțiune energetică și ca urmare fluxul termic “deșeu” crește (efect negativ analog cu o micșorare a rezistenței termice pe “circuitul de pierdere” a căldurii, de la agentul de lucru la sursa rece). Ireversibilitatea internă închide “ușa” de acces a căldurii motrice și deschide “ușa” pierderilor de cădură din ciclu. Pe ansamblu puterea produsă într-un ciclu motor ireversibil intern este diminuată prin ireversibilitate (PIT).

În concluzie, variațiile de entropie specifică ale agentului de lucru ce caracterizează relațiile termice cu sursele externe sunt:

- variația entropiei specifice a agentului de lucru din relația termică efectivă cu sursa caldă

$$\Delta s_q = s_{3t} - s_{2r}$$

- variația entropiei specifice a agentului de lucru din relația termică efectivă cu sursa rece

$$\begin{aligned} |\Delta s_{q,0}| &= s_{4r} - s_{5t} = \Delta s_q + \Delta s_{irev}^{1-2r} + \Delta s_{irev}^{2r-3r} + \Delta s_{irev}^{3r-4r} + \Delta s_{irev}^{4r-1} = \\ &= \Delta s_q \left(1 + \frac{\left(\sum \Delta s_{irev} \right)_{int}}{\Delta s_q} \right) = \Delta s_q \cdot N_{irev,int} \end{aligned}$$

în care am notat termenul $\left(1 + \frac{\left(\sum \Delta s_{irev}\right)_{int}}{\Delta s_q}\right) = N_{irev,int} > 1$, ce poate fi

considerat un număr al ireversibilității interne; la ciclurile reversibile intern, acest număr are valoarea minimă, $N_{irev,int} = 1$.

Concluzie preliminară: generarea de entropie prin ireversibilitatea internă este “stocată” în variația de entropie a agentului de lucru din interacțiunea termică efectivă cu sursa rece.

Coeficientul de performanță energetică ireversibilă (coeficientul de performanță termodinamică)

La cicluri motoare, coeficientul de performanță energetică este randamentul termic și are, pentru ciclul real considerat anterior, relația:

$$\begin{aligned} \eta_{t,irev} &= \frac{\dot{W}_{t,irev}}{\dot{Q}_{2r-3t}} \stackrel{PIT}{=} 1 - \frac{|\dot{Q}_{4r-5t}|}{\dot{Q}_{2r-3t}} = 1 - \frac{\dot{m} \cdot T_{mq}^{4r-5t} \cdot |\Delta s_{q,0}|}{\dot{m} \cdot T_{mq}^{2r-3t} \cdot \Delta s_q} = \\ &= 1 - \frac{T_{mq}^{4r-5t}}{T_{mq}^{2r-3t}} \frac{\Delta s_q \left(1 + \frac{\left(\sum \Delta s_{irev}\right)_{int}}{\Delta s_q}\right)}{\Delta s_q} = 1 - \frac{T_{mq}^{4r-5t}}{T_{mq}^{2r-3t}} N_{irev,int} \end{aligned}$$

unde T_{mq} este temperatura termodinamică medie, pentru procesele reversibile 4r – 5t și 2r – 3t, reamintim că fluxurile termice reale schimbate cu sursele externe sunt echivalente cu fluxurile termice din aceste procese reversibile, efectul termic al ireversibilității se dezvoltă în paralel și se regăsește în energia dezordonată a agentului de lucru.

Prin valorificarea rezultatelor obținute la analiza ireversibilității externe, putem să o cuantificăm acum, în plus, în relația randamentului termic ireversibil. Vom presupune că sursa caldă externă are temperatura $T > T_{3t} = T_{3r} > T_{mq}^{2r-3t}$, iar sursa rece are temperatura $T_0 < T_{5t} = T_1 < T_{mq}^{4r-5t}$.

Reamintim relațiile eficiențelor termice ireversibile (entropice) ale schimbătoarelor de căldură de la cele două surse externe:

$$\varepsilon_{irev} = \frac{C_{\Delta T} NTUS}{C_{\Delta T} NTUS + 1} = \frac{\dot{Q}_{2r-3t}}{(\dot{Q}_{2r-3t})_{NTUS \rightarrow \infty}} = \frac{\dot{m} T_{mq}^{2r-3t} \Delta s_q}{\dot{m} T \Delta s_q} = \frac{T_{mq}^{2r-3t}}{T} < 1$$

$$\varepsilon_{0,irev} = \frac{C_{\Delta T,0} NTUS_0}{C_{\Delta T,0} NTUS_0 - 1} = \frac{|\dot{Q}_{4r-5t}|}{|\dot{Q}_{4r-5t}|_{NTUS_0 \rightarrow \infty}} = \frac{\dot{m} T_{mq}^{4r-5t} |\Delta s_{q,0}|}{\dot{m} T_0 |\Delta s_{q,0}|} = \frac{T_{mq}^{4r-5t}}{T_0} > 1$$

unde $(\dot{Q}_{2r-3t})_{NTUS \rightarrow \infty} = \dot{m} T \Delta s_q = \dot{Q}_{max}^{2r-3t}$ este fluxul termic maxim ce ar putea fi consumat de la sursa caldă dacă suprafață de schimb termic A respectiv, $NTUS$, ar tinde spre infinit ($\dot{Q}_{2r-3t} < \dot{Q}_{max}^{2r-3t}$), iar $|\dot{Q}_{4r-5t}|_{NTUS_0 \rightarrow \infty} = \dot{m} T_0 |\Delta s_{q,0}| = \dot{Q}_{min}^{4r-5t}$ este fluxul termic minim ce ar trebui cedat sursei reci dacă suprafața de schimb termic A_0 respectiv, $NTUS_0$, ar tinde spre infinit ($|\dot{Q}_{4r-5t}| > \dot{Q}_{min}^{4r-5t}$).

Prin cumulara ireversibilității interne și externe, randamentul termic ireversibil va include în mod vizibil evaluarea ireversibilității globale pentru sistemul termodinamic lărgit ce include ciclul motor și sursele externe. Ireversibilitatea este direct explicitată doar prin cele două numere $N_{irev,ext} > 1$ și $N_{irev,int} > 1$:

$$\eta_{t,irev} = 1 - \frac{T_0}{T} \frac{\varepsilon_{0,irev}}{\varepsilon_{irev}} N_{irev,int} = 1 - \frac{1}{\tau} N_{irev,ext} \cdot N_{irev,int} < 1 - \frac{1}{\tau}$$

Pentru orice ciclu ideal, ambele numere ale ireversibilității devin minime și egale cu unitatea, iar randamentul termic este cel al ciclului motor Carnot reversibil.

Pentru ciclurile motoare ireversibile care nu au schimbătoare de căldură pentru interacțiunile energetice cu sursele externe (ex.: un turbomotor cu gaz la care sursa caldă este simulată prin procesul de ardere iar, gazele de ardere evacuate din motor se răcesc direct în mediul ambiant), se poate considera că:

- sursa caldă simulată prin ardere are temperatura maximă pe ciclu, $T = T_{3t} = T_{3r}$,
- iar, sursa rece are temperatura minimă pe ciclu $T_0 = T_{5t} = T_1$.

În aceste situații, numărul ireversibilității externe trebuie “re-asamblat” prin următoarea simulare a interacțiunilor termice cu cele două surse externe, sursa caldă, fictivă, are temperatura constantă și egală cu cea maximă pe ciclu, și sursa rece este mediul ambiant cu o temperatură constantă și egală cu cea minimă de pe ciclu. Eficiențele termice ireversibile aferente relațiilor termice externe se vor redefini prin intermediul temperaturilor termodinamice medii ale agentului de lucru și ale surselor termice externe, astfel:

$$\varepsilon_{irev} = \frac{\dot{Q}_{2r-3t}}{\dot{Q}_{max}} = \frac{\dot{m}T_{mq}^{2r-3t}\Delta s_q}{\dot{m}T\Delta s_q} = \frac{T_{mq}^{2r-3t}}{T} < 1 \text{ și}$$

$$\varepsilon_{0,irev} = \frac{|\dot{Q}_{4r-5t}|}{\dot{Q}_{min}} = \frac{\dot{m}T_{mq}^{4r-5t}|\Delta s_{q,0}|}{\dot{m}T_0|\Delta s_{q,0}|} = \frac{T_{mq}^{4r-5t}}{T_0} > 1$$

unde $\dot{Q}_{max} = \dot{m}T\Delta s_q$ este fluxul termic maxim ce ar putea fi consumat de la sursa caldă dacă procesul neadiabatic $2r - 3t$ ar fi înlocuit cu un proces izotermic la temperatura T ($\dot{Q}_{2r-3t} < \dot{Q}_{max}$), iar $|\dot{Q}_{min}| = \dot{m}T_0|\Delta s_{q,0}|$ este fluxul termic minim ce ar trebui cedat sursei reci dacă procesul neadiabatic $4r - 5t$ ar fi înlocuit cu un proces izotermic la temperatura T_0 ($|\dot{Q}_{4r-5t}| > \dot{Q}_{min}$).

Prin cumularea ireversibilității interne și externe și pentru aceste situații, randamentul termic ireversibil rămâne formal neschimbat:

$$\eta_{t,irev} = 1 - \frac{T_0}{T} \frac{\varepsilon_{0,irev}}{\varepsilon_{irev}} N_{irev,int} = 1 - \frac{1}{\tau} N_{irev,ext} \cdot N_{irev,int} < 1 - \frac{1}{\tau}$$

Cicluri motoare ireversibile, cu regenerarea internă a căldurii

În figura 81 este prezentată schema unui ciclu real cu regenerarea internă a căldurii. Ireversibilitatea fiecărui proces simplu din ciclu va fi determinată prin comparație cu procesul omolog reversibil.

Procesele reale succesive din care este constituit ciclul real sunt:

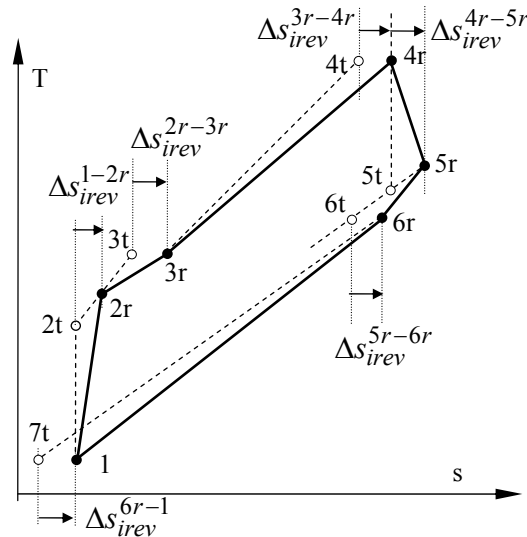
- 1 – 2r comprimare adiabatică ireversibilă,
- 2r – 3r proces real de încălzire prin regenerarea internă a căldurii pe ciclu, se consumă căldura din procesul de răcire 5r – 6r,
- 3r – 4r proces real de încălzire până la entalpia (temperatura) maximă pe ciclu, se consumă căldură de la sursa caldă,
- 4r – 5r destindere adiabatică ireversibilă,
- 5r – 6r proces real de răcire pentru realizarea regenerării interne a căldurii, este cuplat termic cu procesul 2r – 3r,
- 6r – 1 proces real de răcire până la entalpia (temperatura) minimă pe ciclu, se evacuează căldura deșeu din ciclu către sursa rece.

Procesele reversibile omoloage proceselor reale sunt:

- 1 – 2t comprimare adiabatică reversibilă cu același raport de comprimare ca și în adiabatica 1 – 2r,
- 2r – 3t proces reversibil de încălzire, corespunde regenerării reale, respectiv fluxul termic regenerat este egal cu cel primit în acest proces reversibil,
- 3r – 4t proces reversibil de încălzire până la entalpia (temperatura) maximă pe ciclu, ca și în procesul 3r – 4r,
- 4r – 5t destindere adiabatică reversibilă cu un raport de destindere egal cu cel din adiabatica 4r – 5r, dar mai mic decât cel posibil teoretic corespunzător unei destinderi până la presiunea stării inițiale (1), apare o contrapresiune pentru a contrabalansa ireversibilitatea ulterioară prin pierderile de presiune Δp_{fr} ,
- 5r – 6t proces reversibil de răcire, corespunde regenerării reale, respectiv

- fluxul termic regenerat este egal cu cel cedat din acest proces reversibil,
- $6r - 7t$ proces reversibil de răcire până la entalpia (temperatura) minimă pe ciclu, cea stării inițiale (1).

Fig. 81.
Schema unui ciclu motor real
cu regenerarea internă a
căldurii, diagrama $T - s$



Ireversibilitatea internă este caracterizată prin generarea suplimentară de entropie din procesele reale prin comparație cu procesele reversibile omoloage. Global, generarea internă de entropie prin ireversibilitate afectează negativ relațiile termice cu sursele externe.

Astfel, în procesul de “consumare” a căldurii de la sursa caldă (energia motrice dintr-un ciclu motor) variația entropiei “motrice” a agentului de lucru (variația de entropie aferentă relației termice cu sursa caldă) este cea din procesul reversibil $3r - 4t$. Această variație de entropie este mai mică decât cea care ar fi fost posibilă într-un ciclu reversibil, pe care preluarea căldurii de la sursa caldă s-ar fi realizat prin procesul reversibil $3t - 4t$. Ireversibilitatea internă reduce capacitatea entropică a agentului de lucru din această interacțiune energetică și ca urmare fluxul termic consumat de la sursa caldă se reduce.

Relația termică de la sursa rece este deasemenea înrăutățită. În procesul de evacuare a căldurii “deșeu” din ciclu, variația entropiei “deșeu” a agentului de lucru (variația de entropie aferentă relației termice cu sursa rece) este cea din procesul reversibil $6r - 7t$. Această variație de entropie este de data aceasta mai mare decât cea care ar fi fost posibilă într-un ciclu reversibil. Ireversibilitatea internă crește în consecință, capacitatea entropică a agentului de lucru din această interacțiune energetică și ca urmare fluxul termic “deșeu” crește.

Aceeași concluzie logică, ireversibilitatea internă închide “ușa” de acces a căldurii motrice și deschide “ușa” pierderilor de cădură din ciclu.

Variațiile de entropie specifică ale agentului de lucru ce caracterizează relațiile termice cu sursele externe sunt:

- variația entropiei specifice a agentului de lucru din relația termică efectivă cu sursa caldă

$$\Delta s_q = s_{4t} - s_{3r}$$

- variațiile de entropie specifică din procesele cuplate termic intern prin regenerarea căldurii

$$\begin{aligned} \dot{m}T_{mq}^{2r-3t}(s_{3t} - s_{2r}) &= \dot{m}T_{mq}^{2r-3t}\Delta s_{q,reg} \stackrel{PIT}{=} \dot{m}T_{mq}^{5r-6t}(s_{5r} - s_{6t}) = \\ &= \dot{m}T_{mq}^{5r-6t}|\Delta s_{q,reg}^{5r-6t}| \Rightarrow |\Delta s_{q,reg}^{5r-6t}| = \Delta s_{q,reg}^{2r-3t} \frac{T_{mq}^{2r-3t}}{T_{mq}^{5r-6t}} \end{aligned}$$

- variația entropiei specifice a agentului de lucru din relația termică efectivă cu sursa rece

$$\begin{aligned}
|\Delta s_{q,0}| &= s_{6r} - s_{7t} = \Delta s_q + \Delta s_{irev}^{1-2r} + \Delta s_{q,reg}^{2r-3t} + \Delta s_{irev}^{2r-3r} + \Delta s_{irev}^{3r-4r} + \Delta s_{irev}^{4r-5r} - |\Delta s_{q,reg}^{5r-6t}| + \\
&+ \Delta s_{irr}^{5r-6r} + \Delta s_{irev}^{6r-1} = \Delta s_q + \Delta s_{irev}^{1-2r} + \Delta s_{q,reg}^{2r-3t} + \Delta s_{irev}^{3r-4r} + \Delta s_{irev}^{4r-5r} + \Delta s_{irr}^{5r-6r} + \Delta s_{irev}^{6r-1} + \\
&+ \Delta s_{q,reg}^{2r-3t} \left(1 - \frac{T_{mq}^{2r-3t}}{T_{mq}^{5r-6t}} \right) = \Delta s_q \left[1 + \frac{\left(\sum \Delta s_{irev} \right)_{int} + \Delta s_{q,reg}^{2r-3t} \left(1 - \frac{T_{mq}^{2r-3t}}{T_{mq}^{5r-6t}} \right)}{\Delta s_q} \right] = \Delta s_q \cdot N_{irev,int}
\end{aligned}$$

în care am notat termenul

$$\left[1 + \frac{\left(\sum \Delta s_{irev} \right)_{int} + \Delta s_{q,reg}^{2r-3t} \left(1 - \frac{T_{mq}^{2r-3t}}{T_{mq}^{5r-6t}} \right)}{\Delta s_q} \right] = N_{irev,int} > 1$$

ce poate fi considerat un număr al ireversibilității interne pentru ciclurile motoare cu regenerarea internă a căldurii, la ciclurile reversibile intern, acest număr are valoarea minimă, $N_{irev,int} = 1$.

Concluzie preliminară: generarea de entropie prin ireversibilitatea internă este “stocată” în variația de entropie a agentului de lucru din interacțiunea termică efectivă cu sursa rece.

Coefficientul de performanță energetică ireversibilă (coeficientul de performanță termodinamică)

Și la ciclurile motoare cu regenerarea internă a căldurii, coeficientul de performanță energetică este randamentul termic și are, pentru ciclul real considerat anterior, relația:

$$\eta_{t,irev} = \frac{\dot{W}_{t,irev}}{\dot{Q}_{3r-4t}} \stackrel{PIT}{=} 1 - \frac{|\dot{Q}_{6r-7t}|}{\dot{Q}_{3r-4t}} = 1 - \frac{\dot{m} \cdot T_{mq}^{6r-7t} \cdot |\Delta s_{q,0}|}{\dot{m} \cdot T_{mq}^{3r-4t} \cdot \Delta s_q} =$$

$$= 1 - \frac{T_{mq}^{6r-7t}}{T_{mq}^{3r-4t}} \left[1 + \frac{\left(\sum \Delta s_{irev} \right)_{int} + \Delta s_{q,reg}^{2r-3t} \left(1 - \frac{T_{mq}^{2r-3t}}{T_{mq}^{5r-6t}} \right)}{\Delta s_q} \right] = 1 - \frac{T_{mq}^{6r-7t}}{T_{mq}^{3r-4t}} N_{irev,int}$$

unde T_{mq} este temperatura termodinamică medie, pentru procesele reversibile $6r - 7t$ și $3r - 4t$, reamintim că fluxurile termice reale schimbate cu sursele externe sunt echivalente cu fluxurile termice din aceste procese reversibile, efectul termic al ireversibilității se dezvoltă în paralel și se regăsește în energia dezordonată a agentului de lucru.

Prin valorificarea rezultatelor obținute la analiza ireversibilității externe, putem să o cuantificăm acum, în plus, în relația randamentului termic ireversibil.

Vom presupune că sursa caldă externă are temperatura $T > T_{4t} = T_{4r} > T_{mq}^{3r-4t}$, iar sursa rece are temperatura $T_0 < T_{7t} = T_1 < T_{mq}^{6r-7t}$. Reamintim relațiile eficiențelor termice ireversibile (entropice) ale schimbătoarelor de căldură de la cele două surse externe:

$$\varepsilon_{irev} = \frac{C_{\Delta T} NTUS}{C_{\Delta T} NTUS + 1} = \frac{\dot{Q}_{3r-4t}}{(\dot{Q}_{3r-4t})_{NTUS \rightarrow \infty}} = \frac{\dot{m} T_{mq}^{3r-4t} \Delta s_q}{\dot{m} T \Delta s_q} = \frac{T_{mq}^{3r-4t}}{T} < 1$$

$$\varepsilon_{0,irev} = \frac{C_{\Delta T,0} NTUS_0}{C_{\Delta T,0} NTUS_0 - 1} = \frac{|\dot{Q}_{6r-7t}|}{|\dot{Q}_{6r-7t}|_{NTUS_0 \rightarrow \infty}} = \frac{\dot{m} T_{mq}^{6r-7t} |\Delta s_{q,0}|}{\dot{m} T_0 |\Delta s_{q,0}|} = \frac{T_{mq}^{4r-5t}}{T_0} > 1$$

unde $(\dot{Q}_{3r-4t})_{NTUS \rightarrow \infty} = \dot{m} T \Delta s_q = \dot{Q}_{max}^{3r-4t}$ este fluxul termic maxim ce ar putea fi consumat de la sursa caldă dacă suprafață de schimb termic A respectiv, $NTUS$, ar tinde spre infinit ($\dot{Q}_{3r-4t} < \dot{Q}_{max}^{3r-4t}$), iar $|\dot{Q}_{6r-7t}|_{NTUS_0 \rightarrow \infty} = \dot{m} T_0 |\Delta s_{q,0}| = \dot{Q}_{min}^{6r-7t}$ este fluxul termic minim ce ar trebui cedat sursei reci dacă suprafața de schimb termic A_0 respectiv, $NTUS_0$, ar

tinde spre infinit ($|\dot{Q}_{6r-7t}| > \dot{Q}_{min}^{6r-7t}$).

Prin cumularea ireversibilității interne și externe, randamentul termic ireversibil include în mod vizibil evaluarea ireversibilității globale pentru sistemul termodinamic lărgit ce include ciclul motor și sursele externe:

$$\eta_{t,irev} = 1 - \frac{T_0}{T} \frac{\varepsilon_{0,irev}}{\varepsilon_{irev}} N_{irev,int} = 1 - \frac{1}{\tau} N_{irev,ext} \cdot N_{irev,int} < 1 - \frac{1}{\tau}$$

Pentru orice ciclu ideal, ambele numere ale ireversibilității devin minime și egale cu unitatea, iar randamentul termic este cel al ciclului motor Carnot reversibil.

Pentru ciclurile motoare ireversibile care nu au schimbătoare de căldură pentru interacțiunile energetice cu sursele externe (ex.: un turbomotor cu gaz cu regenerarea internă a căldurii la care sursa caldă este simulată prin procesul de ardere iar, gazele de ardere evacuate din motor se răcesc direct în mediul ambiant), se poate considera că:

- sursa caldă simulată prin ardere are temperatura maximă pe ciclu, $T = T_{4t} = T_{4r}$,
- iar, sursa rece are temperatura minimă pe ciclu $T_0 = T_{7t} = T_1$.

În aceste situații, numărul ireversibilității externe trebuie deasemenea re-definit prin simularea interacțiunilor termice cu cele două surse externe, caldă fictivă și rece mediul ambiant. Eficiențele termice ireversibile aferente realțiilor termice externe se vor redefini astfel:

$$\varepsilon_{irev} = \frac{\dot{Q}_{3r-4t}}{\dot{Q}_{max}} = \frac{\dot{m}T_{mq}^{3r-4t}\Delta s_q}{\dot{m}T\Delta s_q} = \frac{T_{mq}^{3r-4t}}{T} < 1 \text{ și}$$

$$\varepsilon_{0,irev} = \frac{|\dot{Q}_{6r-7t}|}{\dot{Q}_{min}} = \frac{\dot{m}T_{mq}^{6r-7t}|\Delta s_{q,0}|}{\dot{m}T_0|\Delta s_{q,0}|} = \frac{T_{mq}^{6r-7t}}{T_0} > 1$$

unde $\dot{Q}_{max} = \dot{m}T\Delta s_q$ este fluxul termic maxim ce ar putea fi consumat de la sursa caldă dacă procesul neadiabatic 3r – 4t ar fi înlocuit cu un proces

izotermic la temperatura T ($\dot{Q}_{3r-4t} < \dot{Q}_{max}$), iar $|\dot{Q}_{min}| = \dot{m}T_0|\Delta s_{q,0}|$ este fluxul termic minim ce ar trebui cedat sursei reci dacă procesul neadiabatic $6r - 7t$ ar fi înlocuit cu un proces izotermic la temperatura T_0 ($|\dot{Q}_{6r-7t}| > \dot{Q}_{min}$).

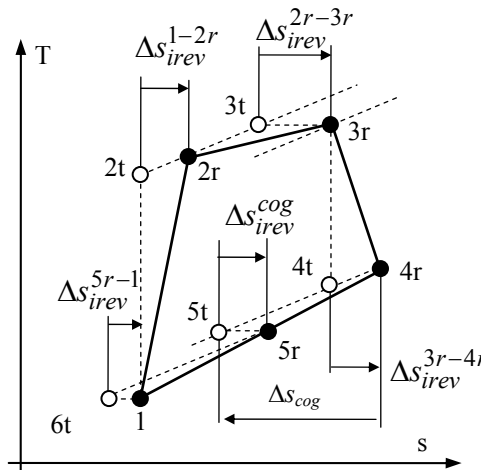
Prin cumularea ireversibilității interne și externe și pentru aceste situații, randamentul termic ireversibil rămâne formal neschimbat:

$$\eta_{t,irev} = 1 - \frac{T_0}{T} \frac{\varepsilon_{0,irev}}{\varepsilon_{irev}} N_{irev,int} = 1 - \frac{1}{\tau} N_{irev,ext} \cdot N_{irev,int} < 1 - \frac{1}{\tau}$$

Ciclurile motoare reale cu cogenerare

În figura 82 este schema unui ciclu motor real cu cogenerare.

Fig. 82.
Schema unui ciclu motor real cu cogenerare, diagrama $T - s$



Procesele real incluse în ciclu sunt:

- 1 - 2r comprimare adiabatică ireversibilă,
- 2r - 3r proces de încălzire ireversibil, se consumă caldura sursei calde, fluxul termic efectiv consumat este cel corespunzător

- procesului reversibil 2r – 3t,
- 3r – 4r destindere adiabatică ireversibilă,
 - 4r – 5r proces real răcire prin cogenerare, se furnizează un flux termic util egal ca valoare cu cel din procesul reversibil 4r – 5t,
 - 5r – 1 proces real de răcire, fluxul termic efectiv cedat sursei reci este echivalent cu cel din procesul reversibil 5r – 6t.

Procesele reversibile echivalente sunt:

- 1 – 2t comprimare adiabatică reversibilă,
- 2r – 3t proces de încălzire reversibil,
- 3r – 4t destindere adiabatică reversibilă,
- 4r – 5t proces reversibil de răcire prin cogenerare,
- 5r – 6t proces reversibil de răcire.

Generarea de entropie prin ireversibilitate internă poate fi cuantificată prin variațiile de entropie ireversibile ce fac diferența dintre procesele reale ireversibile și cele reversibile omoloage. Ca și la ciclurile motoare anterior prezentate, vom raporta generarea de entropie la variația de entropie “motrice” din procesul 2r – 3t pe care se consumă fluxul termic ce menține în viața ciclul motor. Variațiile de entropie specifică ale agentului de lucru ce caracterizează relațiile termice cu sursele externe sunt:

- variația entropiei specifice a agentului de lucru din relația termică efectivă cu sursa caldă

$$\Delta s_q = \Delta s_{2r-3t} = s_{3t} - s_{2r}$$

- variația entropiei specifice a agentului de lucru din procesul de cogenerare

$$|\Delta s_{cog}| = \Delta s_{4r-5t} = s_{4r} - s_{5t}$$

- variația entropiei specifice a agentului de lucru din relația termică efectivă cu sursa rece

$$\Delta s_{q,0} = \Delta s_q + \Delta s_{irev}^{1-2r} + \Delta s_{irev}^{2r-3r} + \Delta s_{irev}^{3r-4r} + \Delta s_{irev}^{cog} + \Delta s_{irev}^{5r-1} -$$

$$|\Delta S_{cog}| = \Delta S_q \left(1 + \frac{(\sum \Delta S_{irev})_{int}}{\Delta S_q} - \frac{|\Delta S_{cog}|}{\Delta S_q} \right) = \Delta S_q \left(N_{irev,int} - \frac{|\Delta S_{cog}|}{\Delta S_q} \right) = \Delta S_q N_{cog}$$

unde $N_{irev,int} = \left(1 + \frac{(\sum \Delta S_{irev})_{int}}{\Delta S_q} \right) > 1$ este numărul ireversibilității interne din ciclul motor iar, $N_{cog} = \left(N_{irev,int} - \frac{|\Delta S_{cog}|}{\Delta S_q} \right) < 1$ este un număr al ireversibilității ciclului motor cu cogenerare. La limită, când generarea internă de ireversibilitate tinde spre zero și tot fluxul termic cedat din ciclul motor ($|\dot{Q}_{5r-6t}| + |\dot{Q}_{4r-5t}|$) este cogenerat, $N_{irev,int} \rightarrow 1$ iar $|\Delta S_{cog}| \rightarrow \Delta S_q$, respectiv $N_{cog} \rightarrow 0$.

Concluzie preliminară: generarea de entropie prin ireversibilitatea internă este deasemenea “stocată” în variația de entropie a agentului de lucru din interacțiunea termică efectivă cu sursa rece dar, cogenerarea modifică semnificația și valoarea coeficientului de performanță energetică ireversibilă. Menționăm că relația coeficientului de performanță energetică ireversibilă va include și energia termică utilă produsă prin cogenerare.

Coeficientul de performanță energetică ireversibilă (coeficientul de performanță termodinamică)

La ciclurile motoare cu cogenerare, coeficientul de performanță energetică este randamentul energetic și are relația:

$$\eta_{cog,irev} = \frac{W_{t,irev} + |\dot{Q}_{cog}|}{\dot{Q}_{2r-3t}} \stackrel{PIT}{=} \frac{(\dot{Q}_{2r-3t} - |\dot{Q}_{5r-6t}| - |\dot{Q}_{4r-5t}|) + |\dot{Q}_{4r-5t}|}{\dot{Q}_{2r-3t}} = 1 - \frac{|\dot{Q}_{5r-6t}|}{\dot{Q}_{2r-3t}} = 1 - \frac{\dot{m} T_{mq}^{5r-6t} |\Delta S_{q,0}|}{\dot{m} T_{mq}^{2r-3t} \Delta S_q} = 1 - \frac{T_{mq}^{5r-6t}}{T_{mq}^{2r-3t}} \left(1 + \frac{(\sum \Delta S_{irev})_{int}}{\Delta S_q} - \frac{|\Delta S_{cog}|}{\Delta S_q} \right) = 1 - \frac{T_{mq}^{5r-6t}}{T_{mq}^{2r-3t}} N_{cog}$$

La limită când $N_{cog} \rightarrow 0$ randamentul energetic al ciclului motor cu cogenerare $\eta_{cog,irev} \rightarrow 1$, respectiv se respectă PIT cu precizarea că teoretic cogenerarea ideală valorifică integral fluxul termic consumat de la sursa caldă. În figurile 83 și 84 sunt incluse rezultate numerice comparative pentru un ciclu real Joule – Brayton cu cogenerare. Aceste rezultate numerice a

considerat următoarele două situații:

- arderea cu aer și
- arderea cu aer îmbogățit cu oxigen cu o participație masică de 90% oxigen în aerul oxigenat.

Condițiile restrictive operaționale adoptate sunt:

- temperatura maximă pe ciclu $T_3 = T_{3t} = T_{3r} = 1200^{\circ}\text{C}$;
- randamentul izentropic al compresorului $\eta_{sC} = 0,88$;
- randamentul izentropic al turbinei $\eta_{sT} = 0,94$;
- coeficientul pierderilor de presiune din camera de ardere 0,98;
- compoziția masică a unui combustibil convențional, 15% H_2 și 85% C;
- puterea calorică superioară a combustibilului, $\sim 46,000$ kJ/kg.

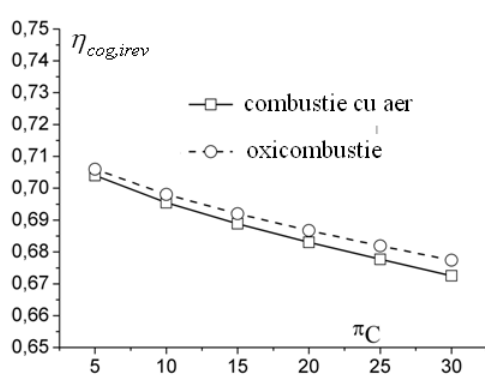


Fig. 83.

Dependenta randamentului energetic ireversibil pentru ciclul cu cogenerare funcție de raportul de comprimare al compresorului

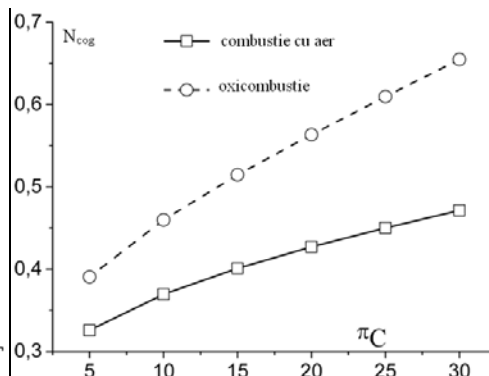


Fig. 84.

Dependenta numărului ireversibilității ciclului cu cogenerare funcție de raportul de comprimare al compresorului

O concluzie primară: Ireversibilitatea este puternic influențată de natura agentului de lucru, variațiile relative de entropie sunt diferite pentru

agenți de lucru diferiți. Oxidcombustia deși aparent nu influențează randamentul energetic ireversibil, este caracterizată printr-un număr al ireversibilității de aproape două ori mai mare prin comparație cu arderea cu aer. Schimbarea unui agent de lucru cu un altul impune noi cercetări pentru readaptarea sistemului astfel încât ireversibilitatea să fie caracterizată prin numere ale ireversibilității cât mai apropiate ca valoare.

Ciclurile frigorifice reale

Figura 85 include schema unui ciclu frigorific ireversibil. Procesele reale constitutive ale ciclului sunt:

- 1 – 2r comprimare adiabatică ireversibilă,
- 2r – 3r proces de răcire ireversibil, se cedează căldură sursei calde – mediul ambiant,
- 3r – 4r proces adiabatic ireversibil, fie o laminare fie o destindere,
- 4r – 1 proces de încălzire ireversibil, se primește căldură de la sursa rece – incinta frigorifică.

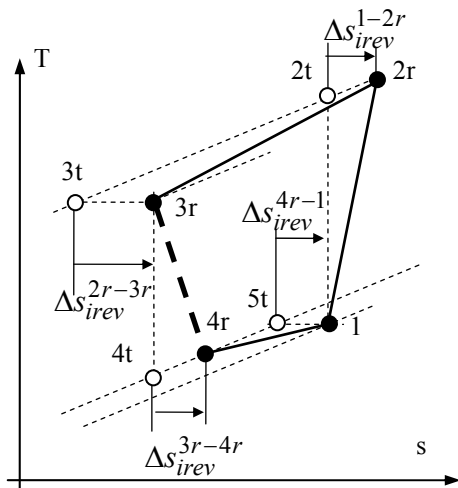


Fig. 85.
Schema unui ciclu frigorific
ireversibil, diagrama $T - s$

Procesele reversibile omoloage care permit evaluarea prin comparație a generării de entropie prin ireversibilitate sunt:

- 1 – 2t comprimare adiabatică reversibilă cu același raport de comprimare ca în procesul real 1 – 2r,
- 2r – 3t proces reversibil de răcire, fluxul termic cedat sursei calde din acest proces este fluxul termic efectiv din relația termică agent de lucru – sursa caldă,
- 3r – 4t destindere adiabatică reversibilă,
- 4r – 5t proces reversibil de încălzire, fluxul termic consumat de la sursa rece prin acest proces este fluxul termic efectiv din relația termică sursa rece – agent de lucru.

Variațiile entropiei specifice pentru relațiile termice cu sursele externe sunt următoarele:

- variația entropiei specifice pentru relația termică cu sursa rece

$$\Delta s_q = s_{5t} - s_{4r}$$

- variația entropiei specifice pentru relația termică cu sursa caldă

$$\begin{aligned} |\Delta s_{q,0}| &= s_{2r} - s_{3t} = \Delta s_q + \Delta s_{irev}^{1-2r} + \Delta s_{irev}^{2r-3r} + \Delta s_{irev}^{3r-4r} + \Delta s_{irev}^{4r-1} = \\ &= \Delta s_q \left(1 + \frac{\left(\sum \Delta s_{irev} \right)_{int}}{\Delta s_q} \right) = \Delta s_q \cdot N_{irev,int} \end{aligned}$$

în care am notat termenul

$$\left[1 + \frac{\left(\sum \Delta s_{irev} \right)_{int}}{\Delta s_q} \right] = N_{irev,int} > 1$$

ce poate fi considerat un număr al ireversibilității interne pentru ciclurile frigorifice simple, la ciclurile reversibile intern, acest număr are valoarea minimă, $N_{irev,int} = 1$.

Concluzie preliminară: generarea de entropie prin ireversibilitatea internă este “stocată” în variația de entropie a agentului de lucru din interacțiunea termică efectivă cu sursa caldă.

Coefficientul de performanță energetică ireversibilă
(coeficientul de performanță termodinamică)

La ciclurile frigorifice, coeficientul de performanță energetică este eficiența frigorifică și are, pentru ciclul real considerat anterior, relația:

$$\begin{aligned} COP_{irev} = \varepsilon_{f,irev} &= \frac{\dot{Q}_{4r-5t}}{|\dot{W}_t|} = \frac{\dot{Q}_{4r-5t}}{|\dot{Q}_{2r-3t}| - \dot{Q}_{4r-5t}} = \\ &= \frac{\dot{m} \cdot T_{mq}^{4r-5t} \cdot \Delta s_q}{\dot{m} \cdot T_{mq}^{2r-3t} \cdot |\Delta s_{q,0}| - \dot{m} \cdot T_{mq}^{4r-5t} \cdot \Delta s_q} = \frac{1}{\frac{T_{mq}^{2r-3t}}{T_{mq}^{4r-5t}} N_{irr,int} - 1} \end{aligned}$$

unde T_{mq} este temperatura termodinamică din procesele $4r - 5t$ și $2r - 3t$.

Ireversibilitatea externă poate fi de asemenea inclusă în eficiența frigorifică ireversibilă prin intermediul eficiențelor termice ireversibile (entropice) ale schimbătoarelor de căldură ce intermediază relațiile termice cu sursele externe.

$$\begin{aligned} \varepsilon_{0,irev} &= \frac{\dot{Q}_{2r-3t}}{\dot{Q}_{min}^{2r-3t}} = \frac{\dot{m} \cdot T_{mq}^{2r-3t} \cdot |\Delta s_{q,0}|}{\dot{m} \cdot T_0 \cdot |\Delta s_{q,0}|} = \frac{T_{mq}^{2r-3t}}{T_0} > 1, \text{ și} \\ \varepsilon_{irev} &= \frac{\dot{Q}_{4r-5t}}{\dot{Q}_{max}^{4r-5t}} = \frac{\dot{m} \cdot T_{mq}^{4r-5t} \cdot \Delta s_q}{\dot{m} \cdot T \cdot \Delta s_q} = \frac{T_{mq}^{4r-5t}}{T_C} < 1 \end{aligned}$$

unde T_0 și $T < T_0$ sunt temperaturile surselor termice externe, respectiv caldă – mediul ambiant și rece – incinta frigorifică.

$\dot{Q}_{max}^{4r-5t} = \dot{m} \cdot T \cdot \Delta s_q$ este fluxul termic reversibil maxim ce ar putea fi primit de la sursa rece când A respectiv $NTUS$ tind spre infinit,

$\dot{Q}_{min}^{2r-3t} = \dot{m} \cdot T_0 \cdot |\Delta s_{q,0}|$ este fluxul termic reversibil minim ce ar putea fi cedat sursei calde când A_0 respectiv $NTUS_0$ tind spre infinit.

Eficiența frigorifică ireversibilă ce include explicit și ireversibilitatea externă capătă forma finală:

$$COP_{irev} = \varepsilon_{f,irev} = \frac{1}{\frac{T_0}{T} \frac{\varepsilon_{0,irev}}{\varepsilon_{irev}} N_{irev,int} - 1} = \frac{1}{\tau \cdot N_{irev,ext} \cdot N_{irev,int} - 1}$$

unde $N_{irev,ext} = \frac{\varepsilon_{0,irev}}{\varepsilon_{irev}} > 1$ este numărul ireversibilității externe. Ciclul frigorific ideal are ambele numere minime și egale cu unitatea, e vorba de ciclul Carnot ideal.

CONCLUZII

- ✓ Coeficientul de performanță energetică ireversibilă (de performanță termodinamică) are o relație generală pentru ciclurile reale de bază.
- ✓ Generarea globală de entropie prin ireversibilitate, la aceste cicluri, este vizualizată direct doar prin cele două numere ale ireversibilității, interne și externe.
- ✓ Eficiența termică ireversibilă (entropică) a schimbătoarelor de căldură de suprafață ce intermediază relațiile termice cu sursele externe are o semnificație unică ce ține cont de “utilitatea” fluxurilor termice, astfel:
 - a) la ciclurile motoare căldura consumată de la sursa caldă este energia utilă ce menține în viață ciclul motor și ca urmare $(\dot{Q} = \varepsilon_{irev} \cdot \dot{Q}_{max})_{consum}$, $\varepsilon_{irev} < 1$; căldura cedată sursei reci are

semnificația unei energii deșeu/epuizate, respectiv $(|\dot{Q}_0| = \varepsilon_{0,irev} \cdot |\dot{Q}_{min}|)_{deșeu}$, $\varepsilon_{0,irev} > 1$;

b) la ciclurile frigorifice frigul produs este rațiunea menținerii în viață a ciclului, respectiv $(\dot{Q} = \varepsilon_{irev} \cdot \dot{Q}_{max})_{consum}$, $\varepsilon_{irev} < 1$; căldura cedată sursei calde – mediul exterior are o semnificație asemănătoare unei energii deșeu, respectiv $(|\dot{Q}_0| = \varepsilon_{0,irev} \cdot |\dot{Q}_{min}|)_{deșeu}$, $\varepsilon_{0,irev} > 1$.

- ✓ Metoda coeficientului de performanță ireversibil poate fi extinsă și la ciclurile complexe, ex. cicluri combinate, trigenerare, etc. Trebuie acordată o foarte mare atenție la dependențele dintre variațiile de entropie ale agentului de lucru din interacțiunile termice cu exteriorul.

BIBLIOGRAFIE

1. Ahern, J. E., 1980, *The Exergy Method of Energy Systems Analysis*, Wiley, N. Y.
2. Ahrendts, J., 1980, *Reference States*, Energy, 5, N 8 - 9, p 667 - 677
3. Alefeld, G., 1987, *Efficiency of compressor heat pumps and refrigerators derived from the Second Law of Thermodynamics*, Int. J. Refrig., vol. 10, no. 6, pp. 331-341
4. Alefeld, G., 1988, *Problems with the exergy concept (or the missing Second law)*, IEA Heat Pump Newsletter, vol. 6, no. 3, pp. 19-23
5. Aradau, D., 1976, *Exergetic yield of refrigerating installations with two compression stages using reciprocating compressors*, Rev. Gen. Froid, France, no. 5-6, pp. 415-420
6. Badescu, V., 1992, *Direct and diffuse solar - radiation Exergy at the earth's surface*, International Chemical Engineering, v 32, n 2 Apr, p 265 - 270 / 0020 - 6318
7. Baehr, H. D., 1965, *Exergie und Anergie und Ihre Anwendung in der Kältetechnik*, Kältetechn.-Klimatis., vol. 17, no. 1, pp. 14-22
8. Baehr, H. D., 1965, *Technische Thermodynamik*, Berlin, Springer-Verlag
9. Baehr, H. D., Bermann, E., Bosnjakovic, F., Grassmann, P., van Lier, J. J. C., Rant, Z., Rögner, H., Schmidt, K. R., 1965, *Energie und Exergie, Die Anwendung des Exergiebegriffs in der Energietechnik*, VDI-Verlag, Düsseldorf
10. Baines, P. G., Carrington, C. G., 1986, *Second law measures of efficiency*, Energy Research, vol. 10, no. 2, pp. 189-191, April-June
11. Bejan, A., 1977, *The concept of irreversibility in heat exchanger design: Counterflow heat exchanger for gas-to-gas applications*, Trans. ASME, J. Heat Transfer, vol. 99, p. 374
12. Bejan, A., 1982, *Entropy generation through heat and fluid flow*, Wiley, N. Y.
13. Bejan, A., 1988, *Advanced engineering thermodynamics*, Wiley, N. Y.
14. Bidard, R., 1974, *Exergie, Rendements de cycles, rendements de machines*, Rev. Gen Therm., vol. 13, no. 150-151, pp. 481-488
15. Bidard, R., 1975, *Calorique, Exergie, Energie et Entropie*, Entropie, vol. 11, no. 63, pp. 4-56
16. Bonnin, J., 1980, *Energetics of systems with three thermal sources*, Entropie, vol. 16, no. 94, pp. 40-50
17. Borel, L., 1979, *General theory of exergy and practical applications. I., Exergy efficiency*, Entropie, vol. 15, no. 87, pp. 4-16
18. Borel, L., 1979, *General theory of exergy and practical applications. II. Heat co-work, transformation co-work and exergetic losses*, Entropie, vol. 15, no. 86, pp. 3-12

19. Boustead J.; Jancock B., 1979, *Handbook of the Industrial Energy Analysis*, London: Ellis Horwood, 1979, 422 p
20. Carnot, N. L. S., 1824, *Réflexions sur la puissance motrice du feu et sur les machines propres à développer cette puissance*, Bachelier, Paris, 1824; Fox, R. (ed.), Librairie Philosophique J. Vrin, Paris 1978, (also *Reflections on the Motive Power of Heat*, American Society of Mechanical Engineers, 1943)
21. Cerri, G., Sciubba, E., 1988, *Aero-derived reheat gas turbines with steam injection into the afterburner*, In: Moran, M. J., Bajura, R. A. and Tsatsaronis, G., eds., *Analysis and Design of Advanced Energy Systems: Computer-Aided Analysis and Design*, Proc. ASME Winter Annual Meeting, Boston, Mass., Dec. 13-18, 1988, vol. 3-3, pp. 79-86
22. Chambadal, P., 1965, *Availability balances of gas turbines*, ASME pap. 66-GT-96, October
23. Chambadal, P., 1965, *Les limites de la transformation de la chaleur en travail*, *Entropie*, vol. 1, no. 3, pp. 9-16
24. Chambadal, P., 1966, *Applications de la notion d'entropie à l'analyse du fonctionnement des turbines à gaz*, *Energy*, no. 11, pp. 28-35
25. Chambadal, P., 1974, *La thermodynamique*, Ed. Eyrolles, Paris
26. Chambadal, P., 1976, *La thermodynamique telle qu'elle aurait pu être*, *Entropie*, vol. 12, no. 70, pp. 4-8
27. Chapman P.E., 1974, *Energy Costs: A Review of Methods*, *Energy Policy*, 2, N1. p.91 - 103
28. Chatillon, M. de, 1976, *Exergetic balance sheet of space heating systems fitted with heat pumps*, *Rev. Gen. Therm.*, vol. 15, no. 179, pp. 973-979
29. Clausius, R., 1867, *The mechanical theory of heat*, translated by Hirst, van Voorst, London
30. Curzon, F. L., Ahlborn, B., 1975, *Efficiency of a Carnot Engine at Maximum Power Output*, *Am J Phys*, vol. 43, p. 22, jan
31. Danila, N., Leca, A., 1966, *Analiza exergetica a circuitului regenerativ al centralelor termoelectrice cu abur*, *Ses. stiintif a Inst. polit. Gh. Gheorghiu-Dej. Bucuresti*
32. Danila, N., Leca, A., 1968, *Exery analysis of regenerative cycles of steam power stations*, *Rev. Roum. Sci. Tech., Electrotech. Energet.*, vol. 13, no. 1, pp. 105-115
33. Danila, N., Leca, A., 1968, *Posibilitati de imbunatatire a transferului caldurii in circuitul regenerativ al centralelor termoelectrice cu abur*, *Studii si cercetari energ. si electrotech*, vol. 18, no. 1, pp. 47-59
34. Darrieus, G., 1930, *Définition du rendement thermodynamique des turbines a vapeur*, *Rev. Général de l'Electricité*, vol. 27, no. 25, pp. 963-968, (also *The Rational Definition of Steam Turbine Efficiencies*, *Engineering* vol. 130, no. 3373, pp. 283-285)
35. Darrieus, G., 1931, *L'evolution des centrales thermiques et la notation d'energie utilisable*, *Science et Industrie*, vol. 15, no. 206, pp. 122-126

36. De Rossi, F.; Matrullo, R.; Sasso, M.; Sibilio, S., 1989, *R13B1 and R114 Exergy - Enthalpy Charts and their Usefulness in a Refrigerating - Heating Process Analysis*, Ruixian, C. et al. {eds} Thermodynamic Analysis and Improvement of Energy Systems. Conf. 5 - 8 Jun 1989. Pergamon Books Inc.; Publ. Elmsford, NY, USA, 0 - 08 - 037516 - 2
37. Dinçer, S., 1985, *Available energy analysis*, Energy Conversion and Management, vol. 25, no. 3 pp. 309-313
38. Dobrinescu, D., 1972, *L'exergie physique des fractions huiles*, Petrol si gaze, vol. 23, no. 10, pp. 613-617
39. Dunbar, W. R.; Lior, N.; Gaggioli, R. A., 1992, *Component Equations of Energy and Exergy*, Journal of Energy Resources Technology, Transactions of the ASME, v 114, no. 1, Mar, p 75 – 83, JERTD2/0195 - 0738
40. Dunbar, William R.; Lior, Noam; Gaggioli, Richard A., 1990, *The Exergetic Advantages of Topping Rankine Power Cycles with fuel Cell Units*, Tsatsaronis, G.; et al. {eds.}, Proceedings of Computer - Aided Energy Systems Analysis, Conf., 25 - 30 Nov., American Society of Mechanical Engineers. New York/0 - 7918 - 0582 - 4
41. El-Nashar, A. M., 1989, *A Second Law Analysis and Cost Accounting of a Cogeneration Plant*, Ruixian, C. et al. {eds}, Thermodynamic Analysis and Improvement of Energy Systems Conf., 5 - 8 Jun., Pergamon Books Inc.; Publ. Elmsford, NY, USA/0 - 08 - 037516 - 2
42. Evans R.B.; Von Spakovsky M.R., 1980, *Two Principles of Differential Second Law Heat Exchanger Design*, Journal of Heat Transfer, ASME Transactions, N.Y
43. Evans, R. B., El-Sayed, Y. M., 1970, *Thermoeconomics and the design of heat systems*, Trans. ASME, J. Eng. Power, vol. 92, pp. 27-35
44. Evans, R. B., Hendrix W. A., Kadaba P. V., 1980, *Thermodynamic availability analysis for complex thermal systems design and synthesis*, AIChE Annual Meeting, Chigaco, IL, Nov
45. Evseev, V. S., 1981, *Analysis of a two-loop gas-liquid refrigerating power plant*, Power Eng., USSR (english translation), vol. 19, no. 3, pp.150-153
46. Feidt M., 1987, *Thermodynamique et optimisation energetique des systemes et procedes*, Technique et Documentation (Lavoisier), Paris
47. Gaggioli, R. A., 1961, *The Concept of Available Energy*, Chem. Eng. Sci., vol. 16, pp. 87-96
48. Gaggioli, R. A., 1969, *More on generalizing the definitions of heat and entropy*, Int. J. Heat and Mass Transfer, vol. 12, pp. 656-660
49. Gaggioli, R. A., 1980, *Second law analysis for process and energy engineering*, AIChE Annual Meeting, Chicago, IL, Novng
50. Gaggioli, R. A., El-Sayed, Y. M., El-Nashar, A. M., Kamaluddin, B., 1988, *Second law efficiency and costing analysis of a combined power and desalination plant*, Trans. ASME, J. Energy Resource Tech., vol. 110, no. 2, pp. 114-118, June

51. Gaggioli, R. A., Wang, L., Zhu, K.-X., Too, J. R., 1988, *Second Law Efficiency and Costing Analysis of a Total Energy Plant*, ASHRAE Transactions, vol. 94, p. 1
52. Gaggioli, R. A., Wepfer, W. J., 1981, *Second law analysis of building systems*, Energy Conversion&Management, vol. 21, no. 1, pp. 65-76
53. Georgescu – Roegen N., 1979, *Legea entropiei și procesul economic*, Ed. Politică, România
54. Gibbs, J. W., 1876, *A Method of Geometrical Representation of the Thermodynamic Properties of Substances by means of Surfaces*, Trans. Conn. Acad. Arts Sci., vol. 3, pp. 108-248 (1876) and pp. 343-524 (1878) or *The Collected Works of J. Willard Gibbs*, Longmans Green and Co., 1906, 1931
55. Glansdorff, P., 1957, *Sur la fonction dite d'"Exergie" et son emploi en climatisation*, Ann. 1957-2, Suppl. Bull. Inst. Intern. du Froid, pp. 61-62
56. Goth Y., Feidt M., 1986, *Conditions optimales de fonctionnement des pompes a chaleur ou machines a froid associees a cycle de Carnot endoreversible*, C.R. Acad. Sc., t. 303, Serie II, No. 1, Paris
57. Gouy, M., 1889, *Sur l'énergie utilisable*, Journal de physique, 2e série, vol. 8, pp. 501-518
58. Gouy, M., 1889, *Sur les transformations et l'équilibre en thermodynamique*, Comptes Rendus Paris, vol. 108, pp. 507-509
59. Grassmann, P., 1958-1959, *Die Exergie und das Flussbild der technisch nutzbaren Leistung*, Allgemeine Wärmetechnik, vol. 9, no. 4-5, pp. 79-86, 1958-1959
60. Grigoriu, M., 1965, *Importanta exergiei pentru studiul proceselor reale din mașinile frigorifice cu compresie de vapori*, Bull. Inst. Politehn Bucuresti, vol. 27, no. 2, pp. 117-129
61. Gyftopoulos, E. P., Beretta, G. P., 1987, *What is the "Second Law"?*, Invited paper to the 1987 ASME Winter Annual Meeting in Boston
62. Haywood, R. W., 1974, *A Critical Review of the Theorems of Thermodynamic Availability with Concise Formulations. Part 1 Availability. Part 2 Irreversibility*, J. Mech. Eng. Sci., vol. 16, no. 3 and 4, pp. 160-173 and 258-267 and vol. 17 (1975), no. 3, p. 180
63. Herez, G., 1983, *The operative costs reparation at the combined energy generation*, Energetica, Romania, vol. 31, no. 11, pp. 500-511
64. Huang, F. F., Ling Wang, 1987, *Thermodynamic study of indirect fired air turbine cogeneration system with reheat*, Trans. ASME, J. Eng. for Gas Turbines and Power, vol. 109, no. 1, pp. 16-21
65. Huettner, D. A., 1981, *Energy, Entropy, and Economic Analysis: Some New Directions*, The Energy Journal, vol. 2, no. 2, p. 123
66. Ishida, M., Kawamura, K., 1982, *Energy and exergy analysis of chemical process system with distributed parameters based on the enthalpy-directed factor diagram*, Ind. Eng. Chem. Process Des. & Dev., vol. 21, no. 4, pp. 690-695

67. Jouget, E., 1906, *Remarques sur la thermodynamique des machines motrices*, Rev. Mecanique, Paris, vol. 19, p. 41
68. Jouget, E., 1907, *Le théoreme de M. Gouy et quelques-unes de ses applications*, Rev. du Mécanique, Paris, vol. 20, no. 3, pp. 213-238
69. Jouget, E., 1909, *Theorie des moteurs thermiques*, Paris: Gauthier - Villars, 176pp
70. Keenan, J. H., 1941, *Thermodynamics*, Wiley, N. Y. (also 1st MIT Press Ed., Cambridge, MA, 1970. 187 pp)
71. Keenan, J. H., 1951, *Availability and irreversibility in thermodynamics*, British Journal of Applied Physics, vol. 2, pp.183-192, July
72. Keenan, J. H., Shapiro, A. H., 1947, *History and exposition of the laws of thermodynamics*, Mech. Eng., ASME, vol. 69, no. 11, pp. 915-921
73. Kestin, J., 1979, *Availability: the concept and associated terminology*, Energy, vol. 5, no. 8-9, pp. 679-692
74. Kotas, T. J., 1985, *The exergy method of thermal plant analysis*, Butterworths, Academic Press, London
75. Leonăchescu N., 1992, *Cămpul termic universal*, Ed. Tehnică, România
76. Leontovici L.A., 1954, *Introducere în termodinamică*, Ed. Tehnică, România
77. London, A. L., 1982, *Economics and the second law: an engineering view and methodology*, Int. J. Heat and Mass Transfer, vol. 25, no. 6, pp. 743-751
78. Löwer, H., 1977, *Die Sorptions-Wärmepumpe als Heizmaschine*, Klima und Kältetechnik., vol. 5, no. 12, pp. 447-451
79. Manițiu E., 1948, *Termodinamica*, Ed. Tehnică, România
80. Mirandola, A., Macor, A., Pavesi, G., 1988, *Investigation into design criteria, matching and performance of gas-steam binary cycle plants*, In: Moran, M. J., Stecco, S. S. and Reistad, G. M., eds., *Analysis and Design of Advanced Energy Systems: Applications*, Proc. ASME Winter Annual Meeting, Boston, Mass., Dec. 13-18, 1988, vol. 3-2, pp. 53-59
81. Moisil G., 1988, *Termodinamica*, Ed. Academiei, România
82. Montgomery, S. R., 1966, *Second law of thermodynamics*, Pergamon Press, London
83. Moran, M. J., 1982, *Availability Analysis: A Guide to Efficient Energy Use*, Prentice-Hall, Englewood Cliffs, New Jersey
84. Nerescu I., Radceno Vs., 1970, *Analiza exergetică a proceselor termice*, Ed. Tehnică, România
85. Obert, E. F., Gaggioli, R. A., 1963, *Thermodynamics*, 2nd ed. McGraw-Hill, N. Y.
86. Petrescu S., Petrescu V., 1983, *Principiile termodinamicii*, Ed. Tehnică, România
87. Radcenco Vs., 1976, *Termodinamica tehnică și mașini termice. Procese ireversibile*, Ed. Didactică și Pedagogică, România
88. Radcenco Vs., 1977, *Criterii de optimizare a proceselor termice*, Ed. Tehnică, România

89. Radcenco Vs., 1990, *Generatoare turbionare de frig și căldură*, Ed. Tehnică, România
90. Radcenco Vs., Alexandrescu N., 1985, *Calculul și proiectarea elementelor și schemelor pneumatice de automatizare*, Ed. Tehnică, România
91. Radcenco Vs., ș.a., 1983, *Procese în instalații frigorifice*, Ed. Didactică și Pedagogică, România
92. Radcenco Vs., ș.a., 1985, *Instalații de pompe de căldură*, Ed. Tehnică, România
93. Reynolds, W. C., Perkins, H. C., 1977, *Engineering thermodynamics*, 2nd ed. McGraw-Hill, N. Y.
94. Rodica Vilcu, Dobrescu A., 1982, *Termodinamica proceselor ireversibile*, Ed. Tehnică
95. Szargut, J., 1987, *Analysis of cumulative exergy consumption*, Int. J. Energy Research, vol. 11, pp. 541-547
96. Tănase PANAIT, 2003, *EXERGOECONOMIA SISTEMELOR TERMO-ENERGETICE*, Editura Fundației Universitare "Dunărea de Jos" – Galați – România
97. Țițeica Ș., 1982, *Termodinamica*, Ed. Academiei, România
98. Vivarelli, R., Sciubba, E., Guizzi, G. L., 1976, *The use of the exergy concept in the analysis of thermodynamic processes analysis -1*, Termotecnica, Milan, vol. 30, no. 9, pp. 473-481,
99. Vivarelli, R., Sciubba, E., Guizzi, G. L., 1976, *The use of the exergy concept in the analysis of thermodynamic processes analysis -2*, Termotecnica, Milan, vol. 30, no. 10, pp. 506-513,